

**ALCALÓIDES INDÓLICOS DE *Aspidosperma spruceanum*  
(APOCYNACEAE)**

**VOLUME 2**

**VILMA BRAGAS DE OLIVEIRA**

**UNIVERSIDADE ESTADUAL DO NORTE FLUMINENSE DARCY  
RIBEIRO**

**CAMPOS DOS GOYTACAZES – RJ  
DEZEMBRO – 2008**

**ALCALÓIDES INDÓLICOS DE *Aspidosperma spruceanum*  
(APOCYNACEAE)**

**VOLUME 2**

**VILMA BRAGAS DE OLIVEIRA**

“Tese apresentada ao Centro de Ciências e  
Tecnologias Agropecuárias da Universidade  
Estadual do Norte Fluminense Darcy Ribeiro,  
como parte das exigências para obtenção do  
título de doutor em Produção Vegetal”

Orientador: Prof. Ivo José Curcino Vieira

CAMPOS DOS GOYTACAZES – RJ  
DEZEMBRO – 2008

## LISTA DE ESPECTROS

<b>Espectro 1.</b> Espectro de infravermelho do alcalóide (+)-aspidospermidina.....	13
<b>Espectro 2.</b> Espectro de massas do alcalóide (+)-aspidospermidina.....	14
<b>Espectro 3.</b> Espectro de RMN $^1\text{H}$ (400 MHz) em $\text{CDCl}_3$ do alcalóide (+)-aspidospermidina. ....	15
<b>Espectro 4.</b> Ampliação da região de $\delta_{\text{H}}$ 6,5-7,2 do espectro de RMN $^1\text{H}$ (400 MHz) em $\text{CDCl}_3$ do alcalóide (+)-aspidospermidina. ....	16
<b>Espectro 5.</b> Ampliação da região de $\delta_{\text{H}}$ 3,0-3,6 do espectro de RMN $^1\text{H}$ (400 MHz) em $\text{CDCl}_3$ do alcalóide (+)-aspidospermidina.....	17
<b>Espectro 6.</b> Ampliação da região de $\delta_{\text{H}}$ 0,5-2,4 do espectro de RMN $^1\text{H}$ (400 MHz) em $\text{CDCl}_3$ do alcalóide (+)-aspidospermidina. ....	18
<b>Espectro 7.</b> Espectro de RMN $^{13}\text{C}$ (100 MHz-APT) em $\text{CDCl}_3$ do alcalóide (+)-aspidospermidina.....	19
<b>Espectro 8.</b> Mapa de correlação heteronuclear HMQC em $\text{CDCl}_3$ do alcalóide (+)-aspidospermidina.....	20
<b>Espectro 9.</b> Ampliação do mapa de correlação heteronuclear HMQC em $\text{CDCl}_3$ do alcalóide (+)-aspidospermidina.....	21

<b>Espectro 10.</b> Ampliação do mapa de correlação heteronuclear HMQC em CDCl <sub>3</sub> do alcalóide (+)-aspidospermidina .....	22
<b>Espectro 11.</b> Ampliação do mapa de correlação heteronuclear HMQC em CDCl <sub>3</sub> do alcalóide (+)-aspidospermidina .....	23
<b>Espectro 12.</b> Ampliação do mapa de correlação heteronuclear HMQC em CDCl <sub>3</sub> do alcalóide (+)-aspidospermidina .....	24
<b>Espectro 13.</b> Mapa de correlação heteronuclear HMBC em CDCl <sub>3</sub> do alcalóide (+)-aspidospermidina .....	25
<b>Espectro 14.</b> Mapa de correlação heteronuclear HMBC em CDCl <sub>3</sub> do alcalóide (+)-aspidospermidina .....	26
<b>Espectro 15.</b> Mapa de correlação heteronuclear HMBC em CDCl <sub>3</sub> do alcalóide (+)-aspidospermidina.....	27
<b>Espectro 16.</b> Espectro de Infravermelho do alcalóide (-)-desmetoxipalosina.....	28
<b>Espectro 17.</b> Espectro de massas do alcalóide (-)-desmetoxipalosina.....	29
<b>Espectro 18.</b> Espectro de massas do alcalóide (-)-desmetoxipalosina.....	30
<b>Espectro 19.</b> Espectro de massas do alcalóide (-)-desmetoxipalosina.....	31
<b>Espectro 20.</b> Espectro de RMN <sup>1</sup> H (400 MHz) em CDCl <sub>3</sub> do alcalóide (-)-desmetoxipalosina.....	32
<b>Espectro 21.</b> Ampliação da região de δ <sub>H</sub> 2,2-3,3 do espectro de RMN <sup>1</sup> H (400 MHz) em CDCl <sub>3</sub> do alcalóide (-)-desmetoxipalosina.....	33
<b>Espectro 22.</b> Ampliação da região de δ <sub>H</sub> 6,9-7,7 do espectro de RMN <sup>1</sup> H (400 MHz) em CDCl <sub>3</sub> do alcalóide (-)-desmetoxipalosina. ....	34
<b>Espectro 23.</b> Espectro de RMN <sup>13</sup> C (100 MHz-APT) em CDCl <sub>3</sub> do alcalóide (-)-desmetoxipalosina. ....	35
<b>Espectro 24.</b> Mapa de correlação heteronuclear HMQC em CDCl <sub>3</sub> do alcalóide (-)-desmetoxipalosina. ....	36

<b>Espectro 25.</b> Ampliação do mapa de correlação heteronuclear HMQC em CDCl <sub>3</sub> do alcalóide (-)-desmetoxipalosina .....	37
<b>Espectro 26.</b> Ampliação do mapa de correlação heteronuclear HMQC em CDCl <sub>3</sub> do alcalóide (-)-desmetoxipalosina .....	38
<b>Espectro 27.</b> Ampliação do mapa de correlação heteronuclear HMQC em CDCl <sub>3</sub> do alcalóide (-)-desmetoxipalosina .....	39
<b>Espectro 28.</b> Ampliação do mapa de correlação heteronuclear HMQC em CDCl <sub>3</sub> do alcalóide (-)-desmetoxipalosina .....	40
<b>Espectro 29.</b> Mapa de correlação heteronuclear HMBC em CDCl <sub>3</sub> do alcalóide (-)-desmetoxipalosina .....	41
<b>Espectro 30.</b> Ampliação do mapa de correlação heteronuclear HMBC em CDCl <sub>3</sub> do alcalóide (-)-desmetoxipalosina .....	42
<b>Espectro 31.</b> Ampliação do mapa de correlação heteronuclear HMBC em CDCl <sub>3</sub> do alcalóide (-)-desmetoxipalosina .....	43
<b>Espectro 32.</b> Ampliação do mapa de correlação heteronuclear HMBC em CDCl <sub>3</sub> do alcalóide (-)-desmetoxipalosina .....	44
<b>Espectro 33.</b> Ampliação do mapa de correlação heteronuclear HMBC em CDCl <sub>3</sub> do alcalóide (-)-desmetoxipalosina .....	45
<b>Espectro 34.</b> Mapa de correlação homonuclear <sup>1</sup> H- <sup>1</sup> H-NOESY em CDCl <sub>3</sub> do alcalóide (-)-desmetoxipalosina .....	46
<b>Espectro 35.</b> Ampliação do mapa de correlação homonuclear <sup>1</sup> H- <sup>1</sup> H-NOESY em CDCl <sub>3</sub> do alcalóide (-)-desmetoxipalosina .....	47
<b>Espectro 36.</b> Ampliação do mapa de correlação homonuclear <sup>1</sup> H- <sup>1</sup> H-NOESY em CDCl <sub>3</sub> do alcalóide (-)-desmetoxipalosina .....	48
<b>Espectro 37.</b> Espectro de infravermelho do alcalóide (+)-aspidocarpina.....	49
<b>Espectro 38.</b> Espectro de massas do alcalóide (+)-aspidocarpina.....	50
<b>Espectro 39.</b> Espectro de RMN <sup>1</sup> H (400 MHz) em CDCl <sub>3</sub> do alcalóide (+)-aspidocarpina.....	51

<b>Espectro 40.</b> Ampliação da região de $\delta_H$ 6,4-7,1 do espectro de RMN $^1H$ (400 MHz) em $CDCl_3$ do alcalóide (+)-aspidocarpina.....	52
<b>Espectro 41.</b> Ampliação da região de $\delta_H$ 2,7-5,5 do espectro de RMN $^1H$ (400 MHz) em $CDCl_3$ do alcalóide (+)-aspidocarpina.....	53
<b>Espectro 42.</b> Ampliação da região de $\delta_H$ 0,5-2,6 do espectro de RMN $^1H$ (400 MHz) em $CDCl_3$ do alcalóide (+)-aspidocarpina.....	54
<b>Espectro 43.</b> Espectro de RMN $^{13}C$ (100 MHz-APT) em $CDCl_3$ do alcalóide (+)-aspidocarpina.....	55
<b>Espectro 44.</b> Mapa de correlação heteronuclear HMQC em $CDCl_3$ do alcalóide (+)-aspidocarpina.....	56
<b>Espectro 45.</b> Ampliação do mapa de correlação heteronuclear HMQC em $CDCl_3$ do alcalóide (+)-aspidocarpina.....	57
<b>Espectro 46.</b> Ampliação do mapa de correlação heteronuclear HMQC em $CDCl_3$ do alcalóide (+)-aspidocarpina.....	58
<b>Espectro 47.</b> Ampliação do mapa de correlação heteronuclear HMQC em $CDCl_3$ do alcalóide (+)-aspidocarpina.....	59
<b>Espectro 48.</b> Mapa de correlação heteronuclear HMBC em $CDCl_3$ do alcalóide (+)-aspidocarpina. ....	60
<b>Espectro 49.</b> Ampliação do mapa de correlação heteronuclear HMBC em $CDCl_3$ do alcalóide (+)-aspidocarpina. ....	61
<b>Espectro 50.</b> Ampliação do mapa de correlação heteronuclear HMBC em $CDCl_3$ do alcalóide (+)-aspidocarpina. ....	62
<b>Espectro 51.</b> Mapa de correlação homonuclear $^1H$ - $^1H$ -COSY em $CDCl_3$ do alcalóide (+)-aspidocarpina. ....	63
<b>Espectro 52.</b> Ampliação do mapa de correlação homonuclear $^1H$ - $^1H$ -COSY em $CDCl_3$ do alcalóide (+)-aspidocarpina. ....	64
<b>Espectro 53.</b> Mapa de correlação homonuclear $^1H$ - $^1H$ -NOESY em $CDCl_3$ do alcalóide (+)-aspidocarpina. ....	65

<b>Espectro 54.</b> Ampliação do mapa de correlação homonuclear $^1\text{H}$ - $^1\text{H}$ -NOESY em $\text{CDCl}_3$ do alcalóide (+)-aspidocarpina. ....	66
<b>Espectro 55.</b> Espectro de Infravermelho do alcalóide (+)-aspidolimina. ....	67
<b>Espectro 56.</b> Espectro de massas do alcalóide (+)-aspidolimina. ....	68
<b>Espectro 57.</b> Espectro de RMN $^1\text{H}$ (400 MHz) em $\text{CDCl}_3$ do alcalóide (+)-aspidolimina. ....	69
<b>Espectro 58.</b> Ampliação da região de $\delta_{\text{H}}$ 6,3-7,0 do espectro de RMN $^1\text{H}$ (400 MHz) em $\text{CDCl}_3$ do alcalóide (+)-aspidolimina. ....	70
<b>Espectro 59.</b> Ampliação da região de $\delta_{\text{H}}$ 2,9-4,4 do espectro de RMN $^1\text{H}$ (400 MHz) em $\text{CDCl}_3$ do alcalóide (+)-aspidolimina. ....	71
<b>Espectro 60.</b> Ampliação da região de $\delta_{\text{H}}$ 1,8-2,7 do espectro de RMN $^1\text{H}$ (400 MHz) em $\text{CDCl}_3$ do alcalóide (+)-aspidolimina. ....	72
<b>Espectro 61.</b> Ampliação da região de $\delta_{\text{H}}$ 0,5-1,9 do espectro de RMN $^1\text{H}$ (400 MHz) em $\text{CDCl}_3$ do alcalóide (+)-aspidolimina. ....	73
<b>Espectro 62.</b> Espectro de RMN $^{13}\text{C}$ (100 MHz-APT) em $\text{CDCl}_3$ do alcalóide (+)-aspidolimina. ....	74
<b>Espectro 63.</b> Mapa de correlação heteroclear HMBC em $\text{CDCl}_3$ do alcalóide (+)-aspidolimina. ....	75
<b>Espectro 64.</b> Ampliação do mapa de correlação heteronuclear HMBC em $\text{CDCl}_3$ do alcalóide (+)-aspidolimina. ....	76
<b>Espectro 65.</b> Ampliação do mapa de correlação heteronuclear HMBC em $\text{CDCl}_3$ do alcalóide (+)-aspidolimina. ....	77
<b>Espectro 66.</b> Ampliação do mapa de correlação heteronuclear HMBC em $\text{CDCl}_3$ do alcalóide (+)-aspidolimina. ....	78
<b>Espectro 67.</b> Ampliação do mapa de correlação heteronuclear HMBC em $\text{CDCl}_3$ do alcalóide (+)-aspidolimina. ....	79

<b>Espectro 68.</b> Ampliação do mapa de correlação heteronuclear HMBC em CDCl <sub>3</sub> do alcalóide (+)-aspidolimina. . ..	80
<b>Espectro 69.</b> Ampliação do mapa de correlação heteronuclear HMBC em CDCl <sub>3</sub> do alcalóide (+)-aspidolimina. . ..	81
<b>Espectro 70.</b> Ampliação do mapa de correlação heteronuclear HMBC em CDCl <sub>3</sub> do alcalóide (+)-aspidolimina. . ..	82
<b>Espectro 71.</b> Ampliação do mapa de correlação heteronuclear HMBC em CDCl <sub>3</sub> do alcalóide (+)-aspidolimina.....	83
<b>Espectro 72.</b> Mapa de correlação heteronuclear HMQC em CDCl <sub>3</sub> do alcalóide (+)-aspidolimina.....	84
<b>Espectro 73.</b> Ampliação do mapa de correlação heteronuclear HMQC em CDCl <sub>3</sub> do alcalóide (+)-aspidolimina.....	85
<b>Espectro 74.</b> Ampliação do mapa de correlação heteronuclear HMQC em CDCl <sub>3</sub> do alcalóide (+)-aspidolimina.....	86
<b>Espectro 75.</b> Espectro de infravermelho da mistura dos alcalóides 7.54.6A e 7.54.6B.....	87
<b>Espectro 76.</b> Espectro de massas da mistura dos alcalóides spruceanumina A e spruceanumina B.....	88
<b>Espectro 77.</b> Espectro de massas da mistura dos alcalóides spruceanumina A e spruceanumina B.....	89
<b>Espectro 78.</b> Espectro de massas da mistura dos alcalóides spruceanumina A e spruceanumina B.....	90
<b>Espectro 79.</b> Espectro de RMN <sup>1</sup> H (500 MHz) em CDCl <sub>3</sub> da mistura dos alcalóides spruceanumina A e spruceanumina B.....	91
<b>Espectro 80.</b> Ampliação da região de δ <sub>H</sub> 3,7-5,8 do espectro de RMN <sup>1</sup> H (500 MHz) em CDCl <sub>3</sub> da mistura dos alcalóides spruceanumina A e spruceanumina B.....	92
<b>Espectro 81.</b> Ampliação da região de δ <sub>H</sub> 2,0-3,5 do espectro de RMN <sup>1</sup> H (500 MHz) em CDCl <sub>3</sub> da mistura dos alcalóides spruceanumina A e spruceanumina B.....	93

<b>Espectro 82.</b> Ampliação da região de $\delta_H$ 0,5-1,7 do espectro de RMN $^1H$ (500 MHz) em $CDCl_3$ da mistura dos alcalóides spruceanumina A e spruceanumina B.....	94
<b>Espectro 83.</b> Espectro de RMN $^{13}C$ (125 MHz) em $CDCl_3$ mistura dos alcalóides spruceanumina A e spruceanumina B.....	95
<b>Espectro 84.</b> Ampliação da região $\delta_C$ 100-147 do espectro de RMN $^{13}C$ (125 MHz) em $CDCl_3$ da mistura dos alcalóides spruceanumina A e spruceanumina B.....	96
<b>Espectro 85.</b> Ampliação da região $\delta_C$ 40-72 do espectro de RMN $^{13}C$ (125 MHz) em $CDCl_3$ da mistura dos alcalóides spruceanumina A e spruceanumina B.....	97
<b>Espectro 86.</b> Ampliação da região $\delta_C$ 9,-33 do espectro de RMN $^{13}C$ (125 MHz) em $CDCl_3$ da mistura dos alcalóides spruceanumina A e spruceanumina B.....	98
<b>Espectro 87.</b> Espectro de RMN $^{13}C$ (100 MHz-DEPT-135) em $CDCl_3$ da mistura dos alcalóides spruceanumina A e spruceanumina B.....	99
<b>Espectro 88.</b> Mapa de correlação homonuclear $^1H$ - $^1H$ COSY em $CDCl_3$ da mistura dos alcalóides spruceanumina A e spruceanumina B.....	100
<b>Espectro 89.</b> Ampliação do mapa de correlação homonuclear $^1H$ - $^1H$ -COSY em $CDCl_3$ da mistura dos alcalóides spruceanumina A e spruceanumina B.....	101
<b>Espectro 90.</b> Ampliação do mapa de correlação homonuclear $^1H$ - $^1H$ -COSY em $CDCl_3$ da mistura dos alcalóides spruceanumina A e spruceanumina B.....	102
<b>Espectro 91.</b> Ampliação do mapa de correlação homonuclear $^1H$ - $^1H$ -COSY em $CDCl_3$ da mistura dos alcalóides spruceanumina A e spruceanumina B.....	103
<b>Espectro 92.</b> Mapa de correlação heteronuclear HSQC em $CDCl_3$ da mistura dos alcalóides spruceanumina A e spruceanumina B.....	104
<b>Espectro 93.</b> Ampliação do mapa de correlação heteronuclear HSQC em $CDCl_3$ da mistura dos alcalóides spruceanumina A e spruceanumina B.....	105
<b>Espectro 94.</b> Ampliação do mapa de correlação heteronuclear HSQC em $CDCl_3$ da mistura dos alcalóides spruceanumina A e spruceanumina B.....	106
<b>Espectro 95.</b> Mapa de correlação heteronuclear HMBC em $CDCl_3$ da mistura dos alcalóides spruceanumina A e spruceanumina B.....	107

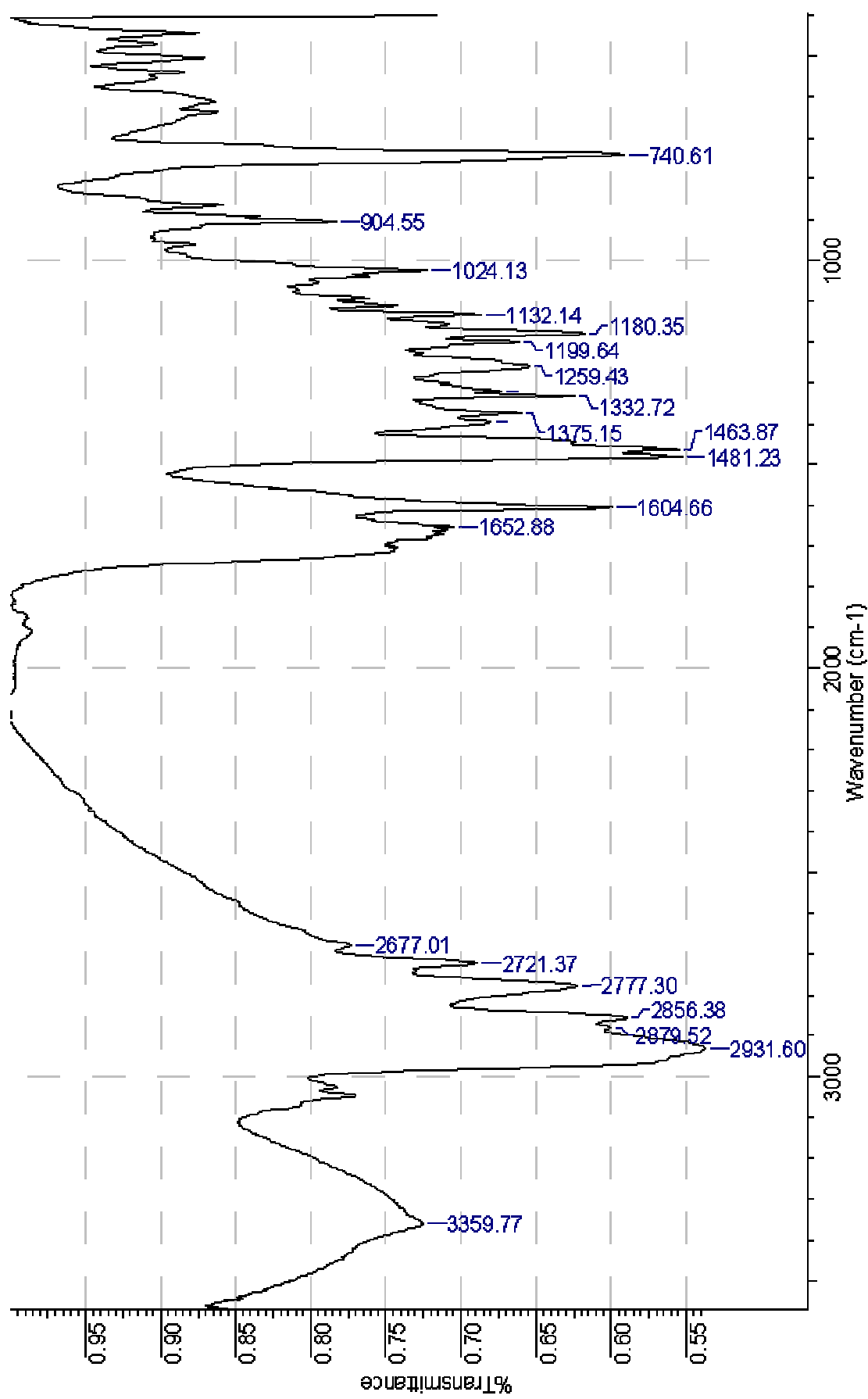
<b>Espectro 96.</b> Ampliação do mapa de correlação heteronuclear HMBC em CDCl <sub>3</sub> da mistura dos alcalóides spruceanumina A e spruceanumina B.....	108
<b>Espectro 97.</b> Ampliação do mapa de correlação heteronuclear HMBC em CDCl <sub>3</sub> da mistura dos alcalóides spruceanumina A e spruceanumina B.....	109
<b>Espectro 98.</b> Ampliação do mapa de correlação heteronuclear HMBC em CDCl <sub>3</sub> da mistura dos alcalóides spruceanumina A e spruceanumina B.....	110
<b>Espectro 99.</b> Ampliação do mapa de correlação heteronuclear HMBC em CDCl <sub>3</sub> da mistura dos alcalóides spruceanumina A e spruceanumina B.....	111
<b>Espectro 100.</b> Ampliação do mapa de correlação heteronuclear HMBC em CDCl <sub>3</sub> da mistura dos alcalóides spruceanumina A e spruceanumina B.....	112
<b>Espectro 101.</b> Ampliação do mapa de correlação heteronuclear HMBC em CDCl <sub>3</sub> da mistura dos alcalóides spruceanumina A e spruceanumina B.....	113
<b>Espectro 102.</b> Ampliação do mapa de correlação heteronuclear HMBC em CDCl <sub>3</sub> da mistura dos alcalóides spruceanumina A e spruceanumina B.....	114
<b>Espectro 103.</b> Ampliação do mapa de correlação heteronuclear HMBC em CDCl <sub>3</sub> da mistura dos alcalóides spruceanumina A e spruceanumina B.....	115
<b>Espectro 104.</b> Ampliação do mapa de correlação heteronuclear HMBC em CDCl <sub>3</sub> da mistura dos alcalóides spruceanumina A e spruceanumina B.....	116
<b>Espectro 105.</b> Mapa de correlação homonuclear <sup>1</sup> H- <sup>1</sup> H NOESY em CDCl <sub>3</sub> da mistura dos alcalóides spruceanumina A e spruceanumina B.....	117
<b>Espectro 106.</b> Ampliação do mapa de correlação homonuclear <sup>1</sup> H- <sup>1</sup> H-NOESY em CDCl <sub>3</sub> da mistura dos alcalóides spruceanumina A e spruceanumina B.....	118
<b>Espectro 107.</b> Ampliação do mapa de correlação homonuclear <sup>1</sup> H- <sup>1</sup> H-NOESY em CDCl <sub>3</sub> da mistura dos alcalóides spruceanumina A e spruceanumina B.....	119
<b>Espectro 108.</b> Ampliação do mapa de correlação homonuclear <sup>1</sup> H- <sup>1</sup> H-NOESY em CDCl <sub>3</sub> da mistura dos alcalóides spruceanumina A e spruceanumina B.....	120
<b>Espectro 109.</b> Ampliação do mapa de correlação homonuclear <sup>1</sup> H- <sup>1</sup> H-NOESY em CDCl <sub>3</sub> da mistura dos alcalóides spruceanumina A e spruceanumina B.....	121

<b>Espectro 110.</b> Ampliação do mapa de correlação homonuclear $^1\text{H}$ - $^1\text{H}$ -NOESY em $\text{CDCl}_3$ da mistura dos alcalóides spruceanumina A e spruceanumina B.....	122
<b>Espectro 111.</b> Espectro de RMN $^1\text{H}$ (500 MHz) em $\text{CDCl}_3$ da mistura dos alcalóides (-)-aspidolimidina e (-)-fendlerina.....	123
<b>Espectro 112.</b> Ampliação da região $\delta_{\text{H}}$ 0,1-4,2 do espectro de RMN $^1\text{H}$ (500 MHz) em $\text{CDCl}_3$ da mistura dos alcalóides (-)-aspidolimidina e (-)-fendlerina.....	124
<b>Espectro 113.</b> Ampliação da região $\delta_{\text{H}}$ 6,6-10,9 do espectro de RMN $^1\text{H}$ (500 MHz) em $\text{CDCl}_3$ da mistura dos alcalóides (-)-aspidolimidina e (-)-fendlerina.....	125
<b>Espectro 114.</b> Ampliação da região $\delta_{\text{C}}$ 9,7-170 do espectro de RMN $^{13}\text{C}$ (100 MHz-PENDANT) em $\text{CDCl}_3$ da mistura dos alcalóides (-)-aspidolimidina e (-)-fendlerina.....	126
<b>Espectro 115.</b> Ampliação da região $\delta_{\text{C}}$ 100-172 do espectro de RMN $^{13}\text{C}$ (100 MHz-PENDANT) em $\text{CDCl}_3$ da mistura dos alcalóides (-)-aspidolimidina e (-)-fendlerina.....	127
<b>Espectro 116.</b> Ampliação da região $\delta_{\text{C}}$ 10-77 do espectro de RMN $^{13}\text{C}$ (100 MHz-PENDANT) em $\text{CDCl}_3$ da mistura dos alcalóides (-)-aspidolimidina e (-)-fendlerina.....	128
<b>Espectro 117.</b> Mapa de correlação heteronuclear HMQC em $\text{CDCl}_3$ da mistura dos alcalóides (-)-aspidolimidina e (-)-fendlerina.....	129
<b>Espectro 118.</b> Ampliação do mapa de correlação heteronuclear HMQC em $\text{CDCl}_3$ da mistura dos alcalóides (-)-aspidolimidina e (-)-fendlerina.....	130
<b>Espectro 119.</b> Ampliação do mapa de correlação heteronuclear HMQC em $\text{CDCl}_3$ da mistura dos alcalóides (-)-aspidolimidina e (-)-fendlerina.....	131
<b>Espectro 120.</b> Mapa de correlação heteronuclear HMBC em $\text{CDCl}_3$ da mistura dos alcalóides (-)-aspidolimidina e (-)-fendlerina.....	132
<b>Espectro 121.</b> Ampliação do mapa de correlação heteronuclear HMBC em $\text{CDCl}_3$ da mistura dos alcalóides (-)-aspidolimidina e (-)-fendlerina.....	133
<b>Espectro 122.</b> Ampliação do mapa de correlação heteronuclear HMBC em $\text{CDCl}_3$ da mistura dos alcalóides (-)-aspidolimidina e (-)-fendlerina.....	134

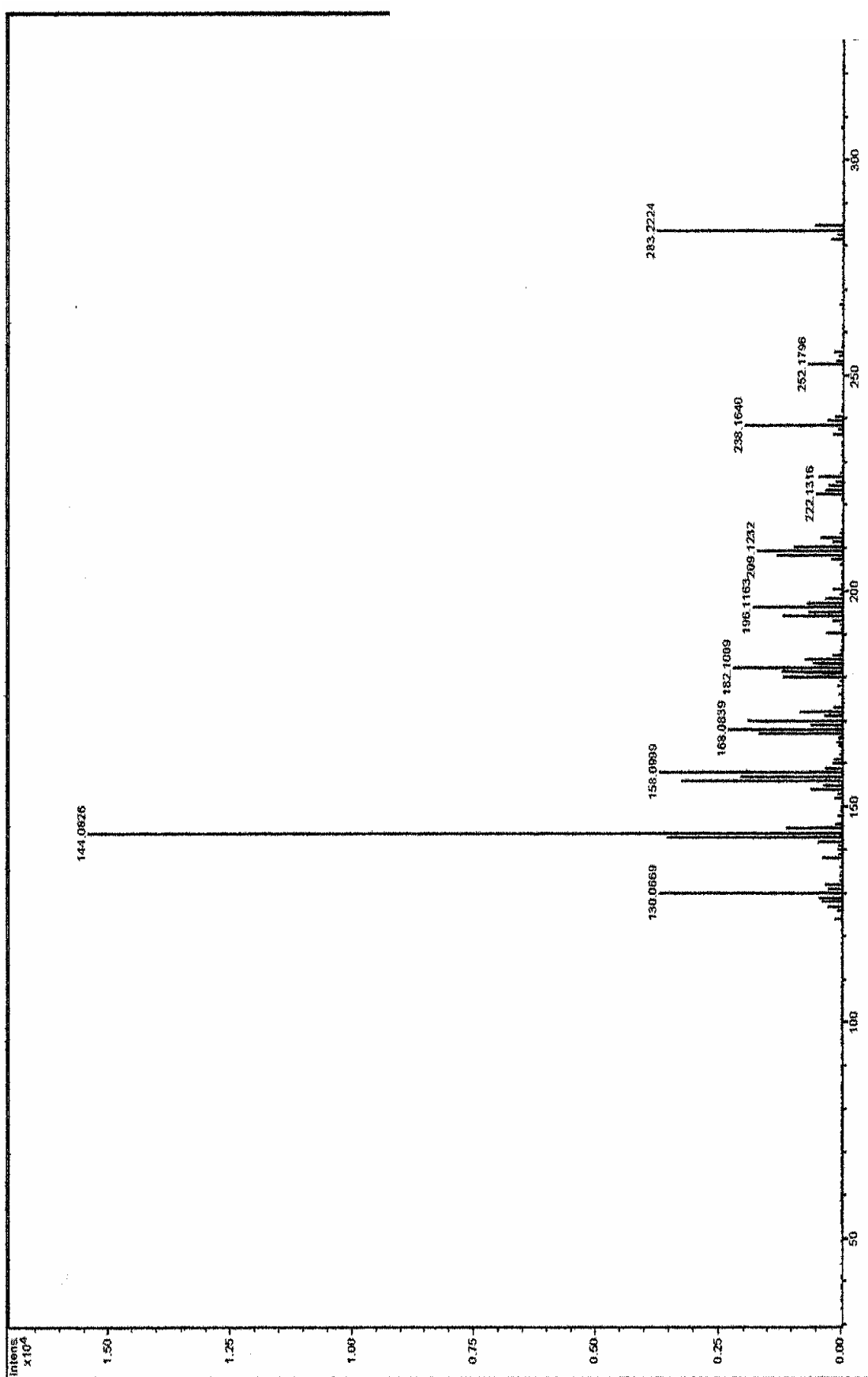
<b>Espectro 123.</b> Mapa de correlação homonuclear $^1\text{H}$ - $^1\text{H}$ -COSY em $\text{CDCl}_3$ da mistura dos alcalóides (-)-aspidolimidina e (-)-fendlerina.....	135
<b>Espectro 124.</b> Ampliação do mapa de correlação homonuclear $^1\text{H}$ - $^1\text{H}$ -COSY em $\text{CDCl}_3$ da mistura dos alcalóides (-)-aspidolimidina e (-)-fendlerina.....	136
<b>Espectro 125.</b> Espectro de infravermelho da mistura dos alcalóides (-)-obscurinervidina e (-)-obscurinervina. ....	137
<b>Espectro 126.</b> Espectro de RMN $^1\text{H}$ (500 MHz) em $\text{CDCl}_3$ da mistura dos alcalóides (-)-obscurinervidina e (-)-obscurinervina.....	138
<b>Espectro 127.</b> Ampliação da região $\delta_{\text{H}}$ 0,8-2,7 do espectro de RMN $^1\text{H}$ (500 MHz) em $\text{CDCl}_3$ da mistura dos alcalóides (-)-obscurinervidina e (-)-obscurinervina.....	139
<b>Espectro 128.</b> Ampliação da região $\delta_{\text{H}}$ 2,4-4,5 do espectro de RMN $^1\text{H}$ (500 MHz) em $\text{CDCl}_3$ da mistura dos alcalóides (-)-obscurinervidina e (-)-obscurinervina.....	140
<b>Espectro 129.</b> Espectro de RMN de $^{13}\text{C}$ (125 MHz) em $\text{CDCl}_3$ da mistura dos alcalóides (-)-obscurinervidina e (-)-obscurinervina.....	141
<b>Espectro 130.</b> Mapa de correlação heteronuclear HSQC em $\text{CDCl}_3$ da mistura dos alcalóides (-)-obscurinervidina e (-)-obscurinervina.....	142
<b>Espectro 131.</b> Ampliação do mapa de correlação heteronuclear HSQC em $\text{CDCl}_3$ da mistura dos alcalóides (-)-obscurinervidina e (-)-obscurinervina.....	143
<b>Espectro 132.</b> Mapa de correção heteronuclear HMBC em $\text{CDCl}_3$ da mistura dos alcalóides (-)-obscurinervidina e (-)-obscurinervina.....	144
<b>Espectro 133.</b> Ampliação do mapa de correlação heteronuclear HMBC em $\text{CDCl}_3$ da mistura dos alcalóides (-)-obscurinervidina e (-)-obscurinervina. ....	145
<b>Espectro 134.</b> Ampliação do mapa de correlação heteronuclear HMBC em $\text{CDCl}_3$ da mistura dos alcalóides (-)-obscurinervidina e (-)-obscurinervina.....	146
<b>Espectro 135.</b> Ampliação do mapa de correlação heteronuclear HMBC em $\text{CDCl}_3$ da mistura dos alcalóides (-)-obscurinervidina e (-)-obscurinervina.....	147
<b>Espectro 136.</b> Ampliação do mapa de correção heteronuclear HMBC em $\text{CDCl}_3$ da mistura dos alcalóides (-)-obscurinervidina e (-)-obscurinervina.....	148

<b>Espectro 137.</b> Ampliação do mapa de correlação heteronuclear HMBC em CDCl <sub>3</sub> da mistura dos alcalóides (-)-obscurinervidina e (-)-obscurinervina.....	149
<b>Espectro 138.</b> Mapa de correlação homonuclear <sup>1</sup> H- <sup>1</sup> H-COSY em CDCl <sub>3</sub> da mistura de alcalóides (-)-obscurinervidina e (-)-obscurinervina.....	150
<b>Espectro 139.</b> Mapa de correlação homonuclear <sup>1</sup> H- <sup>1</sup> H-NOESY em CDCl <sub>3</sub> da mistura dos alcalóides (-)-obscurinervidina e (-)-obscurinervina.....	151
<b>Espectro 140.</b> Ampliação do mapa de correlação homonuclear <sup>1</sup> H- <sup>1</sup> H-NOESY em CDCl <sub>3</sub> da mistura dos alcalóides (-)-obscurinervidina e (-)-obscurinervina.....	152
<b>Espectro 141.</b> Espectro de Infravermelho da mistura dos alcalóides spruceanumina C e spruceanumina D.....	153
<b>Espectro 142.</b> Espectro de RMN <sup>1</sup> H (500 MHz) em CDCl <sub>3</sub> da mistura dos alcalóides spruceanumina C e spruceanumina D.....	154
<b>Espectro 143.</b> Ampliação da região δ <sub>H</sub> 1,4-3,5 do espectro de RMN <sup>1</sup> H (500 MHz) em CDCl <sub>3</sub> da mistura dos alcalóides spruceanumina C e spruceanumina D.....	155
<b>Espectro 144.</b> Ampliação da região δ <sub>H</sub> 4,0-5,7 do espectro de RMN <sup>1</sup> H (500 MHz) em CDCl <sub>3</sub> da mistura dos alcalóides spruceanumina C e spruceanumina D.....	156
<b>Espectro 145.</b> Espectro de RMN <sup>13</sup> C (125 MHz) em CDCl <sub>3</sub> da mistura dos alcalóides spruceanumina C e spruceanumina D.....	157
<b>Espectro 146.</b> Ampliação da região δ <sub>C</sub> 0,8-74 do espectro de RMN <sup>13</sup> C (125 MHz) em CDCl <sub>3</sub> da mistura dos alcalóides spruceanumina C e spruceanumina D.....	158
<b>Espectro 147.</b> Espectro de RMN <sup>13</sup> C (125 MHz-DEPT-135) em CDCl <sub>3</sub> da mistura dos alcalóides 5.1.29.2.9A e 5.1.29.2.9B.....	159
<b>Espectro 148.</b> Mapa de correlação homonuclear <sup>1</sup> H- <sup>1</sup> H-COSY em CDCl <sub>3</sub> da mistura dos alcalóides spruceanumina C e spruceanumina D.....	160
<b>Espectro 149.</b> Ampliação do mapa de correlação homonuclear <sup>1</sup> H- <sup>1</sup> H-COSY em CDCl <sub>3</sub> da mistura dos alcalóides spruceanumina C e spruceanumina D.....	161
<b>Espectro 150.</b> Mapa de correlação heteronuclear HSQC em CDCl <sub>3</sub> da mistura dos alcalóides spruceanumina C e spruceanumina D.....	162

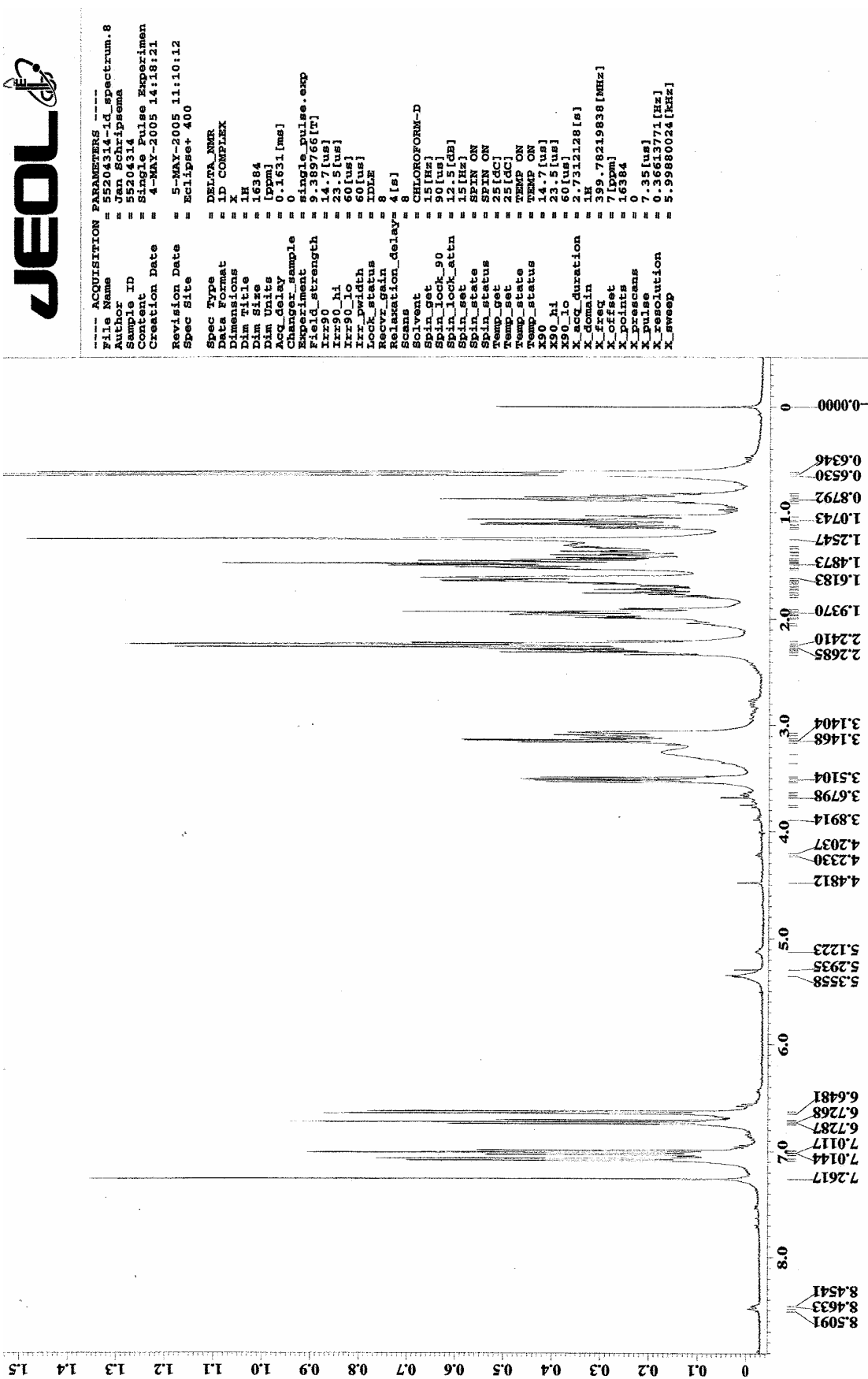
<b>Espectro 151.</b> Ampliação do mapa de correlação heteronuclear HSQC em $\text{CDCl}_3$ da mistura dos alcalóides spruceanumina C e spruceanumina D.....	163
<b>Espectro 152.</b> Mapa de correlação heteronuclear HMBC em $\text{CDCl}_3$ da mistura dos alcalóides spruceanumina C e spruceanumina D.....	164
<b>Espectro 153.</b> Ampliação do mapa de correlação heteronuclear HMBC em $\text{CDCl}_3$ da mistura dos alcalóides spruceanumina C e spruceanumina D.....	165
<b>Espectro 154.</b> Ampliação do mapa de correlação heteronuclear HMBC em $\text{CDCl}_3$ da mistura dos alcalóides spruceanumina C e spruceanumina D.....	166
<b>Espectro 155.</b> Ampliação do mapa de correlação heteronuclear HMBC em $\text{CDCl}_3$ da mistura dos alcalóides spruceanumina C e spruceanumina D.....	167



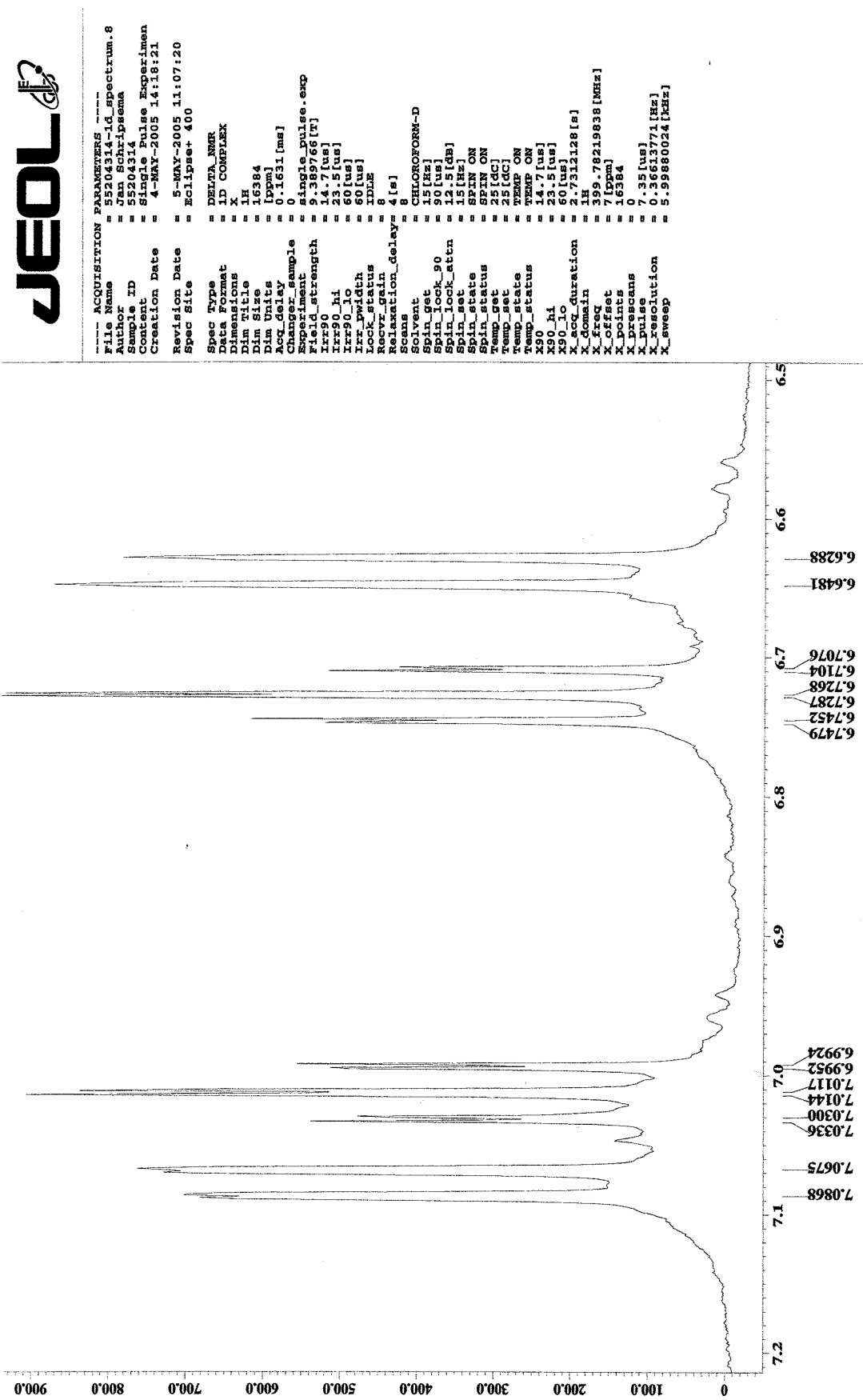
**Espectro 1.** Espectro de infravermelho do alcalóide (+)-aspidospermidina.



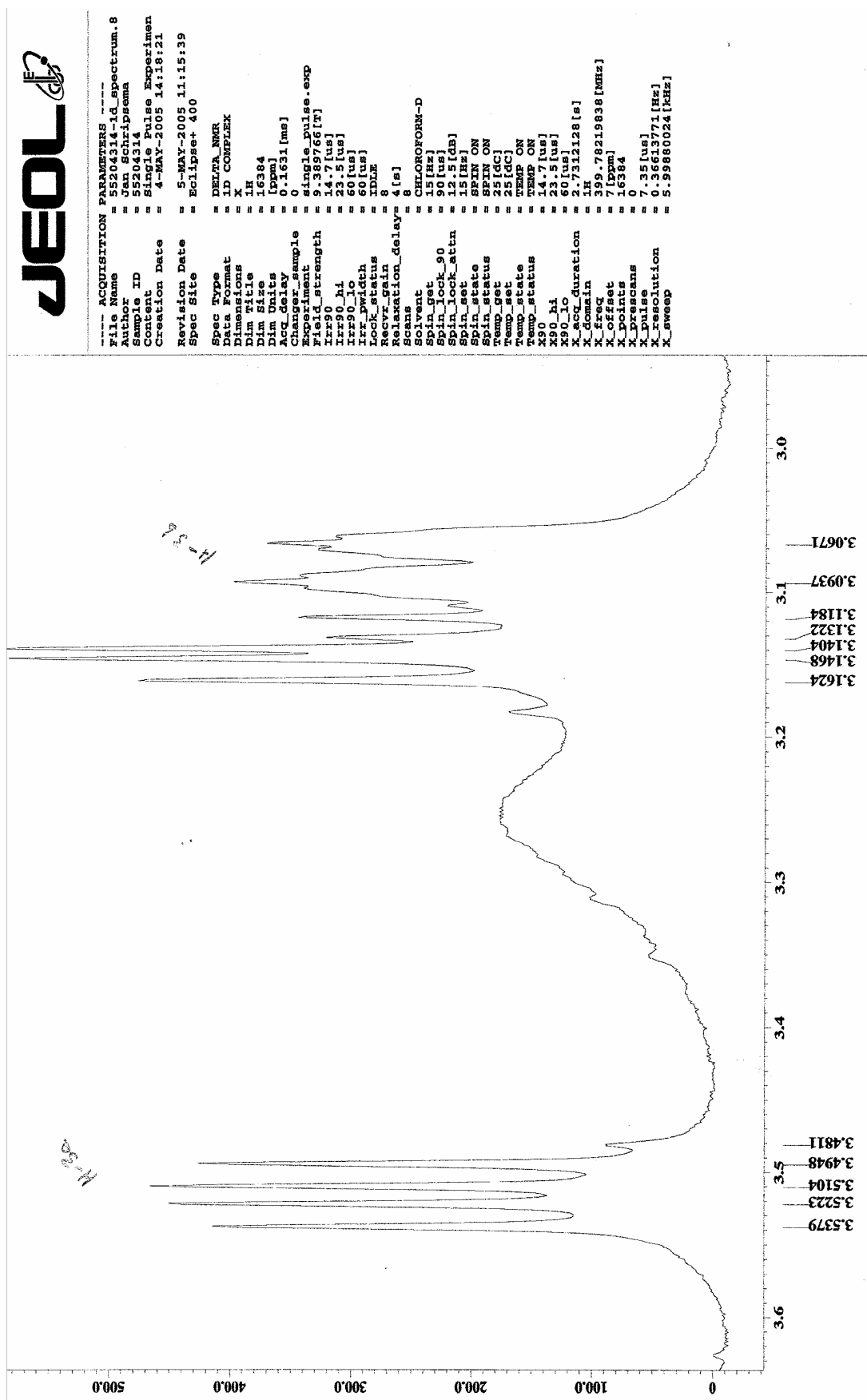
**Espectro 2.** Espectro de massas do alcalóide (+)-aspidospermidina.



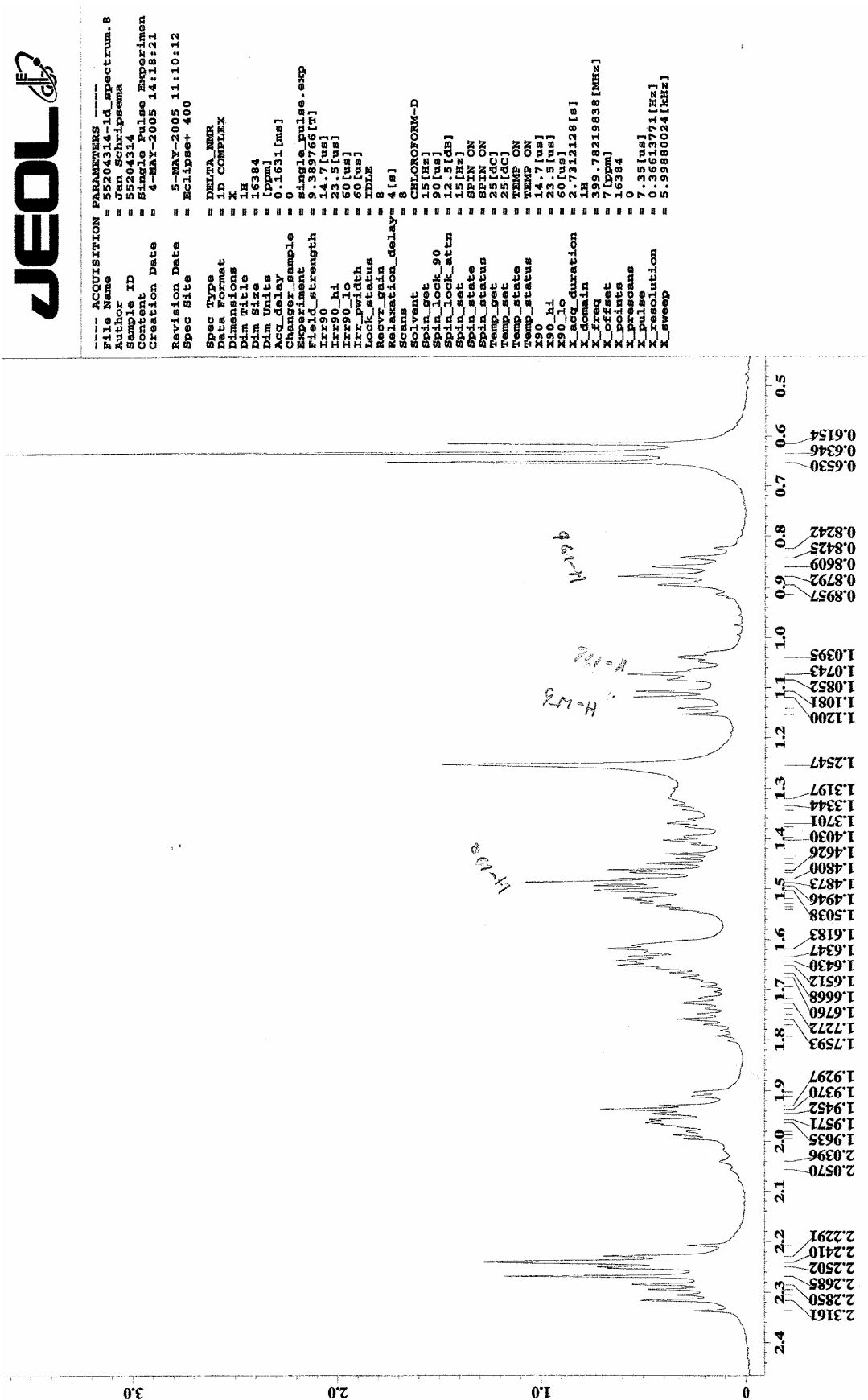
**Espectro 3.** Espectro de RMN  $^1\text{H}$  (400 MHz) em  $\text{CDCl}_3$  do alcalóide (+)-aspidospermidina.



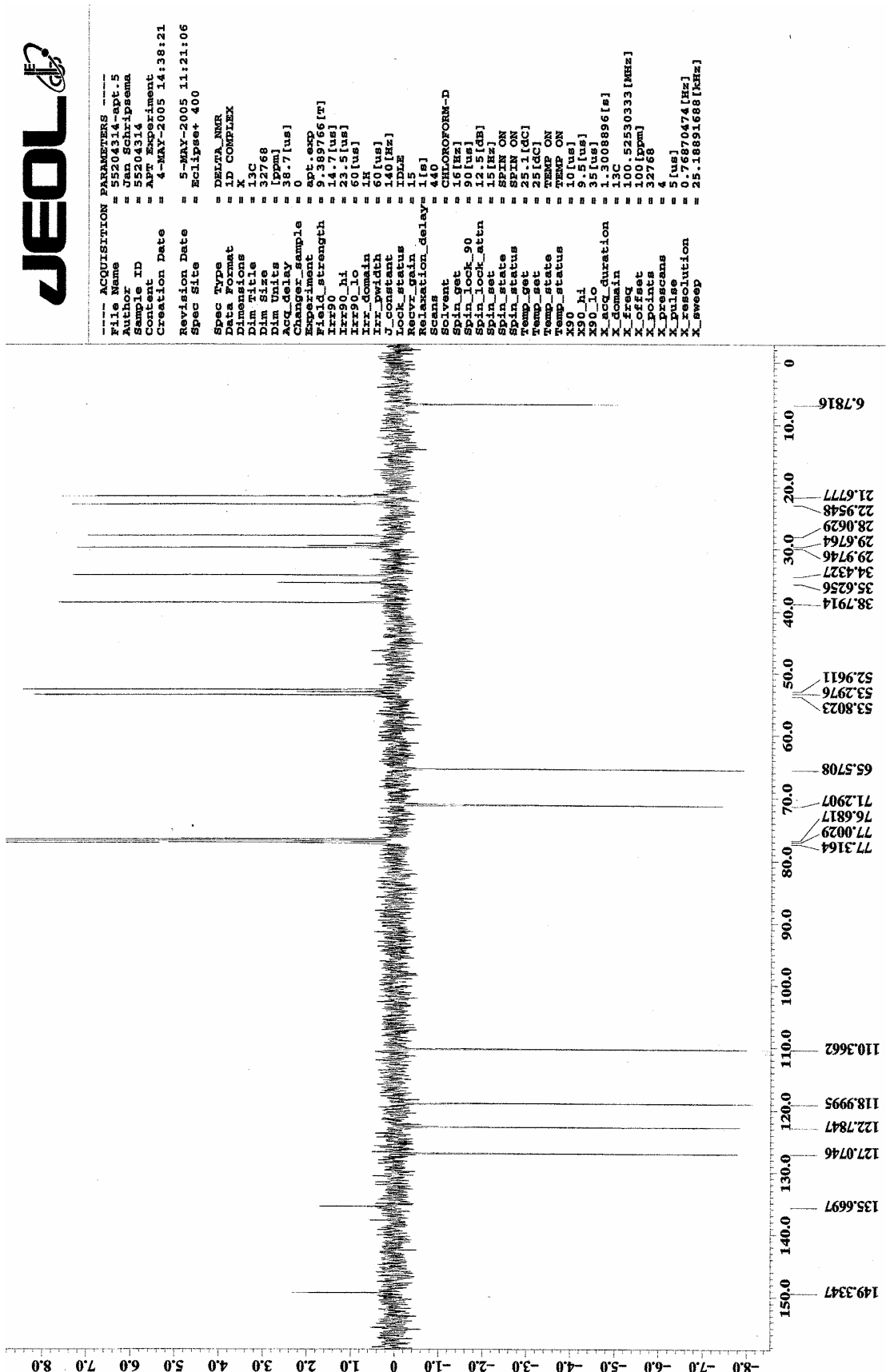
**Espectro 4.** Ampliação da região de  $\delta_{\text{H}}$  6,5-7,2 do espectro de RMN  $^1\text{H}$  (400 MHz) em  $\text{CDCl}_3$  do alcalóide (+)-aspidospermidina.



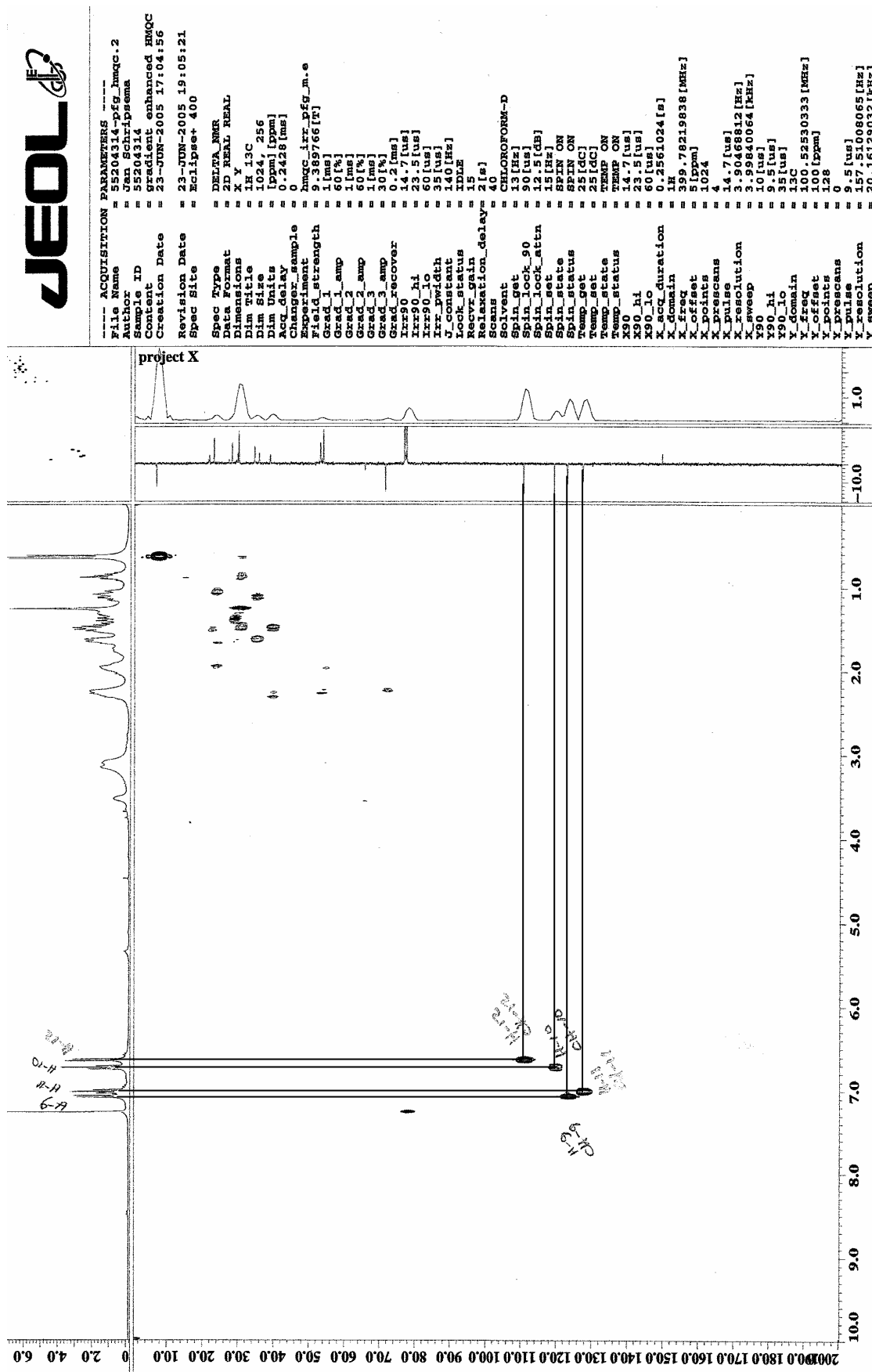
**Espectro 5.** Ampliação da região de  $\delta_{\text{H}}$  3,0-3,6 do espectro de RMN  $^1\text{H}$  (400 MHz) em  $\text{CDCl}_3$  do alcalóide (+)-aspidospermidina.



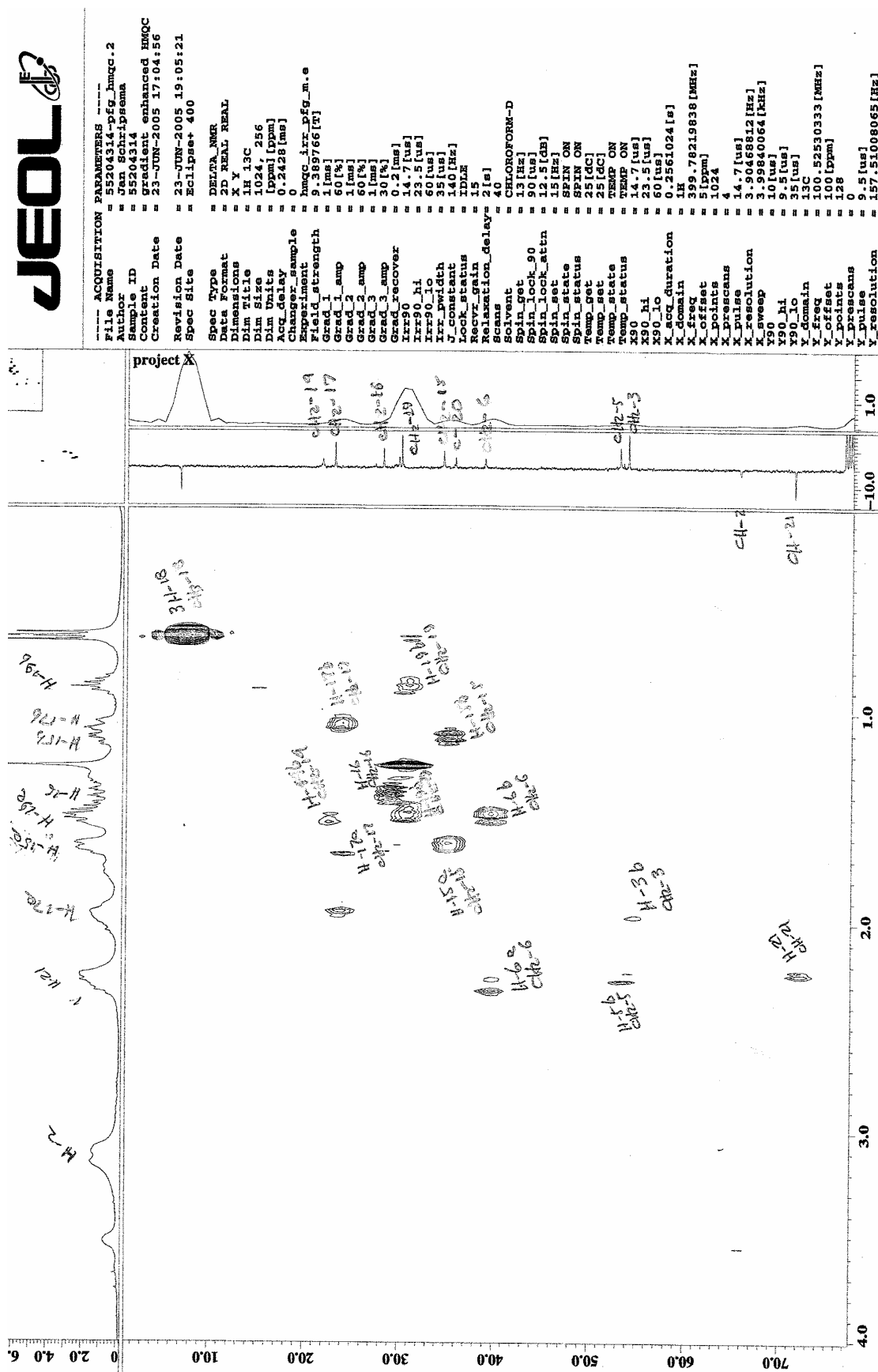
**Especro 6.** Ampliação da região de  $\delta_H$  0,5-2,4 do espectro de RMN  $^1H$  (400 MHz) em  $CDCl_3$  do alcálóide (+)-aspidospermidina.



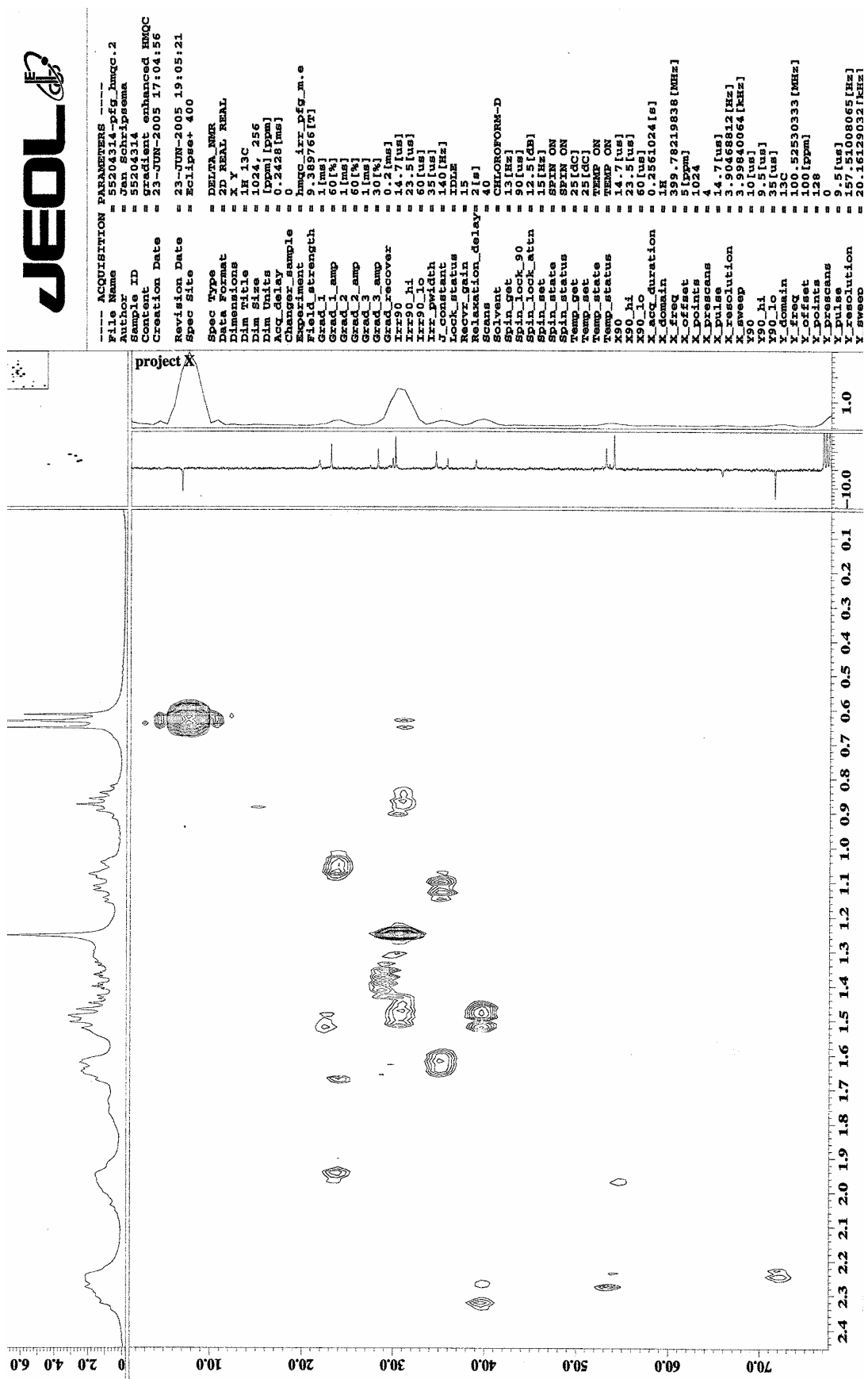
**Especro 7.** Espectro de RMN  $^{13}\text{C}$  (100 MHz-APT) em  $\text{CDCl}_3$  do alcalóide (+)-aspidospermidina.



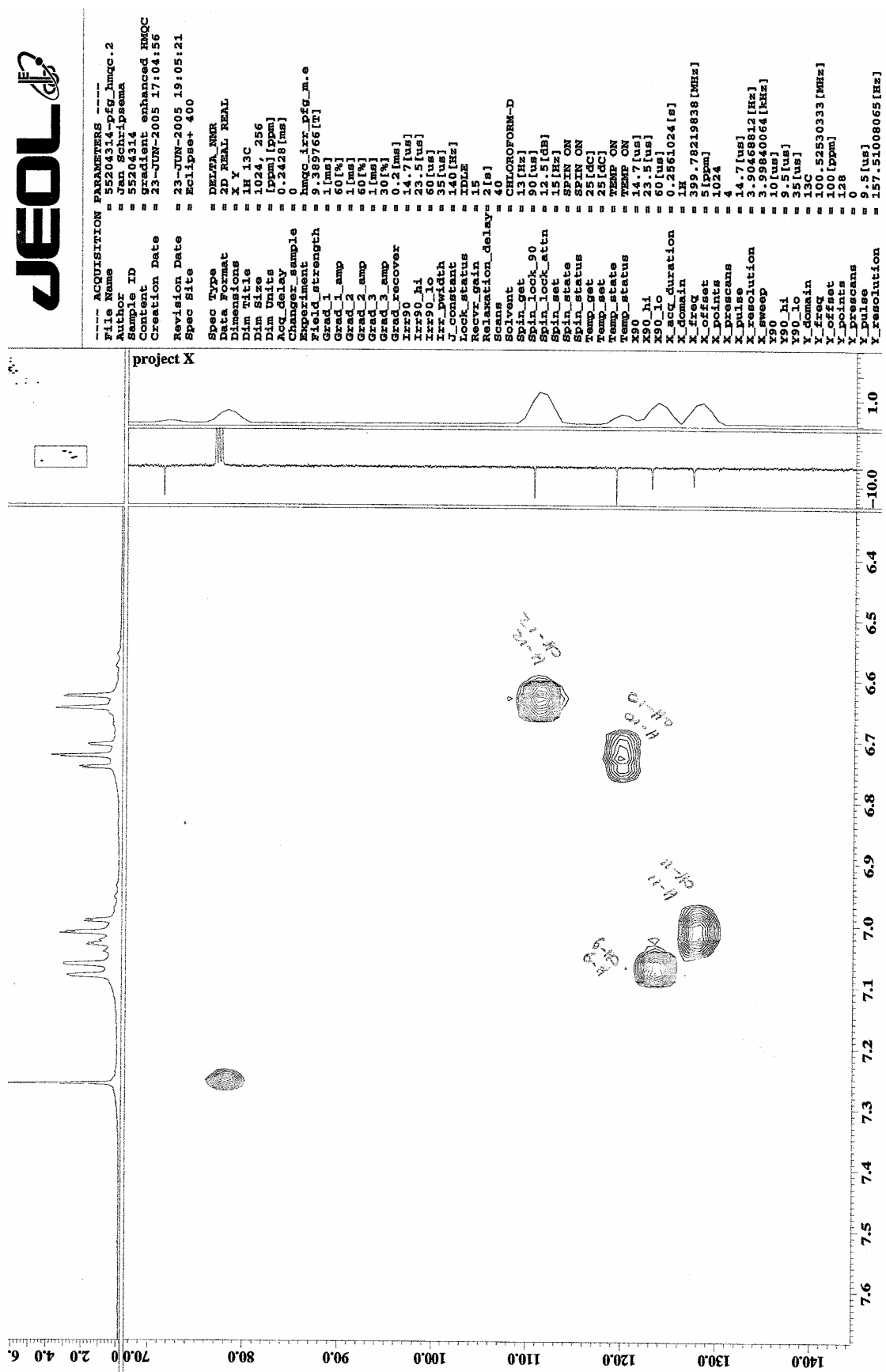
**Espectro 8.** Mapa de correlação heteronuclear HMQC em CDCl<sub>3</sub> do alcalóide (+)-aspidospermidina.



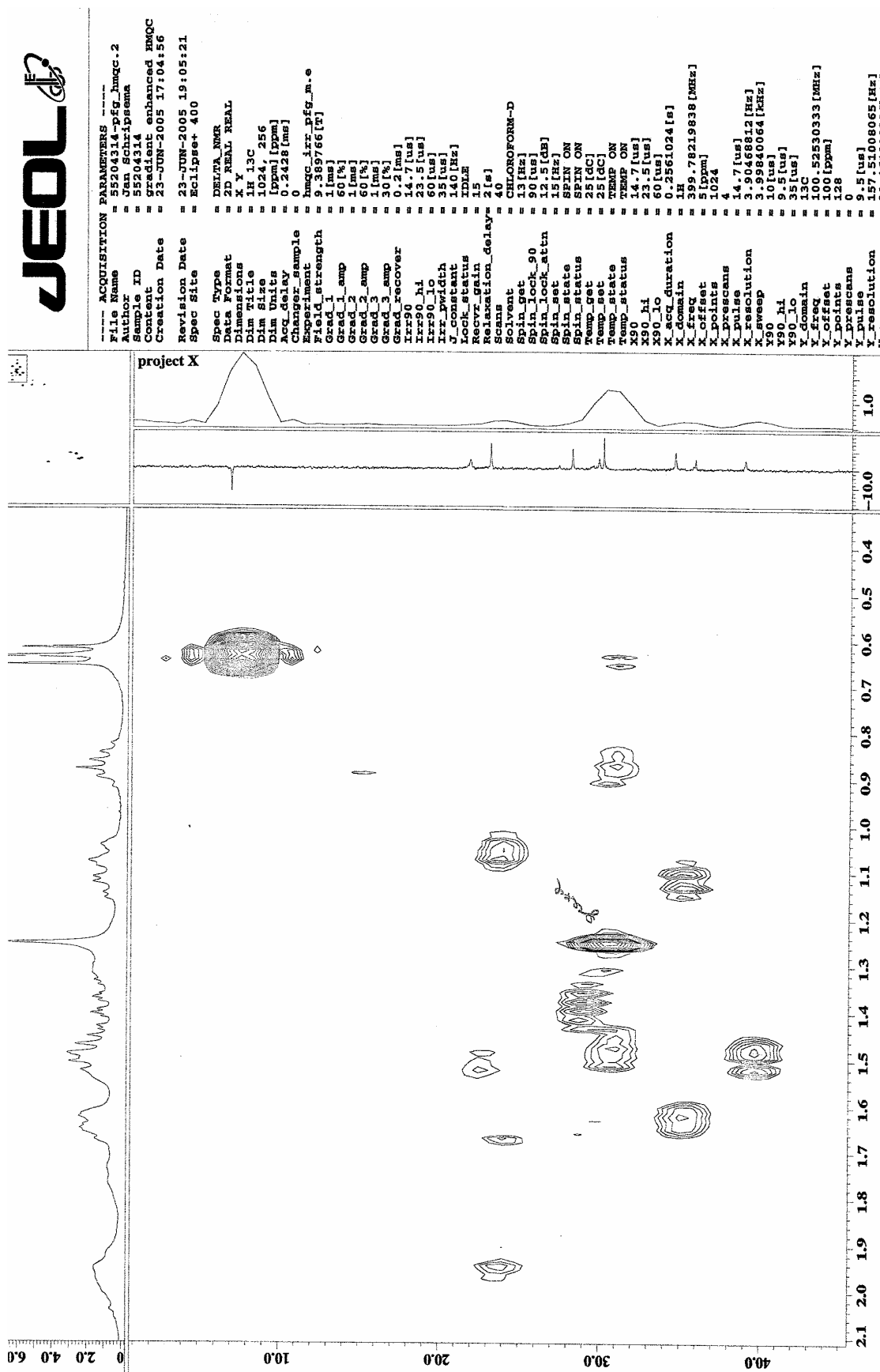
**Espectro 9.** Ampliação do mapa de correlação heteronuclear HMQC em  $\text{CDCl}_3$  do alcalóide (+)-aspidospermidina.



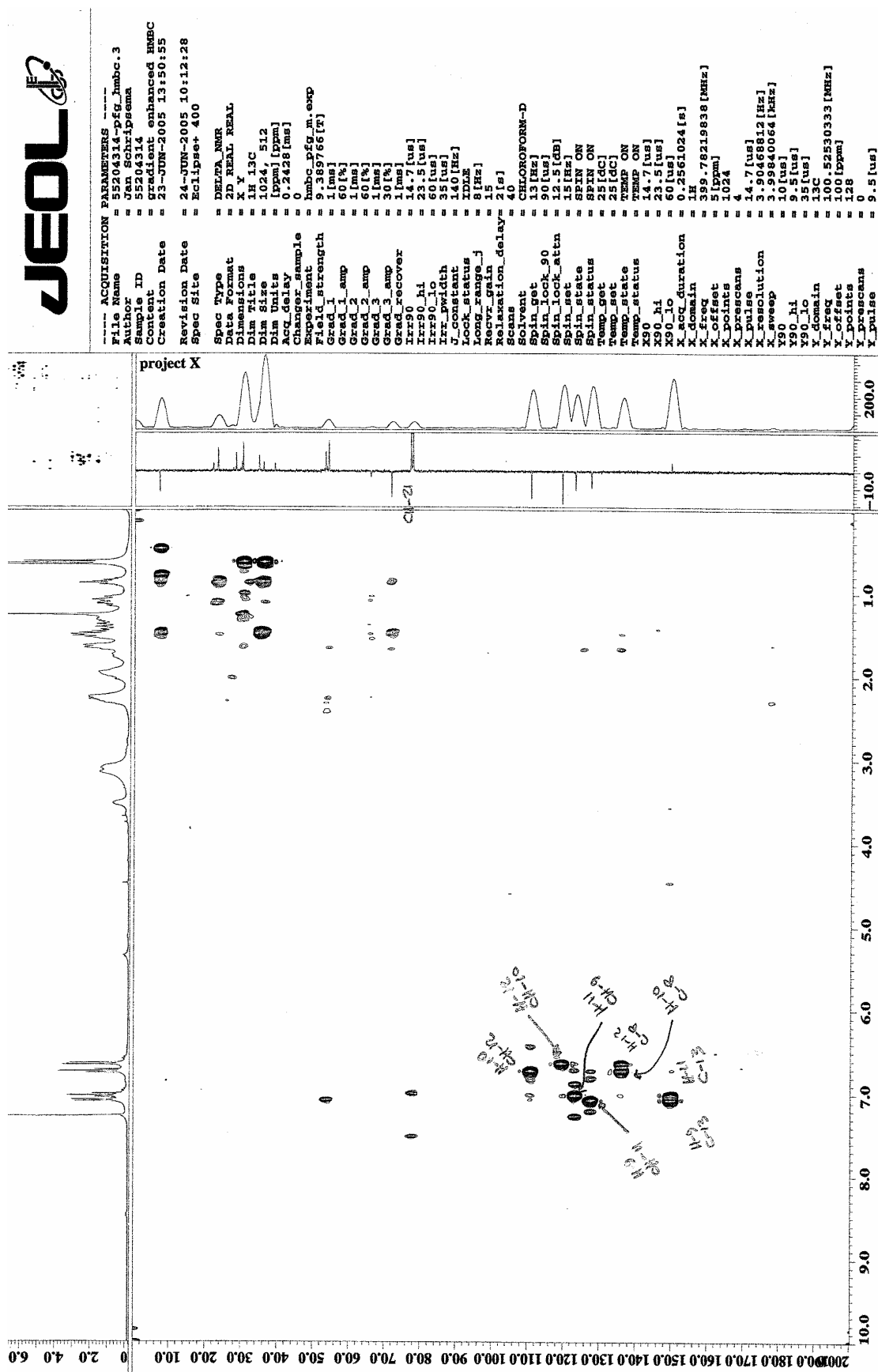
**Especro 10.** Ampliação do mapa de correlação heteronuclear HMQC em  $\text{CDCl}_3$  do alcalóide (+)-aspidospermidina.



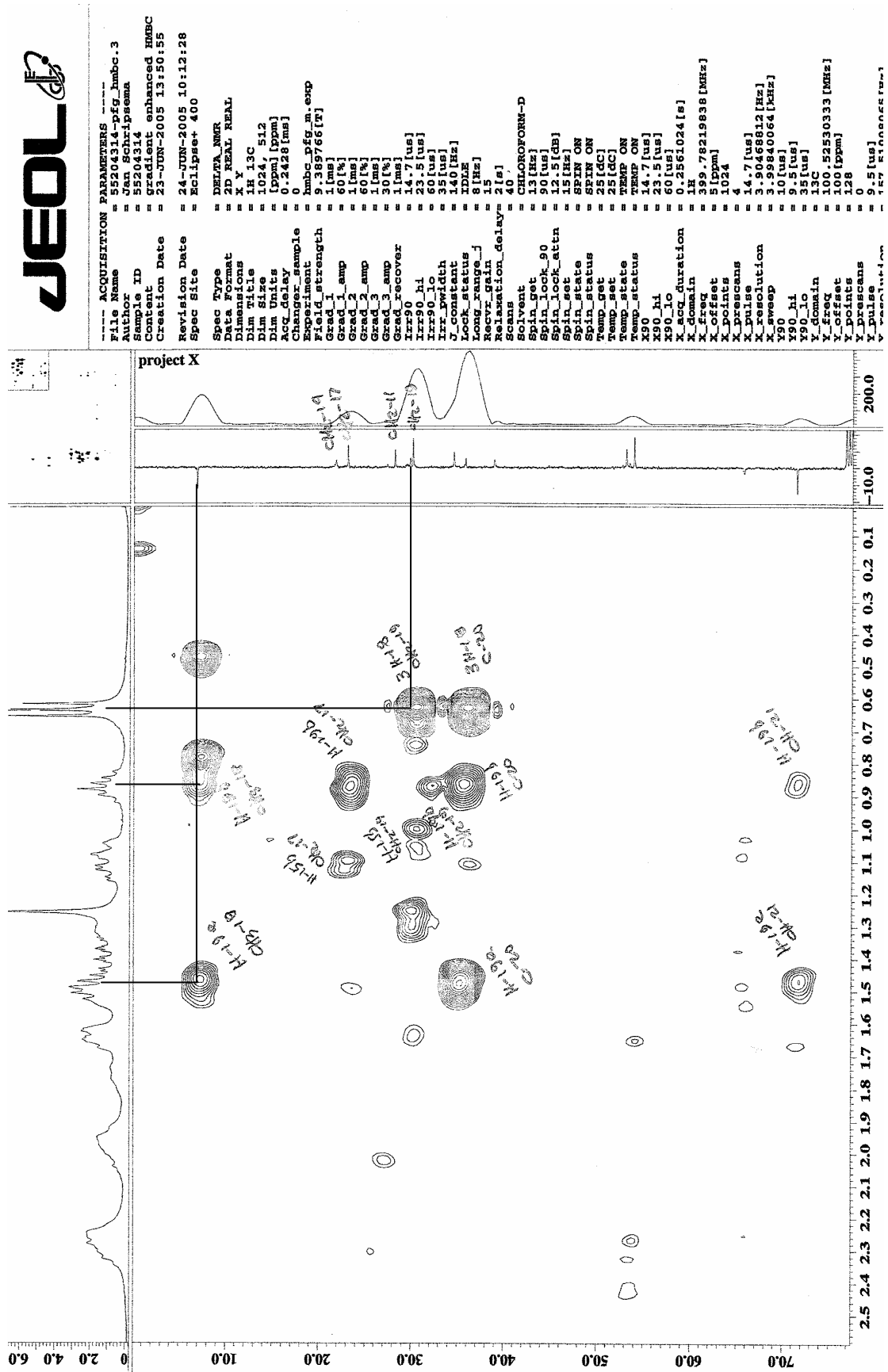
**Especro 11.** Ampliação do mapa de correlação heteronuclear HMQC em  $\text{CDCl}_3$  do  $\text{Alcalóide (+)-aspidospermidina}$ .



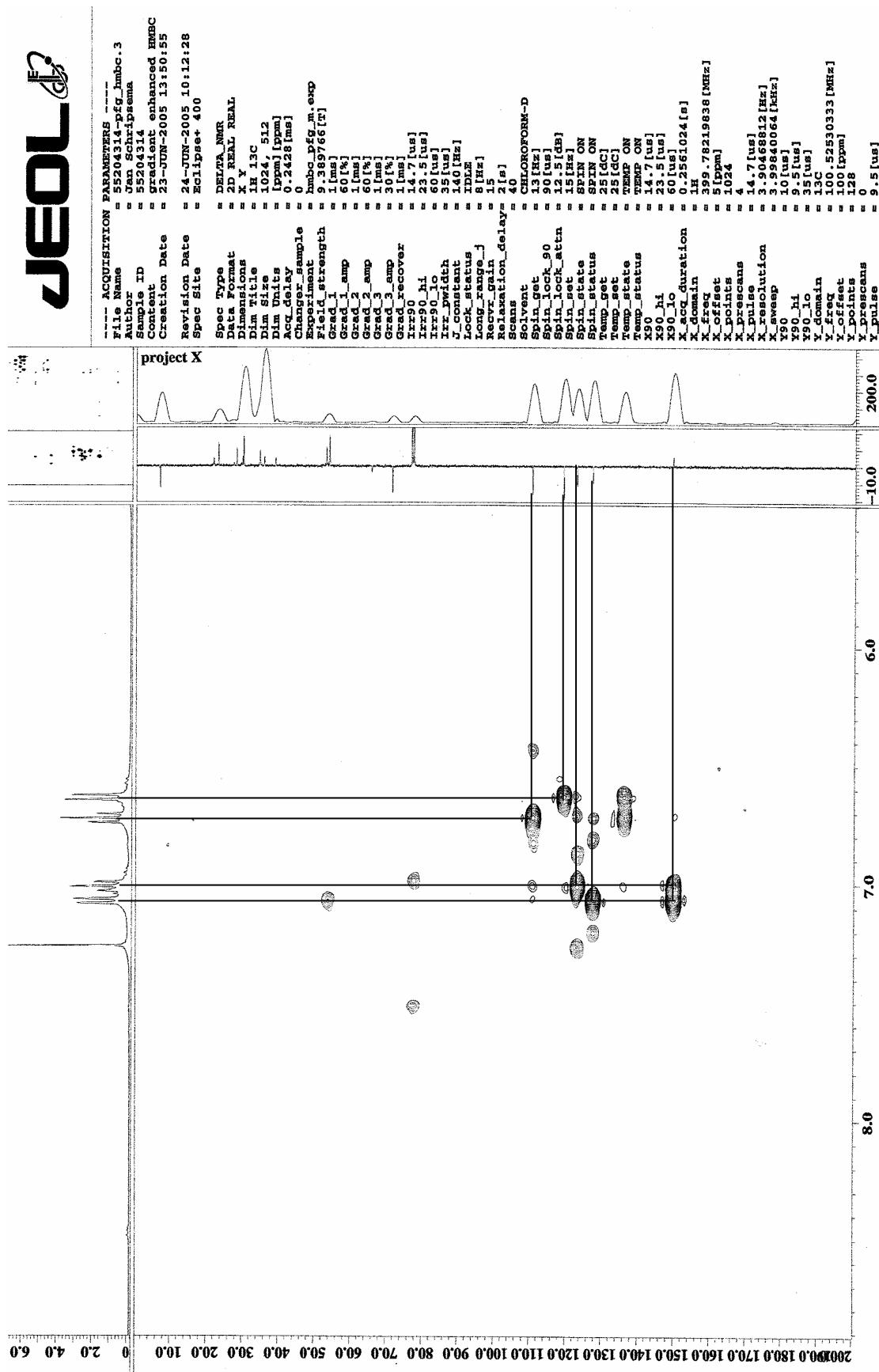
**Especro 12.** Ampliação do mapa de correlação heteronuclear HMQC em  $\text{CDCl}_3$  do  $\text{AlCl}_3$  do alcalóide (+)-aspidospermidina.



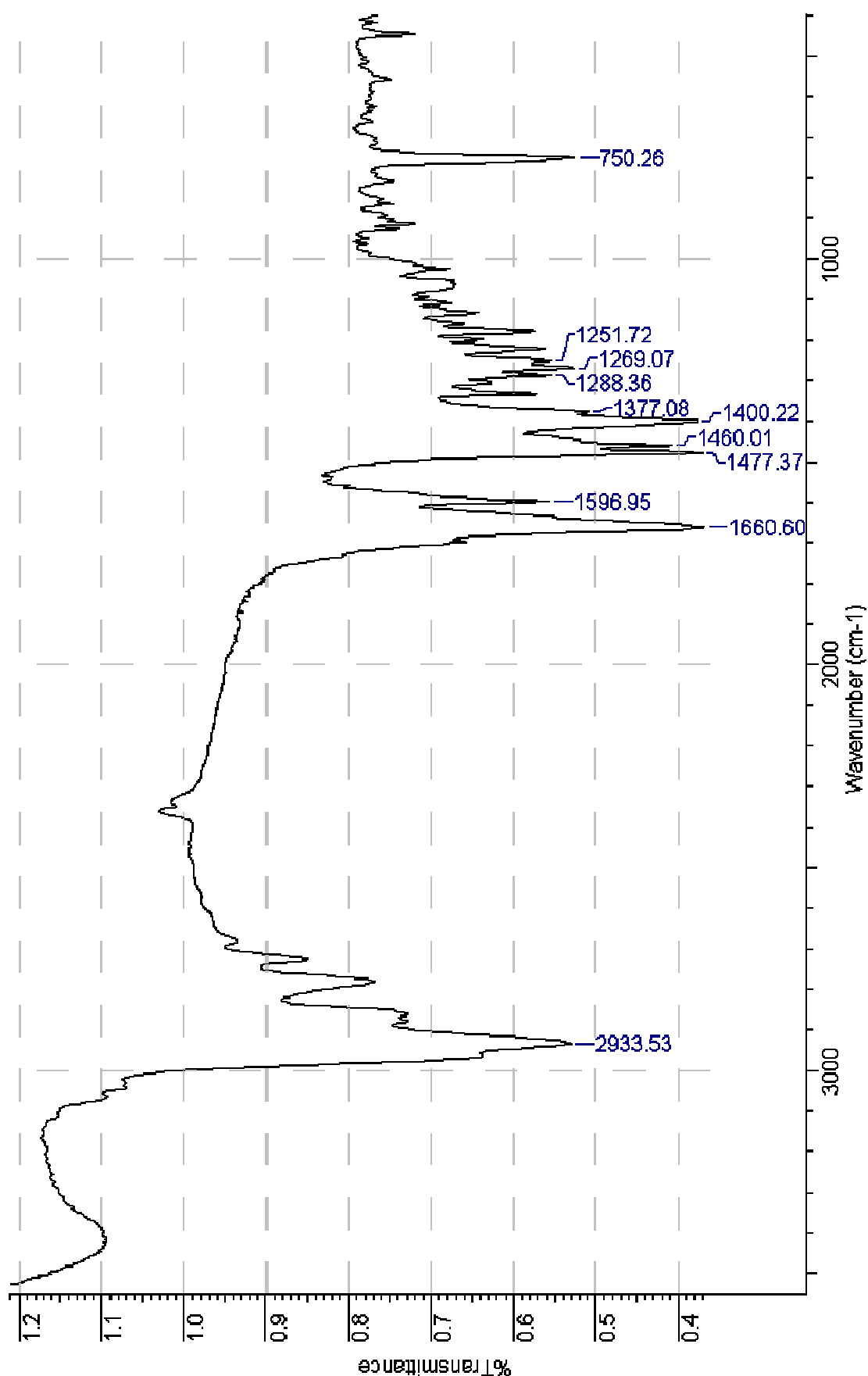
**Especro 13.** Mapa de correlação heteronuclear HMBc em CDCl<sub>3</sub> do alcalóide (+)-aspidospermidina.



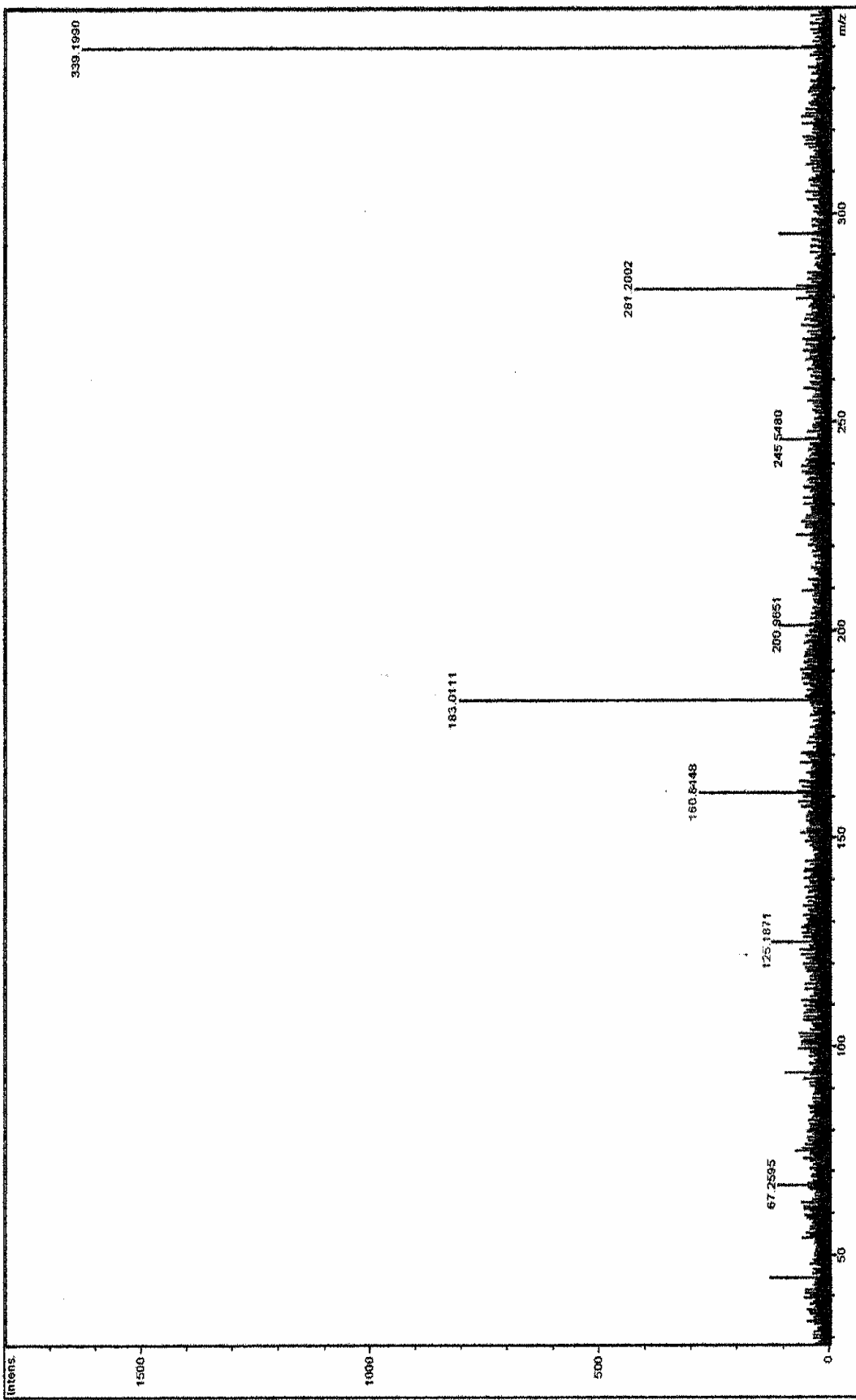
**Especro 14.** Mapa de correlação heteronuclear HMBC em  $\text{CDCl}_3$  do alcalóide (+)-aspidospermidina.



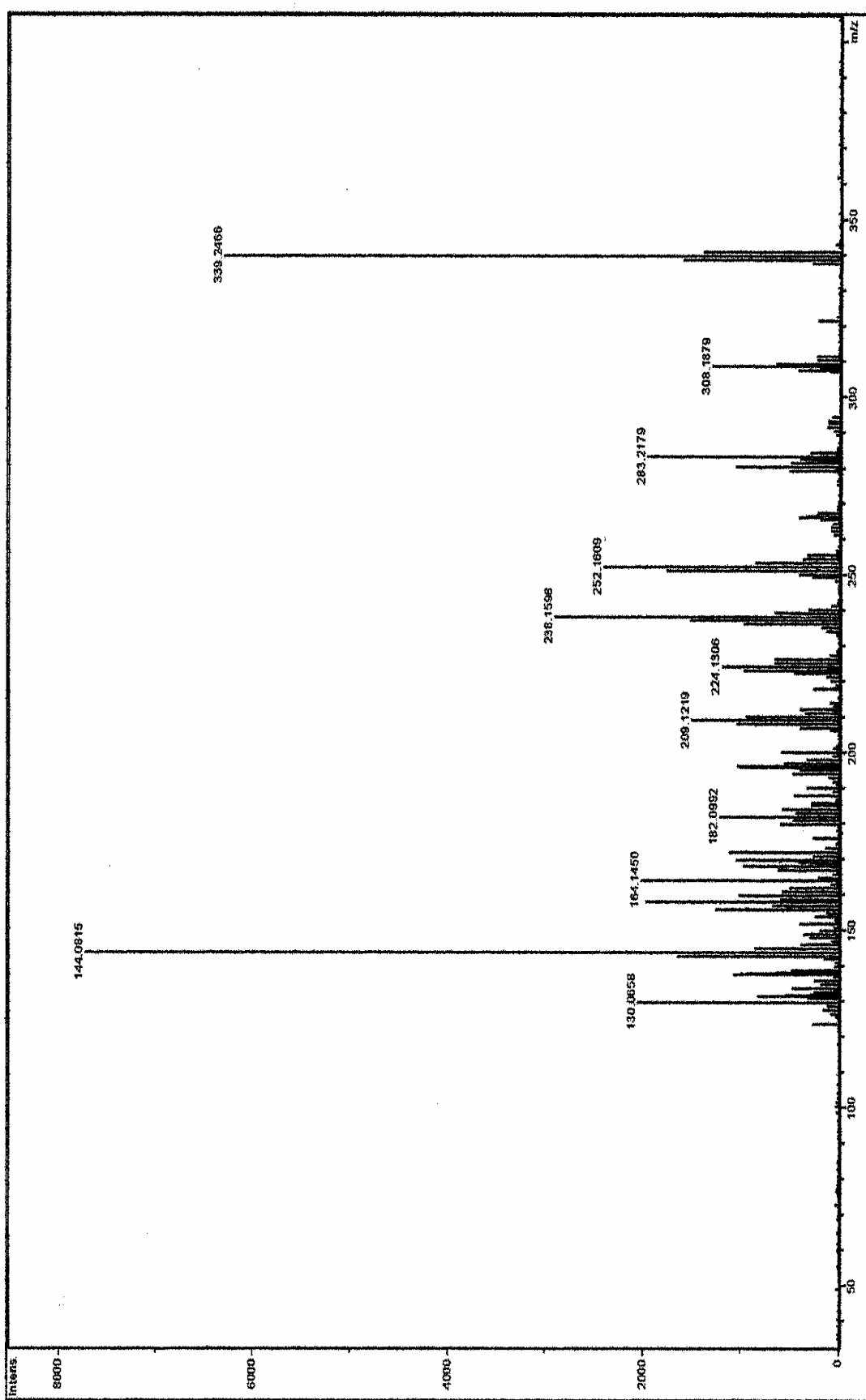
**Especro 15.** Mapa de correlação heteronuclear HMBC em CDCl<sub>3</sub> do alcalóide (+)-aspidospermidina.



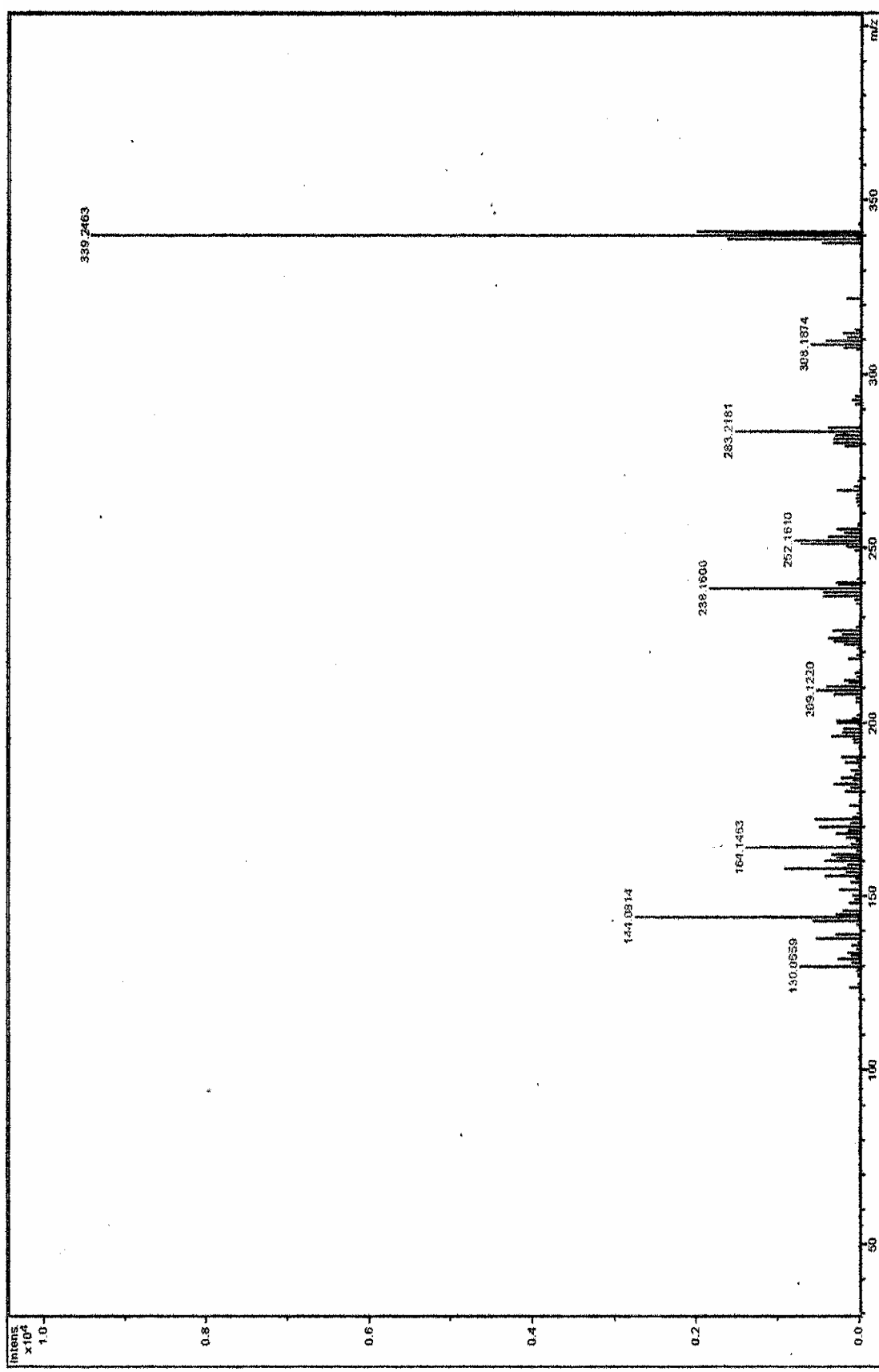
**Espectro 16.** Espectro de Infra vermelho do alcalóide (-)-desmetoxipipulosina.



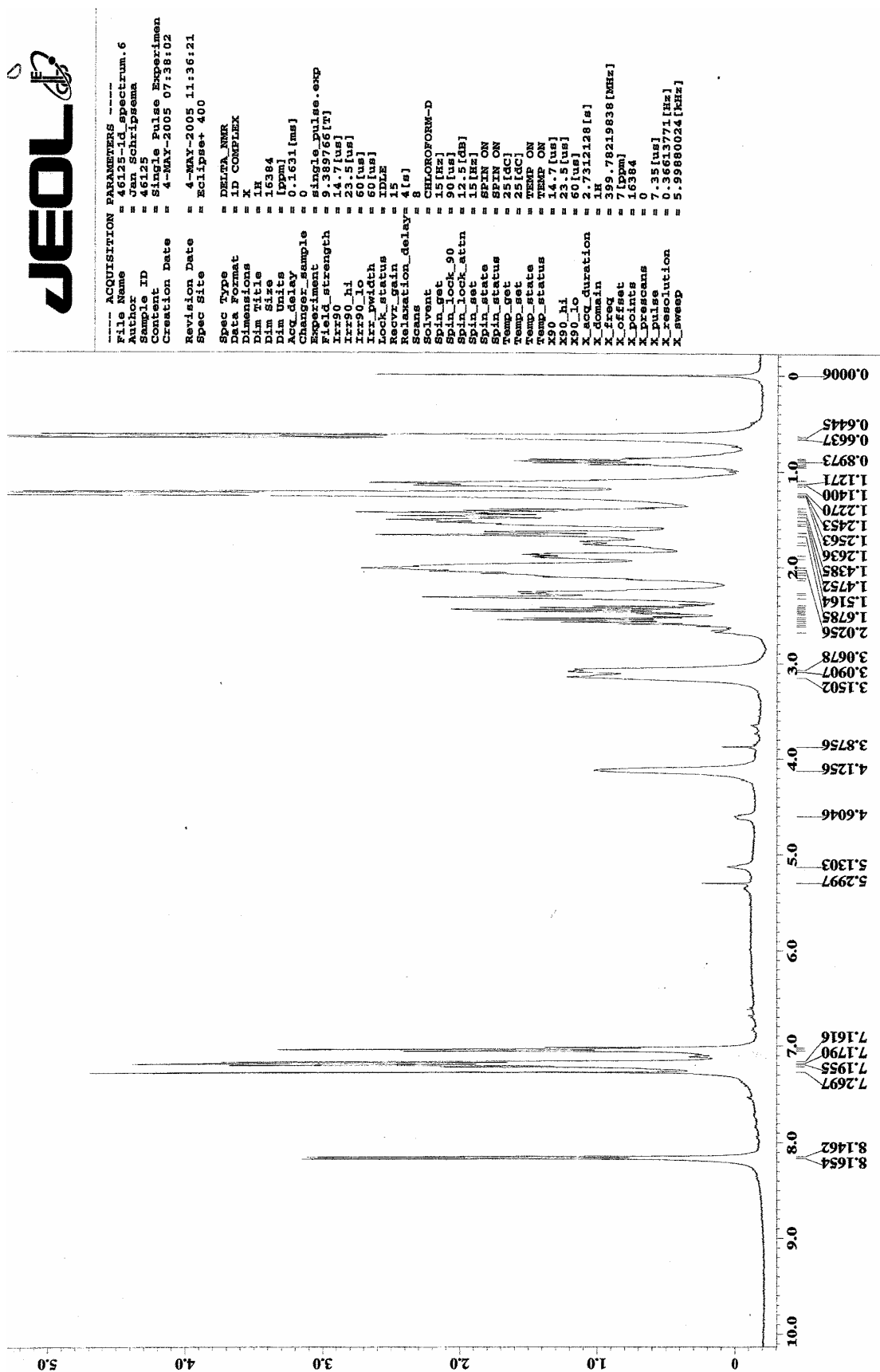
**Espectro 17.** Espectro de massas do alcalóide (-)-desmetoxipipulosina.

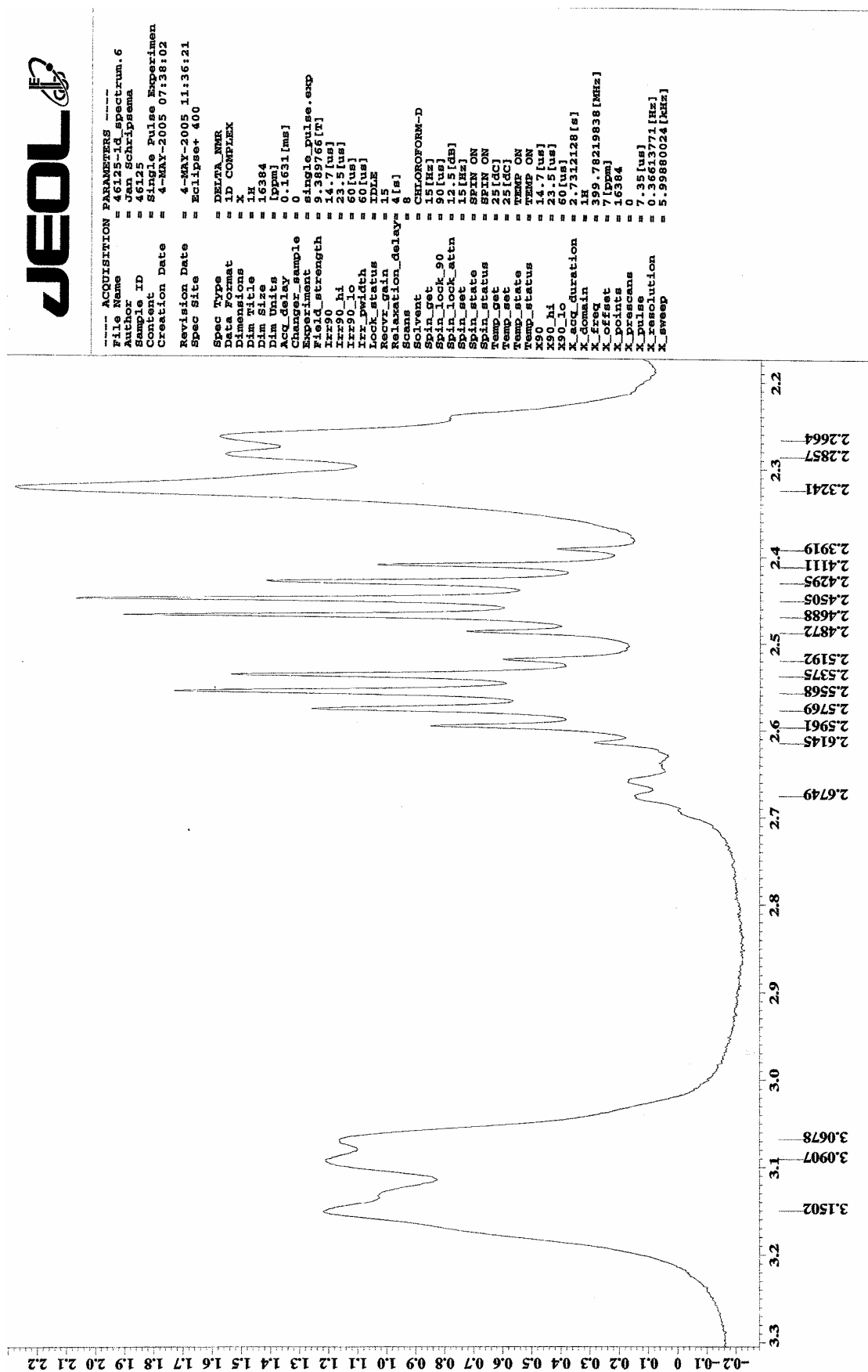


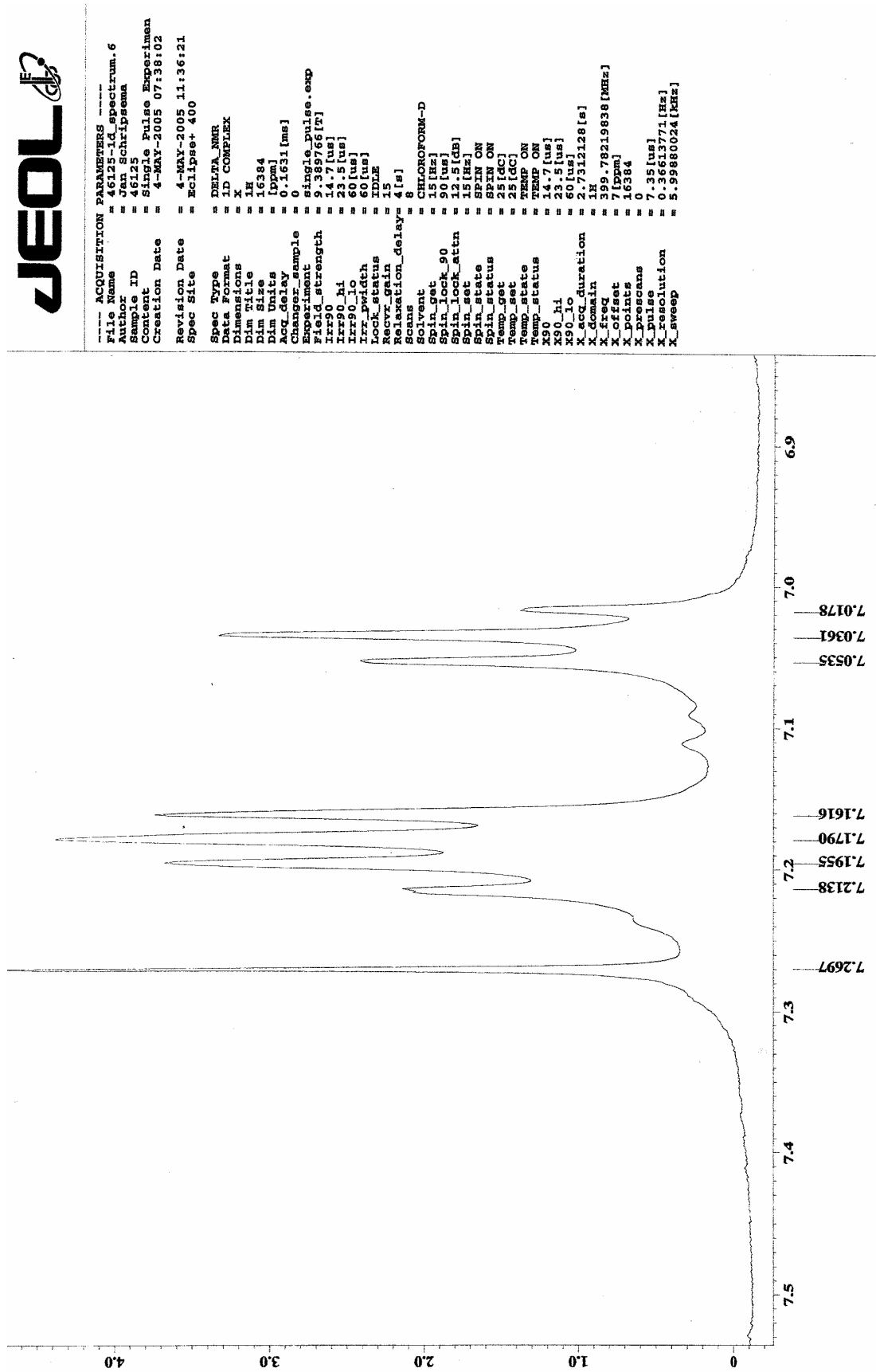
**Espectro 18.** Espectro de massas do alcalóide (-)-desmetoxipiperosina.



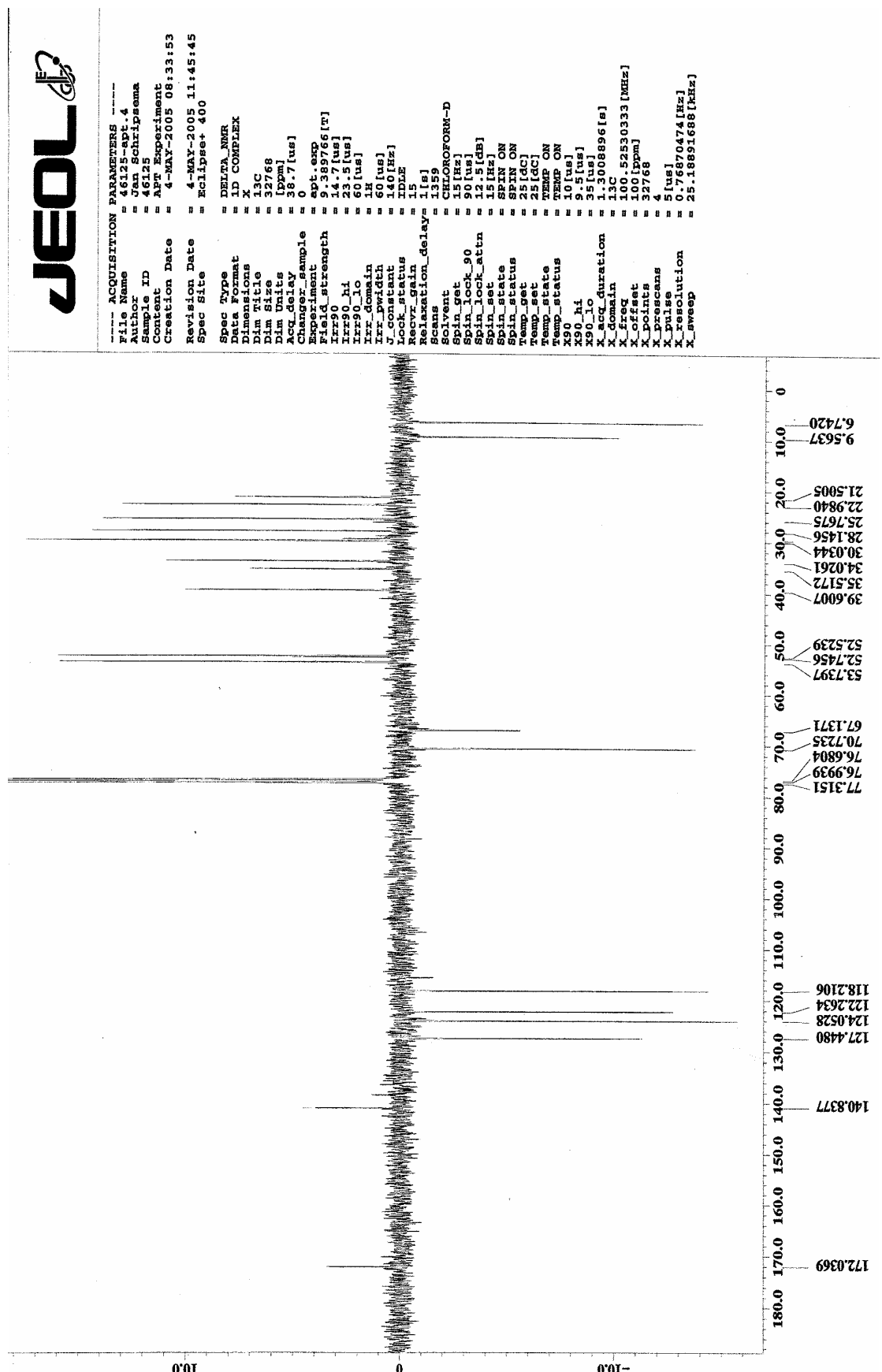
**Espectro 19.** Espectro de massas do alcaloide (-)-desmetoxipipulosina.



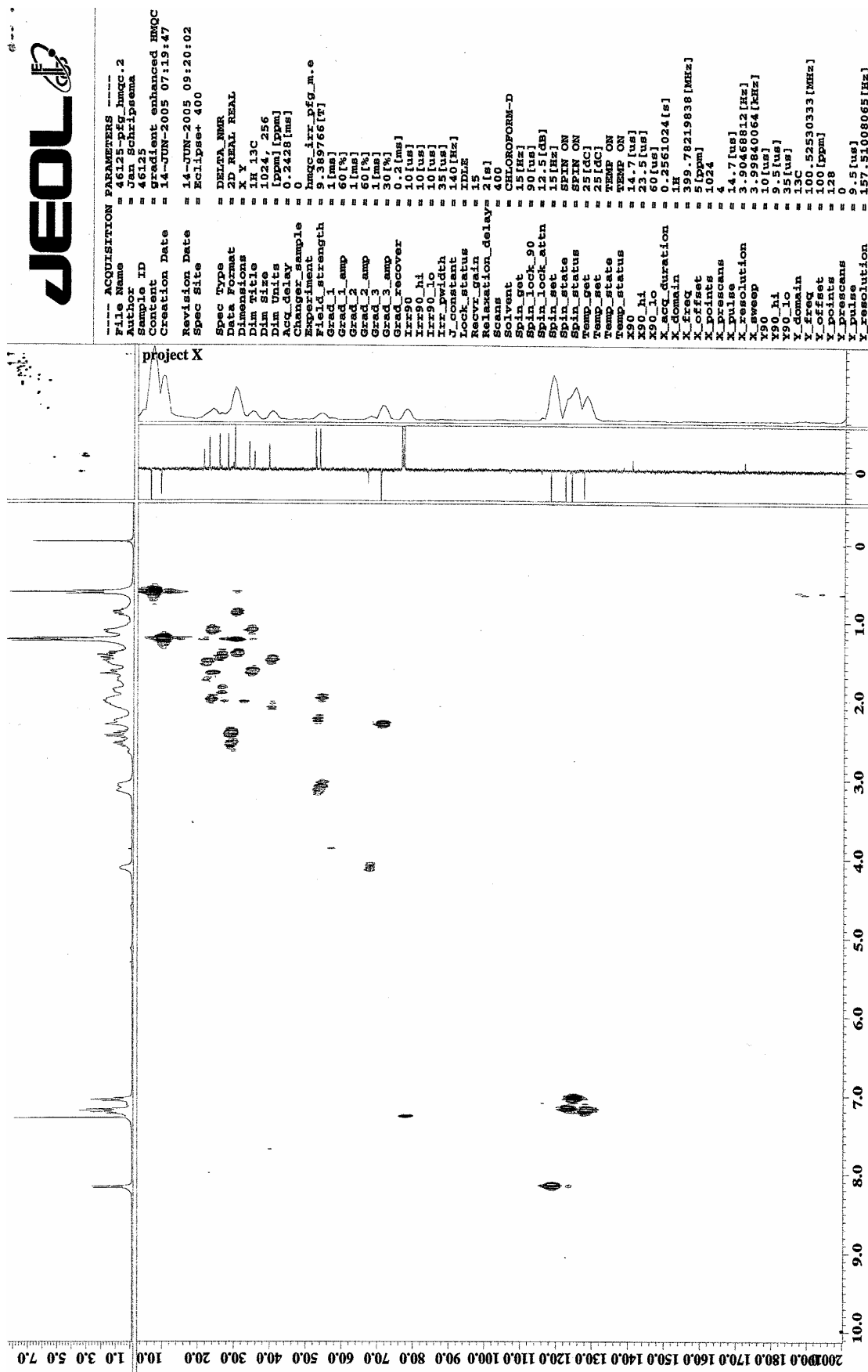




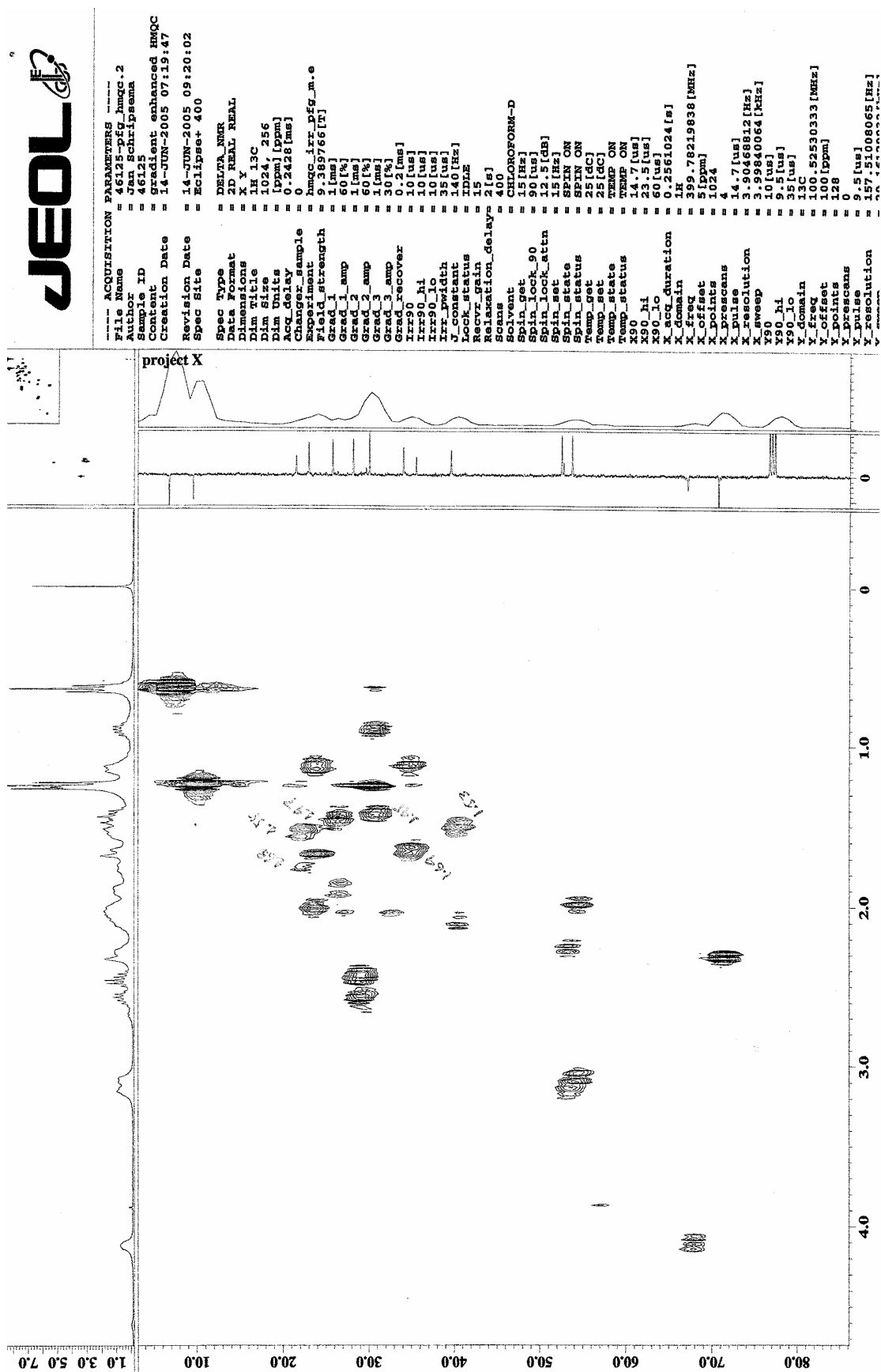
**Espectro 22.** Ampliação da região de  $\delta_H$  6,9-7,7 do espectro de RMN  $^1H$  (400 MHz) em  $CDCl_3$  do alcalóide (-)-desmetoxipalosina.



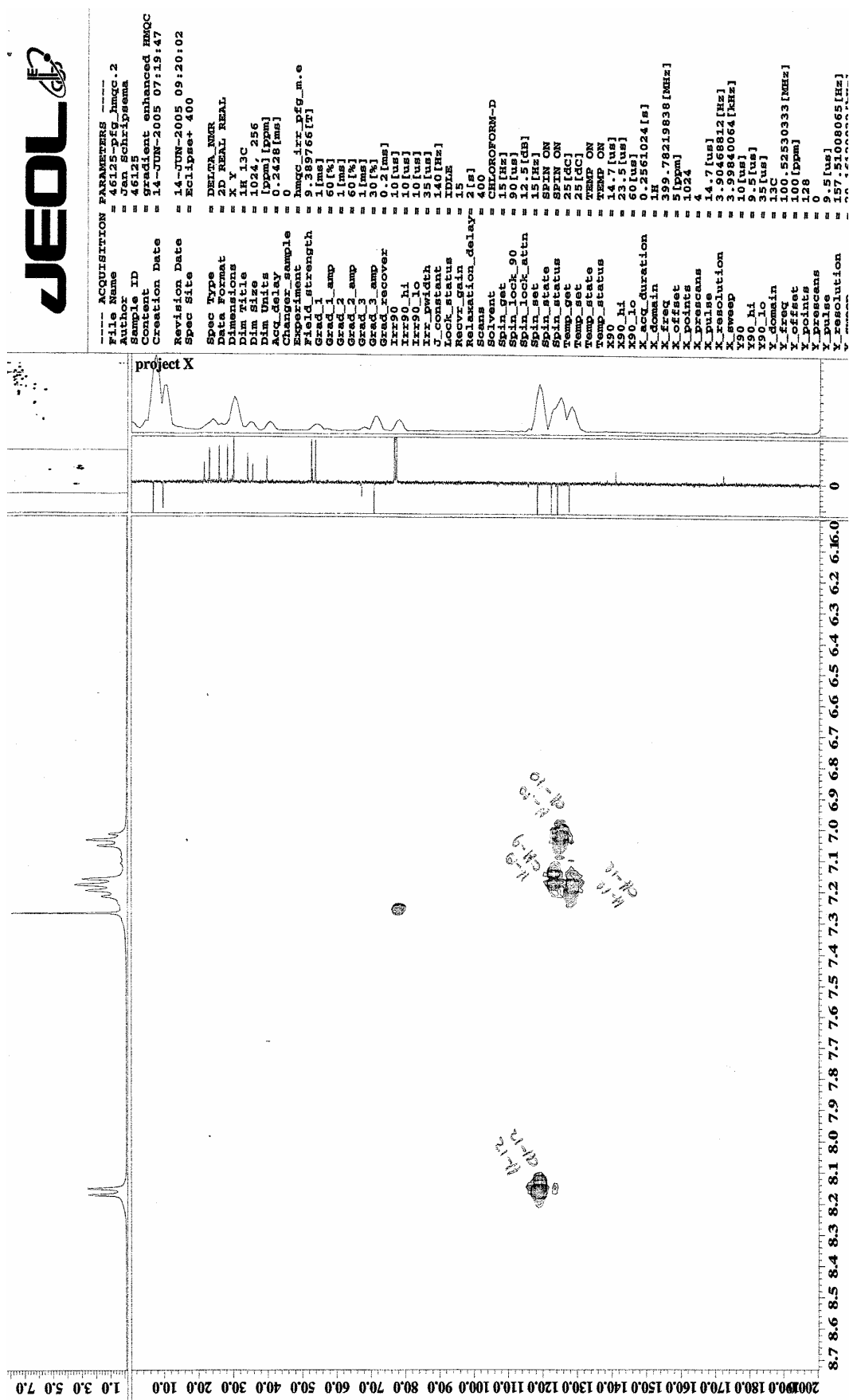
**Espectro 23.** Espectro de RMN  $^{13}\text{C}$  (100 MHz-APT) em  $\text{CDCl}_3$  do alcalóide ( $-$ )-desmetoxipalosina.



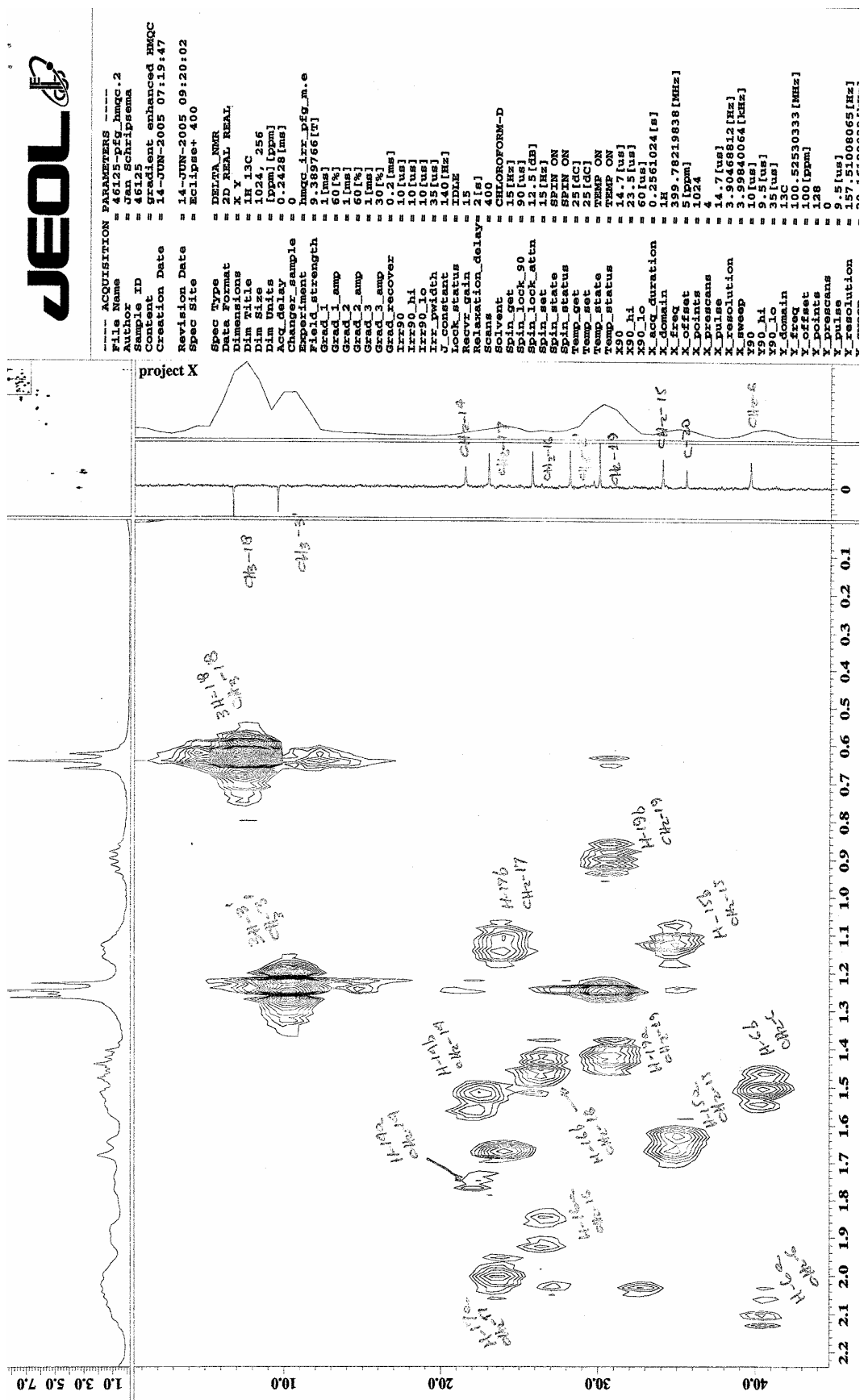
**Espectro 24.** Mapa de correlação heteronuclear HMQC em CDCl<sub>3</sub> do alcalóide (-)-desmetoxipallosina.



Espectro 25. Ampliação do mapa de correlação heteronuclear HMQC em  $\text{CDCl}_3$  do alcalóide (-)-desmetoxipalosina.

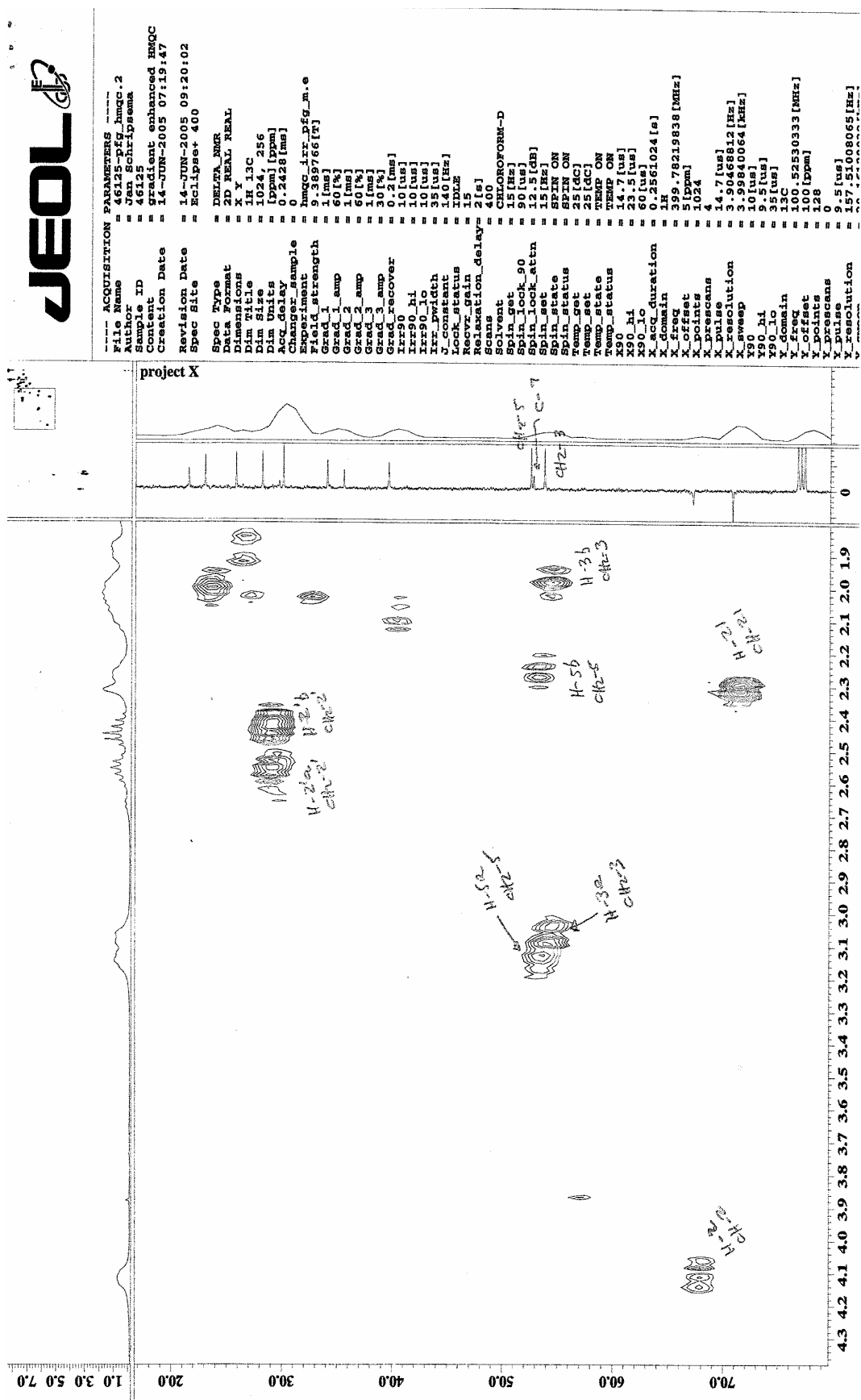


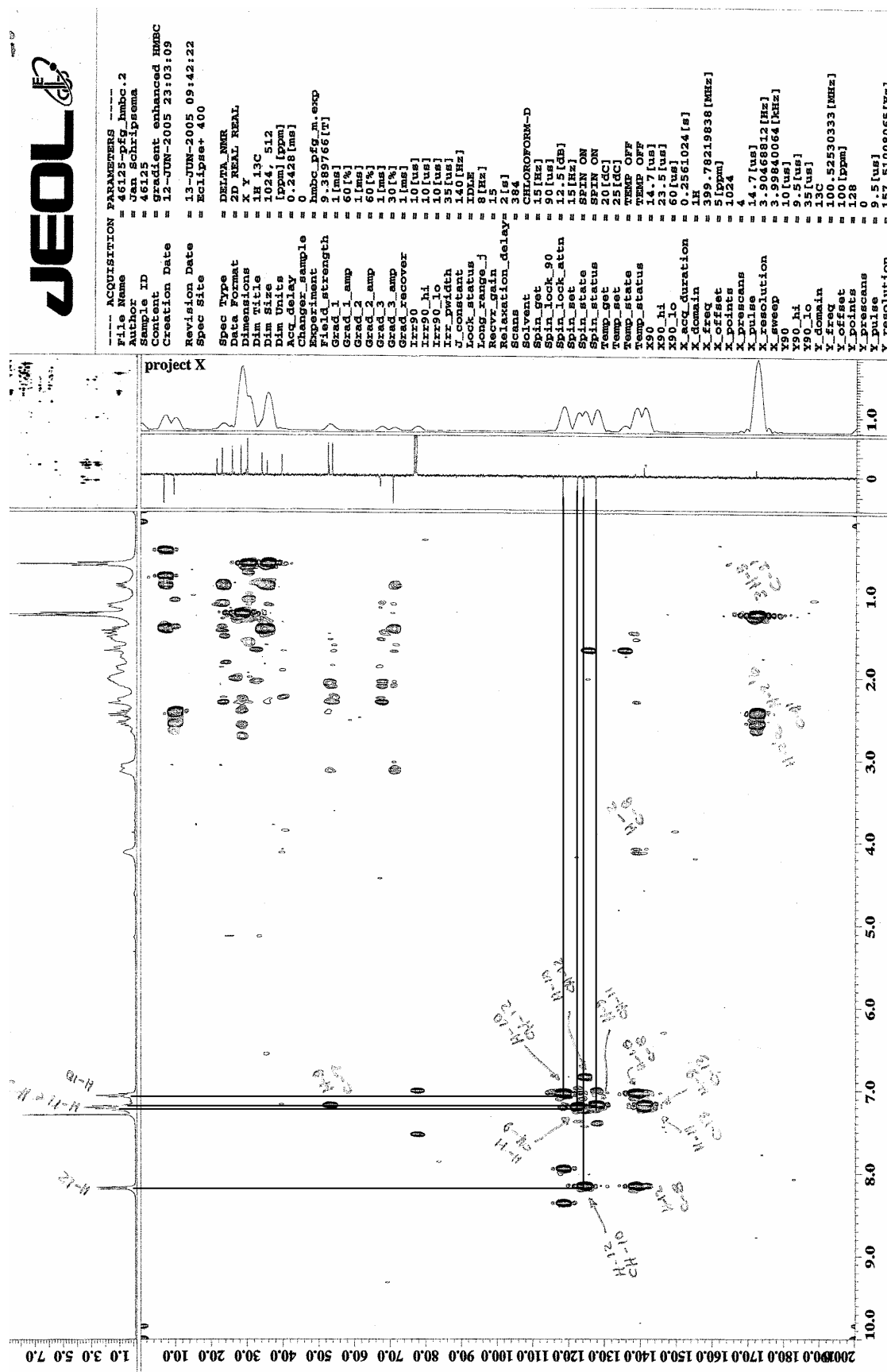
Espectro 26. Ampliação do mapa de correlação heteronuclear HMQC em  $\text{CDCl}_3$  do alcaloide (-)-desmetoxipalosina.



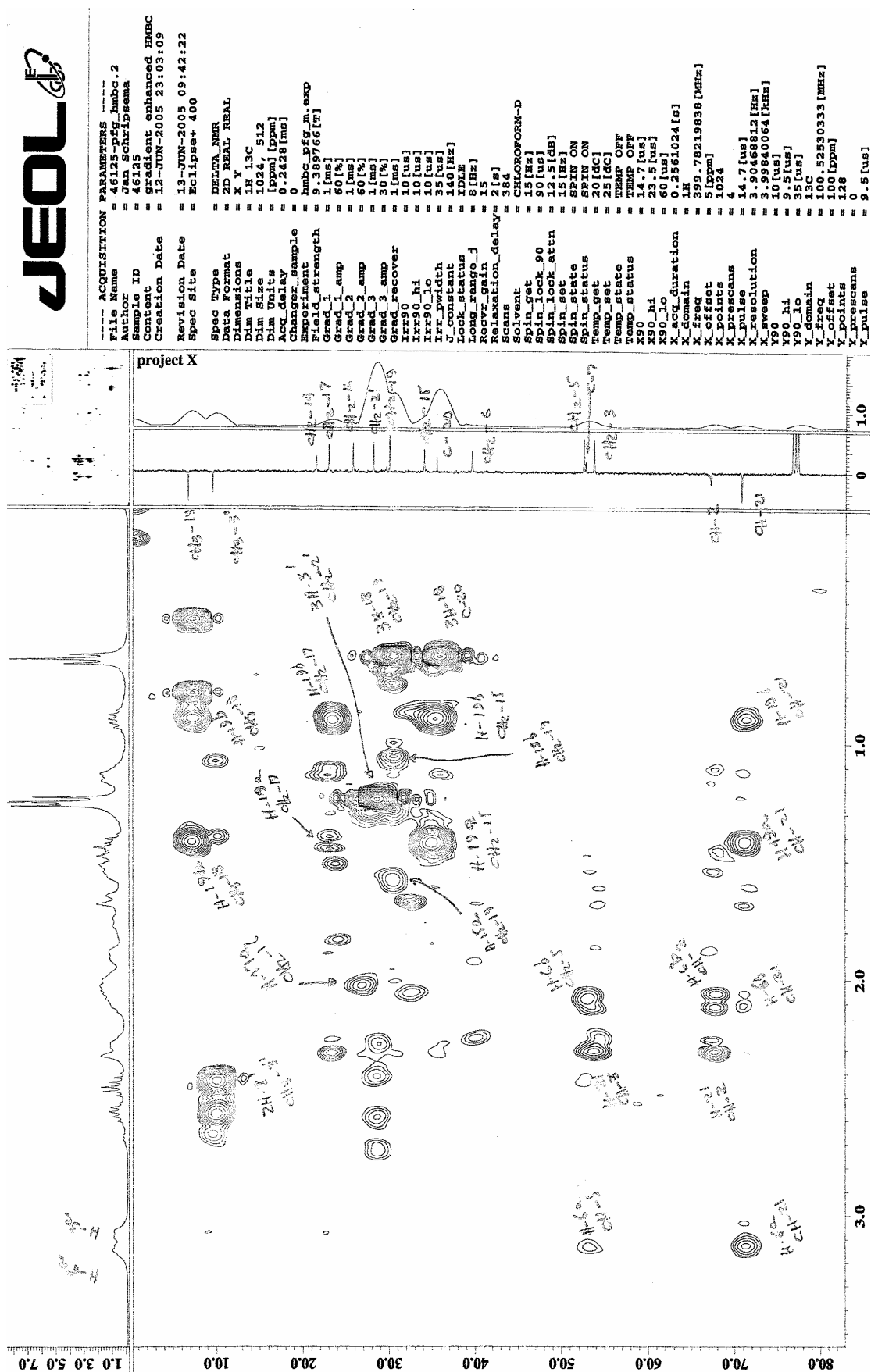
**Especro 27.** Ampliação do mapa de correlação heteronuclear HMQC em  $\text{CDCl}_3$  do alcalóide (-)-desmetoxipalosina.

**Especro 28.** Ampliação do mapa de correlação heteronuclear HMQC em  $\text{CDCl}_3$  do alcalóide (-)-desmetoxipalosina.

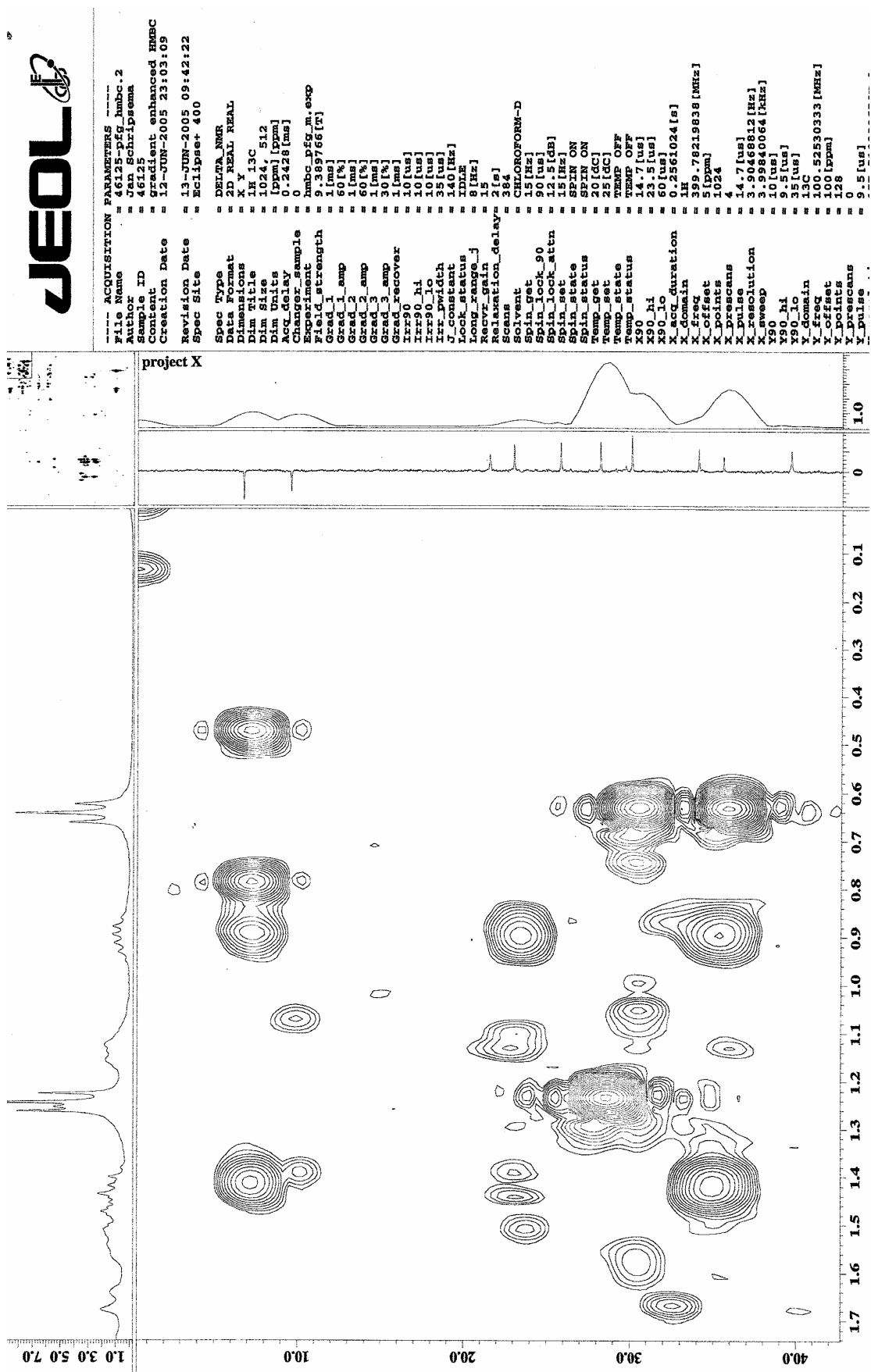




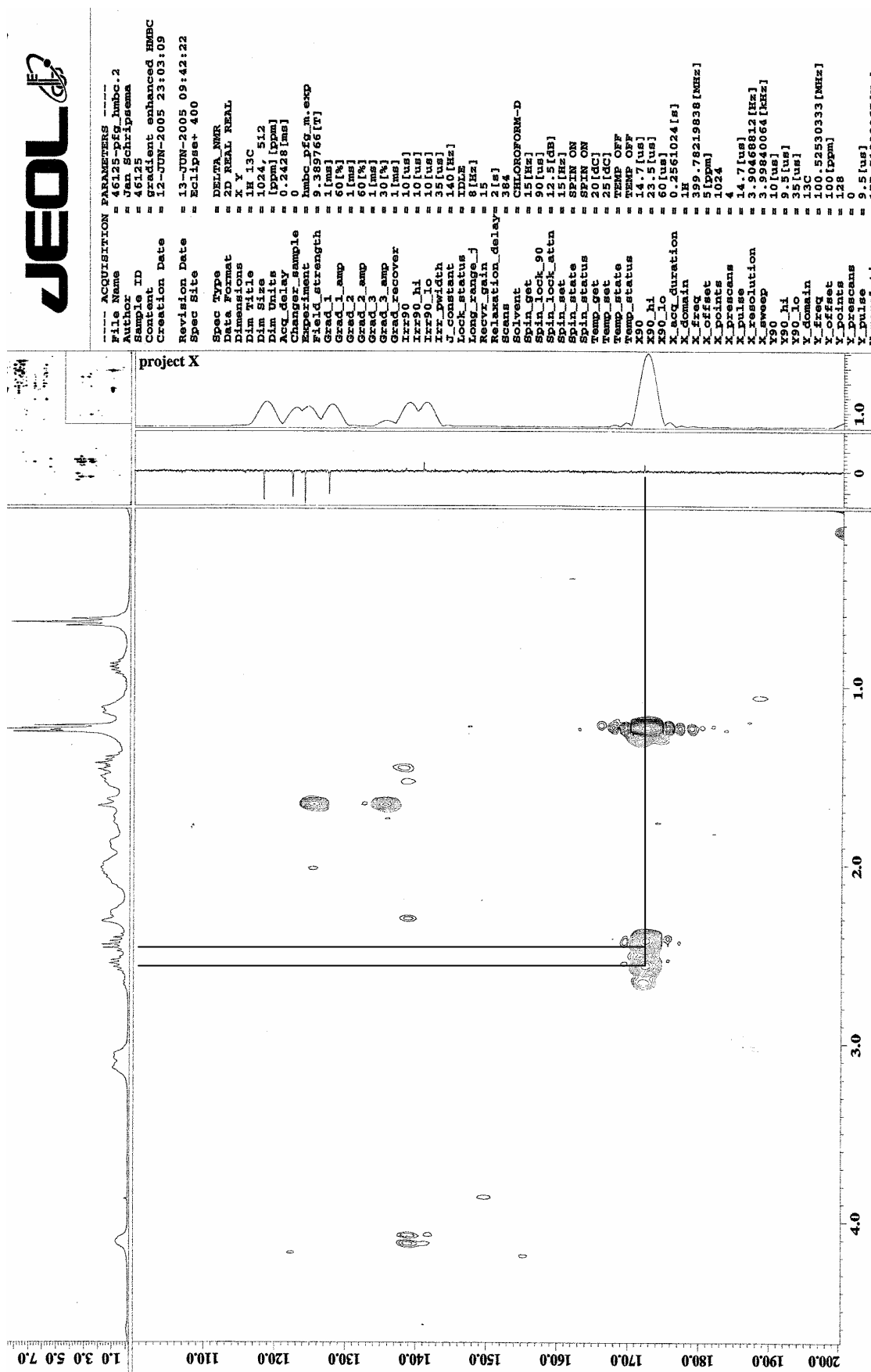
**Espectro 29.** Mapa de correlação heteronuclear HMBC em CDCl<sub>3</sub> do alcalóide (-)-desmetoxipalosina.



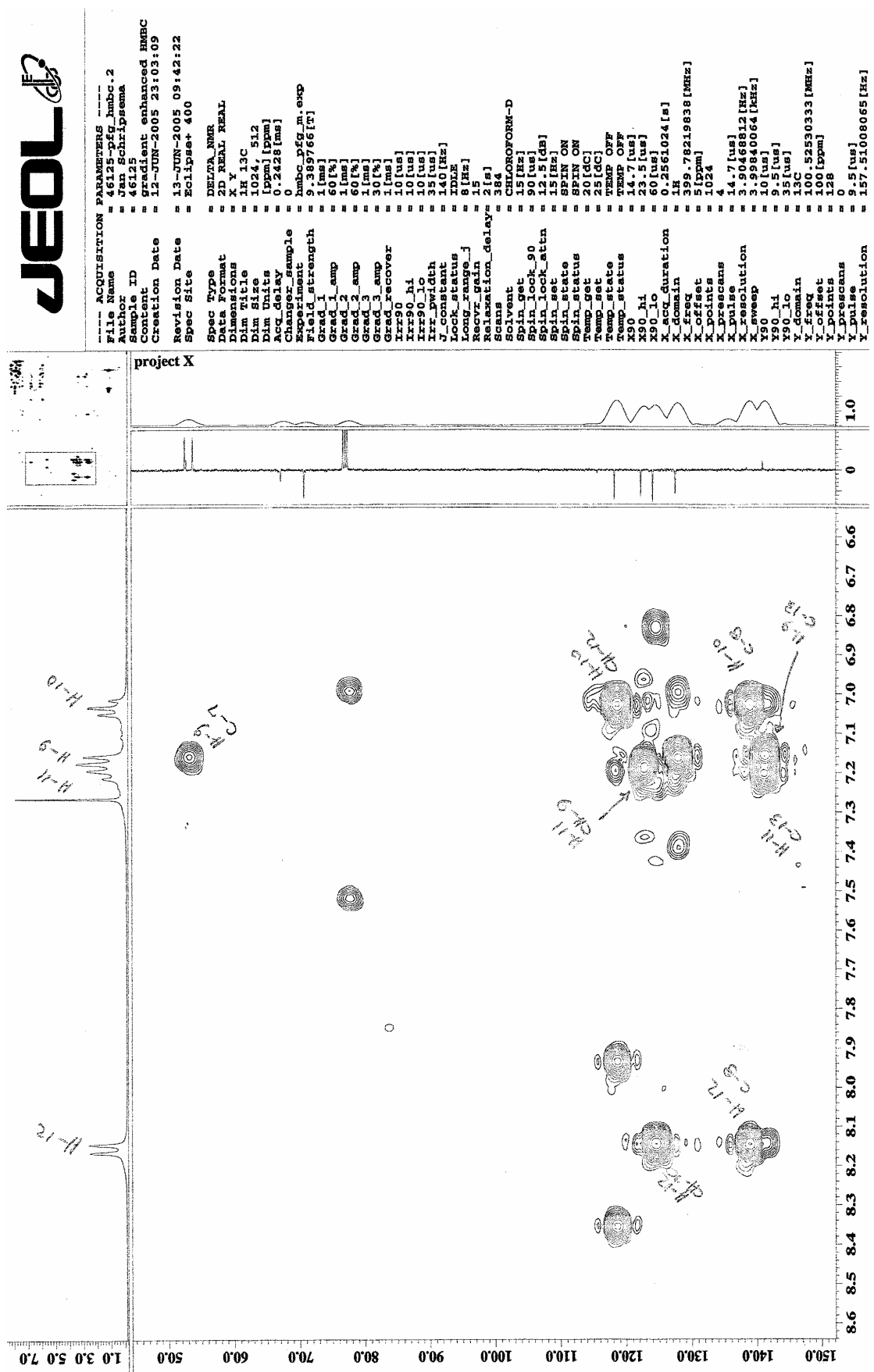
**Espectro 30.** Ampliação do mapa de correlação heteronuclear HMBC em  $\text{CDCl}_3$  do alcalóide (-)-desmetoxipalosina.



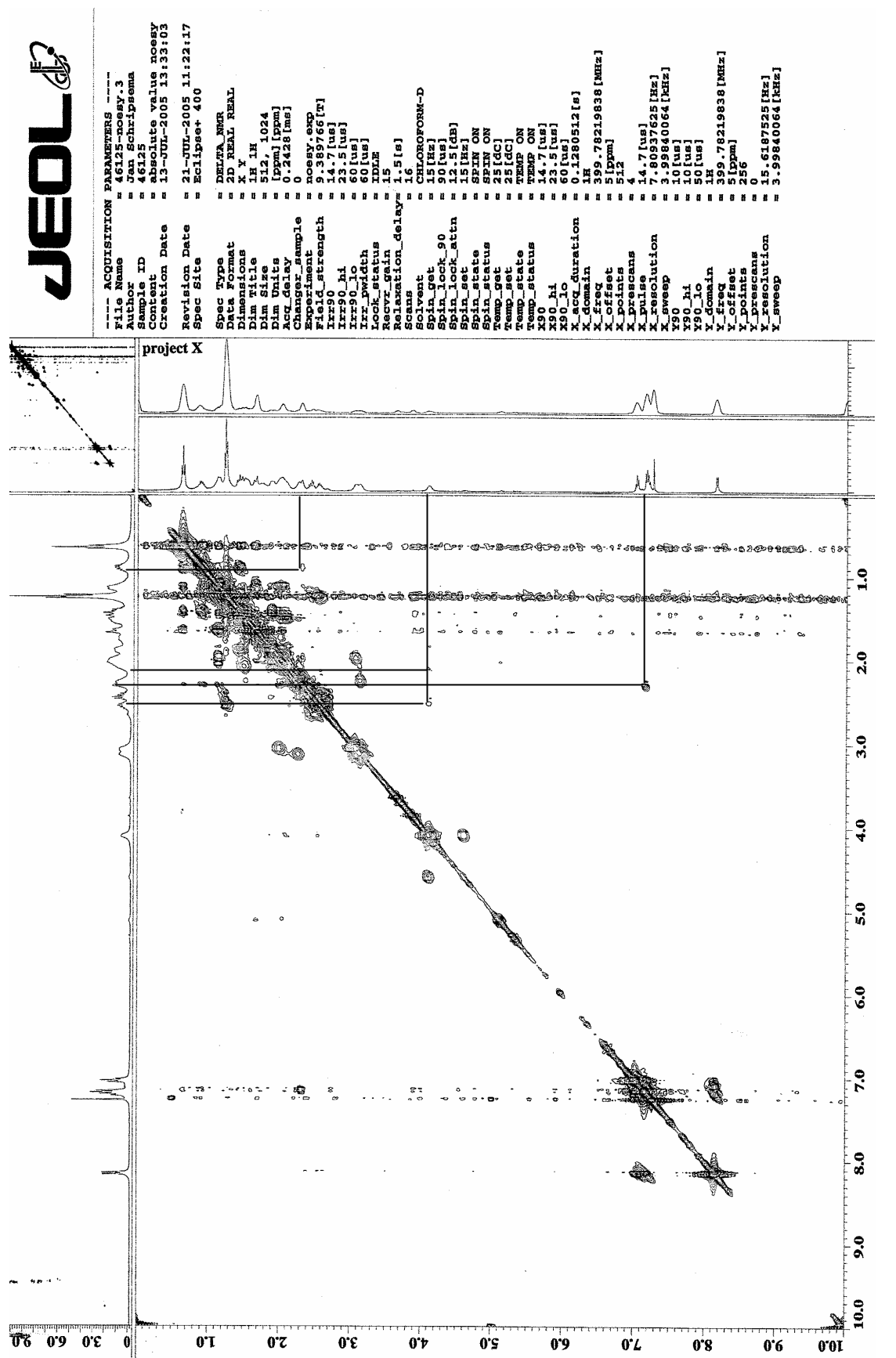
**Espectro 31.** Ampliação do mapa de correlação heteronuclear HMBC em  $\text{CDCl}_3$  do alcalóide (-)-desmetoxipalosina.



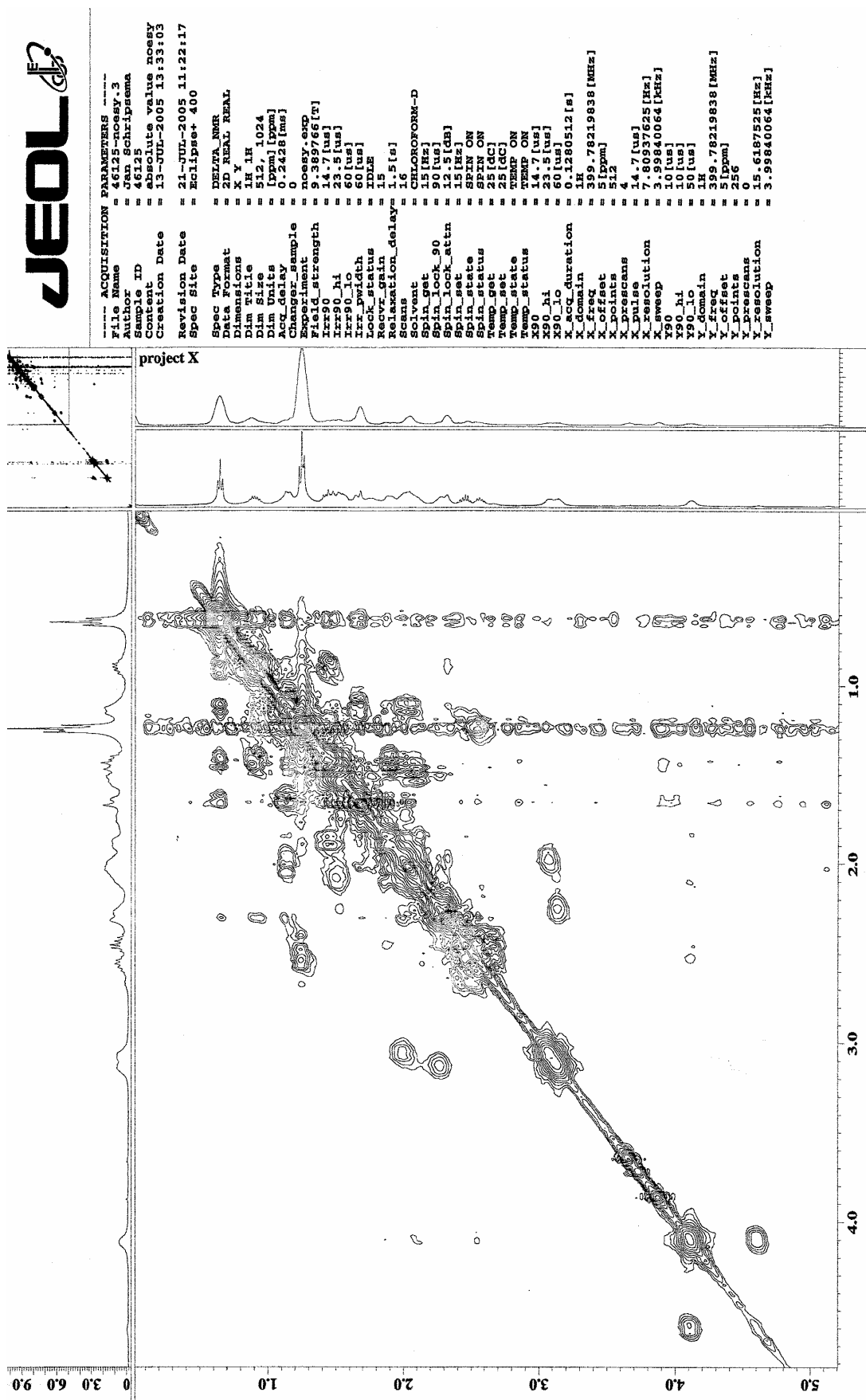
**Espectro 32.** Ampliação do mapa de correlação heteronuclear HMBC em  $\text{CDCl}_3$  do alcalóide (-)-desmetoxipalosina.



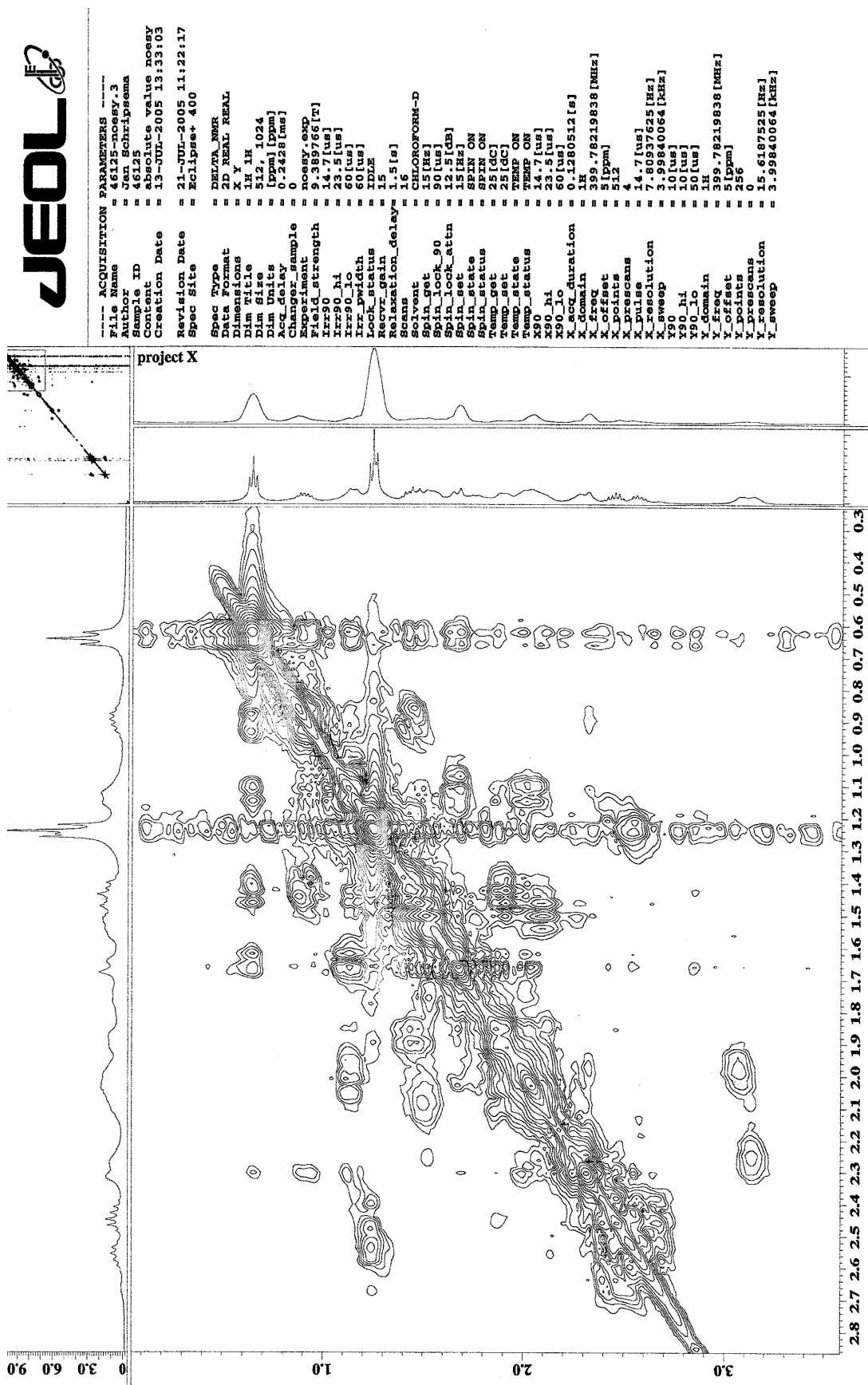
Espectro 33. Ampliação do mapa de correlação heteronuclear HMBC em  $\text{CDCl}_3$  do alcalóide (-)-desmetoxipalosina.



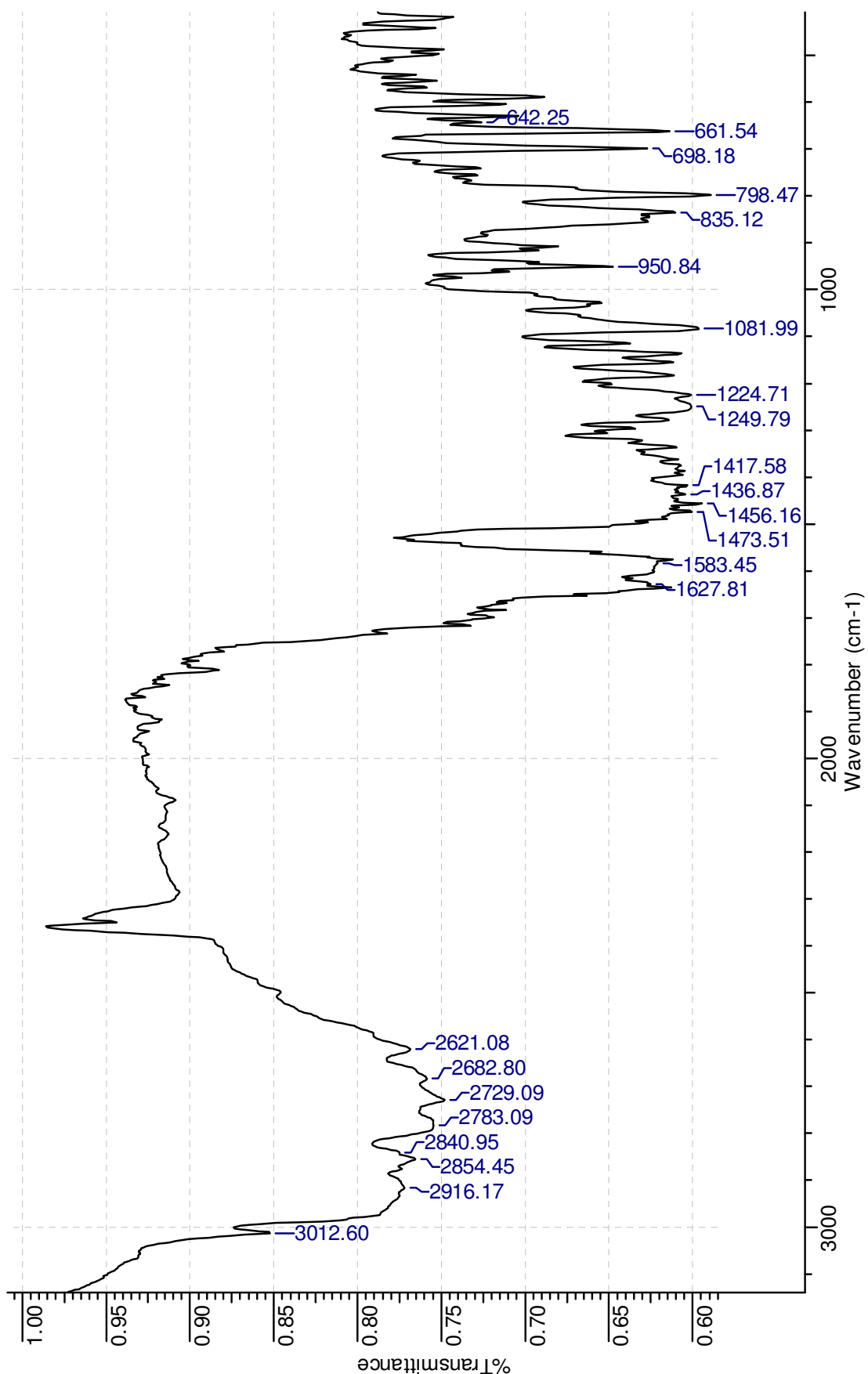
Especro 34. Mapa de correlação homonuclear  $^1\text{H}$ - $^1\text{H}$ -NOESY em  $\text{CDCl}_3$  do alcalóide (-)-desmetoxipalosina.



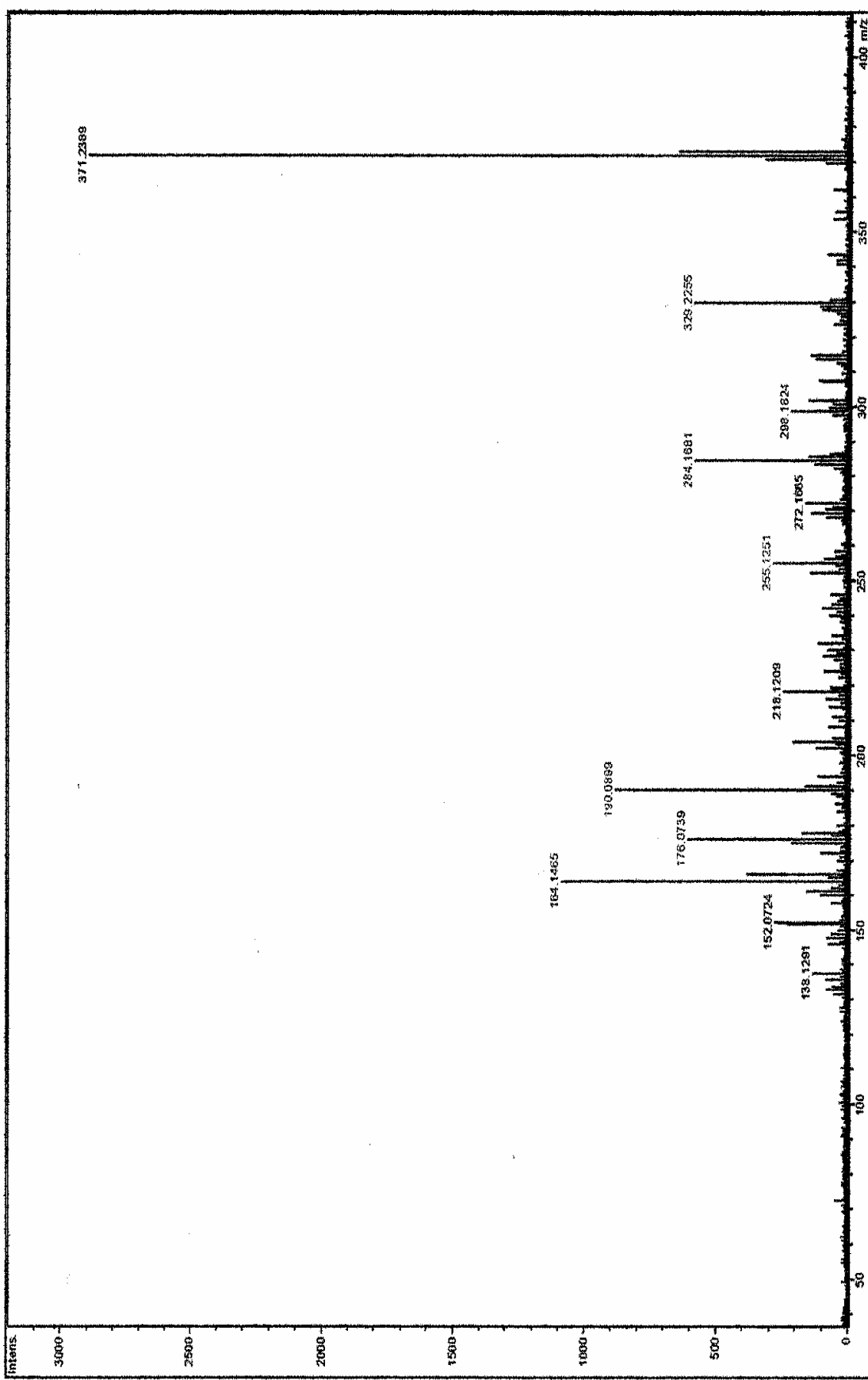
**Espectro 35.** Ampliação do mapa de correlação homonuclear  $^1\text{H}$ - $^1\text{H}$ -NOESY em  $\text{CDCl}_3$  do alcalóide (-)-desmetoxiphalosina.



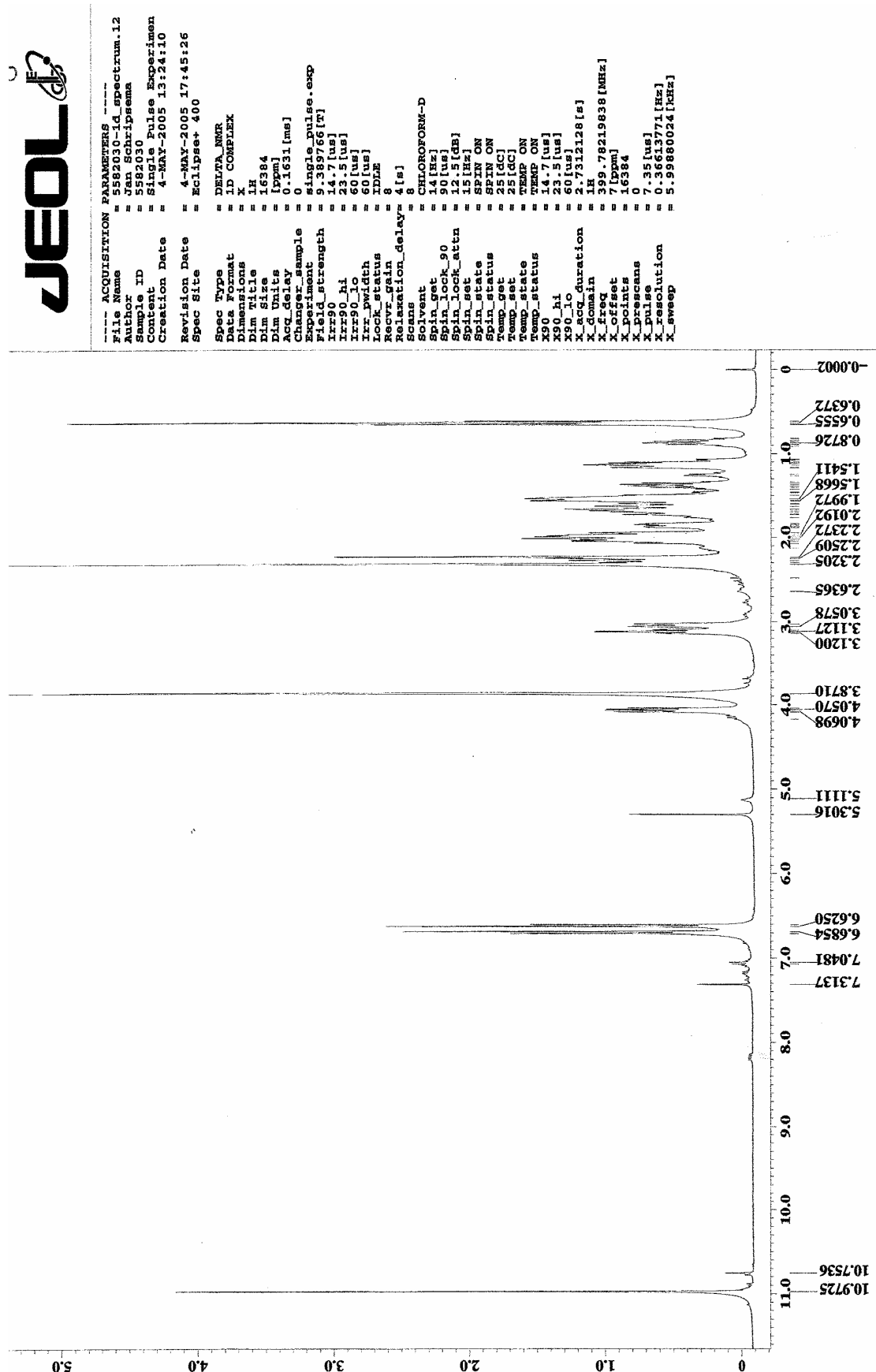
**Espectro 36.** Ampliação do mapa de correlação homonuclear  $^1\text{H}$ -NOESY em  $\text{CDCl}_3$  do alcalóide (-)-desmetoxipalosina.



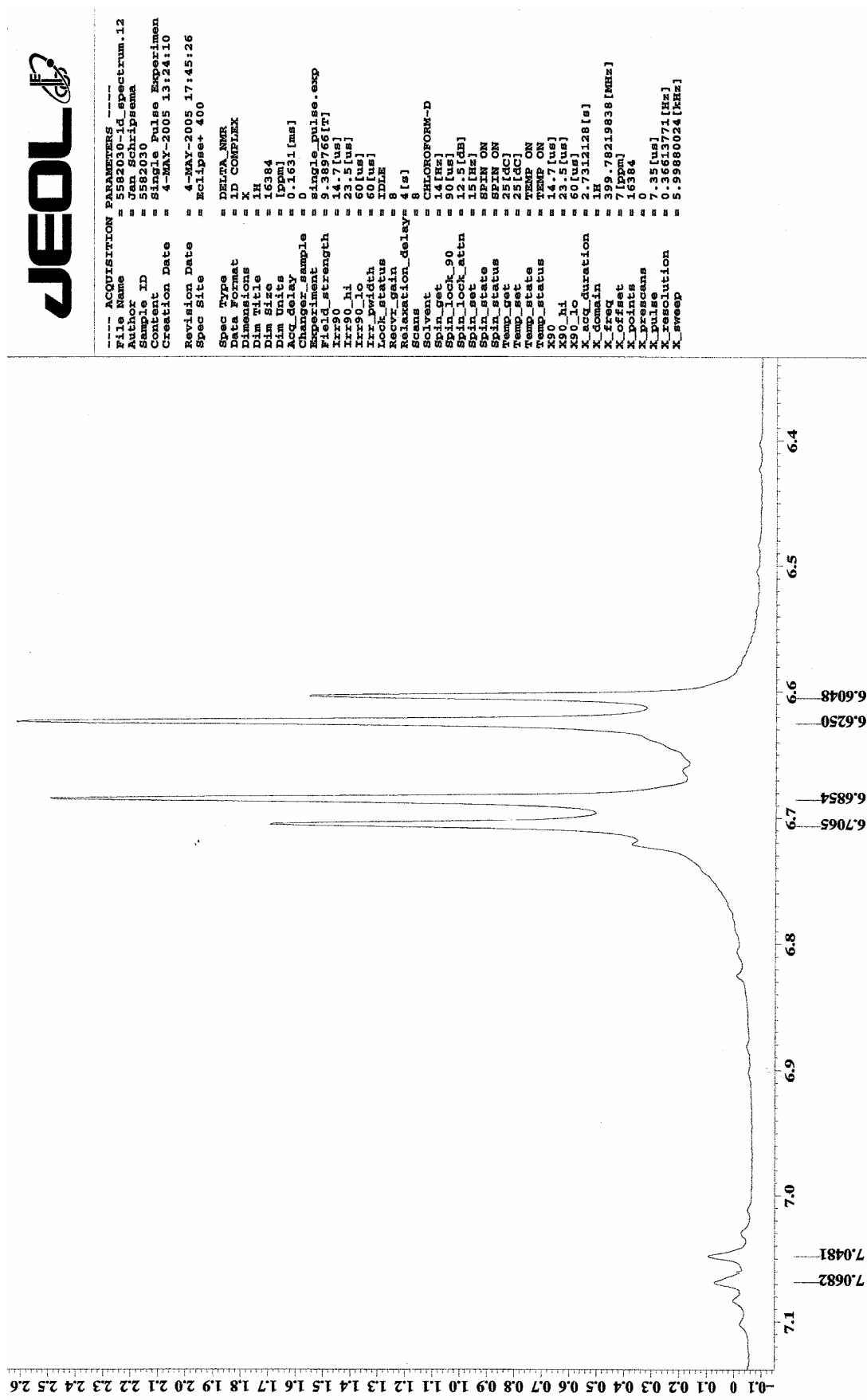
**Espectro 37.** Espectro de infravermelho do alcalóide (+)-aspidocarpina.



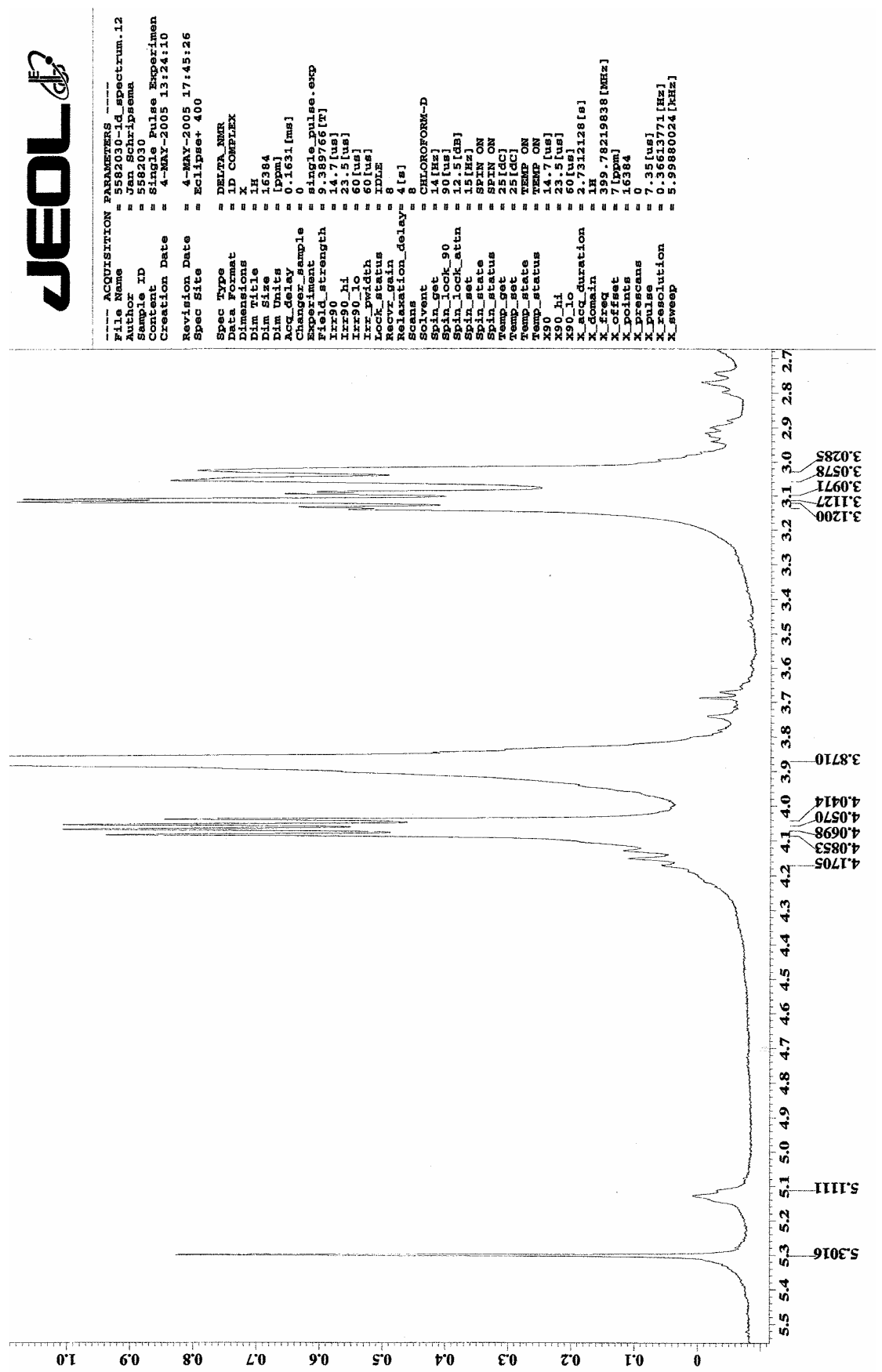
**Espectro 38.** Espectro de massas do alcalóide (+)-aspidocarpina.



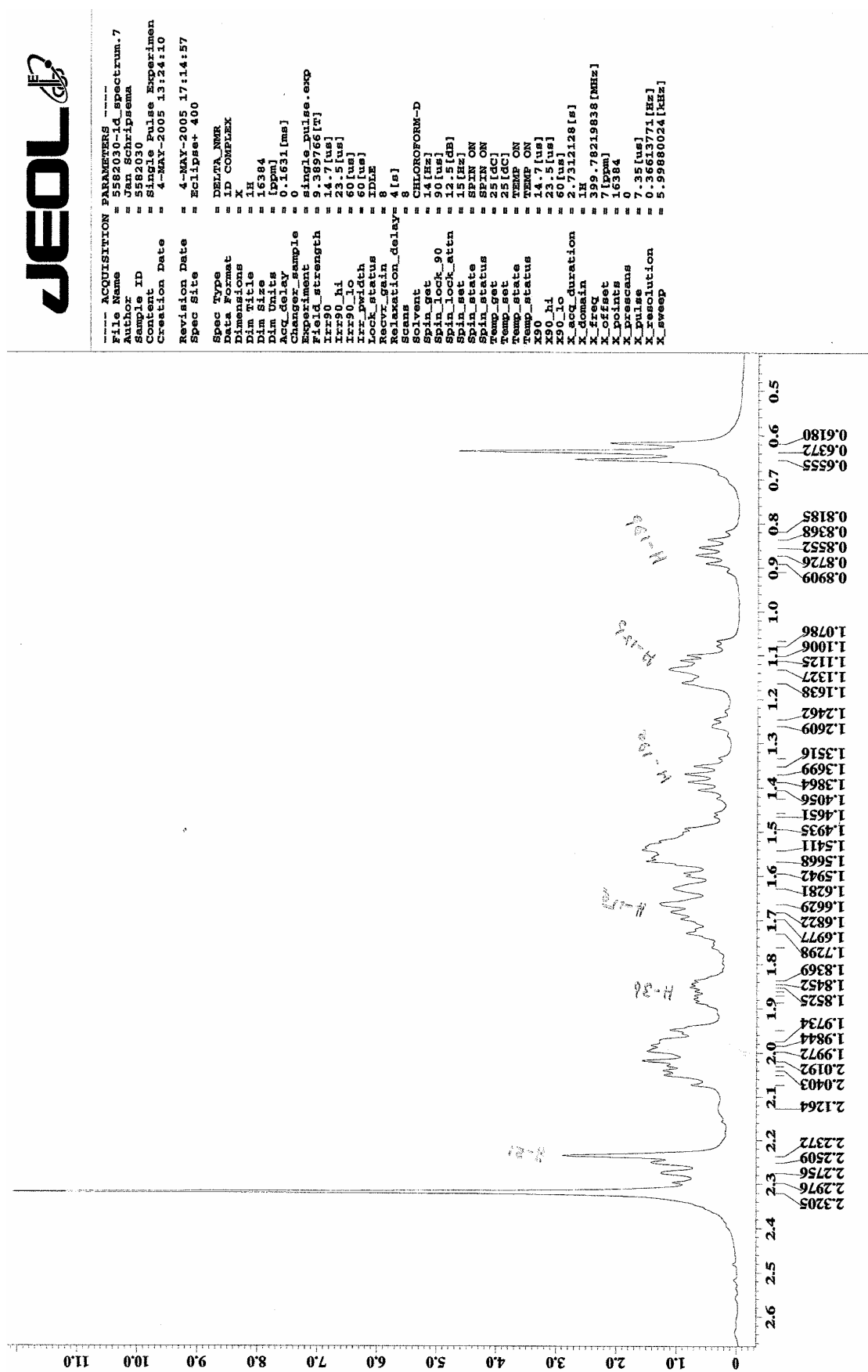
**Especro 39.** Espectro de RMN  $^1\text{H}$  (400 MHz) em  $\text{CDCl}_3$  do alcalóide (+)-aspidocarpina.



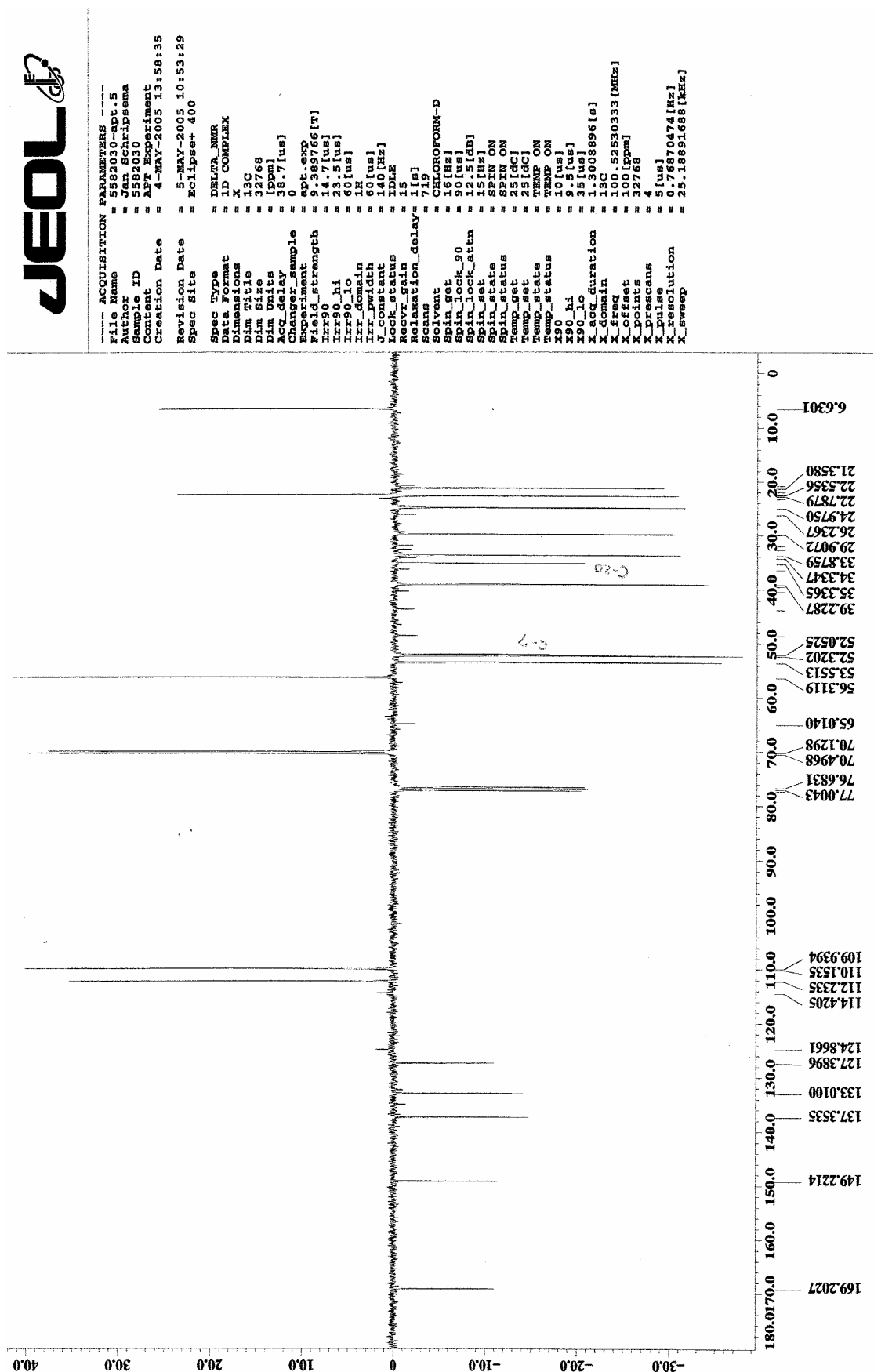
**Espectro 40.** Ampliação da região de  $\delta_H$  6,4-7,1 do espectro de RMN  $^1H$  (400 MHz) em  $CDCl_3$  do alcalóide (+)-aspidocarpina.



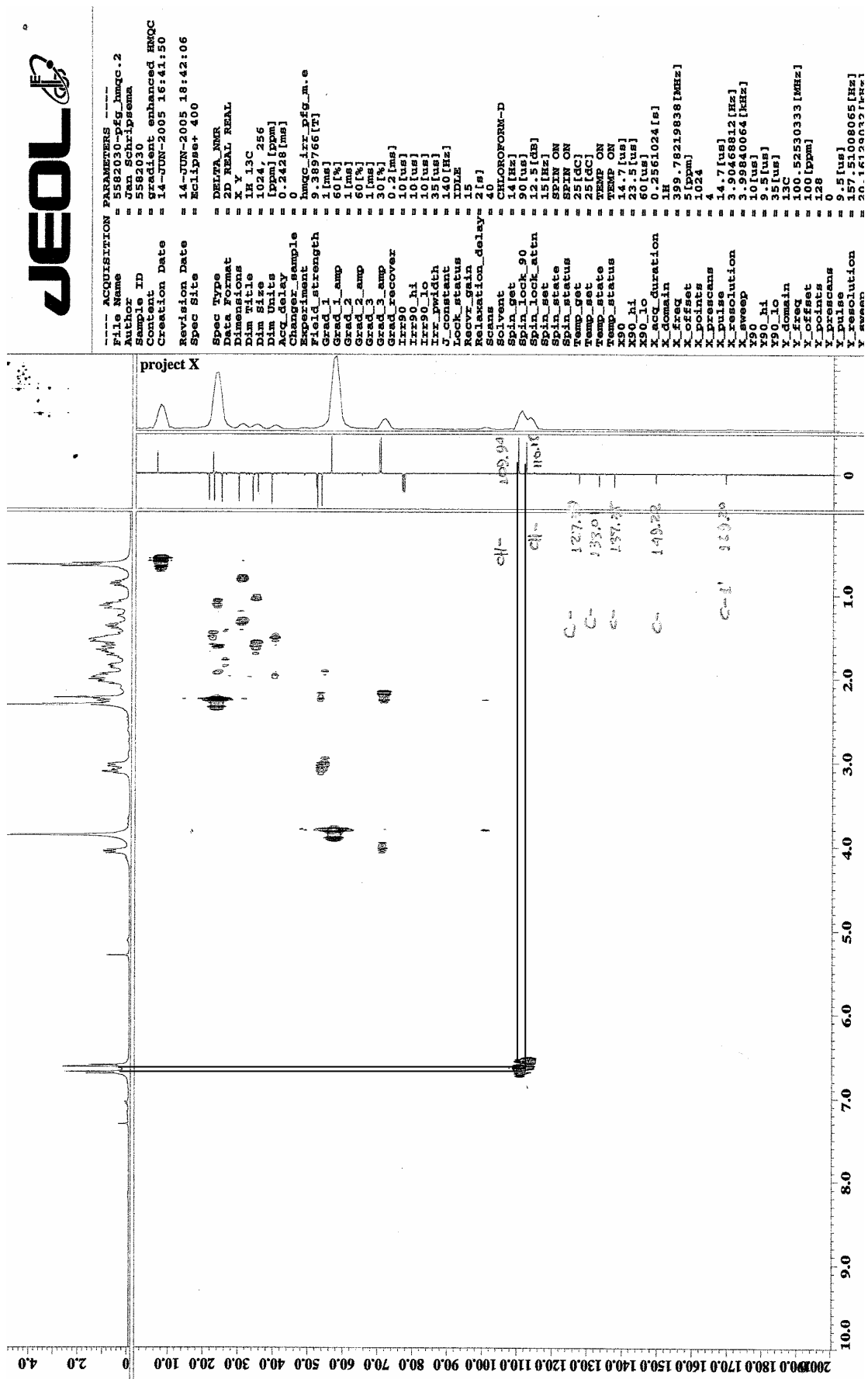
**Espectro 41.** Ampliação da região de  $\delta_{\text{H}}$  2,7-5,5 do espectro de RMN  $^1\text{H}$  (400 MHz) em  $\text{CDCl}_3$  do alcalóide (+)-aspidocarpina.



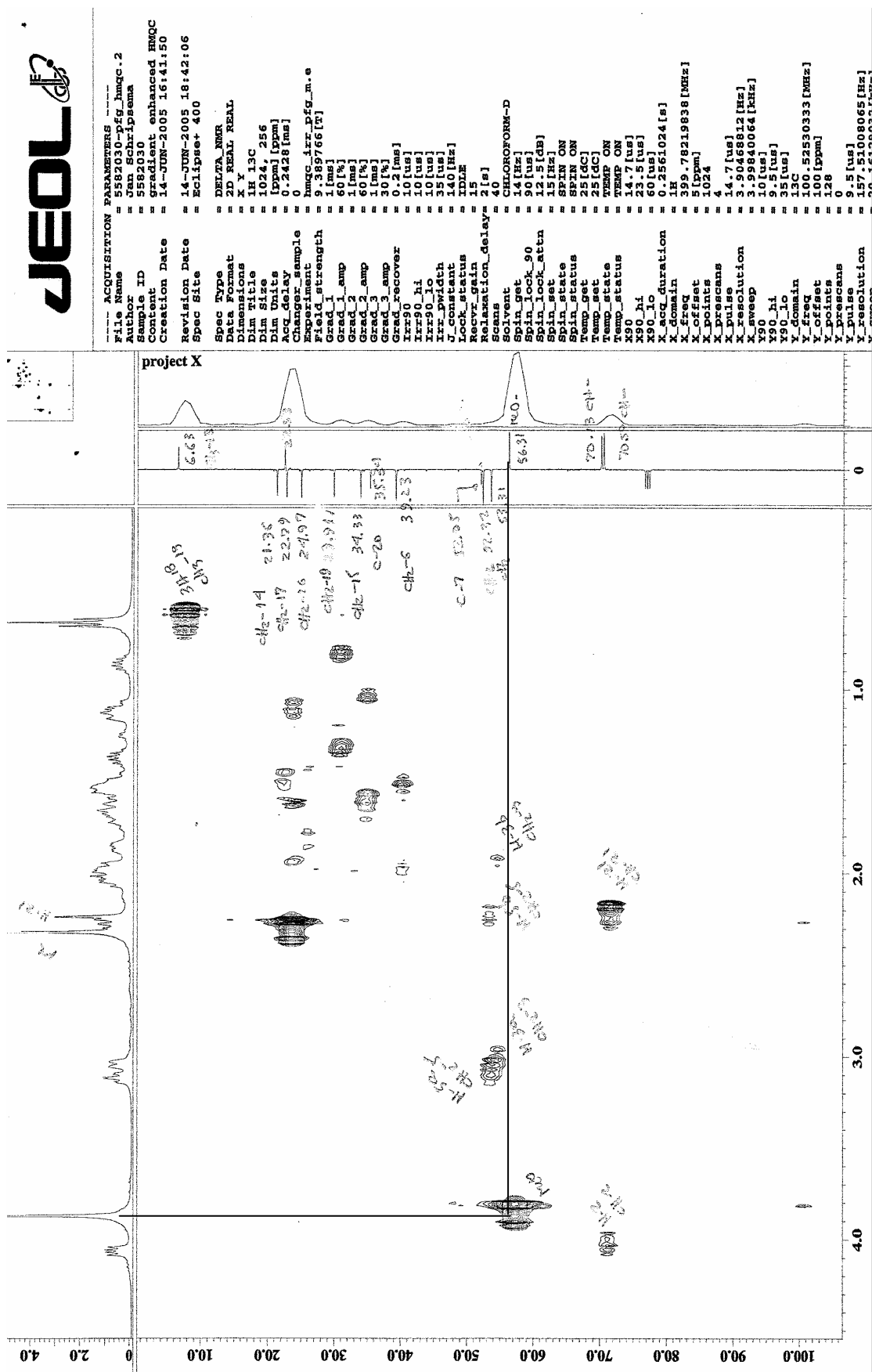
**Especro 42** Ampliação da região de  $\delta_H$  0,5-2,6 do espectro de RMN  $^1H$  (400 MHz) em  $CDCl_3$  do alcalóide (+)-aspidocarpina.



**Especro 43.** Espectro de RMN  $^{13}\text{C}$  (100 MHz-APT) em  $\text{CDCl}_3$  do alcalóide (+)-aspidocarpina.

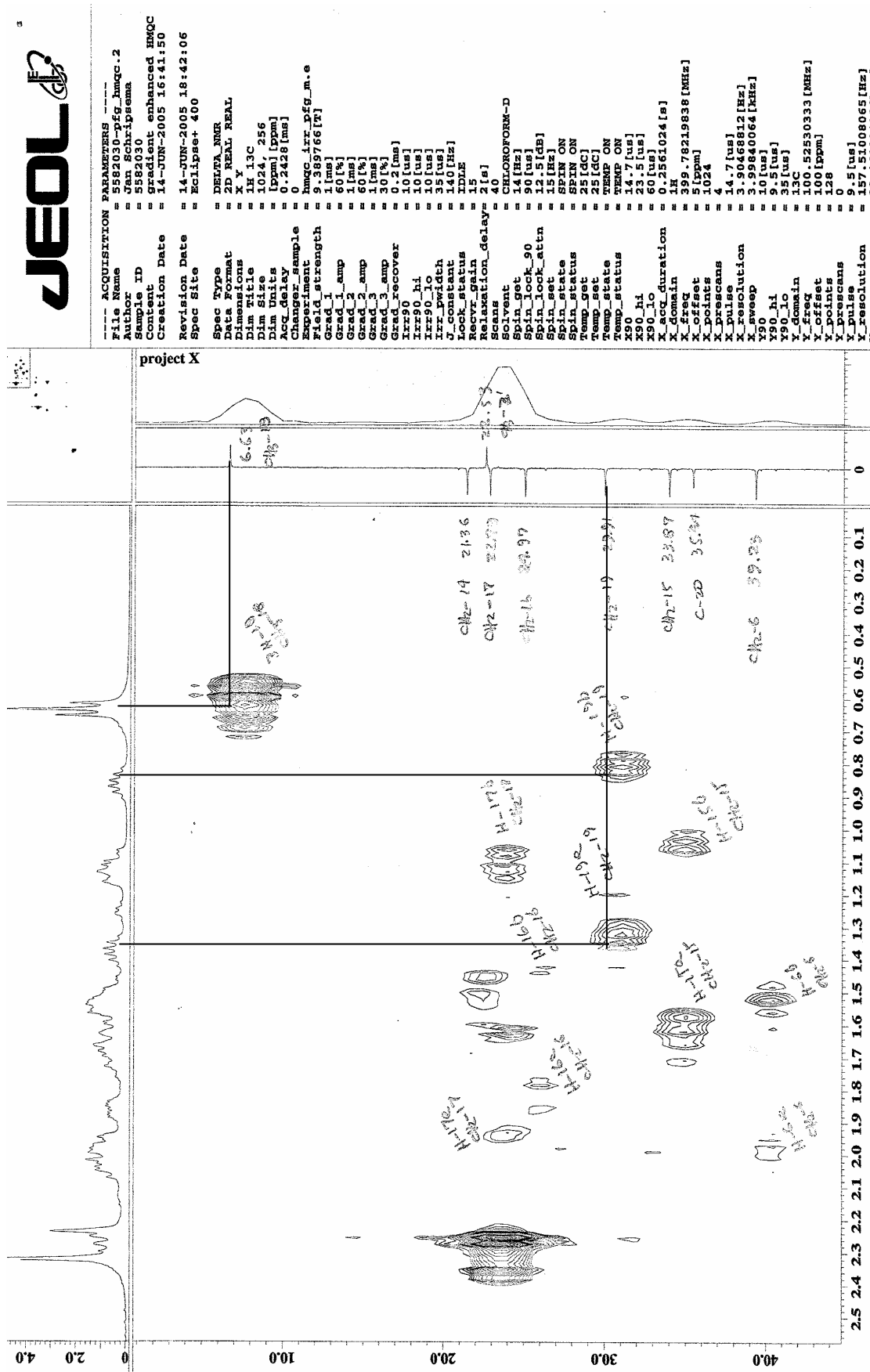


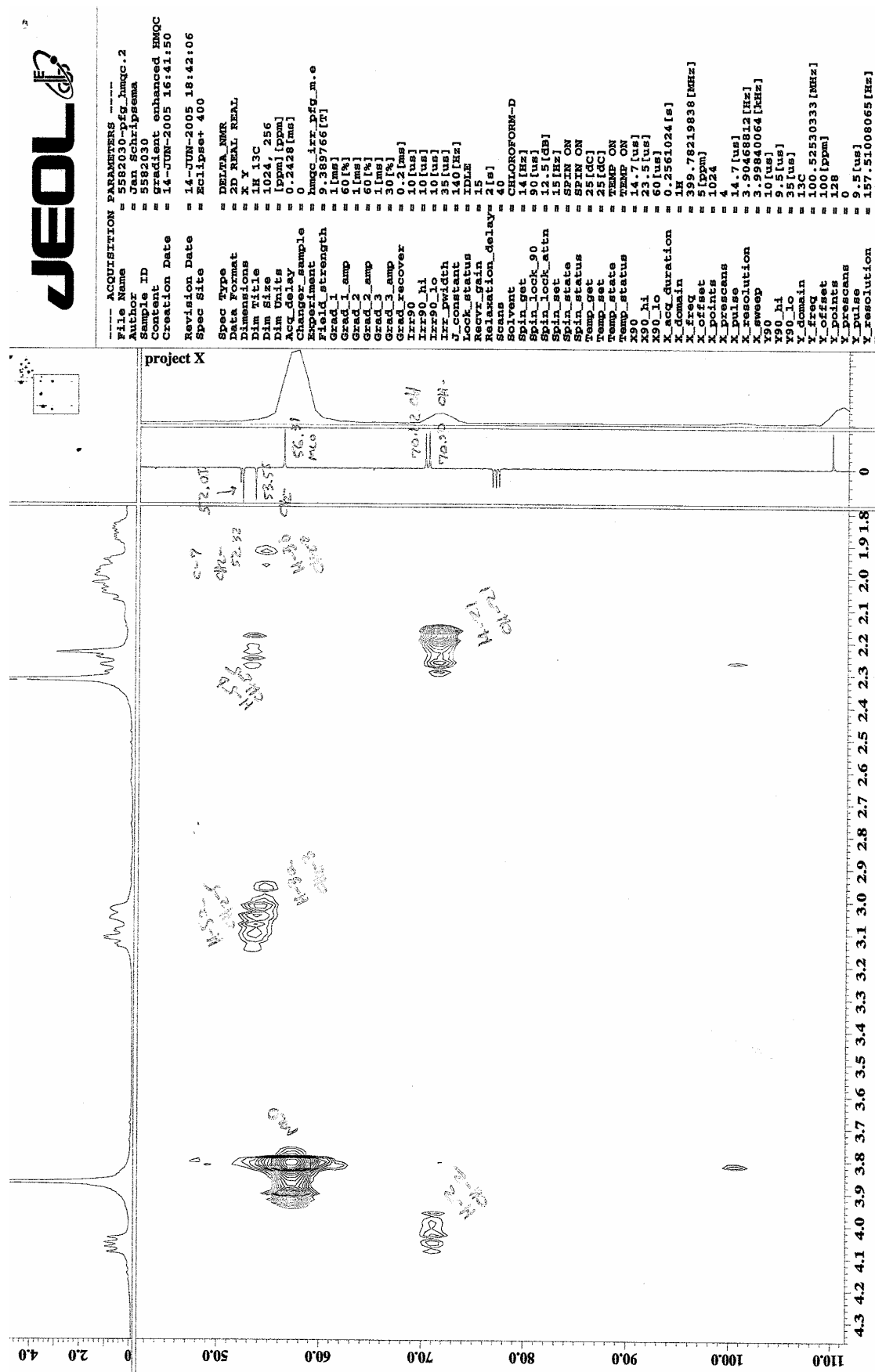
**Especro 44.** Mapa de correlação heteronuclear HMQC em  $\text{CDCl}_3$  do alcalóide (+)-aspidocarpina.



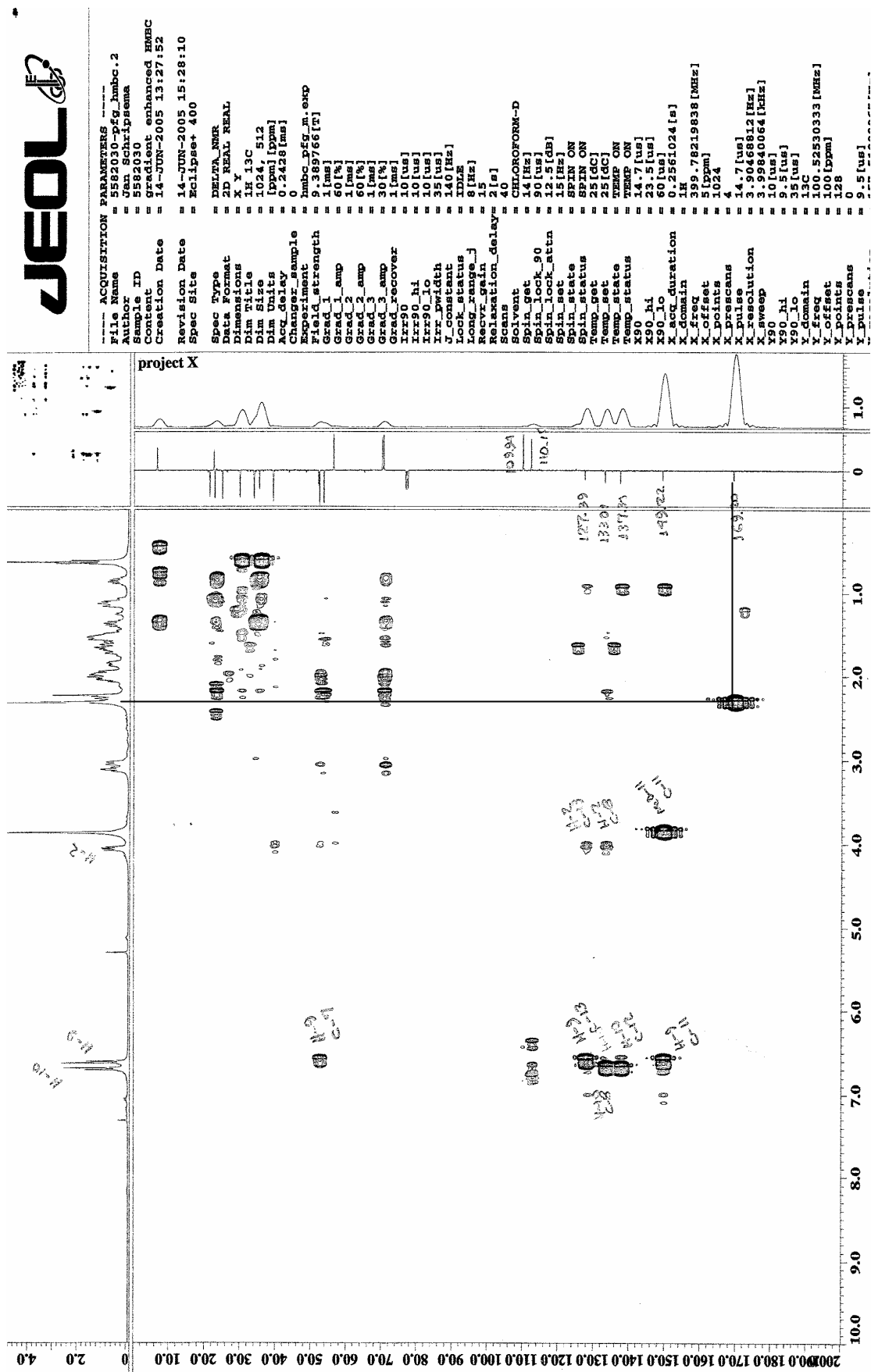
**Especro 45.** Ampliação do mapa de correlação heteronuclear HMQC em CDCl<sub>3</sub> do alcaloide (+)-aspidocarpina.

**Espectro 46.** Ampliação do mapa de correlação heteronuclear HMQC em  $\text{CDCl}_3$  do alcalóide (+)-aspidocarpina.

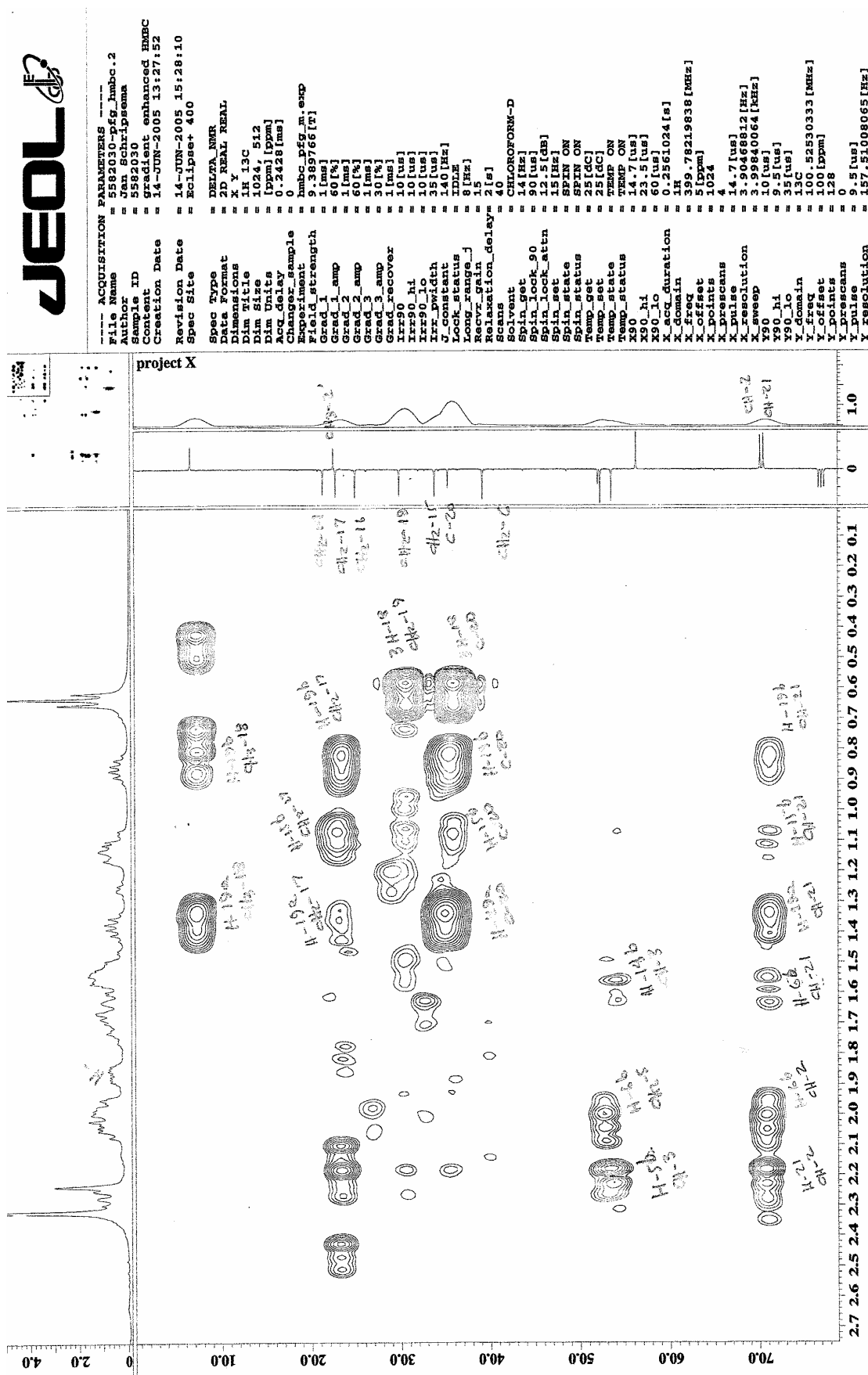




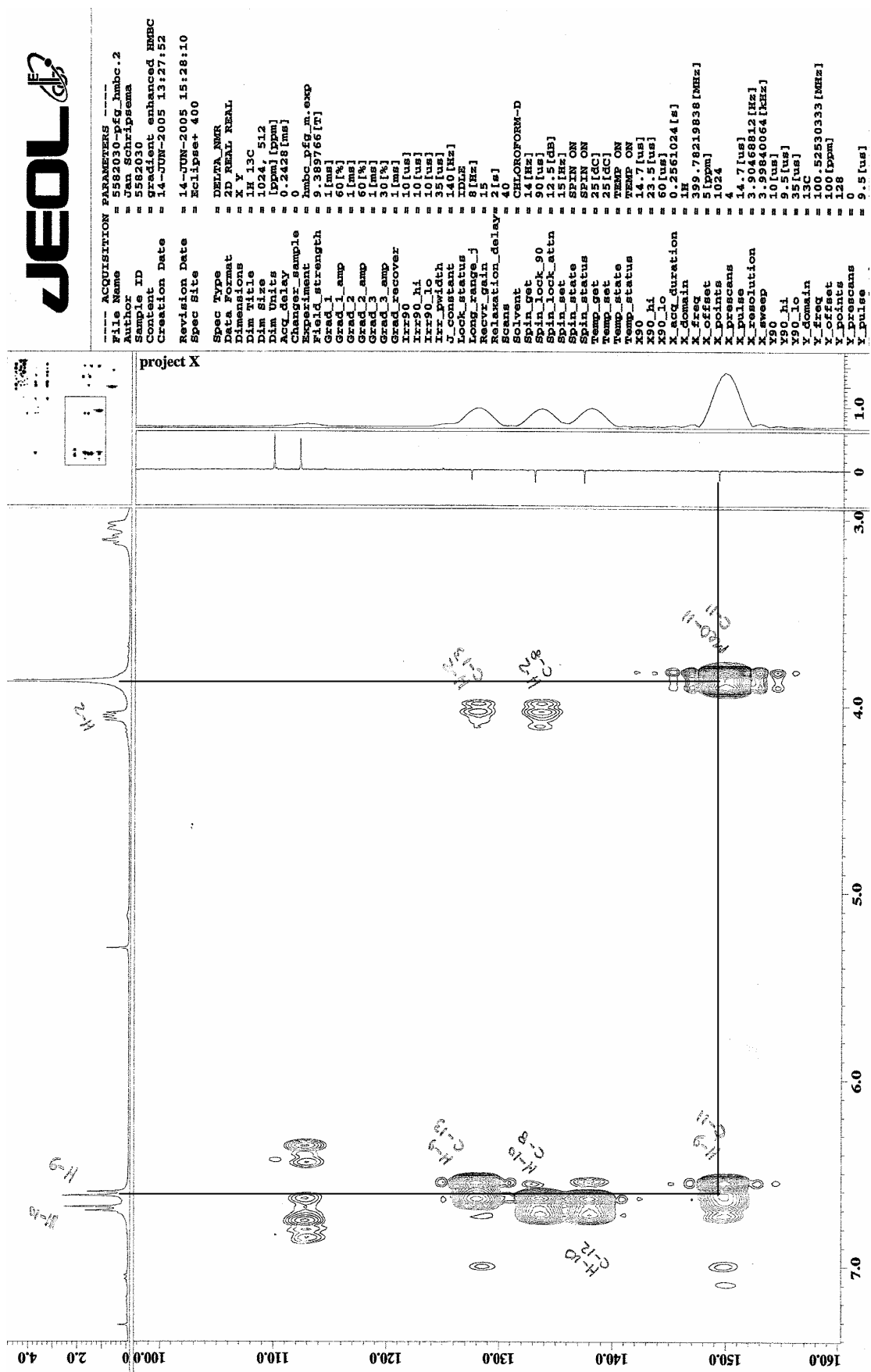
**Espectro 47.** Ampliação do mapa de correlação heteronuclear HMQC em  $\text{CDCl}_3$  do alcalóide (+)-aspidocarpina.



**Espectro 48.** Mapa de correlação heteronuclear HMBC em  $\text{CDCl}_3$  do alcalóide (+)-aspidocarpina.

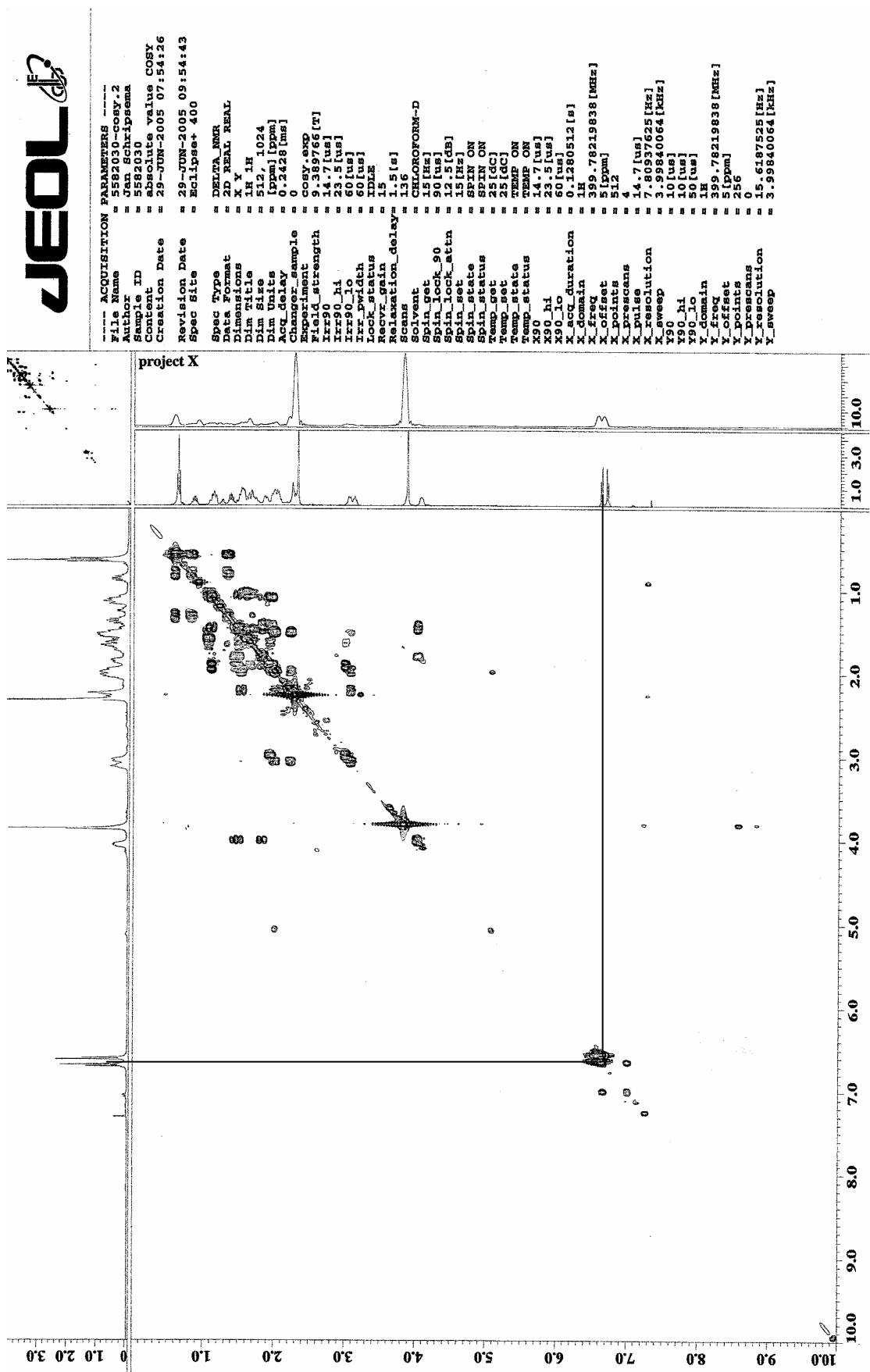


**Espectro 49.** Ampliação do mapa de correlação heteronuclear HMBC em  $\text{CDCl}_3$  do alcalóide (+)-aspidocarpina.

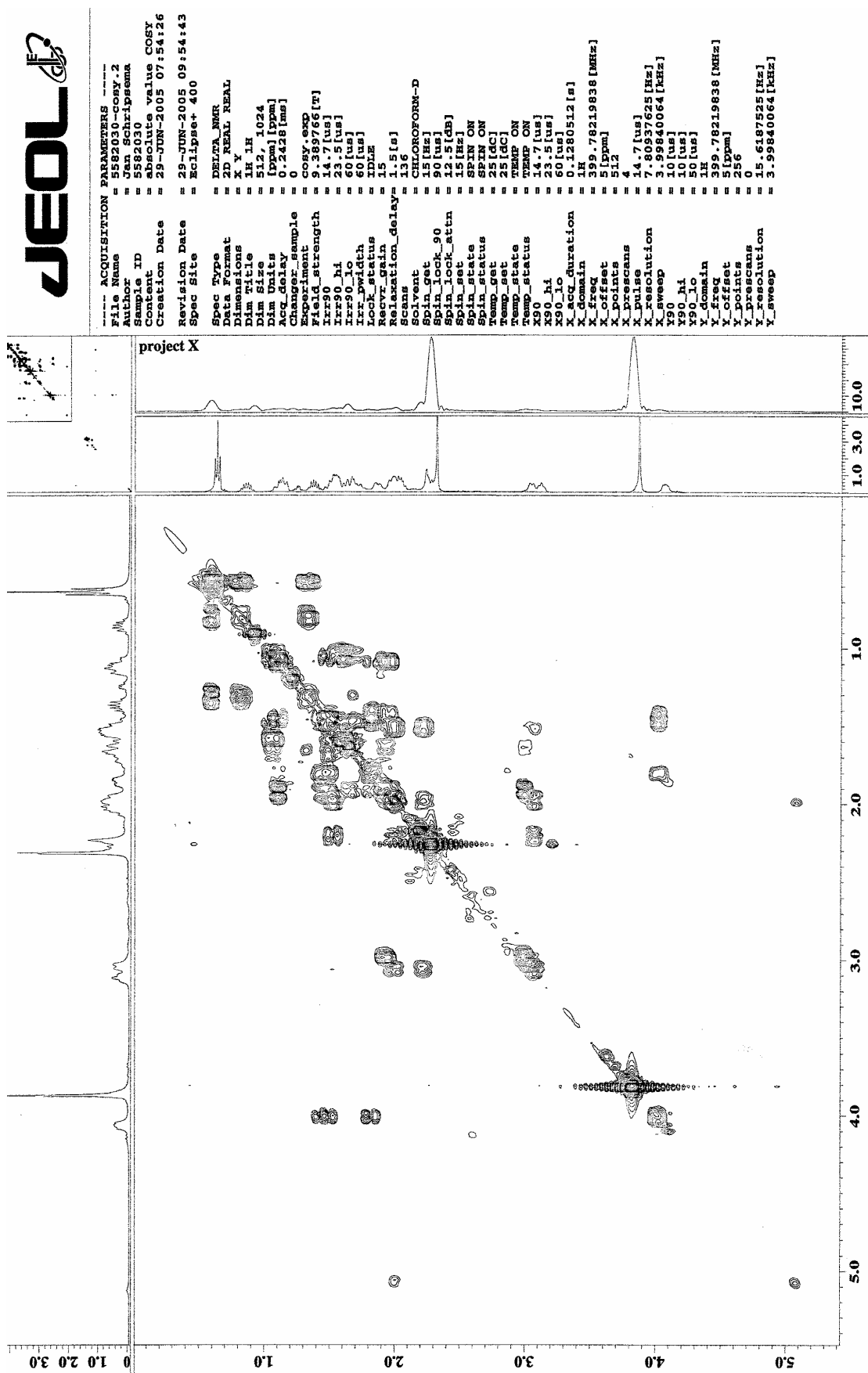


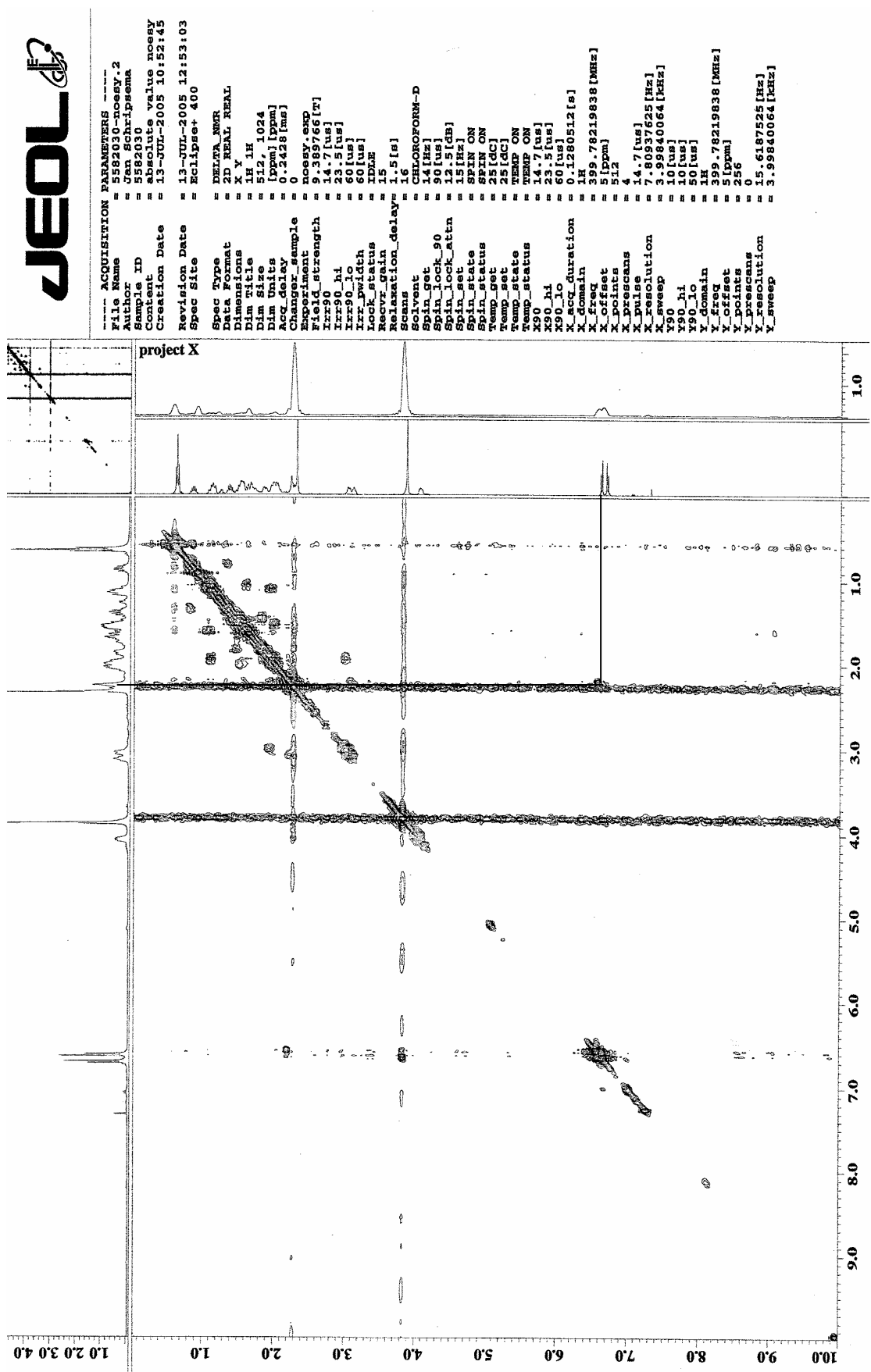
**Especro 50.** Ampliação do mapa de correlação heteronuclear HMBC em CDCl<sub>3</sub> do alcalóide (+)-aspidocarpina.

**Espectro 51.** Mapa de correlação homonuclear  $^1\text{H}$ - $^1\text{H}$ -COSY em  $\text{CDCl}_3$  do alcalóide (+)-aspidocarpina.



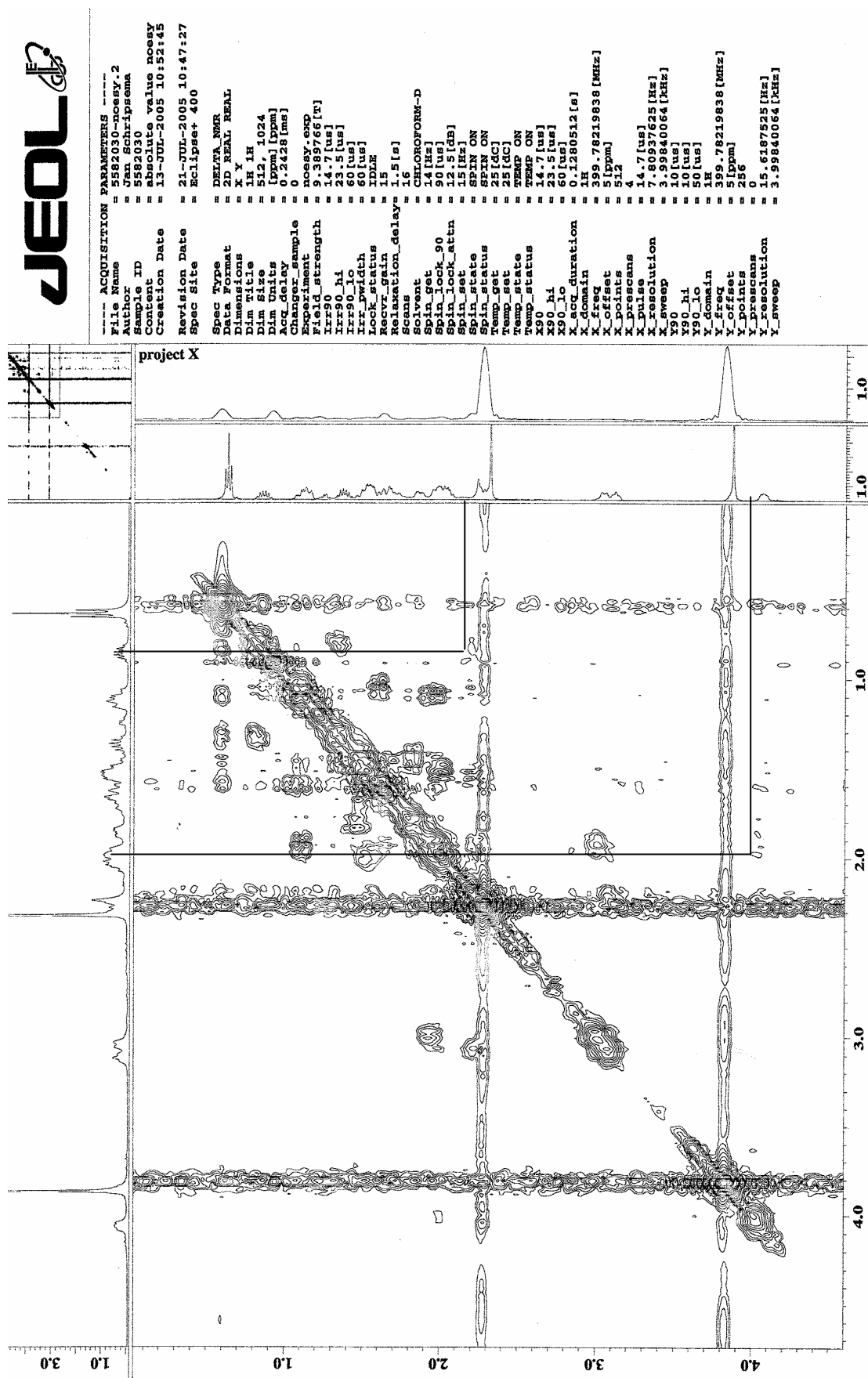
**Especro 52.** Ampliação do mapa de correlação homonuclear  $^1\text{H}$ - $^1\text{H}$ -COSY em  $\text{CDCl}_3$  do alcalóide (+)-aspidocarpina.

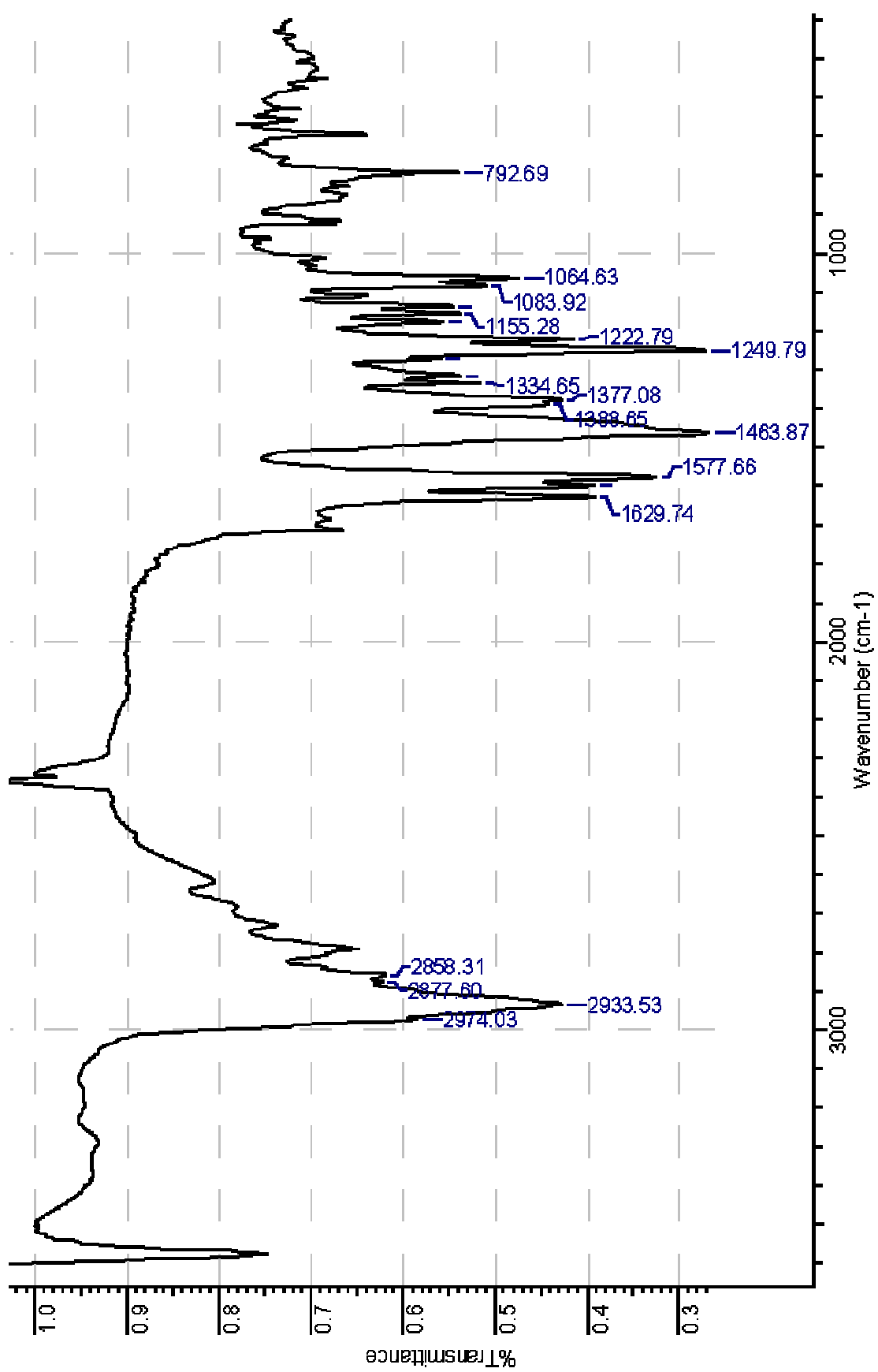




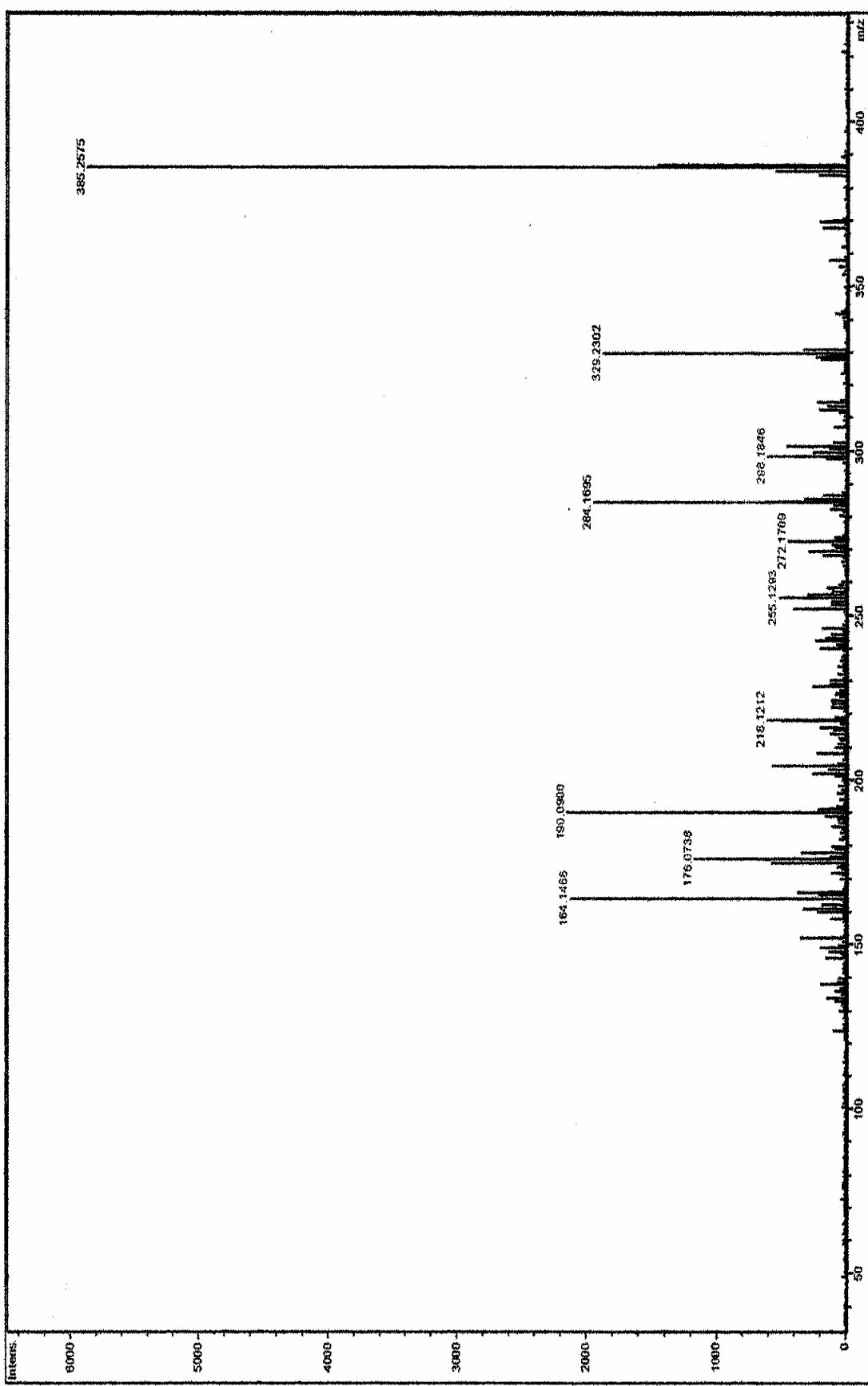
Especro 53. Mapa de correlação homonuclear  $^1\text{H}$ -NOESY em  $\text{CDCl}_3$  do alcalóide (+)-aspidocarpina.

**Especro 54.** Ampliação do mapa de correlação homonuclear  $^1\text{H}$ - $^1\text{H}$ -NOESY em  $\text{CDCl}_3$  do alcalóide (+)-aspidocarpina.

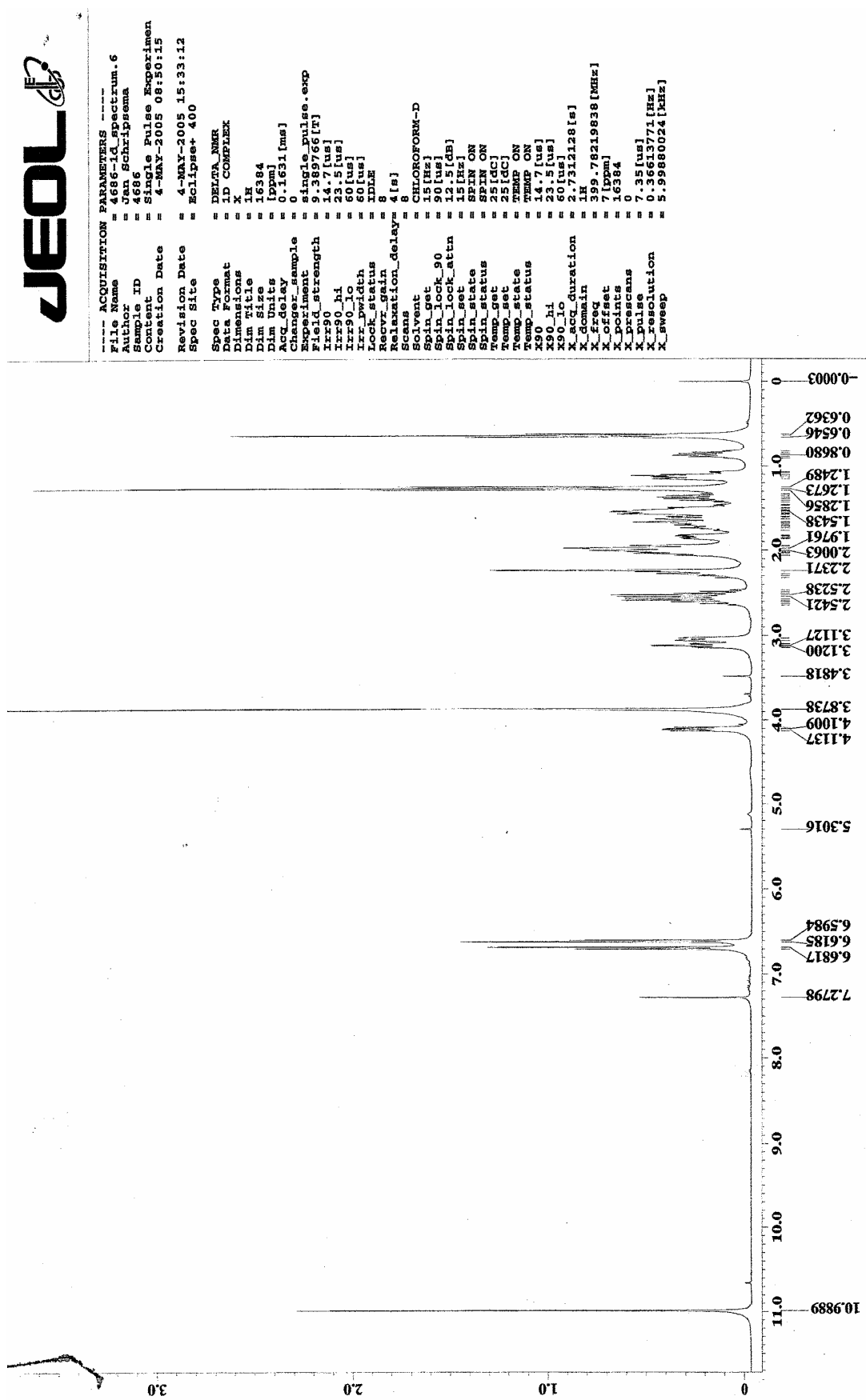




**Especro 55.** Espectro de Infravermelho do alcalóide (+)-aspidolimina.



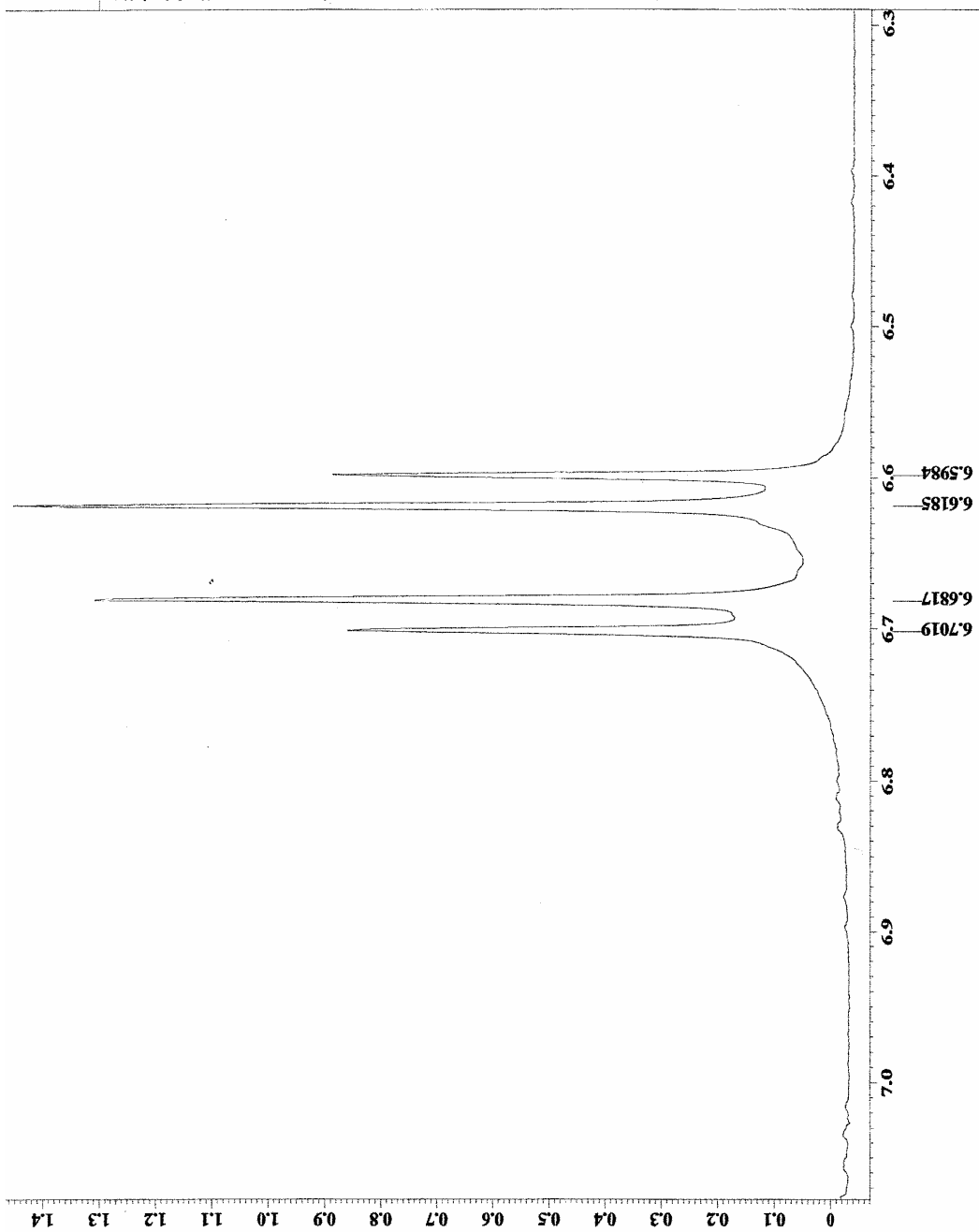
**Especro 56.** Espectro de massas do alcalóide (+)-aspidolimina.



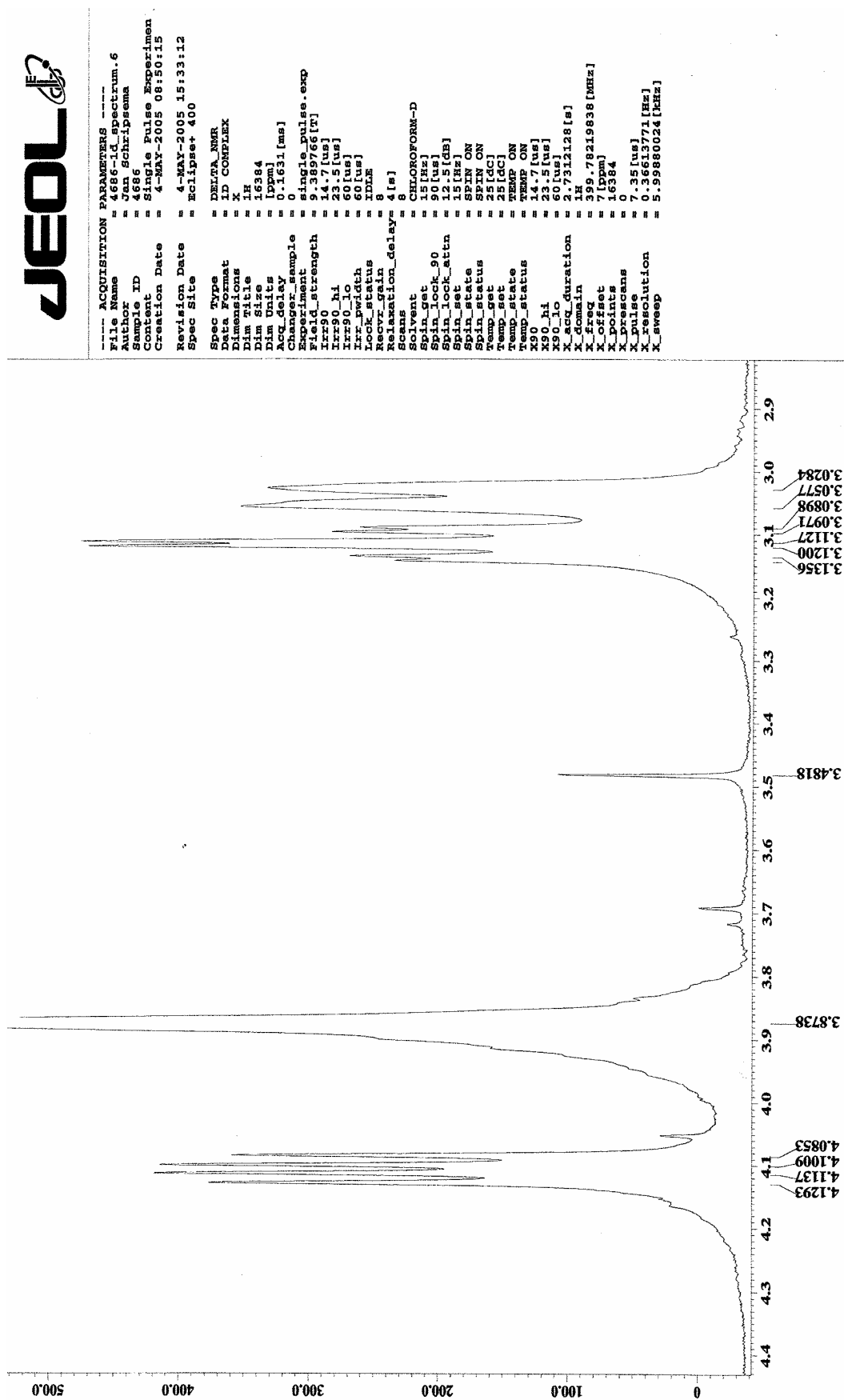
**Especro 57.** Espectro de RMN  $^1\text{H}$  (400 MHz) em  $\text{CDCl}_3$  do alcalóide (+)-aspidolimina.

**JEOL**

```
---- ACQUISITION PARAMETERS ----
File Name = 4686-1d_spectrun_6
Author = Jan Schröppel
Sample ID = 4686
Content = Single Pulse Experiment
Creation Date = 4-MAY-2005 08:56:15
Revision Date = 4-MAY-2005 15:33:12
Spec Site = Eclipse+ 400
Spec Type = DELTA_NMR
Data Format = 1D COMPLEX
Dimensions = X
Dim Title = 1H
Dim Size = 16384
Dim Units = [ppm]
Acc.Delay = 0.1611 [ms]
Changer.sample = 0
Experiment.sample = single_pulse_exp
Field_Strength = 9.38766 [T]
Irr90_hi = 14.7 [us]
Irr90_lo = 23.5 [us]
Irr90_width = 60 [us]
Lock_Status = IDLE
Recvr.Gain = 8
Relaxation_Delay = 4 [s]
Scans = 8
Solvent = CHLOROFORM-D
Spin_get = 15 [Hz]
Spin_lock_90 = 90 [us]
Spin_lock_attn = 12.5 [dB]
Spin_Set = 15 [Hz]
Spin_Status = SPIN ON
Temp_get = 25 [fC]
Temp_Set = 25 [fC]
Temp_Status = TEMP ON
X90_hi = 14.7 [us]
X90_lo = 23.5 [us]
X_acc_duration = 60 [us]
X_domain = 1H
X_fraq = 399.78219838 [MHz]
X_offset = 7 [ppm]
X_points = 16384
X_precs = 0
X_pulse = 7.35 [us]
X_resolution = 0.361371 [Hz]
X_sweep = 5.99660024 [kHz]
```

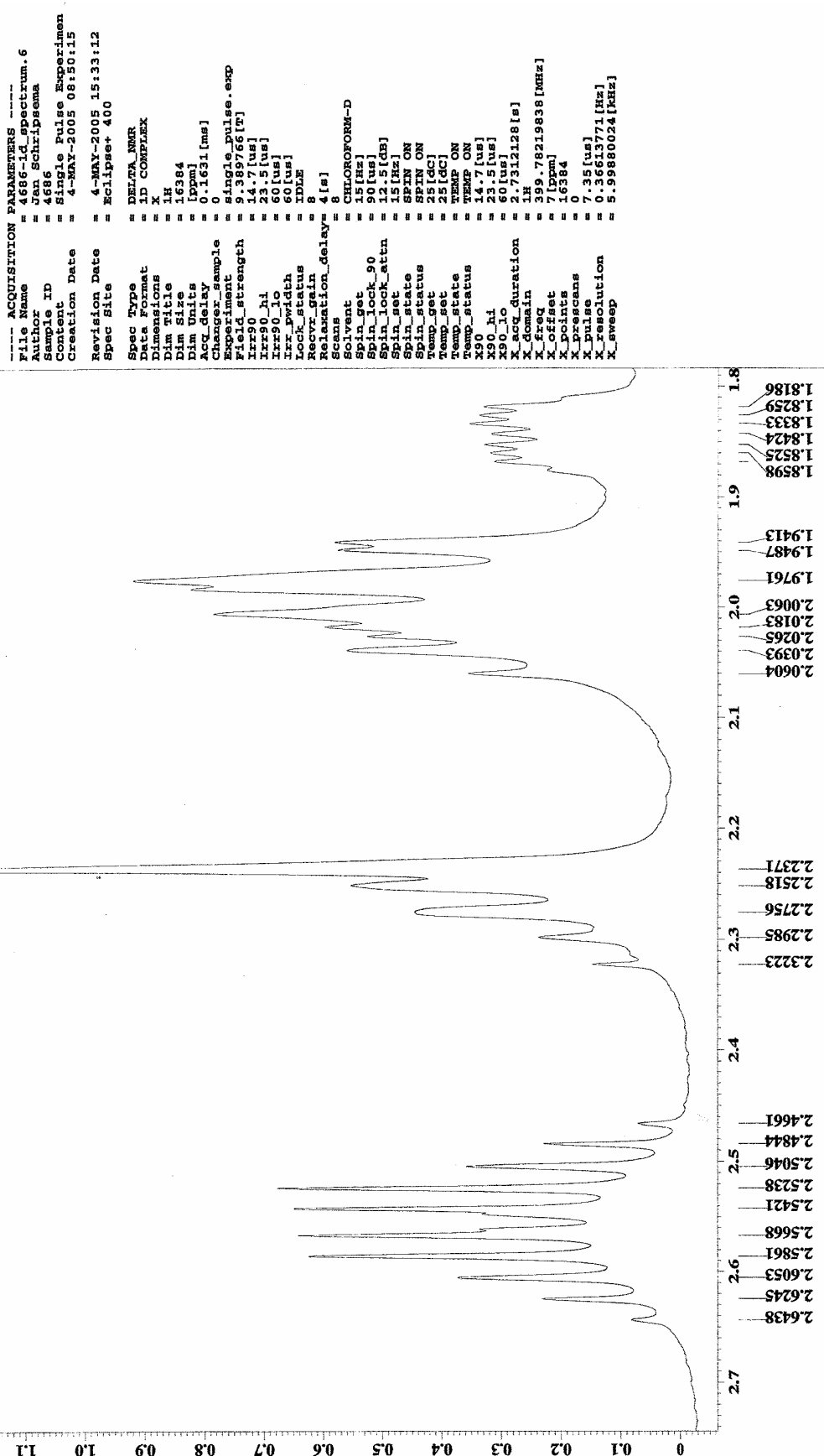


**Espectro 58.** Ampliação da região de  $\delta_H$  6,3-7,0 do espectro de RMN  $^1H$  (400 MHz) em  $CDCl_3$  do alcalóide (+)-aspidolimina.



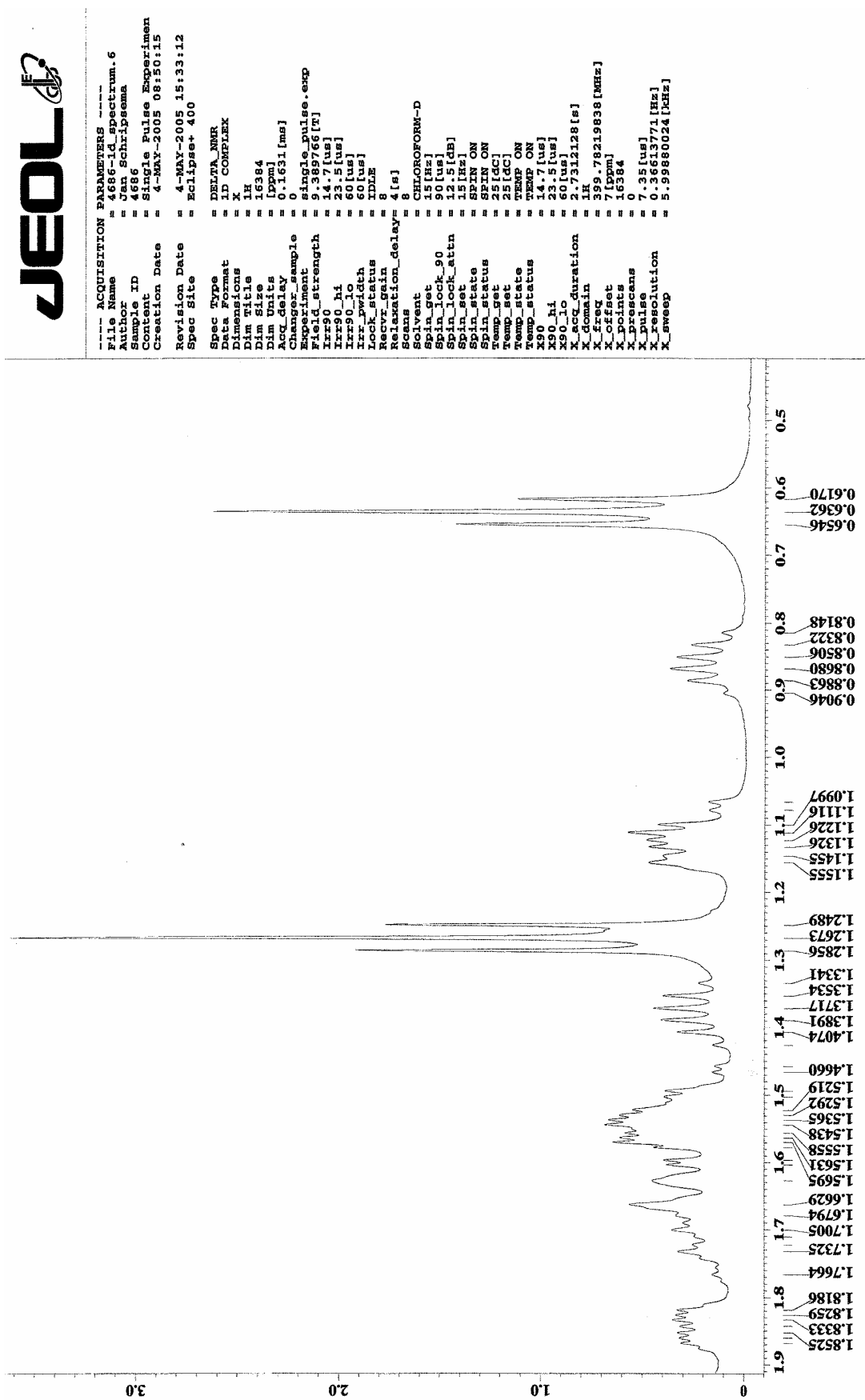
**Espectro 59.** Ampliação da região de  $\delta_H$  2,9-4,4 do espectro de RMN  $^1H$  (400 MHz) em  $CDCl_3$  do alcalóide (+)-aspidolima.

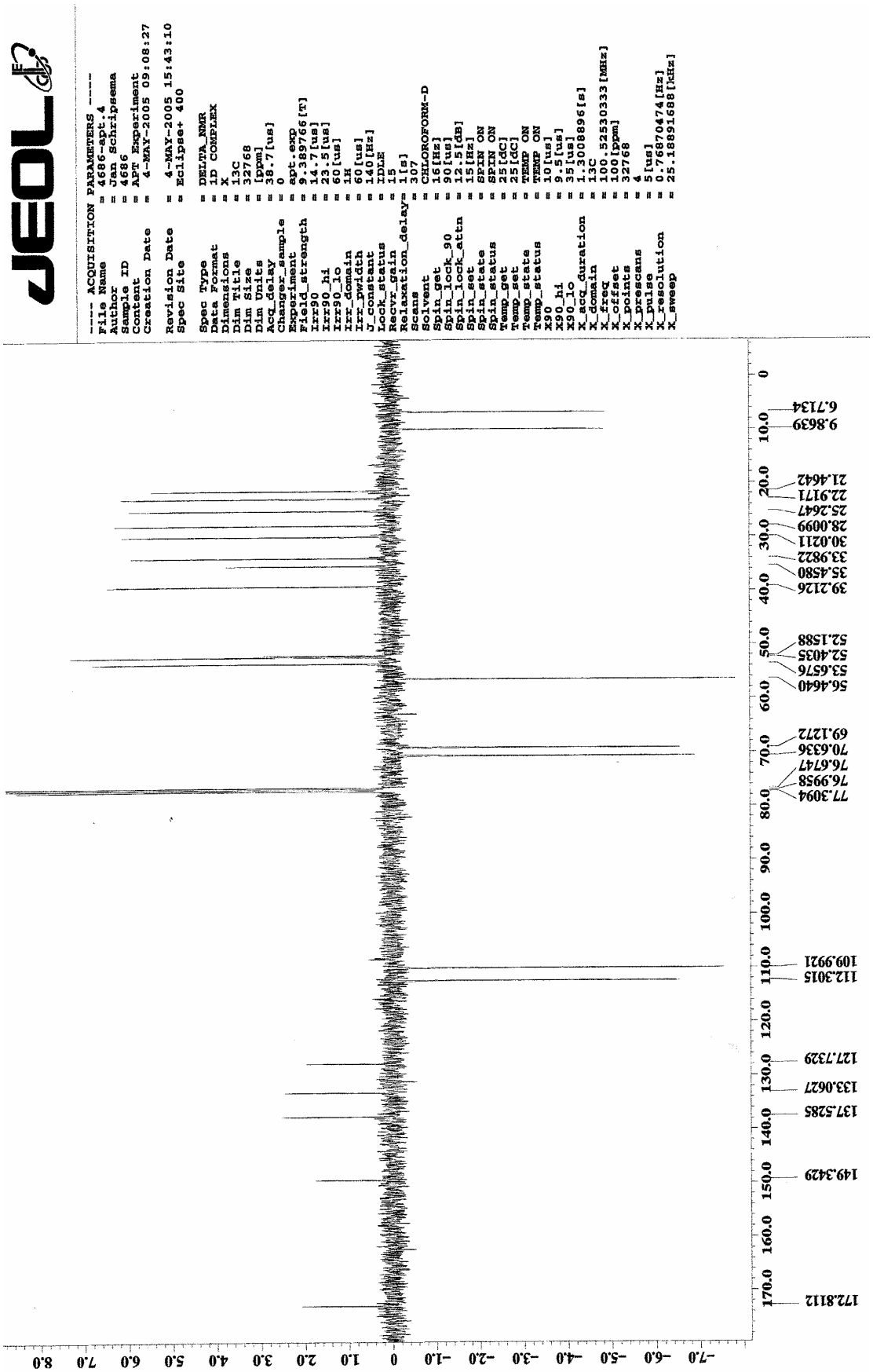
**JEOL**



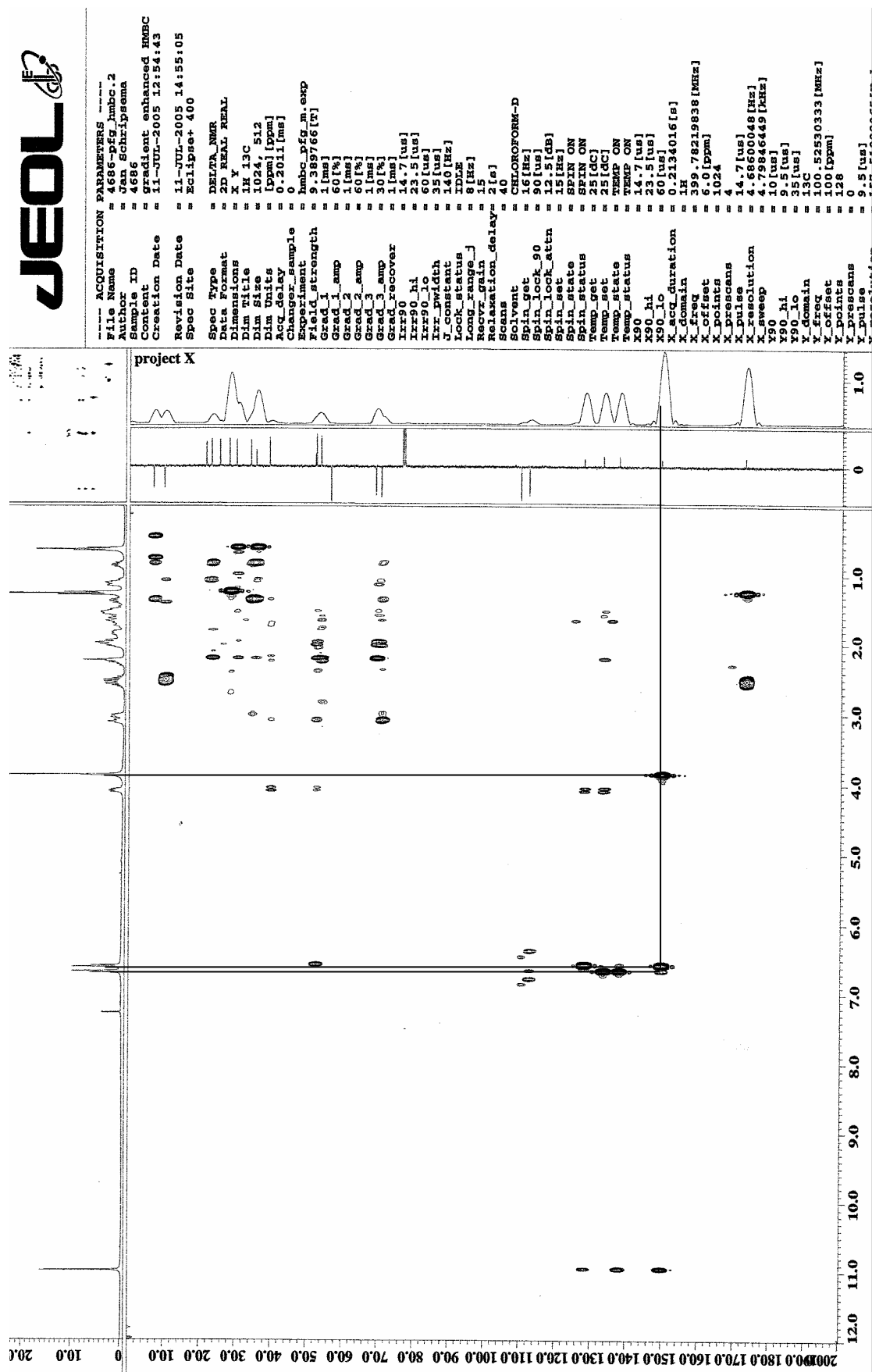
**Espectro 60.** Ampliação da região de  $\delta_H$  1,8-2,7 do espectro de RMN  $^1H$  (400 MHz) em  $CDCl_3$  do alcalóide (+)-aspidolima.

**JEOL**

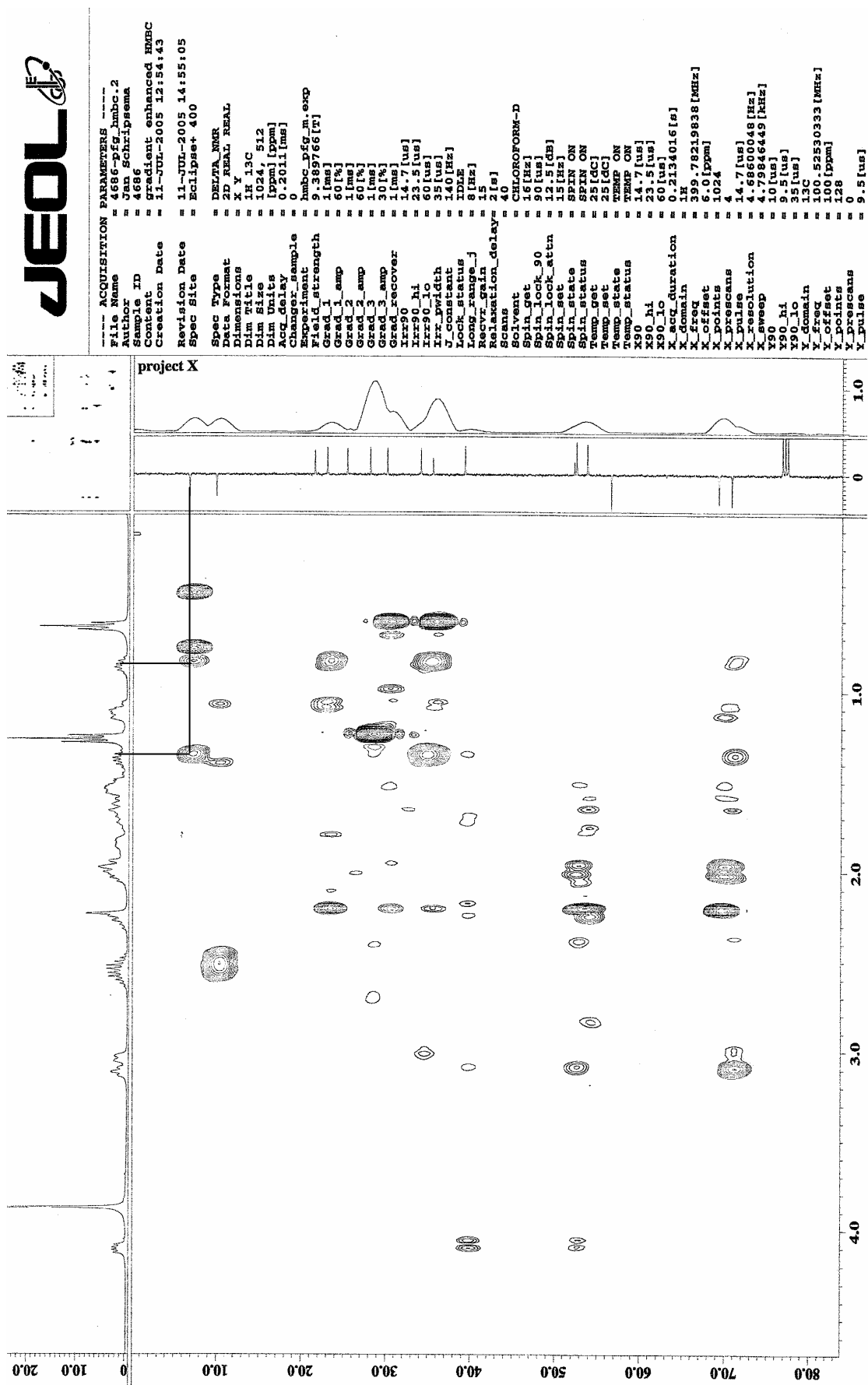




**Espectro 62.** Espectro de RMN  $^{13}\text{C}$  (100 MHz-APT) em  $\text{CDCl}_3$  do alcalóide (+)-aspidolimina.

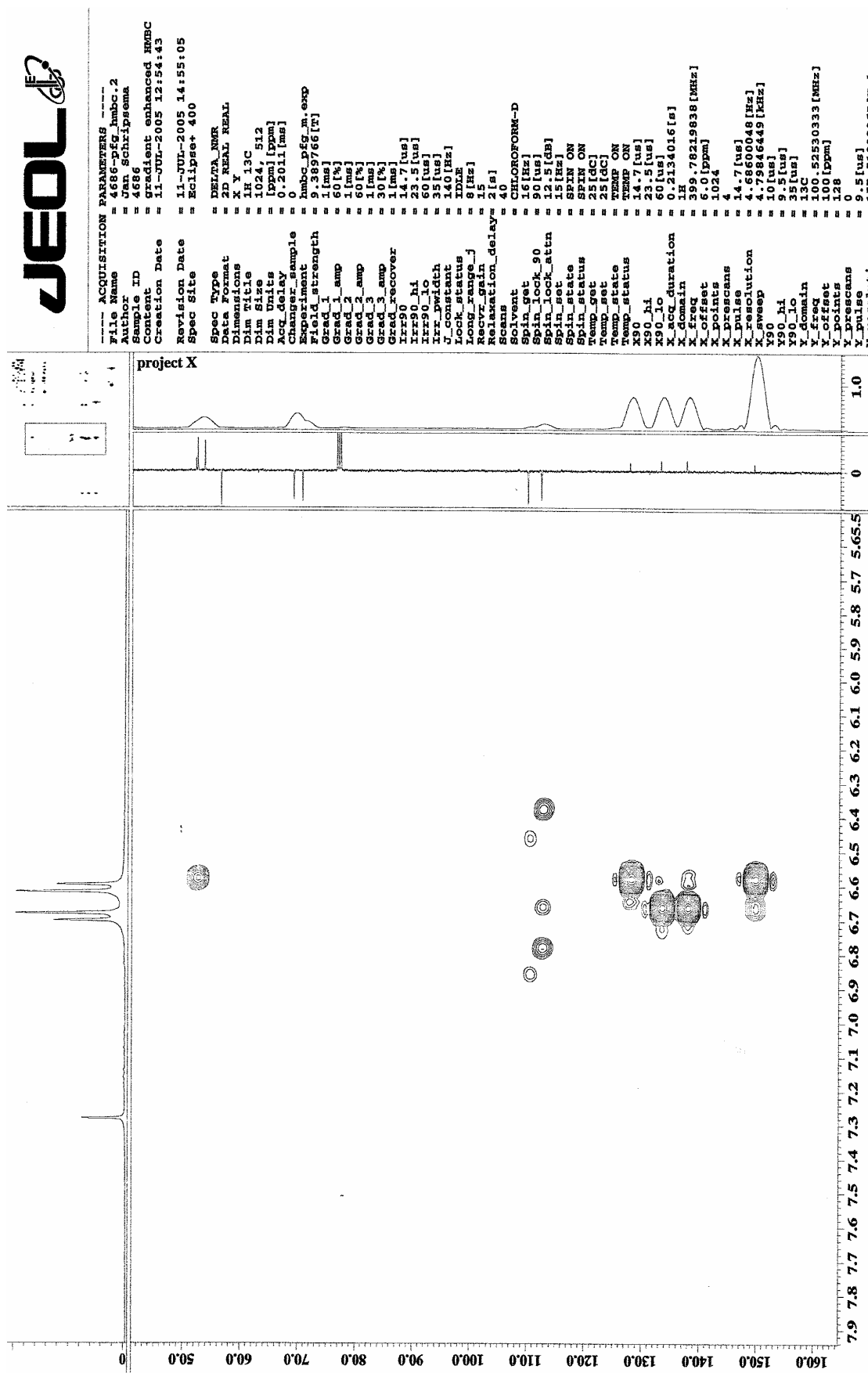


**Espectro 63.** Mapa de correlação heteroclear HMBC em  $\text{CDCl}_3$  do alcalóide (+)-aspidolima.

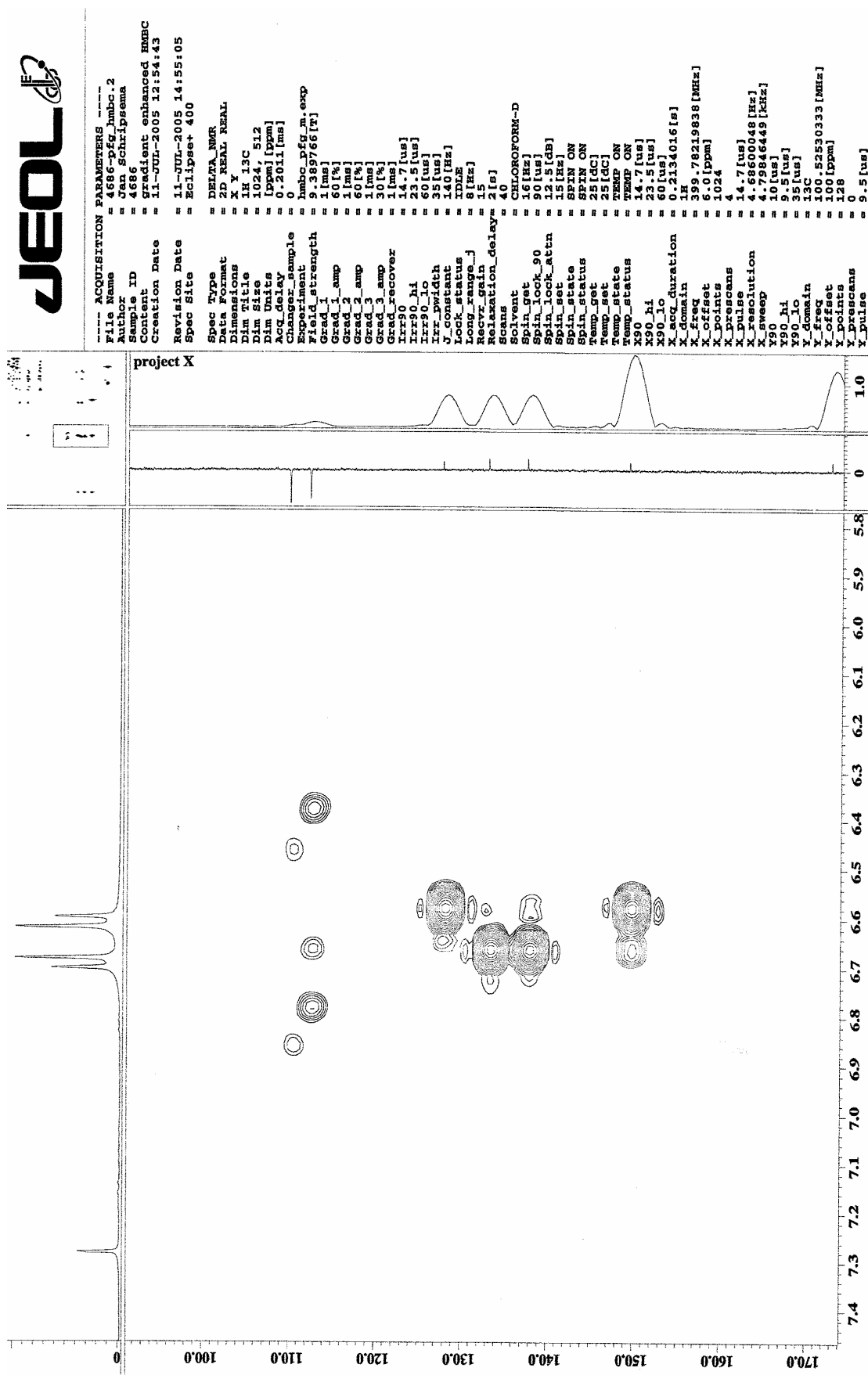


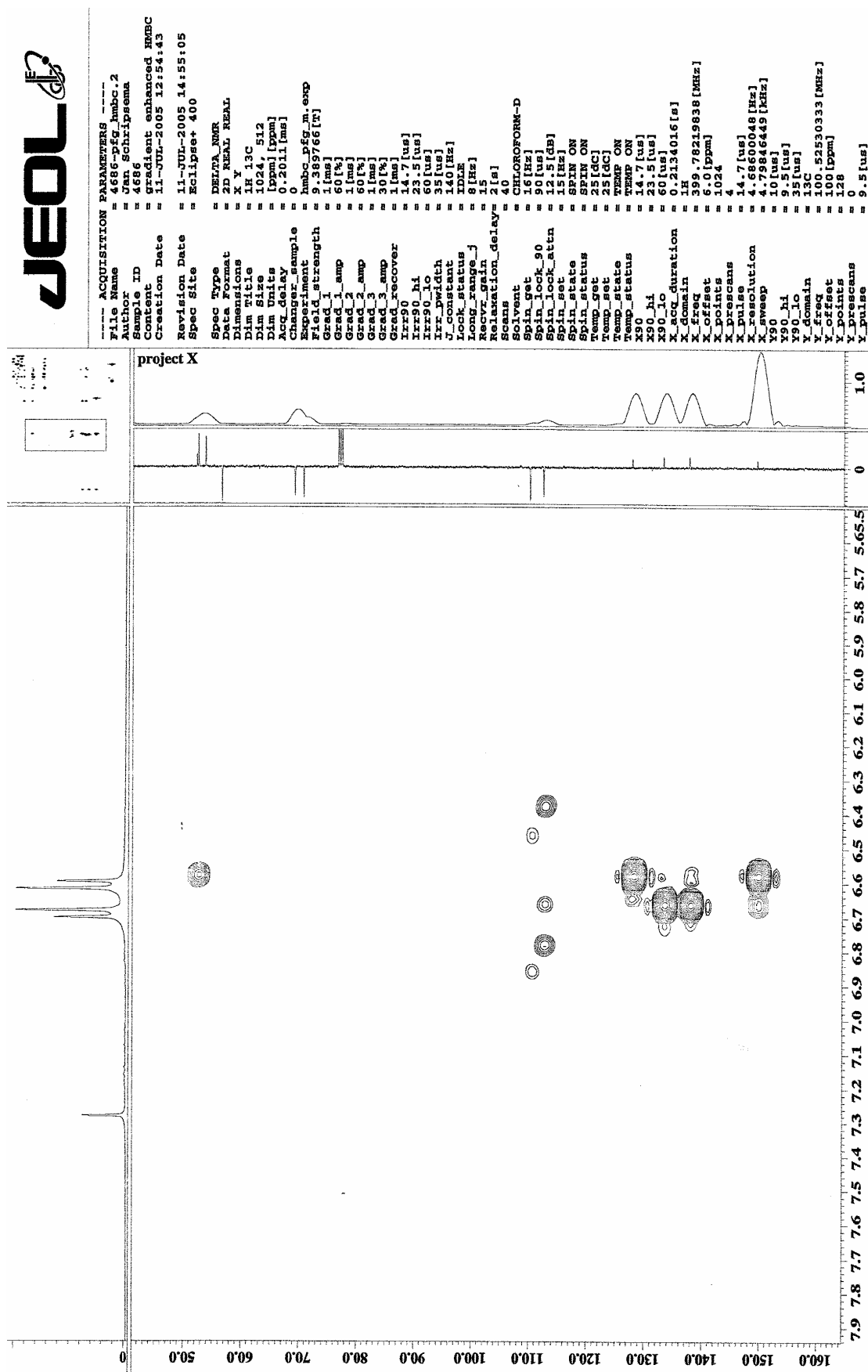
Espectro 64. Ampliação do mapa de correlação heteronuclear HMBC em  $\text{CDCl}_3$  do alcalóide (+)-aspidolima.

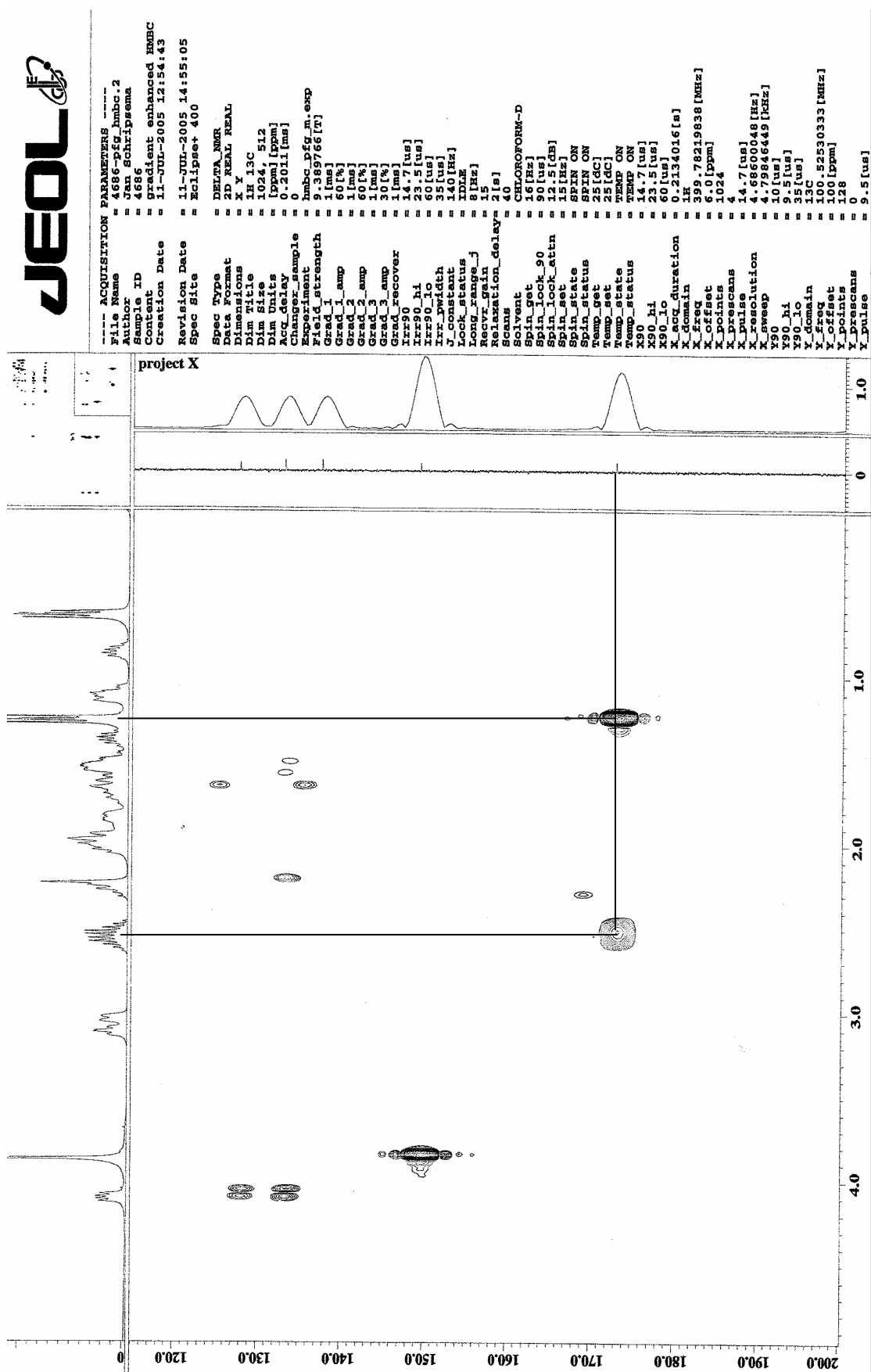
**Espectro 65.** Ampliação do mapa de correlação heteronuclear HMBC em  $\text{CDCl}_3$  do alcalóide (+)-aspidolimina.



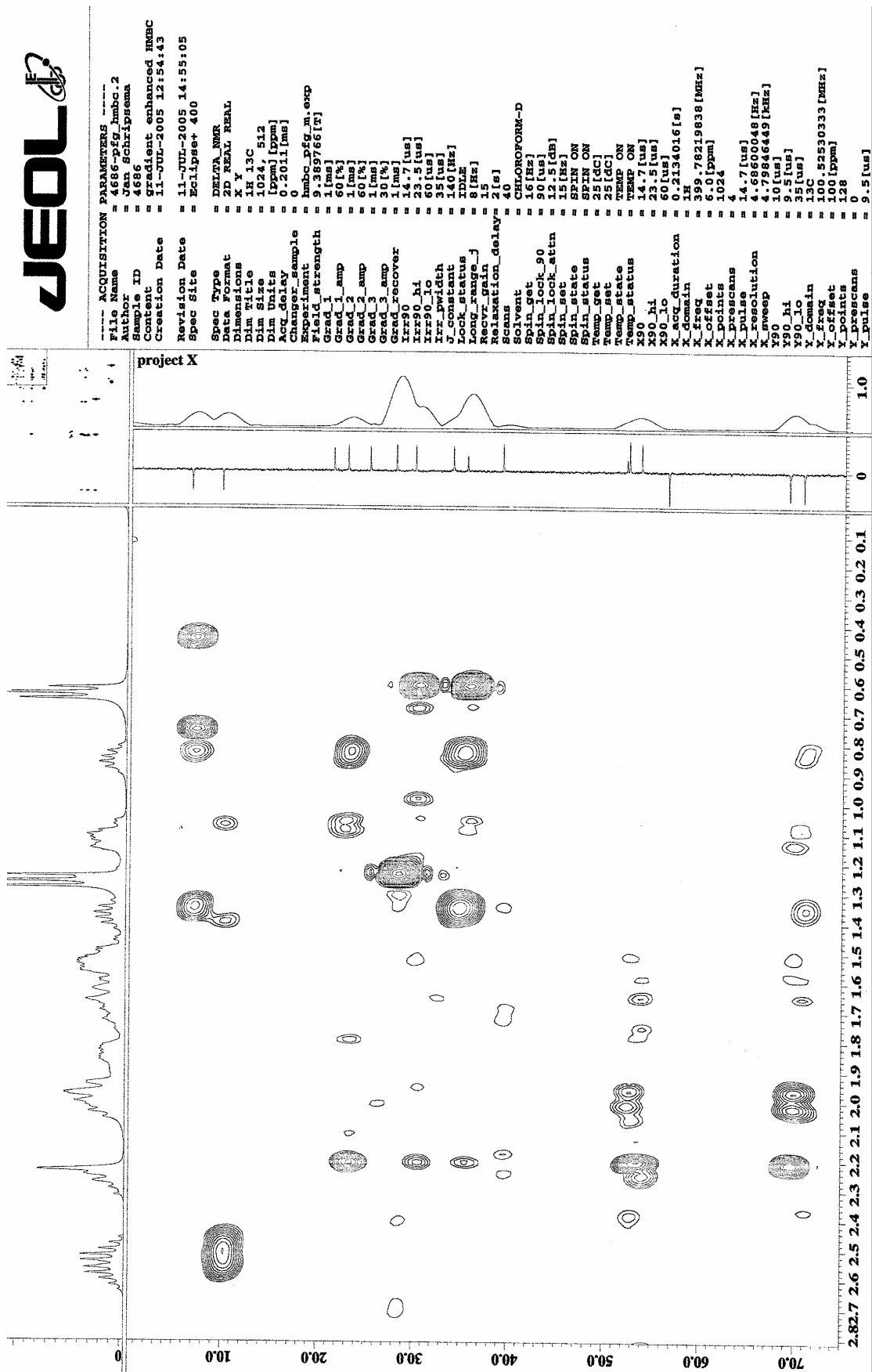
**Espectro 66.** Ampliação do mapa de correlação heteronuclear HMBC em  $\text{CDCl}_3$  do alcalóide (+)-aspidolimina.





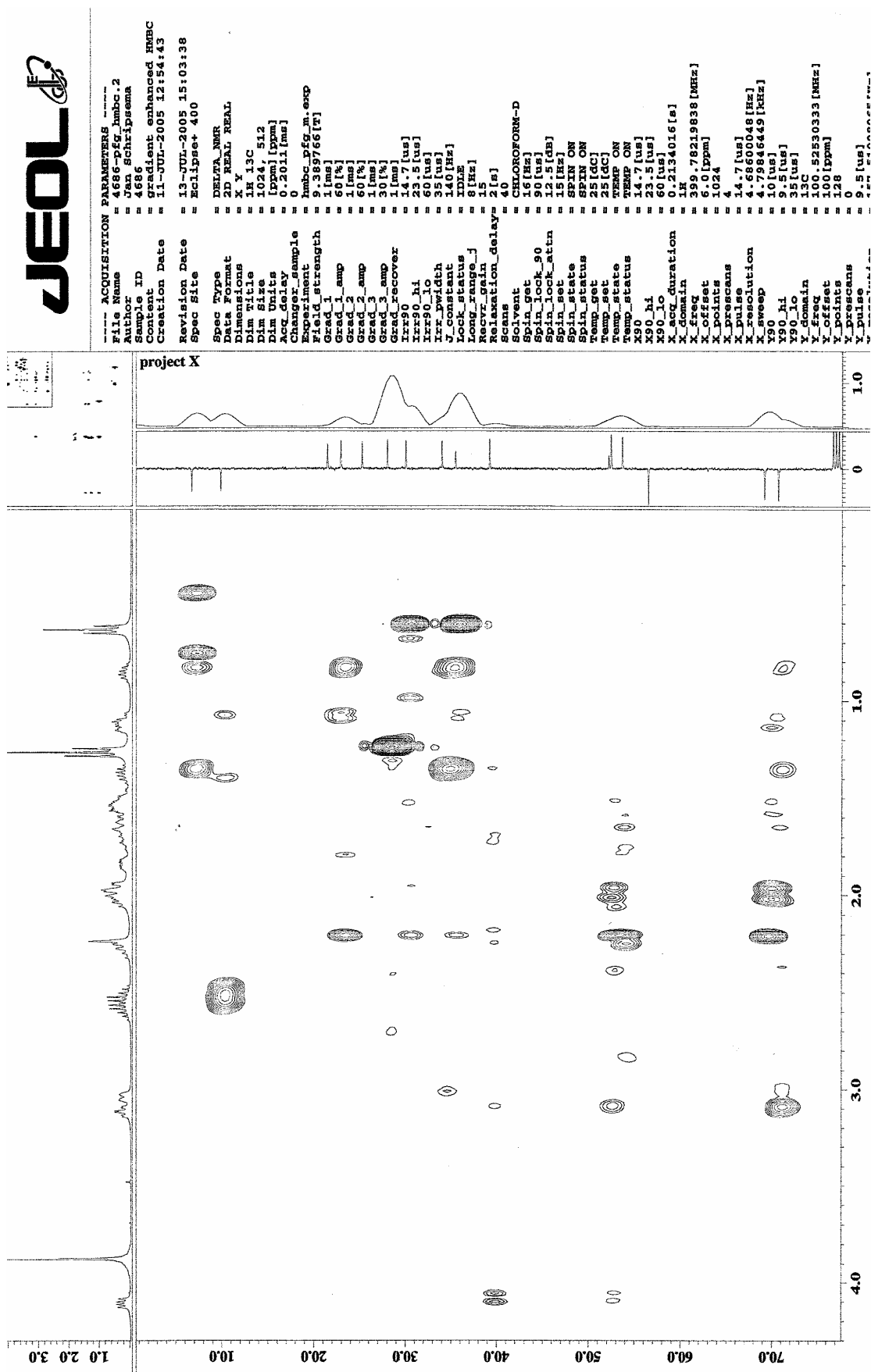


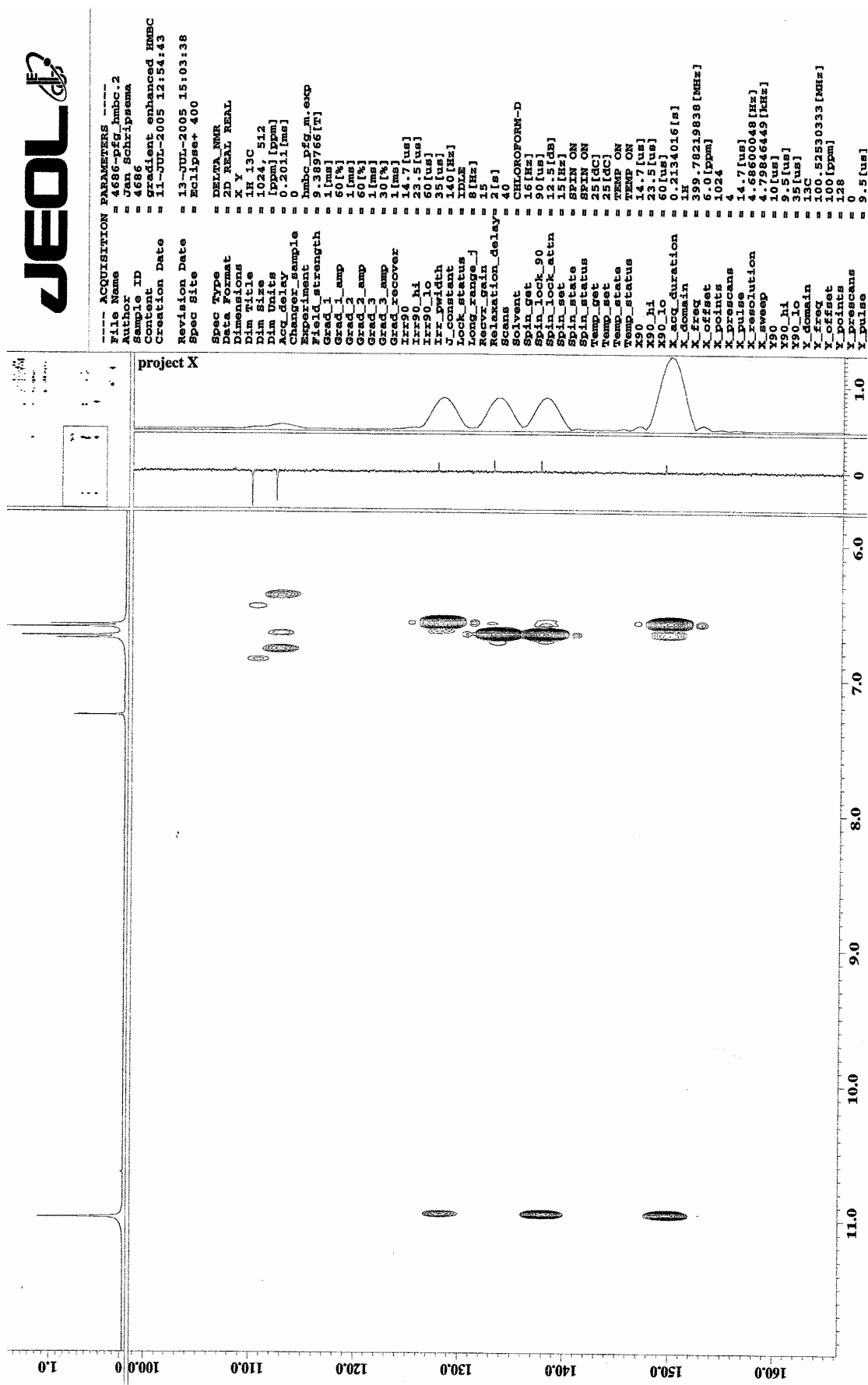
**Especro 68.** Ampliação do mapa de correlação heteronuclear HMBC em  $\text{CDCl}_3$  do alcaloíde (+)-aspidolima.



**Espectro 69.** Ampliação do mapa de correlação heteronuclear HMBC em  $\text{CDCl}_3$  do alcalóide (+)-aspidolamina.

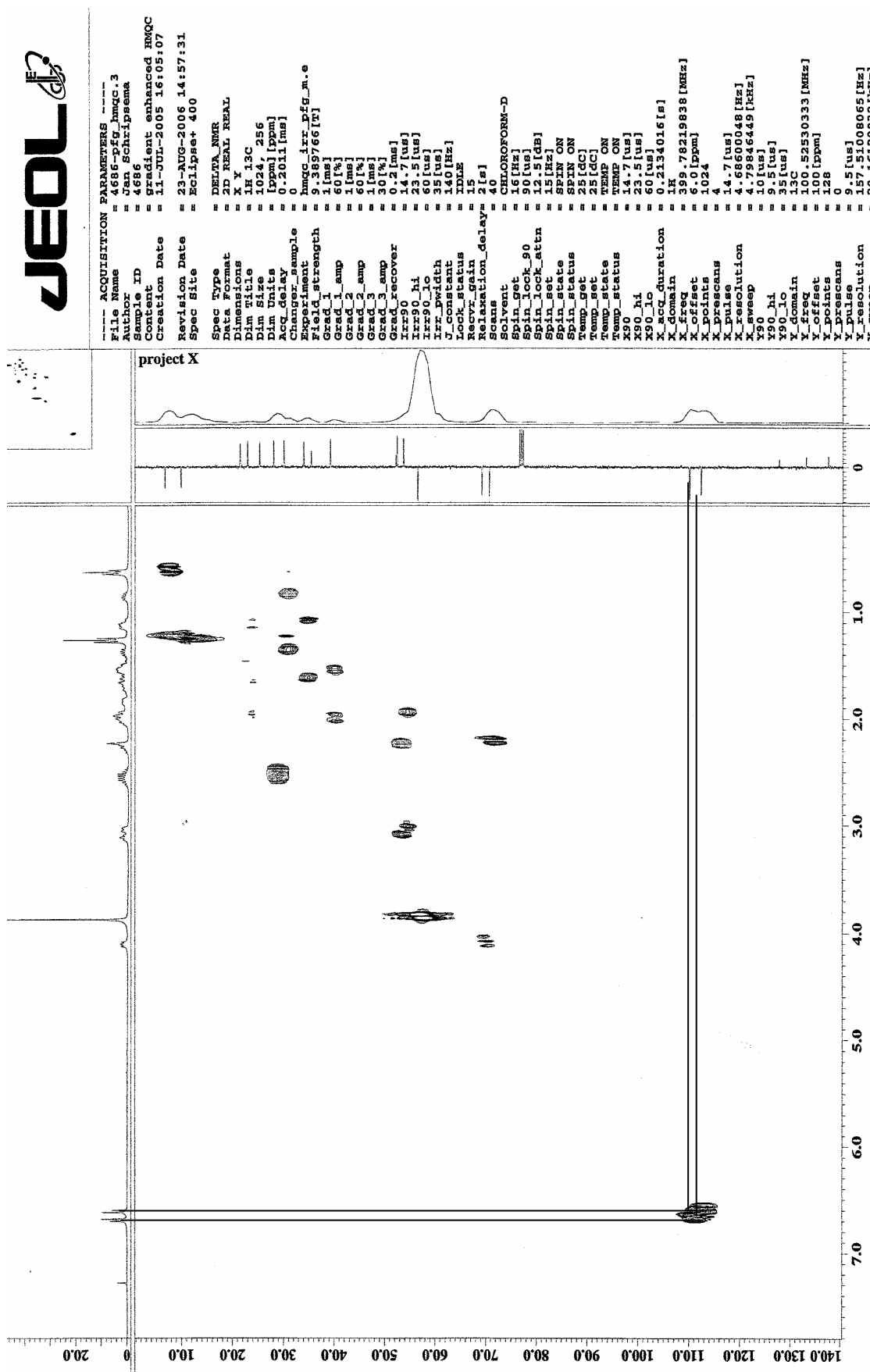
**Espectro 70.** Ampliação do mapa de correlação heteronuclear HMBC em  $\text{CDCl}_3$  do alcalóide (+)-aspidolimina.



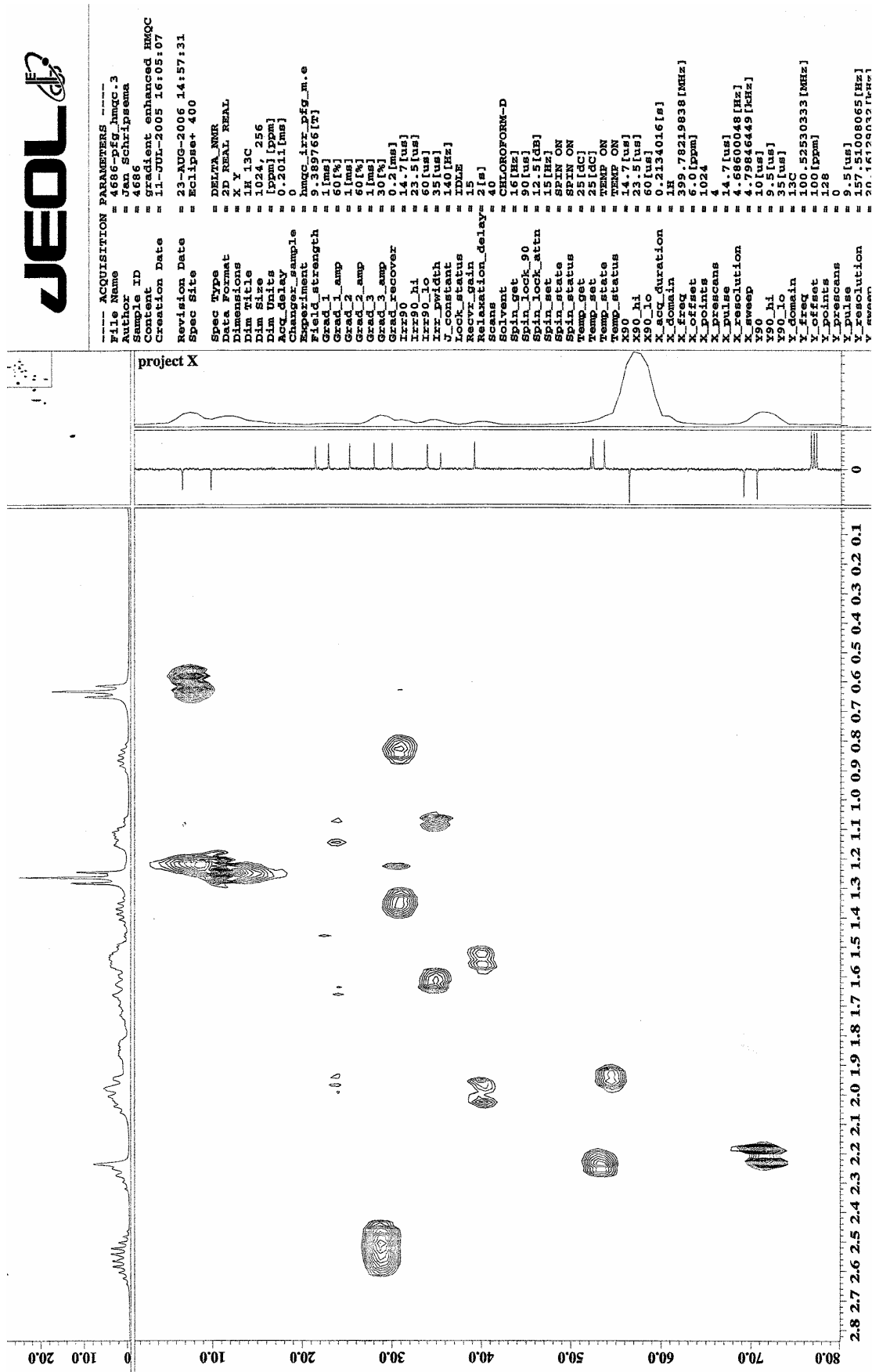


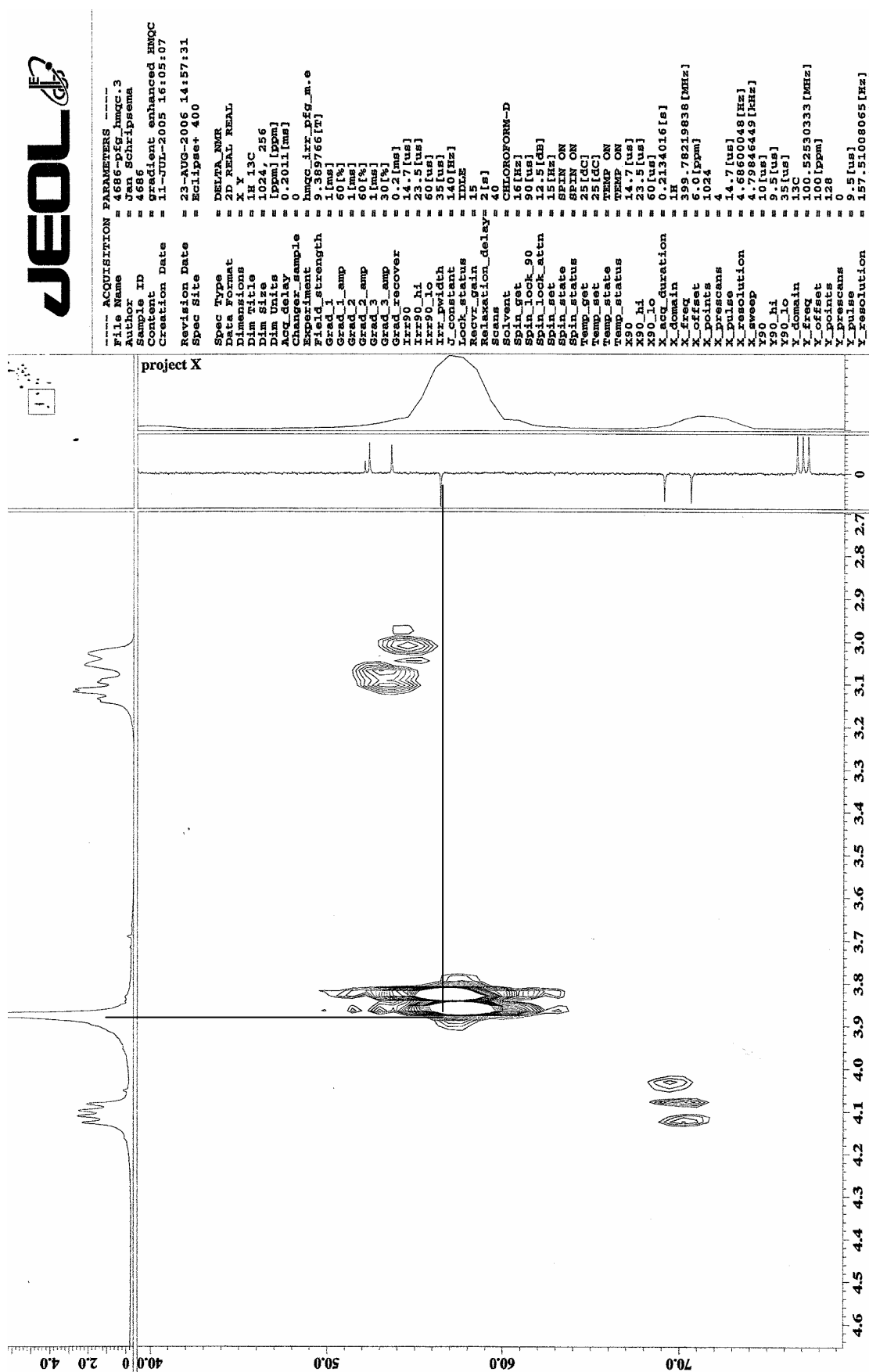
**Espectro 71.** Ampliação do mapa de correlação heteronuclear HMBC em CDCl<sub>3</sub> do alcalóide (+)-aspidolimina.

**Espectro 72.** Mapa de correlação heteronuclear HMQC em  $\text{CDCl}_3$  do alcalóide (+)-aspidolina.

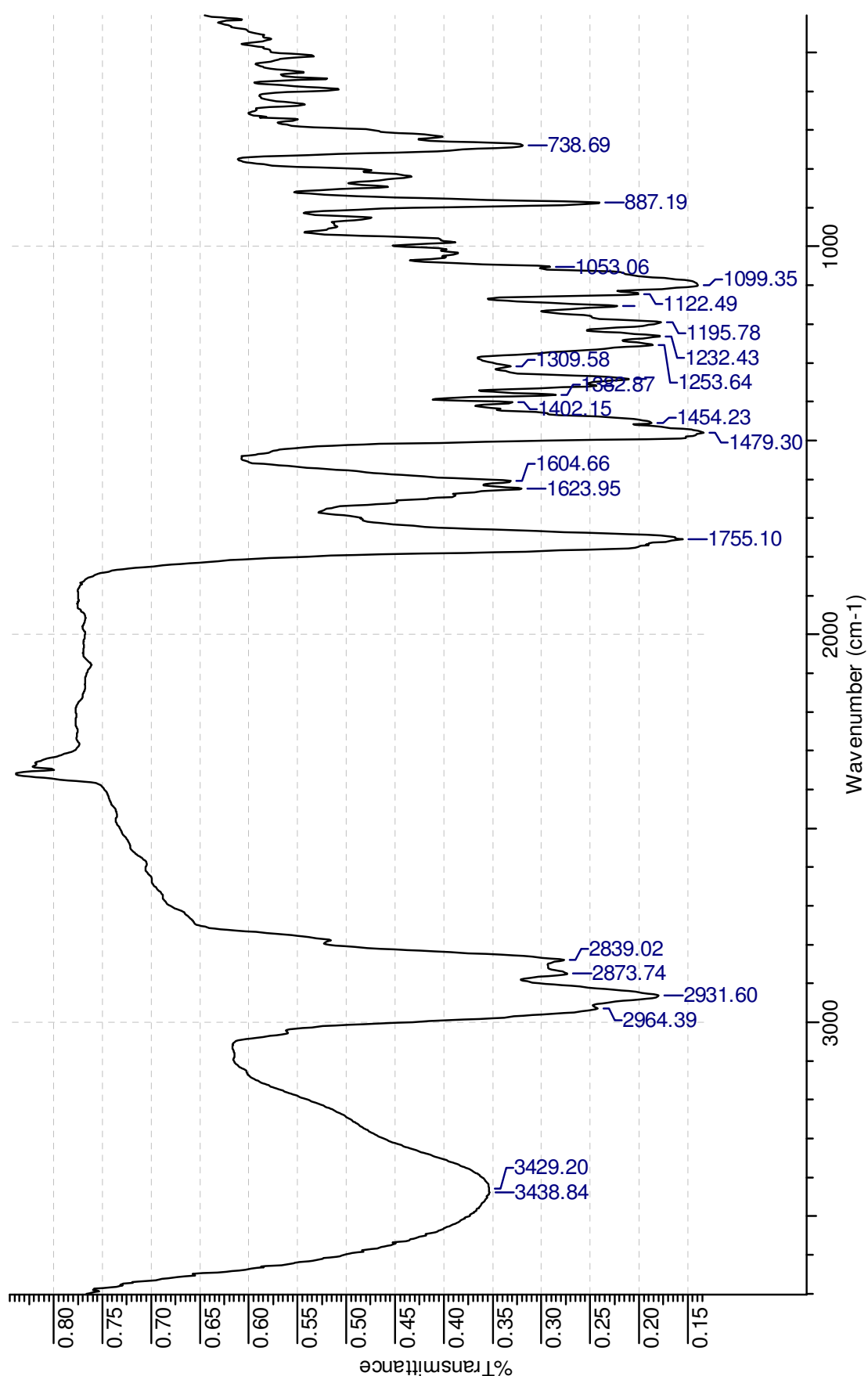


**Espectro 73.** Ampliação do mapa de correlação heteronuclear HMQC em  $\text{CDCl}_3$  do alcalóide (+)-aspidolimina.

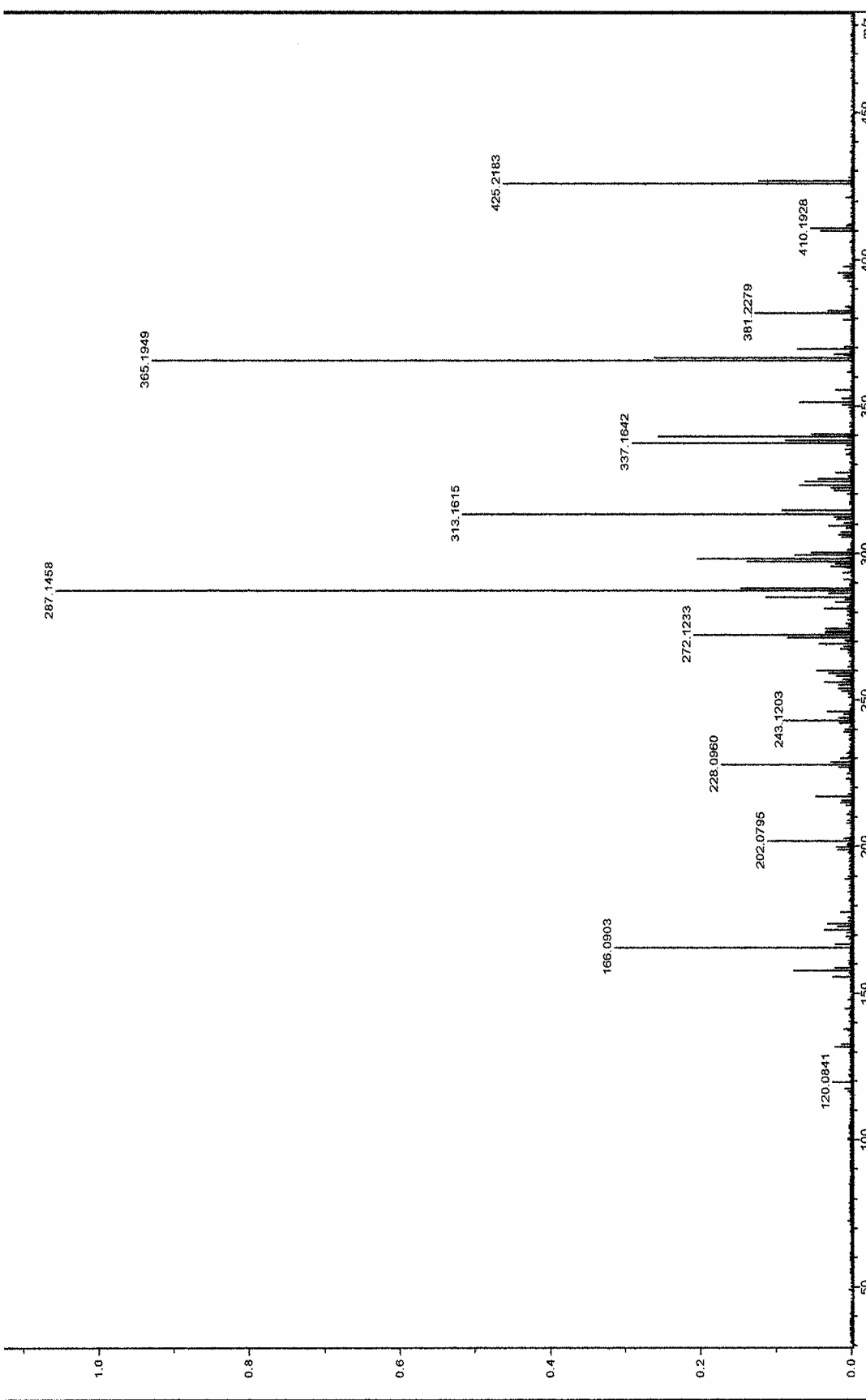




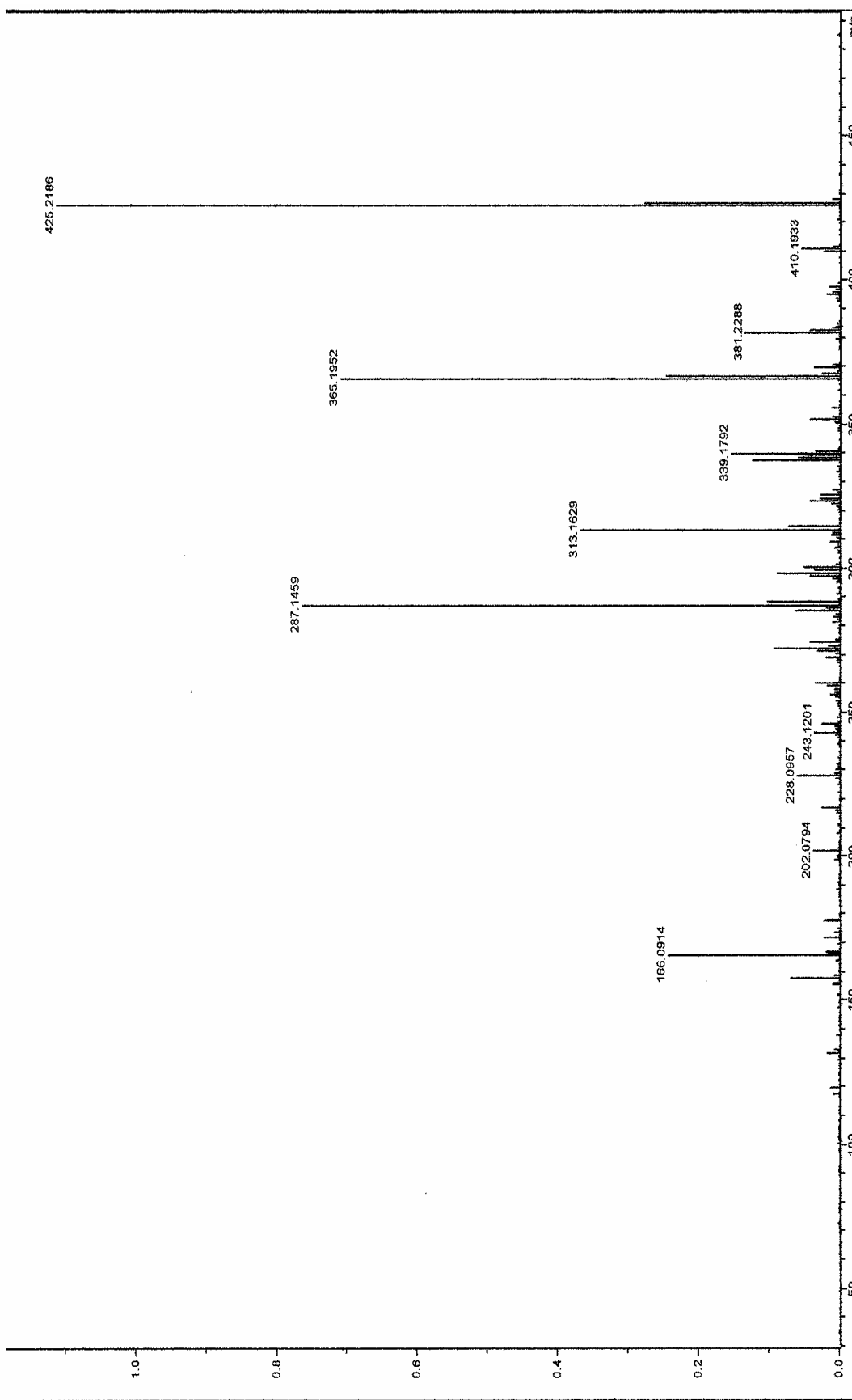
**Espectro 74.** Ampliação do mapa de correlação heteronuclear HMQC em CDCl<sub>3</sub> do alcalóide (+)-aspidolima.



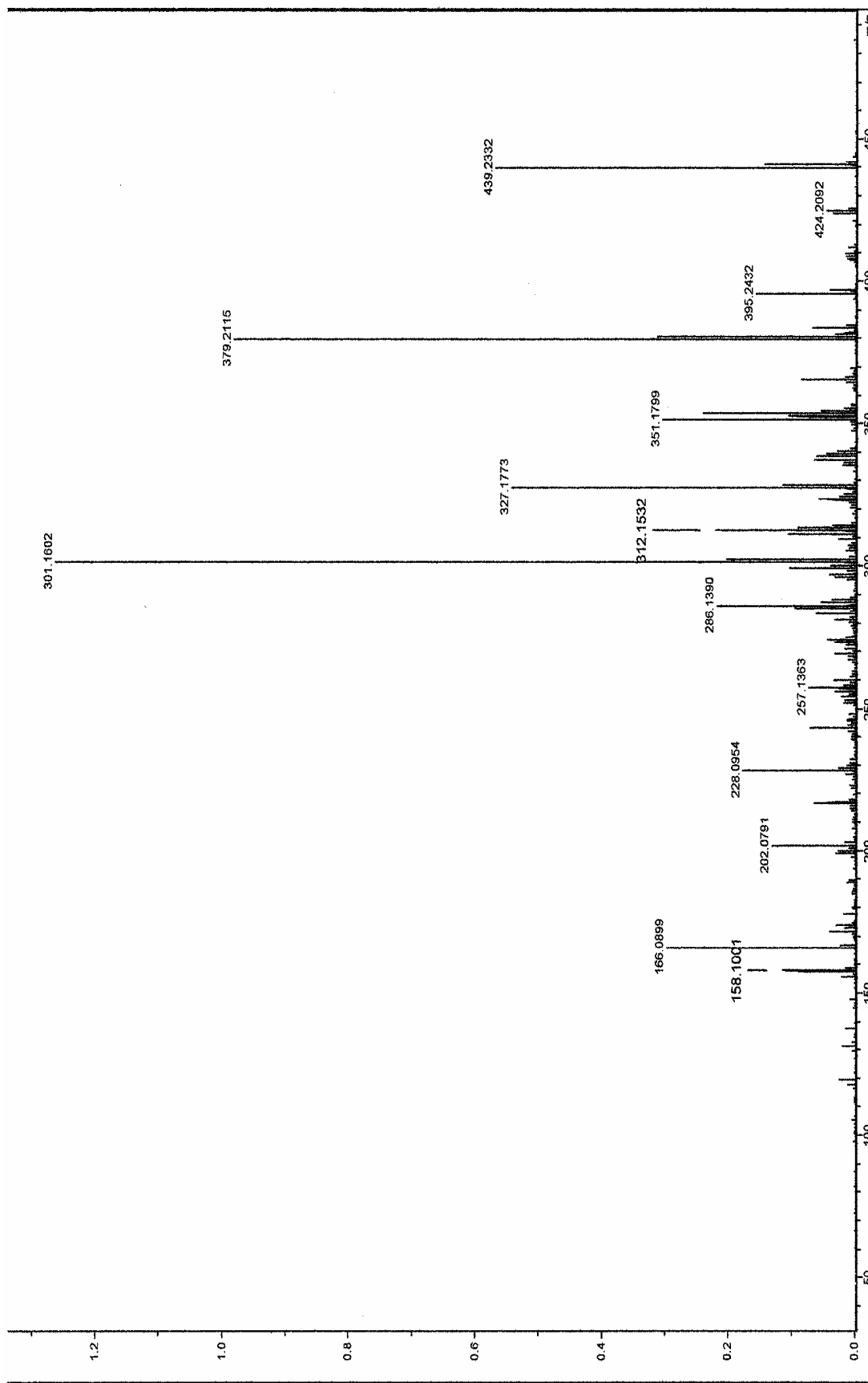
**Especro 75.** Espectro de infravermelho da mistura dos alcalóides spruceanumina A e spruceanumina B.



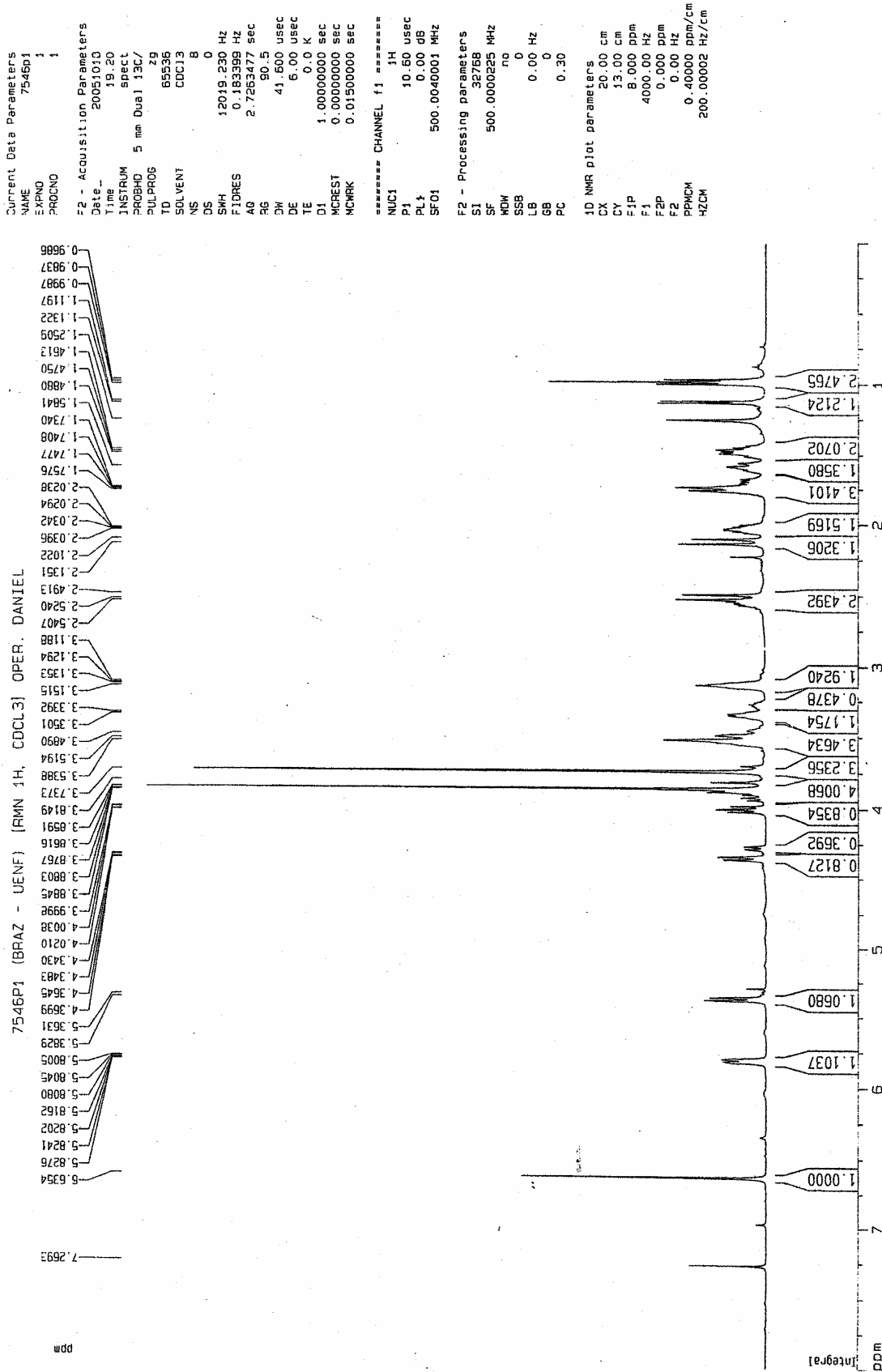
**Espectro 76.** Espectro de massas da mistura dos alcalóides spruceanumina A e spruceanumina B.



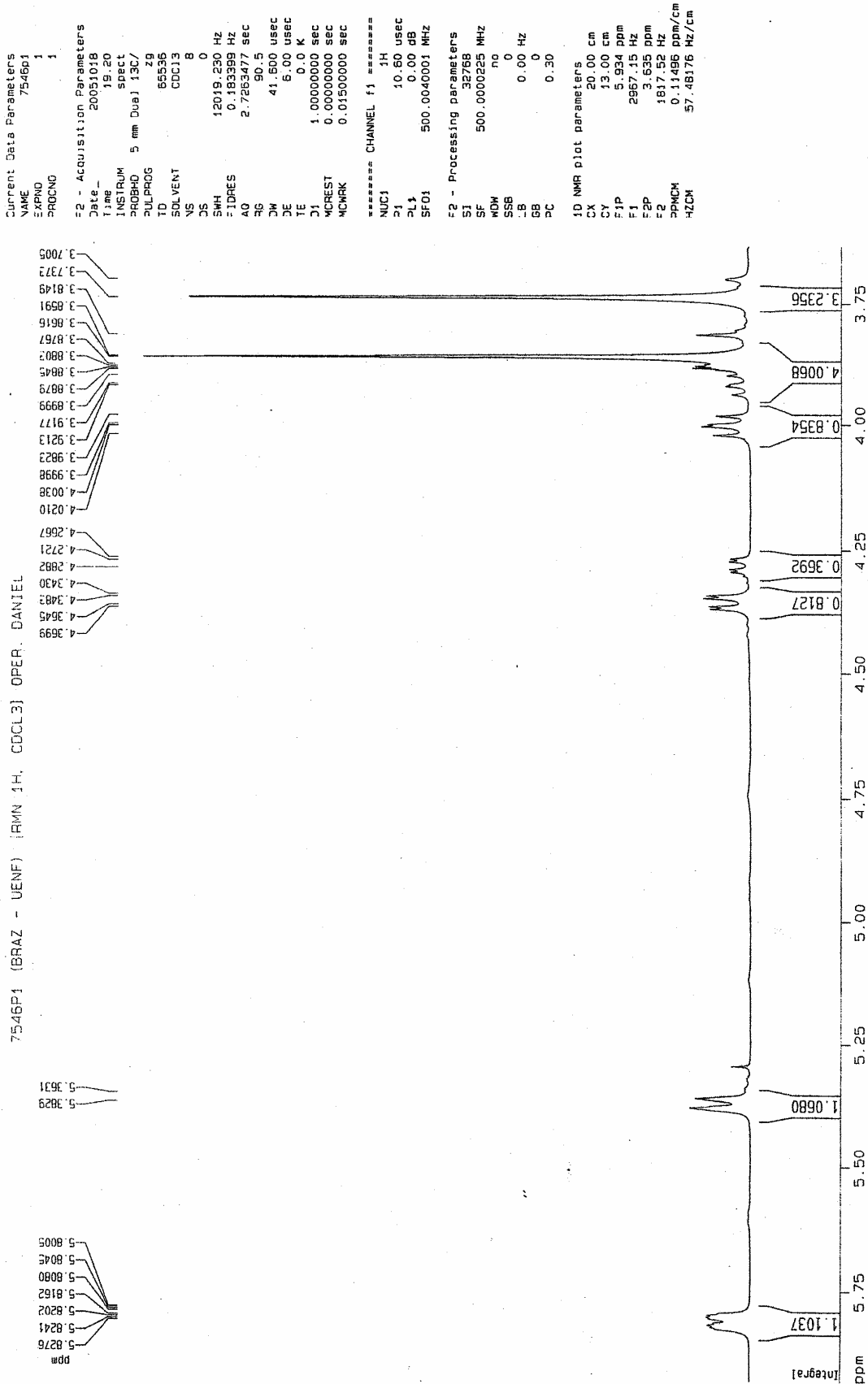
**Espectro 77.** Espectro de massas da mistura dos alcalóides spruceanumina A e spruceanumina B.



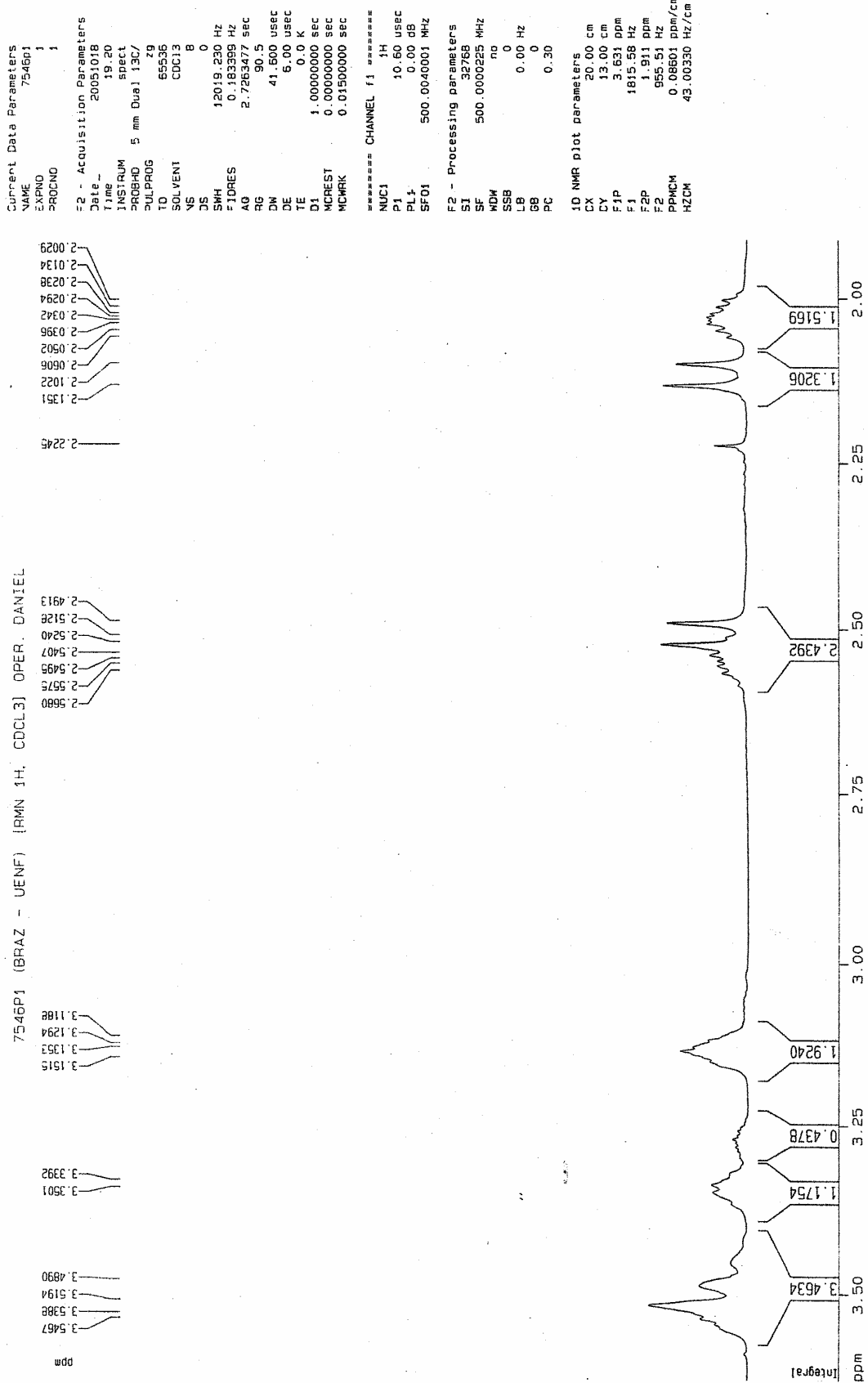
**Espectro 78.** Espectro de massas da mistura dos alcalóides spruceanumina A e spruceanumina B.



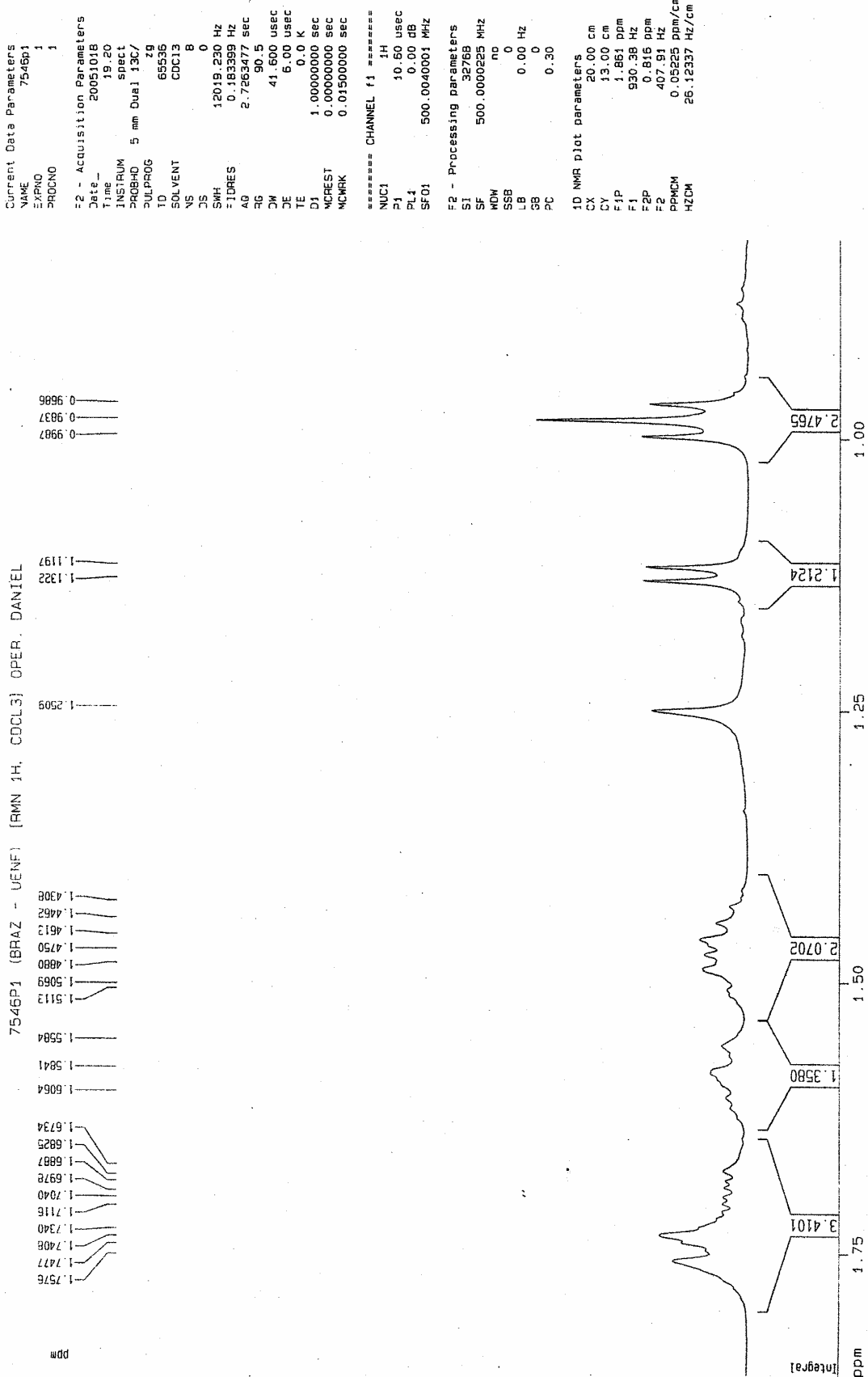
**Espectro 79.** Espectro de RMN <sup>1</sup>H (500 MHz) em CDCl<sub>3</sub> da mistura dos alcalóides spruceanumina A e spruceanumina B.

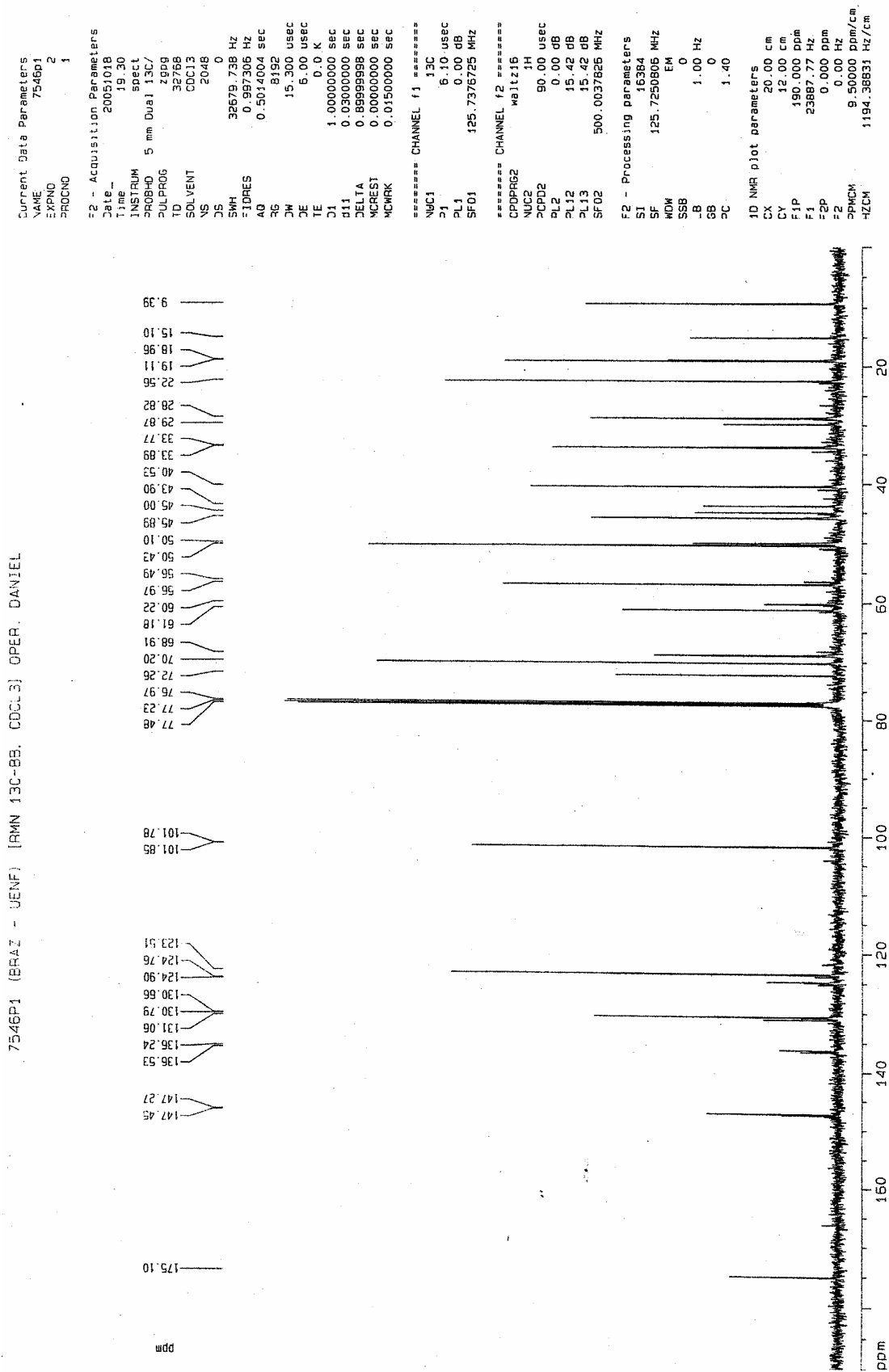


**Espectro 80.** Ampliação da região de  $\delta_H$  3,7-5,8 do espectro de RMN  $^1H$  (500 MHz) em  $CDCl_3$  da mistura dos alcalóides spruceanumina A e spruceanumina B.

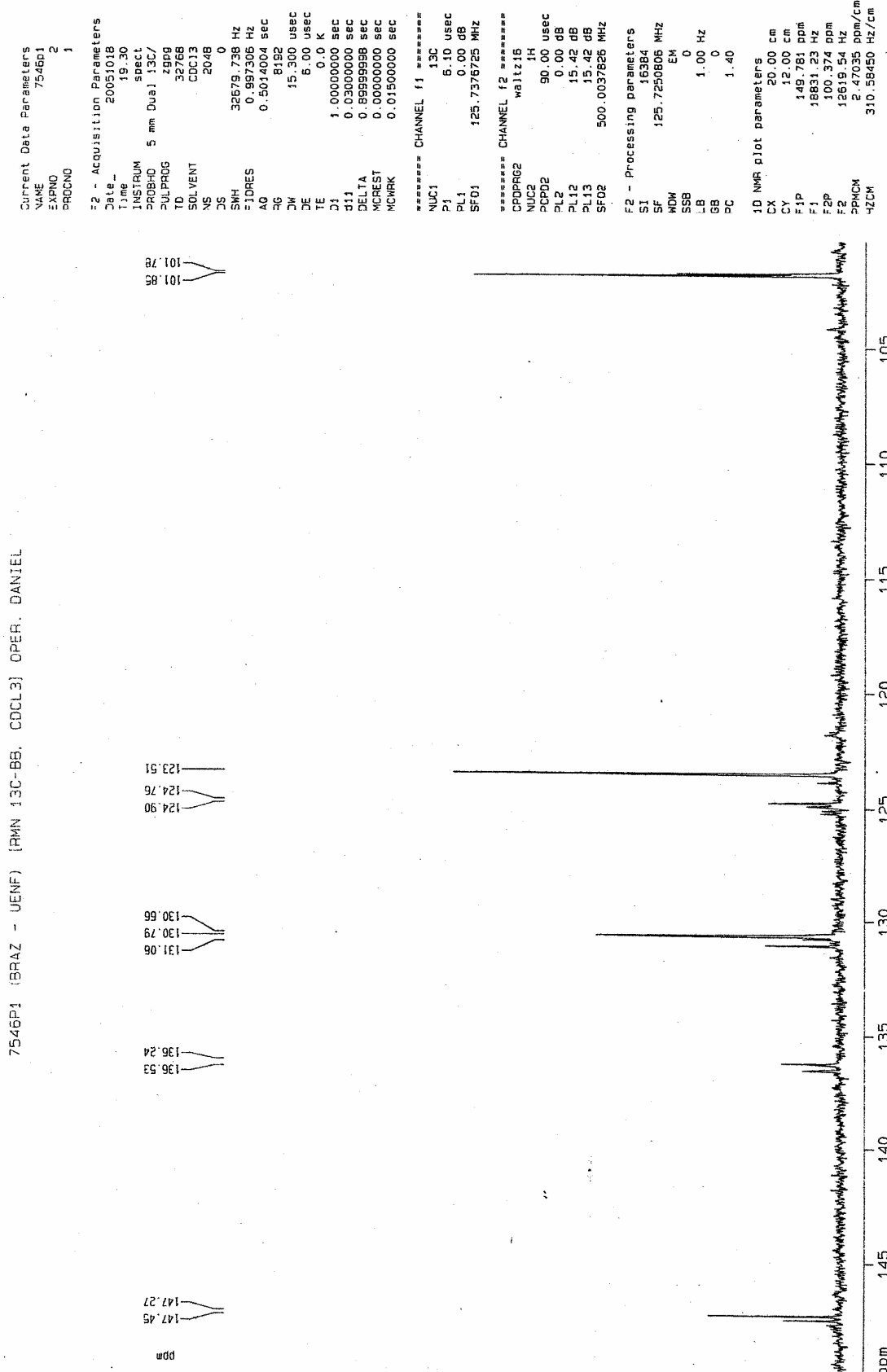


**Espectro 81.** Ampliação da região de  $\delta_{\text{H}}$  2,0-3,5 do espectro de RMN  $^1\text{H}$  (500 MHz) em  $\text{CDCl}_3$  da mistura dos alcalóides spruceanumina A e spruceanumina B.

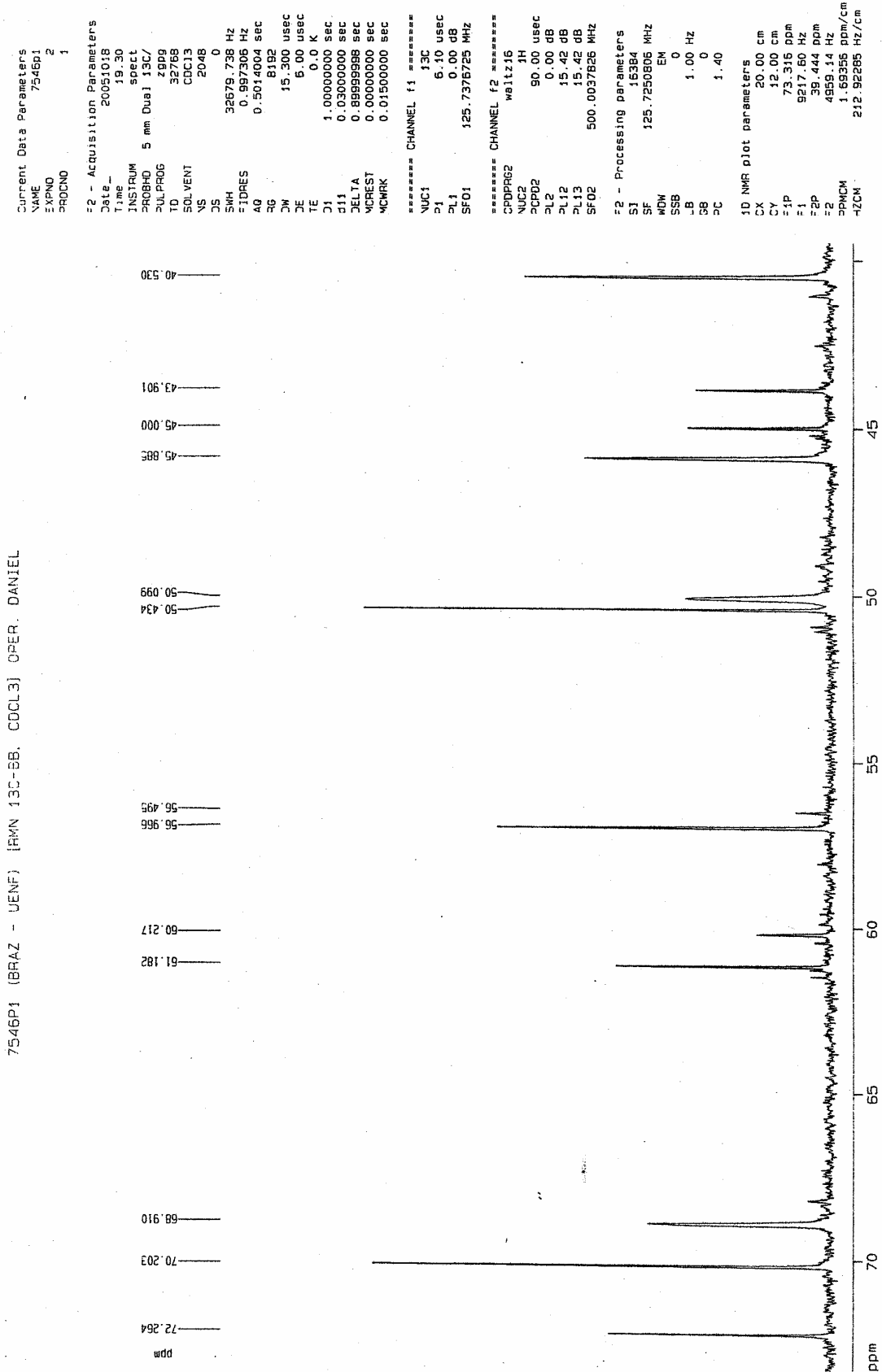




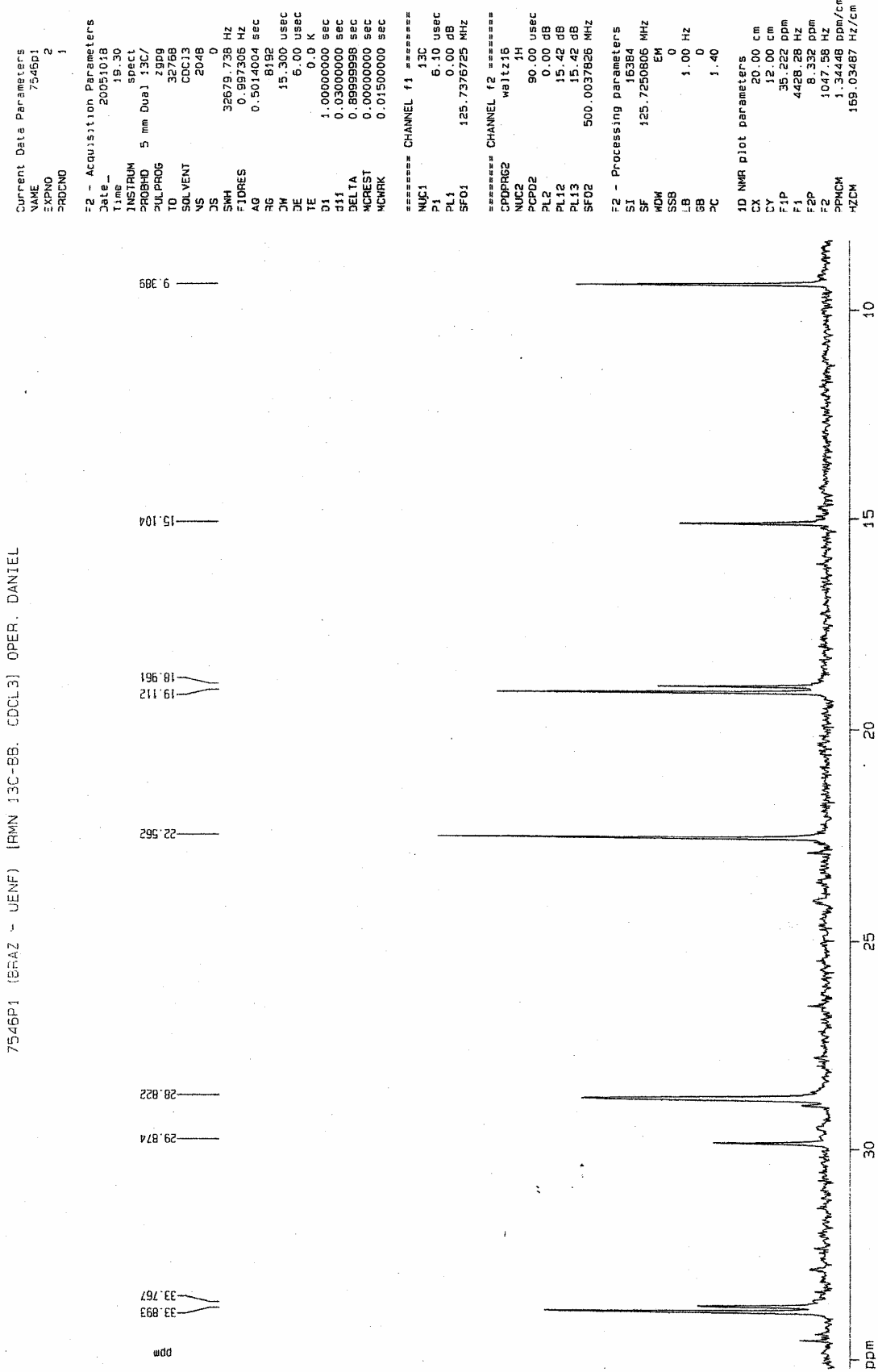
**Espectro 83.** Espectro de RMN <sup>13</sup>C (125 MHz) em CDCl<sub>3</sub> mistura dos alcalóides spruceanumina A e spruceanumina B.



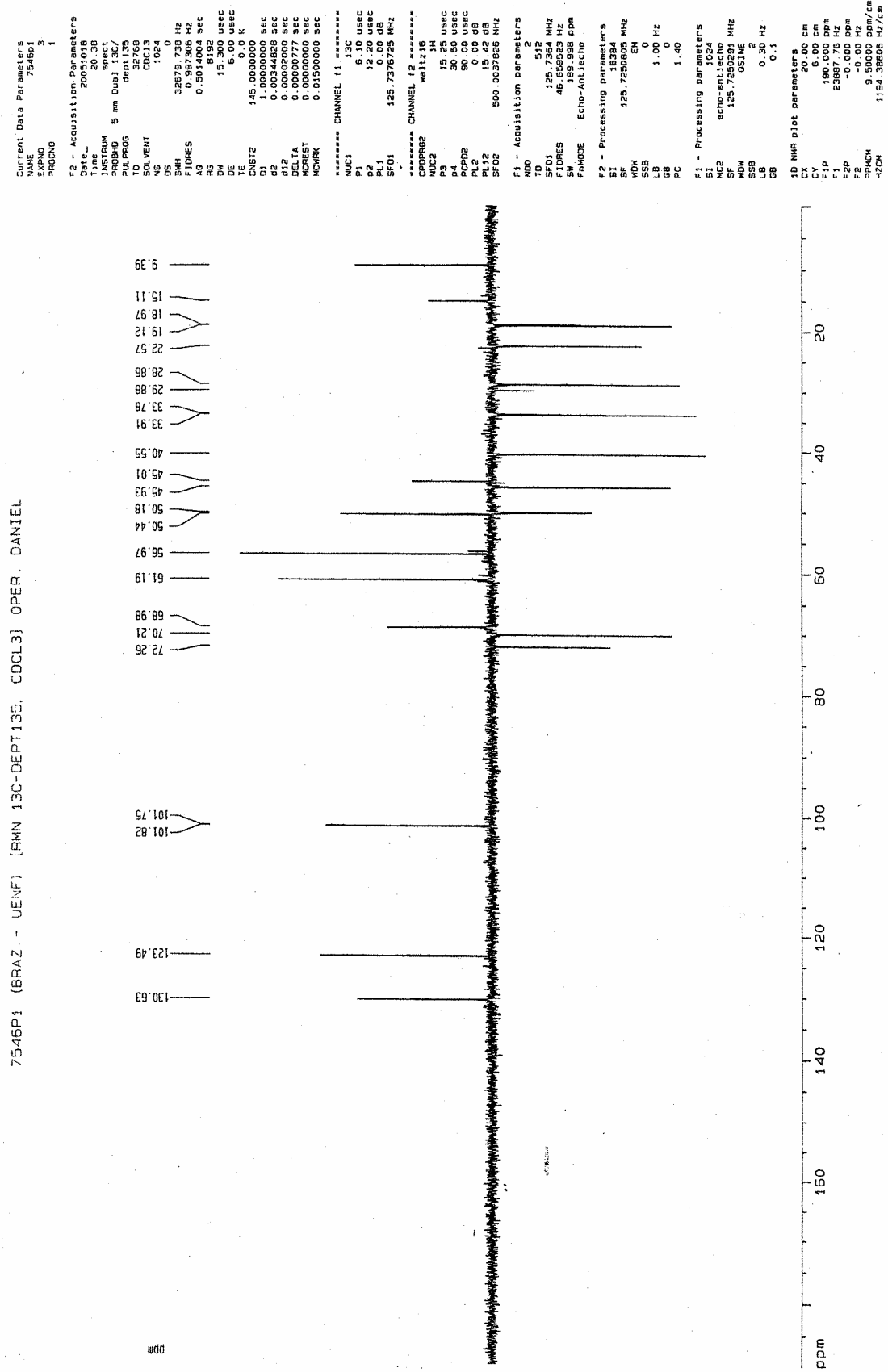
**Espectro 84.** Ampliação da região  $\delta_c$  100-147 do espectro de RMN <sup>13</sup>C (125 MHz) em CDCl<sub>3</sub> da mistura dos alcalóides spruceanumina A e spruceanumina B.



**Espectro 85.** Ampliação da região  $\delta_c$  40-72 do espectro de RMN  $^{13}\text{C}$  (125 MHz) em  $\text{CDCl}_3$  da mistura dos alcalóides spruceanumina A e spruceanumina B.

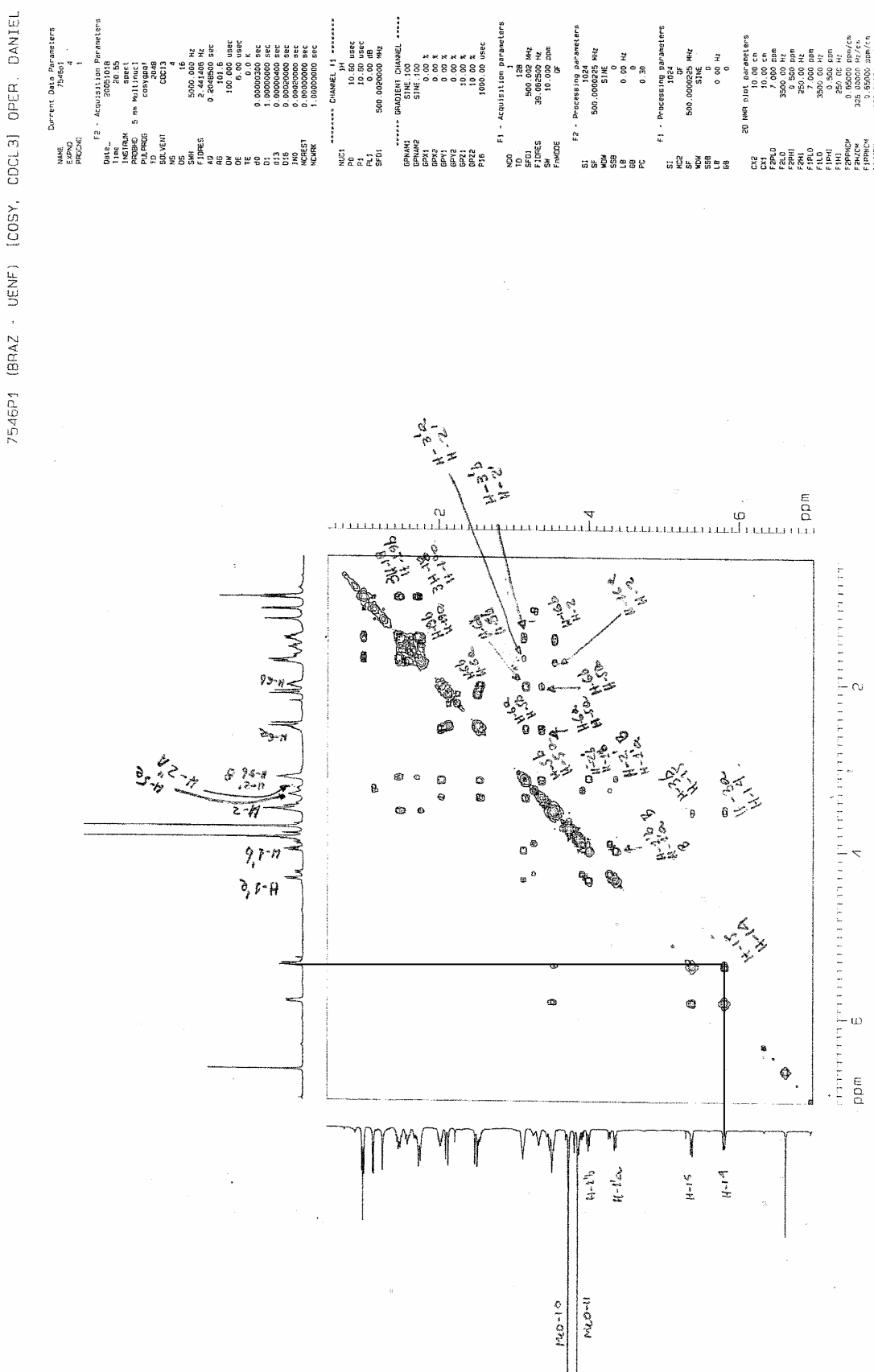


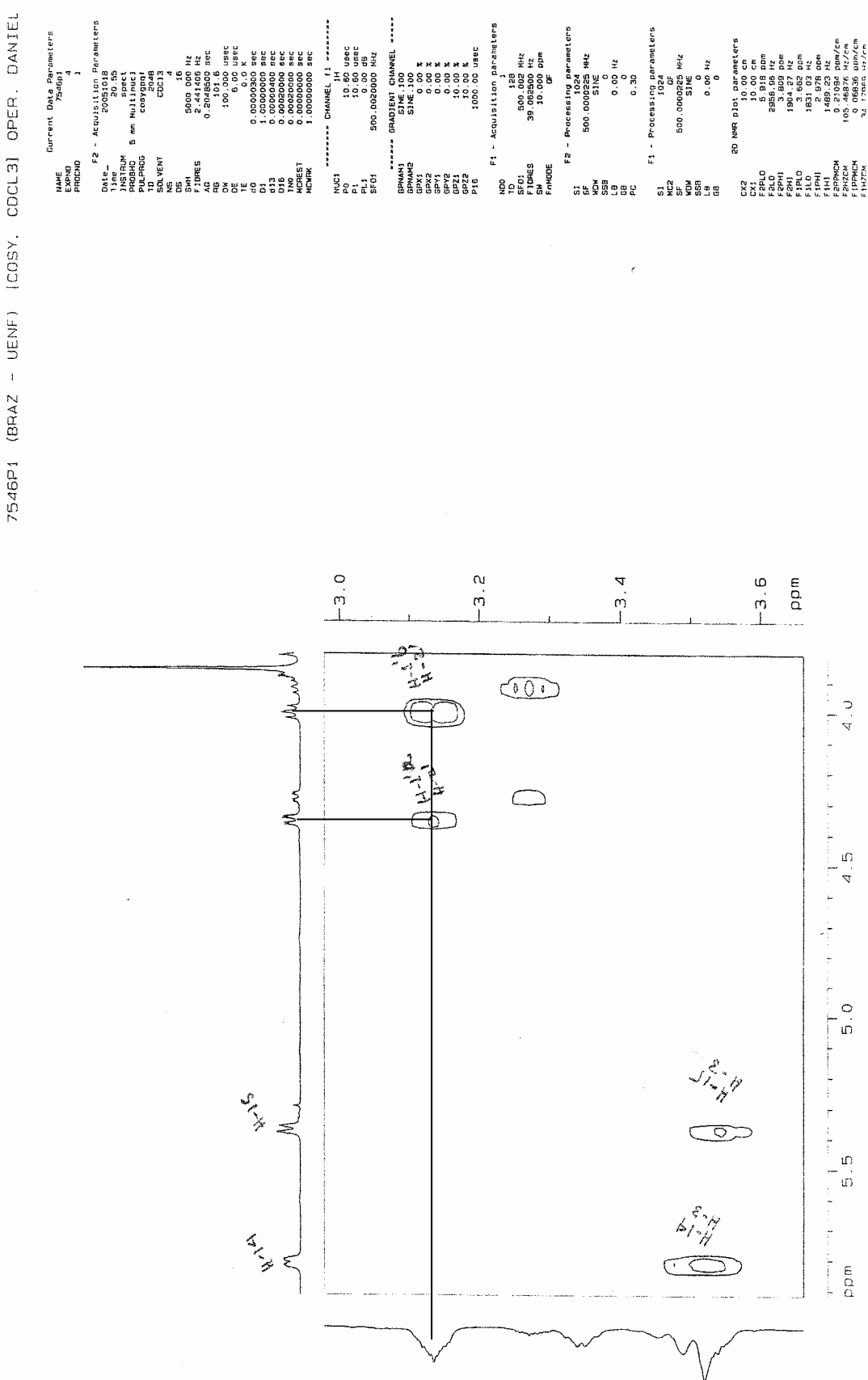
**Espectro 86.** Ampliação da região δ<sub>C</sub> 9,-33 do espectro de RMN <sup>13</sup>C (125 MHz) em CDCl<sub>3</sub> da mistura dos alcaloides spruceanuma A e spruceanumina B.



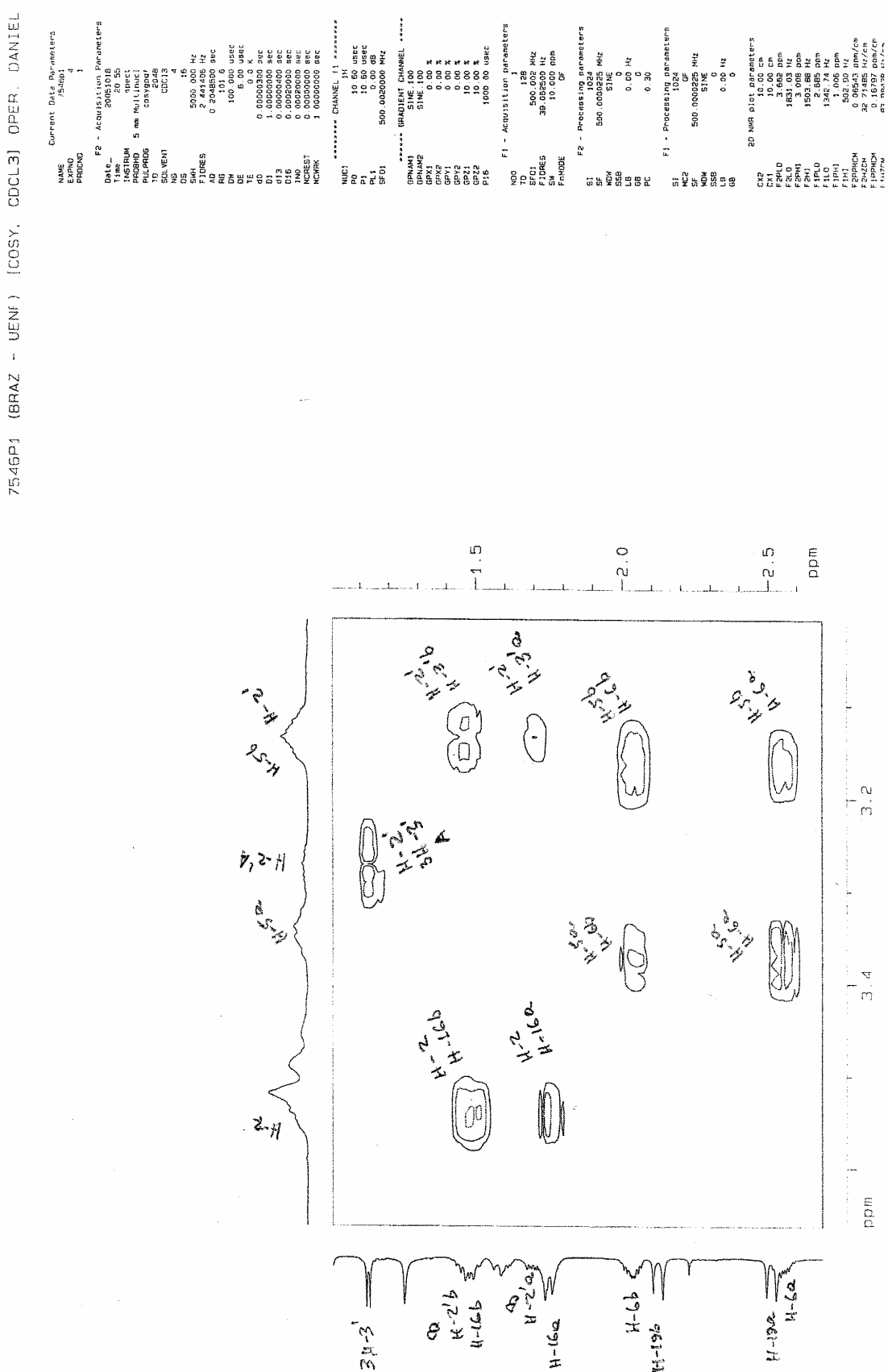
**Espectro 87.** Espectro de RMN  $^{13}\text{C}$  (125 MHz-DEPT-135) em CDCl<sub>3</sub> da mistura dos alcaloides spruceanumina A e spruceanumina B.

**Especro 88.** Mapa de correlação homonuclear  $^1\text{H}-^1\text{H}$  COSY em  $\text{CDCl}_3$  da mistura dos alcaloides spruceanumina A e spruceanumina B.

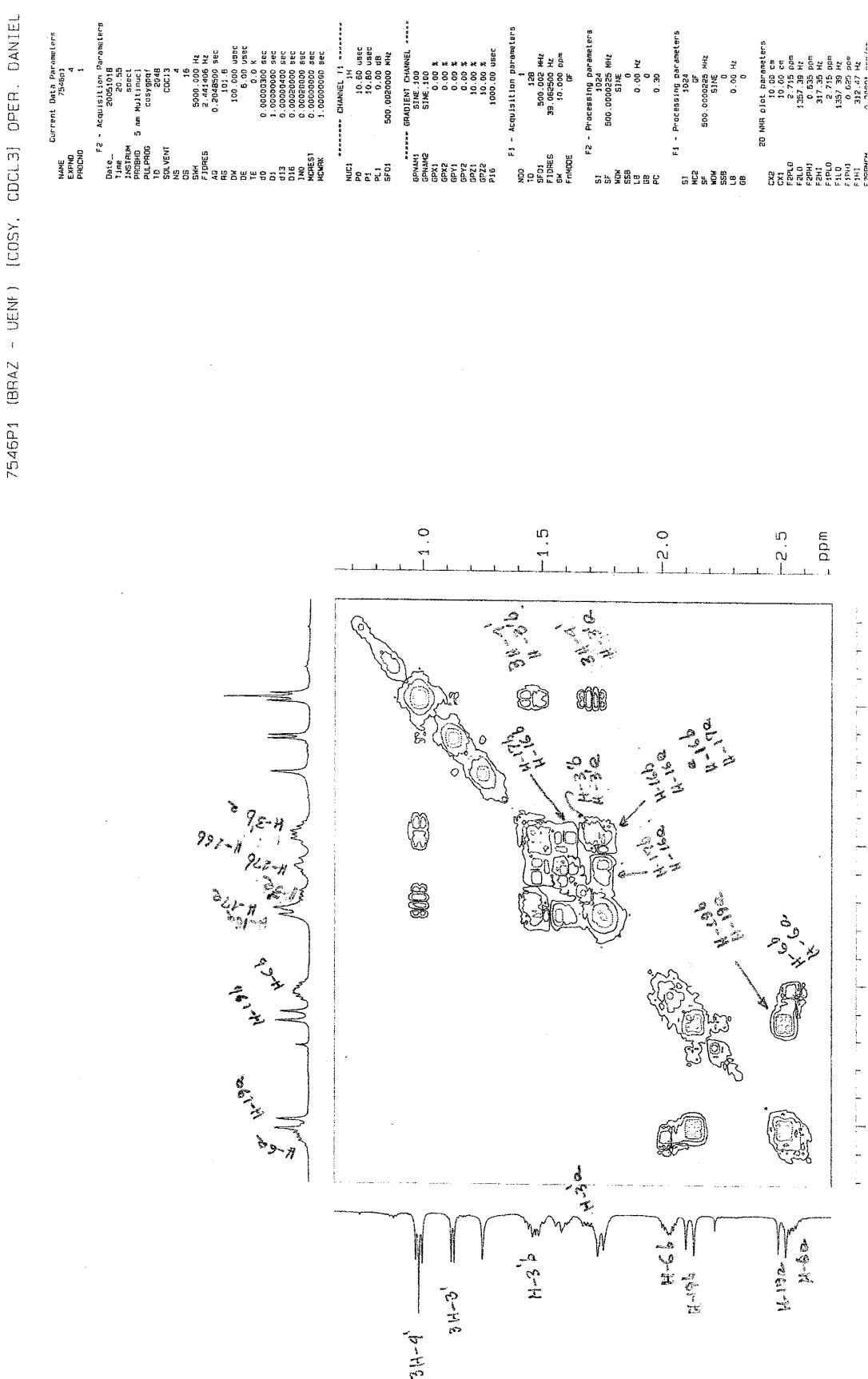




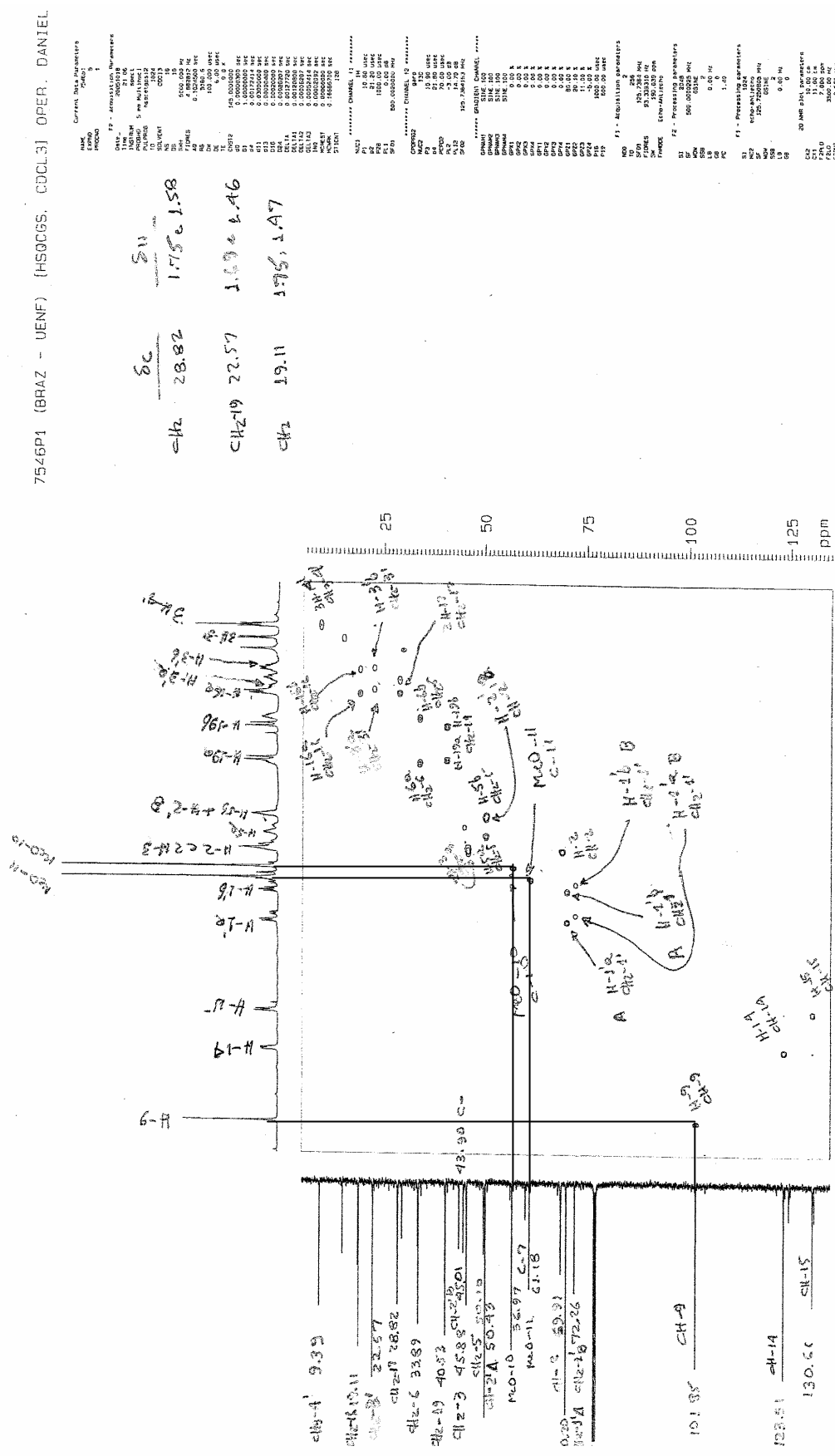
**Especro 89.** Ampliação do mapa de correlação homonuclear  $^1\text{H}$ - $^1\text{H}$ -COSY em  $\text{CDCl}_3$  da mistura dos alcaloides spruceanumina A e spruceanumina B.



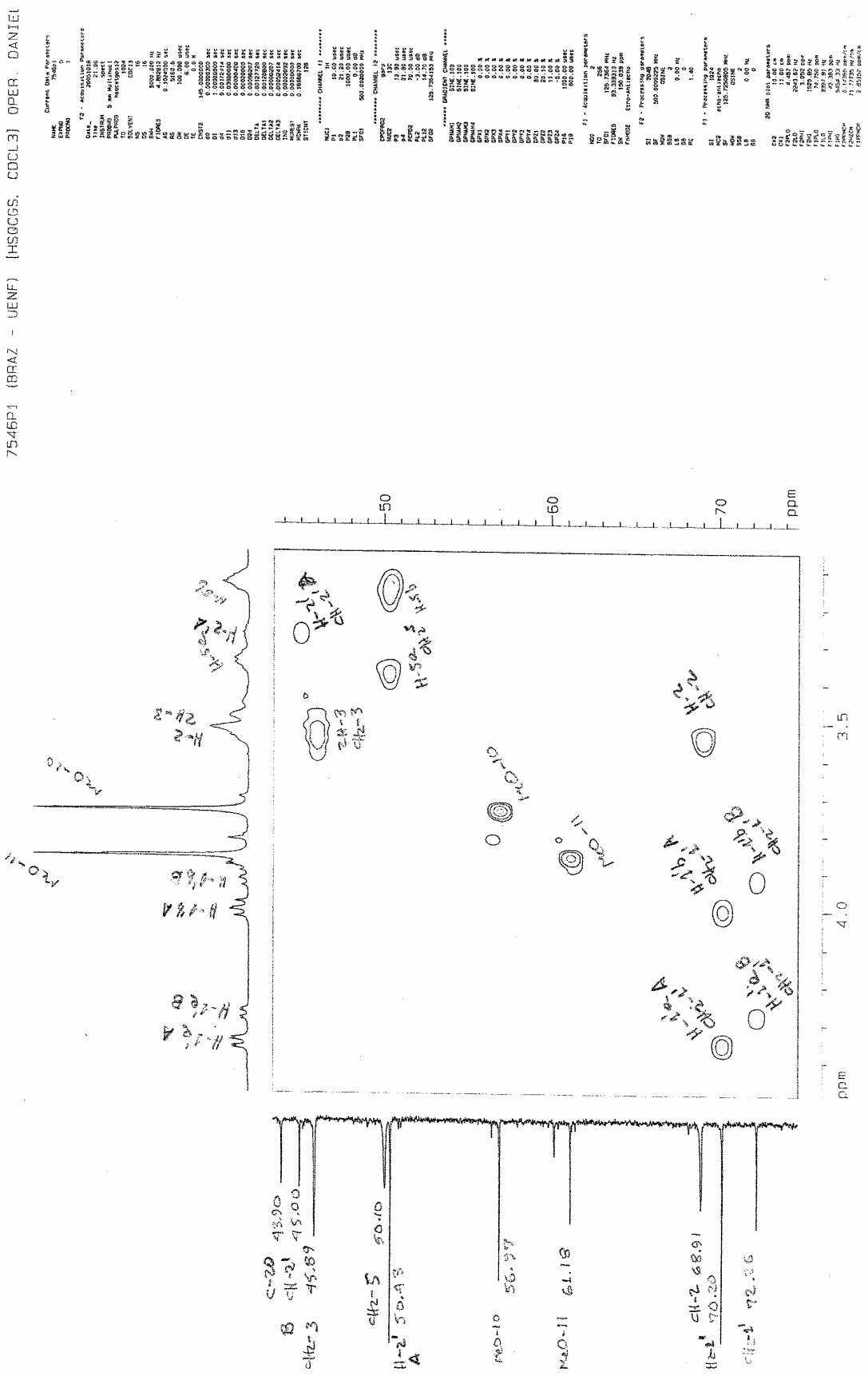
**Especro 90.** Ampliação do mapa de correlação homonuclear <sup>1</sup>H-<sup>1</sup>H-COSY em CDCl<sub>3</sub> da mistura dos alcaloides spruceanumina A e spruceanumina B.



**Espectro 91.** Ampliação do mapa de correlação homonuclear <sup>1</sup>H-<sup>1</sup>H-COSY em CDCl<sub>3</sub> da mistura dos alcaloides spruceanumina A e spruceanumina B.

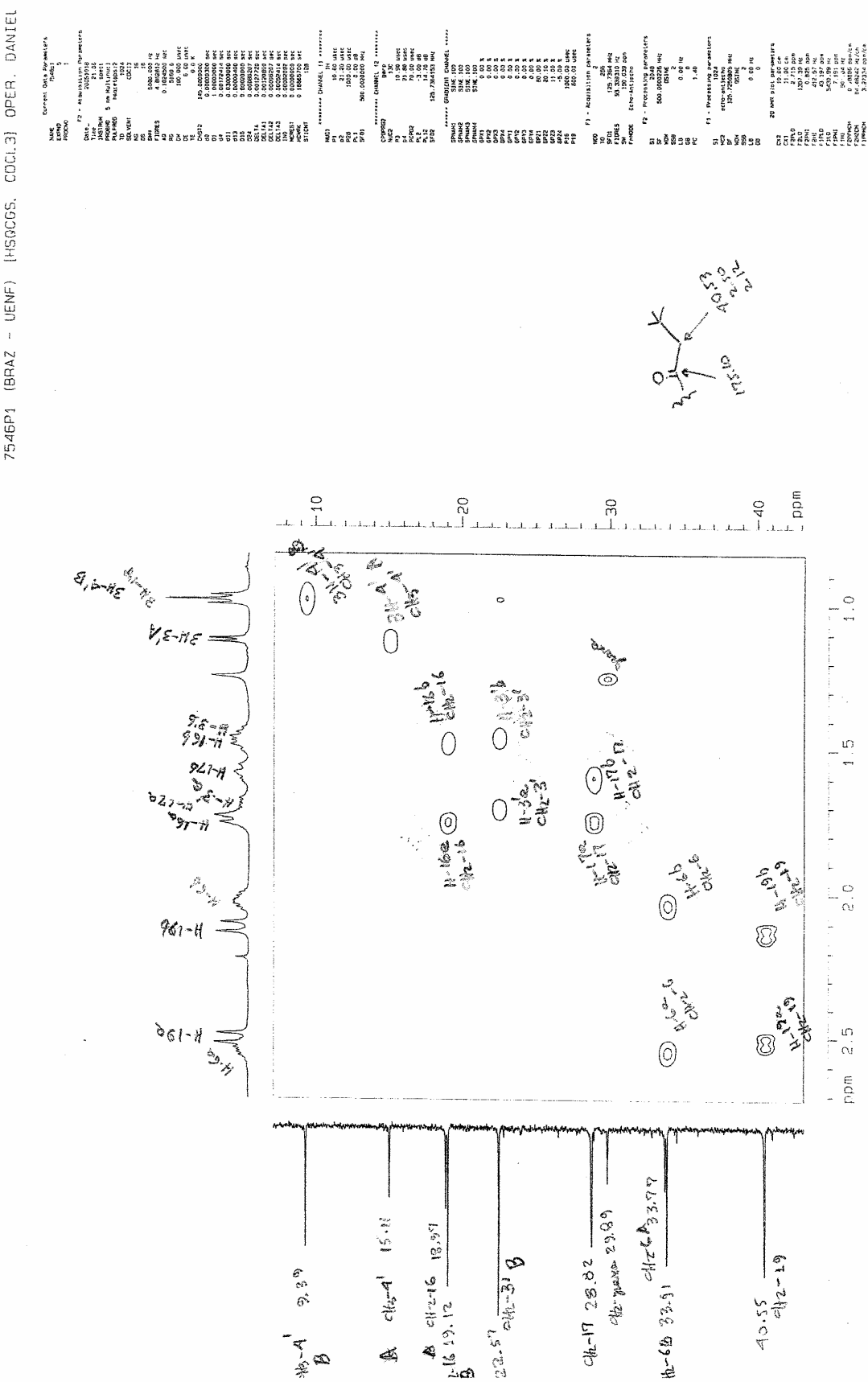


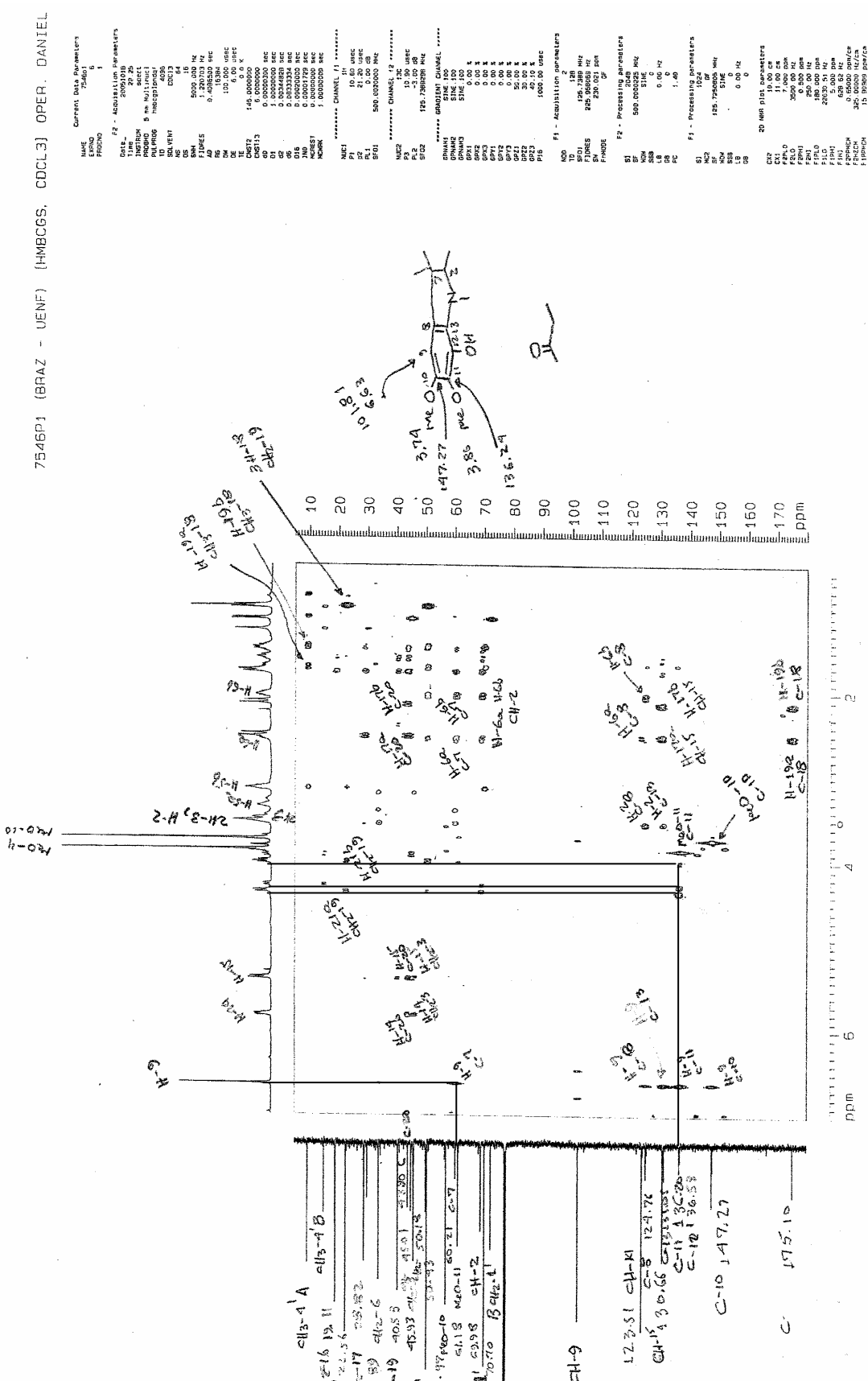
**Espectro 92.** Mapa de correlação heteronuclear HSQC da mistura dos alcalóides spruceanumina A e spruceanumina B.



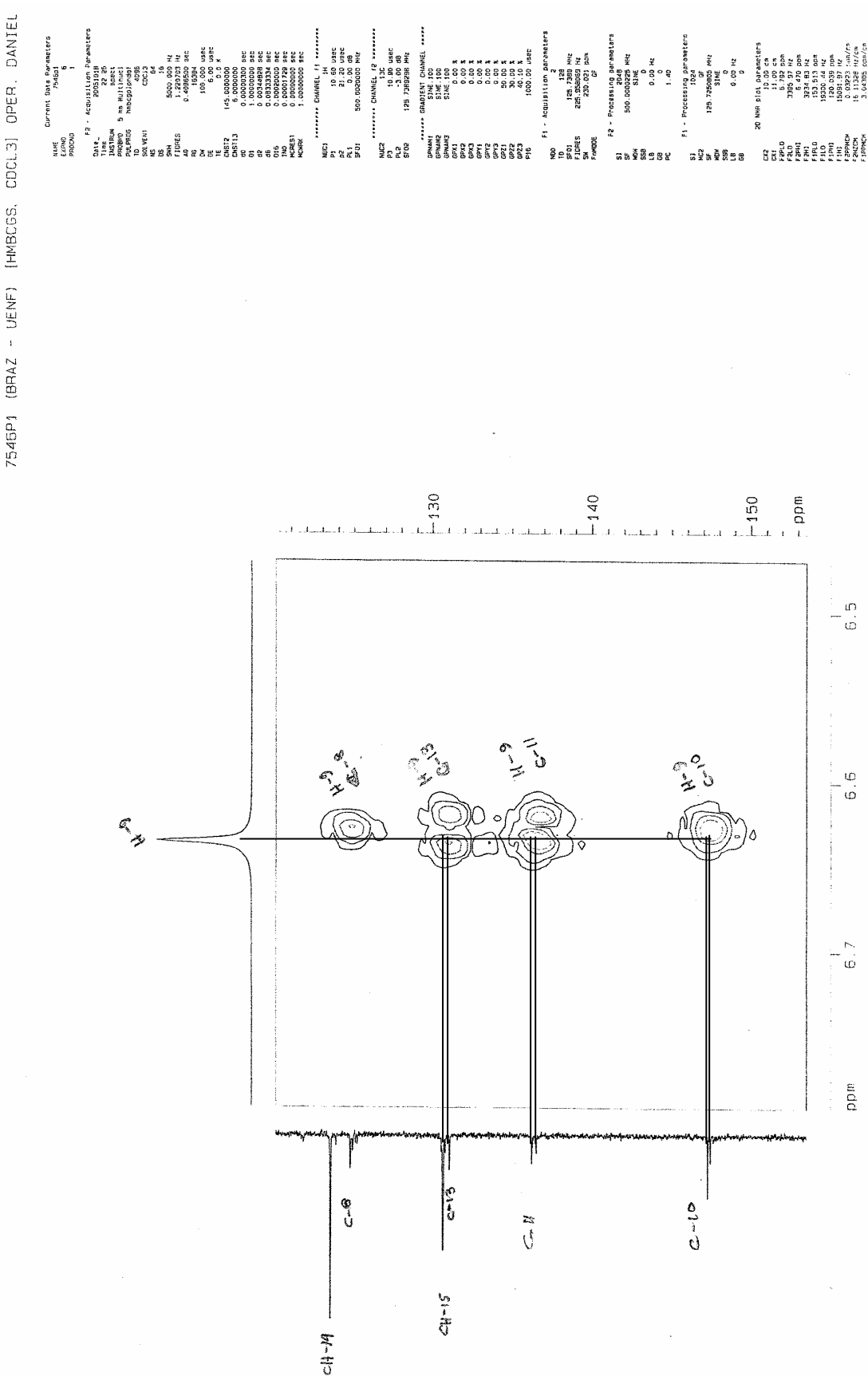
**Especro 93.** Ampliação do mapa de correlação heteronuclear HSQC em CDCl<sub>3</sub> da mistura dos alcaloides spruceanuma A e spruceanuma B.

**Espectro 94.** Ampliação do mapa de correlação heteronuclear HSQC em  $\text{CDCl}_3$  da mistura dos alcaloides spruceanumina A e spruceanumina B.

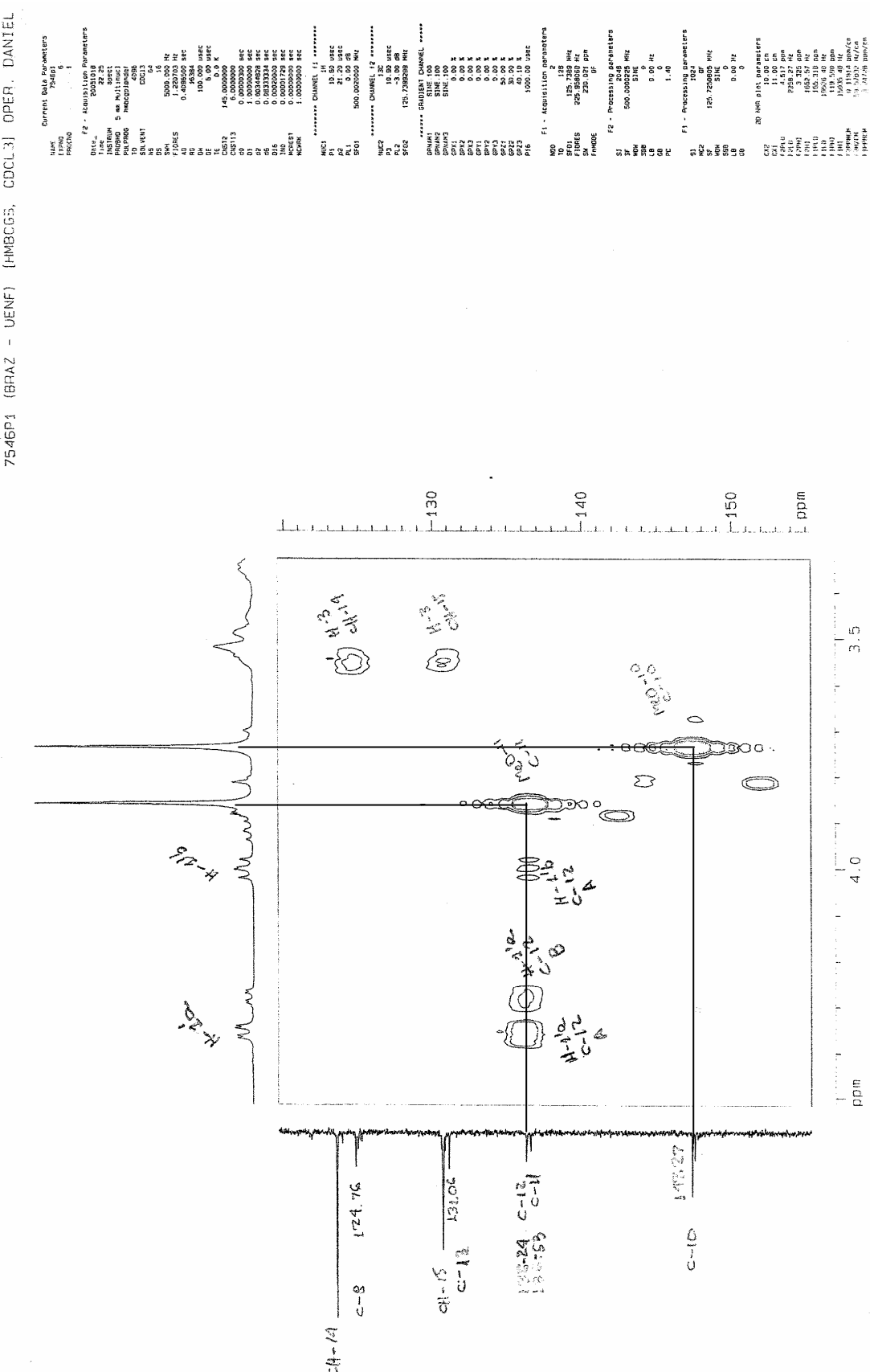




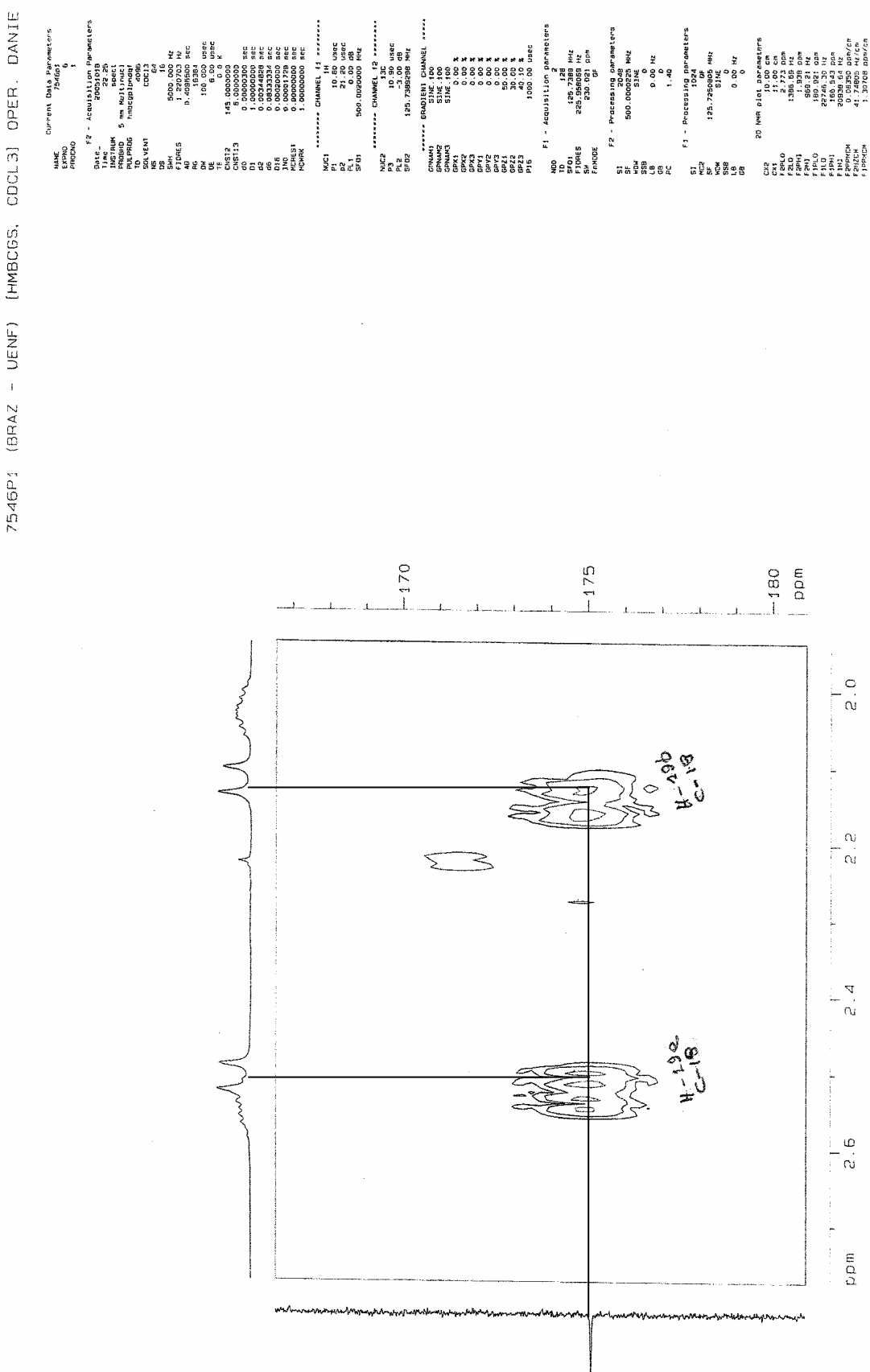
**Espectro 95.** Mapa de correlação heteronuclear HMBC em  $\text{CDCl}_3$  da mistura dos alcaloides spruceanumina A e spruceanumina B.



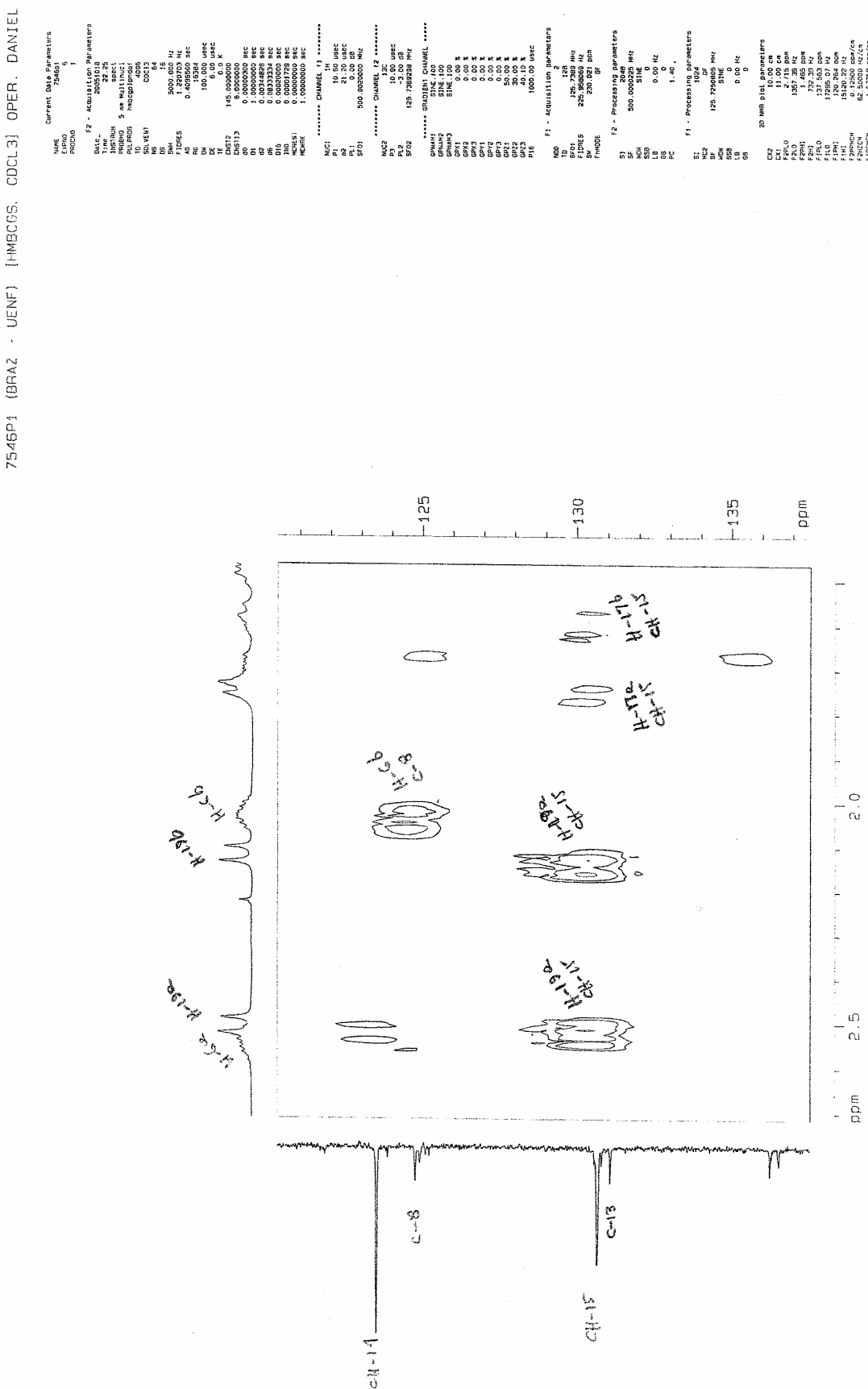
**Especro 96.** Ampliação do mapa de correlação heteronuclear HMBC em CDCl<sub>3</sub> da mistura dos alcaloides spruceanumina A e spruceanumina B.



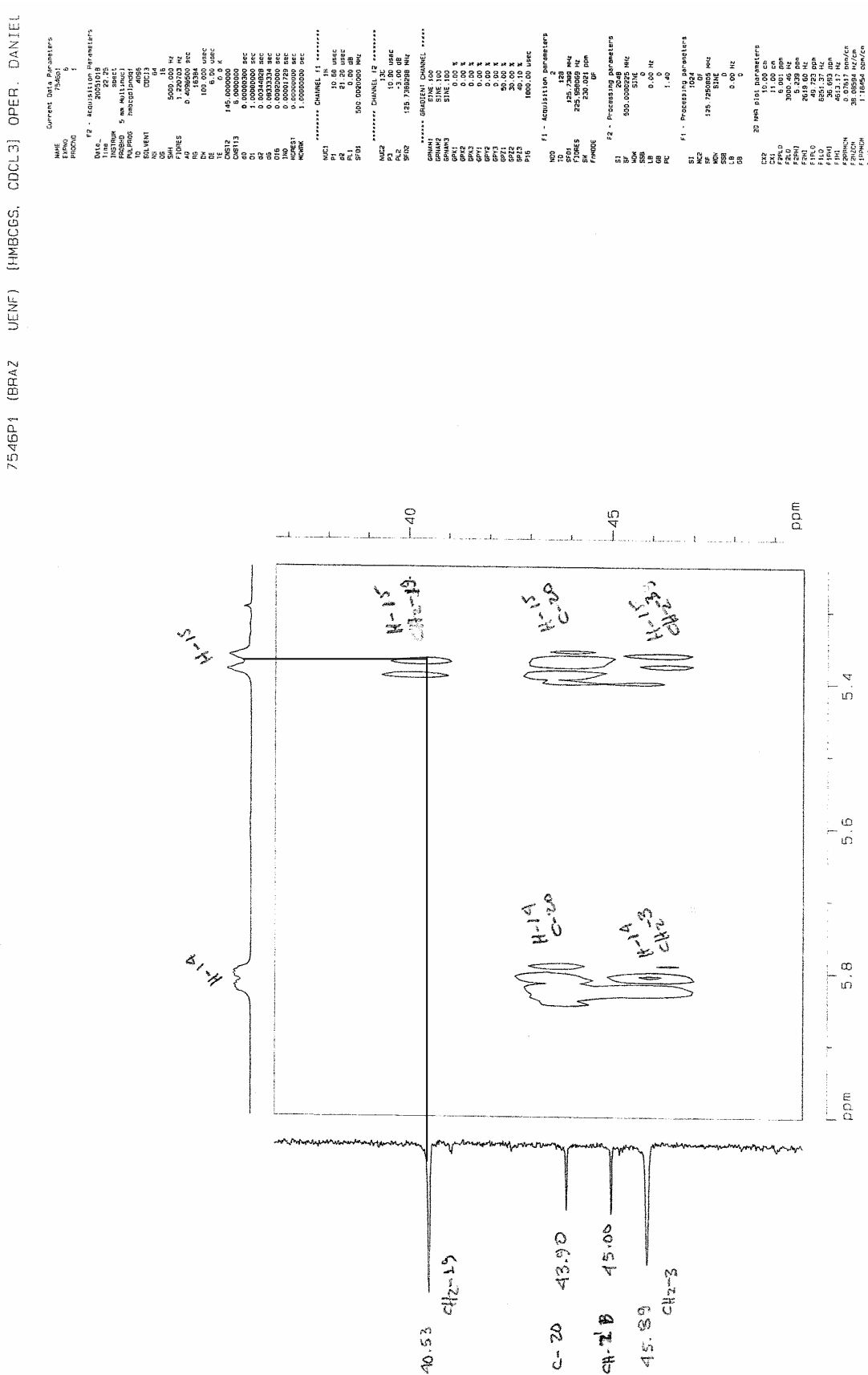
**Especro 97.** Ampliação do mapa de correlação heteronuclear HMBC em  $\text{CDCl}_3$  da mistura dos alcalóides spruceanumina A e spruceanumina B.



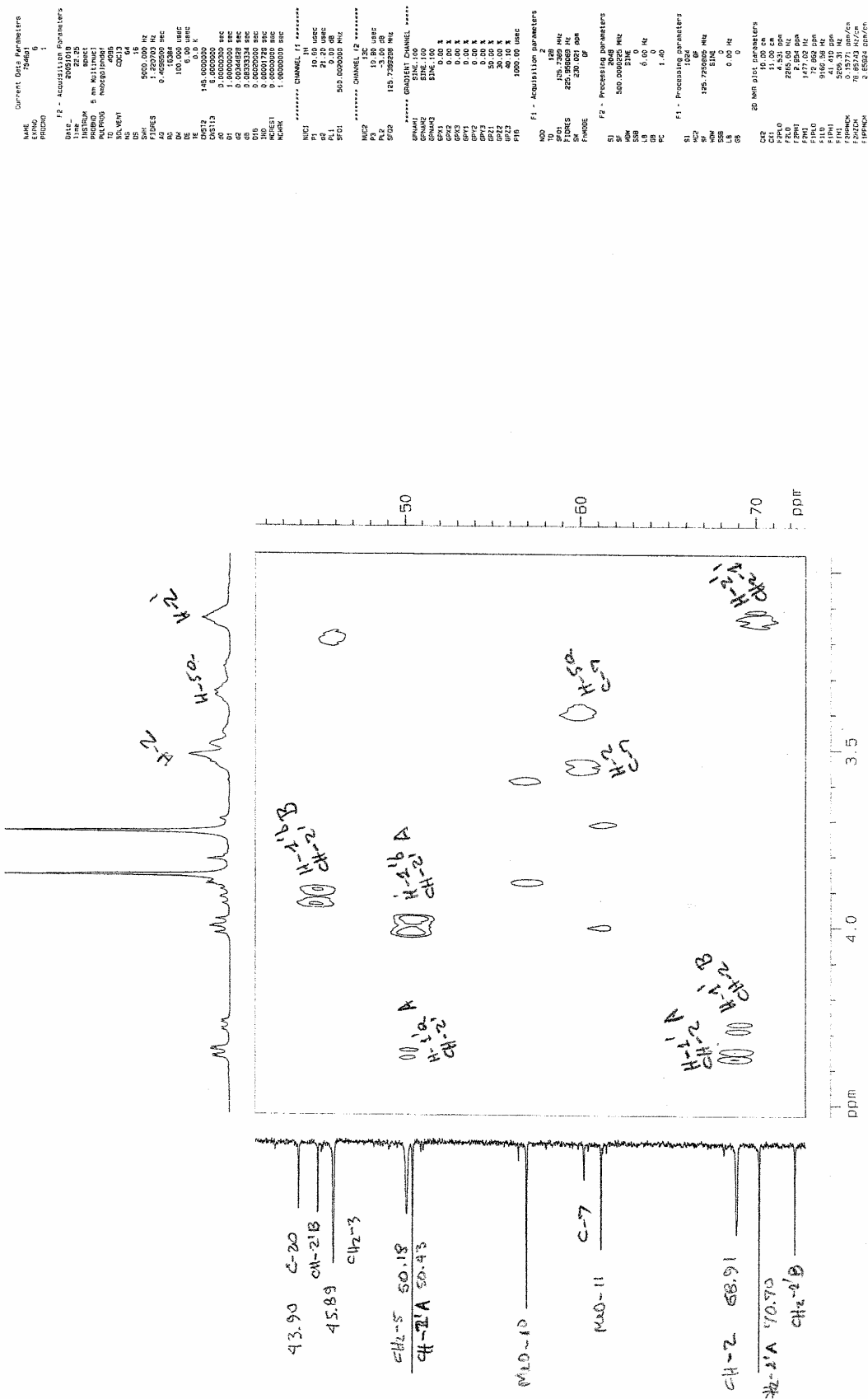
**Especro 98.** Ampliação do mapa de correlação heteronuclear HMBC em  $\text{CDCl}_3$  da mistura dos alcalóides spruceanumina A e spruceanumina B.



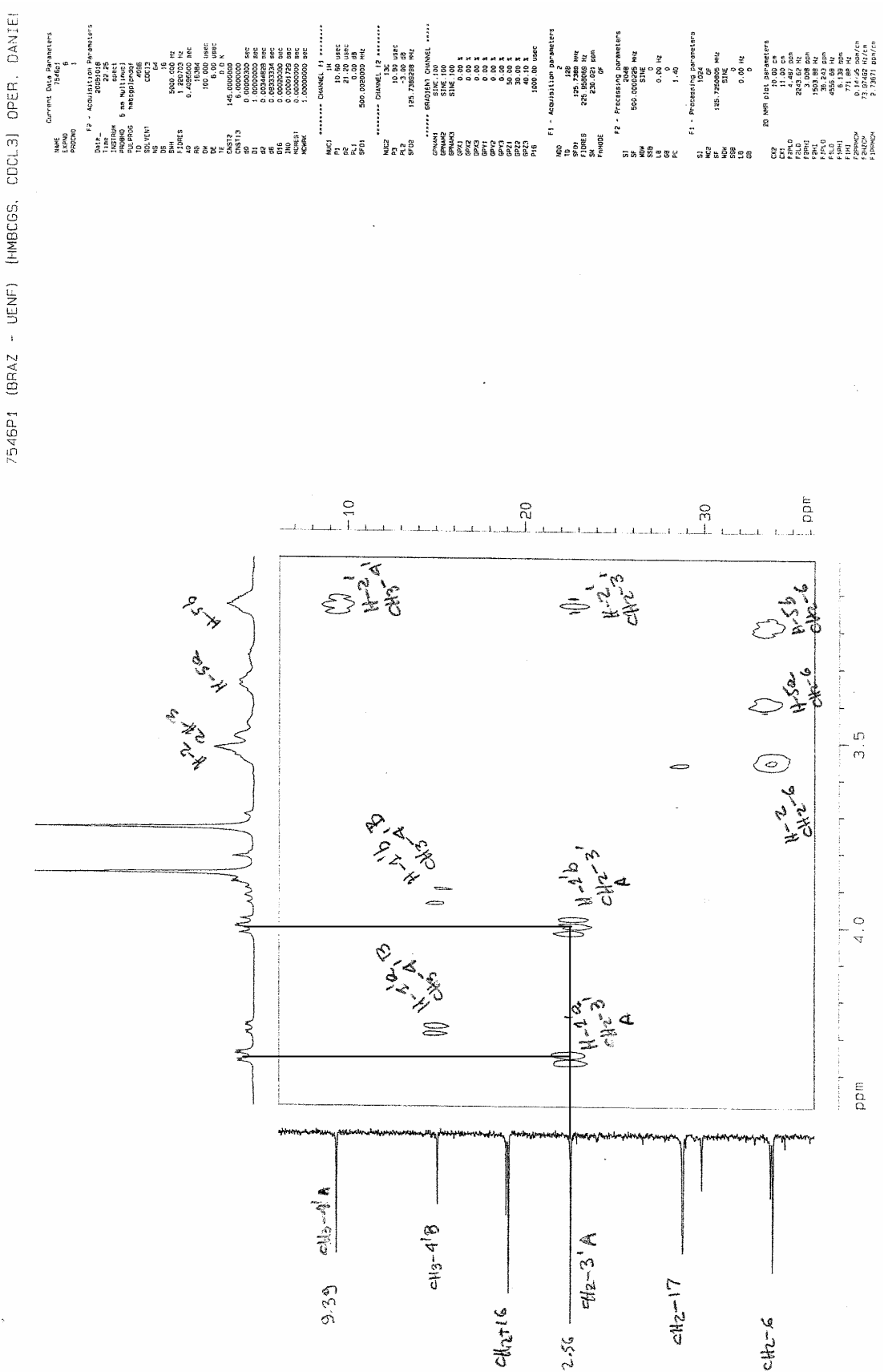
**Espectro 99.** Ampliação do mapa de correlação heteronuclear HMBC em CDCl<sub>3</sub> da mistura dos alcaloides spruceanumina A e spruceanumina B.



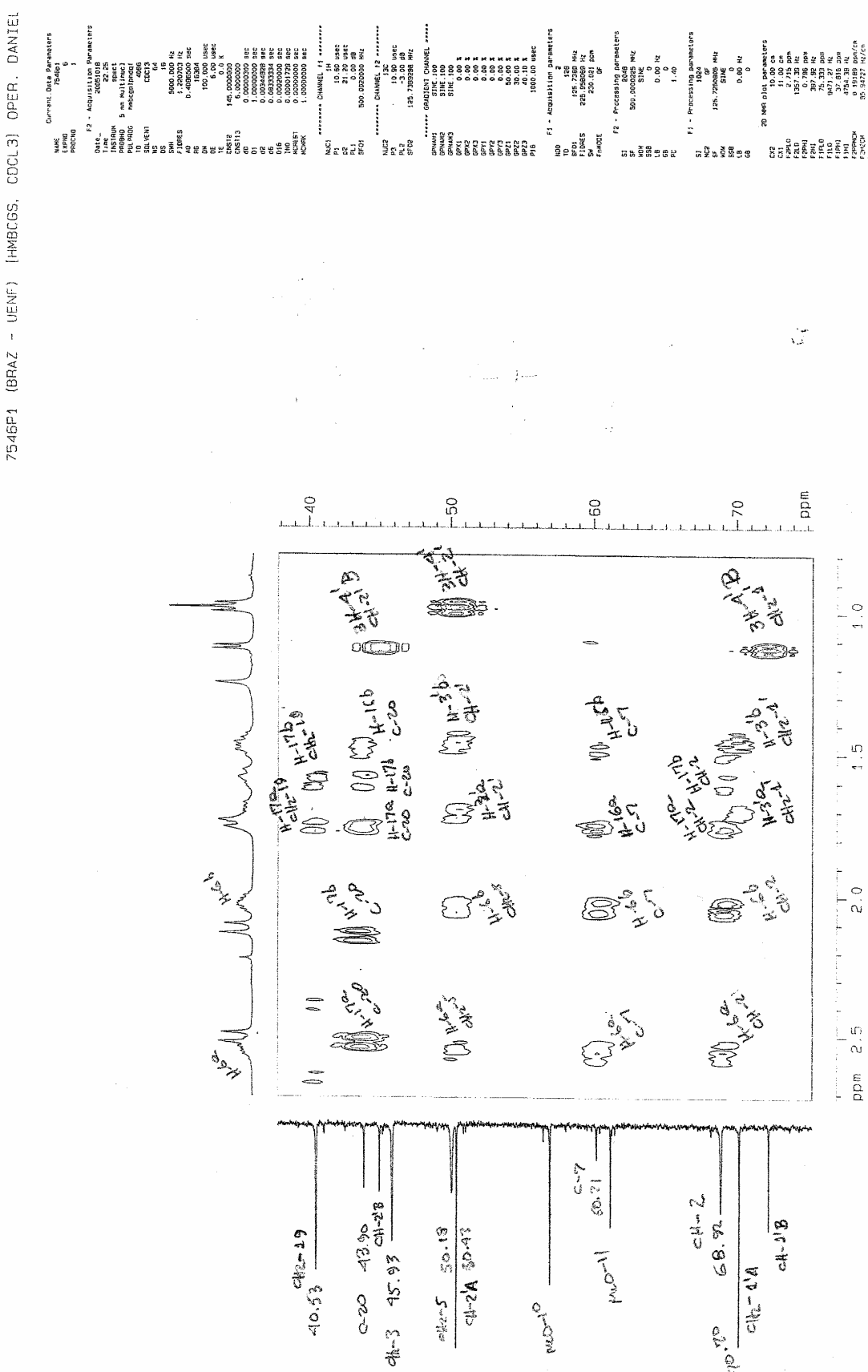
**Espectro 100.** Ampliação do mapa de correlação heteronuclear HMBC em CDCl<sub>3</sub> da mistura dos alcaloides spruceanumina A e spruceanumina B.

7546P1 (BRAZ - UENF) [HMBCGS, CDCl<sub>3</sub>] OPER. DANIEL

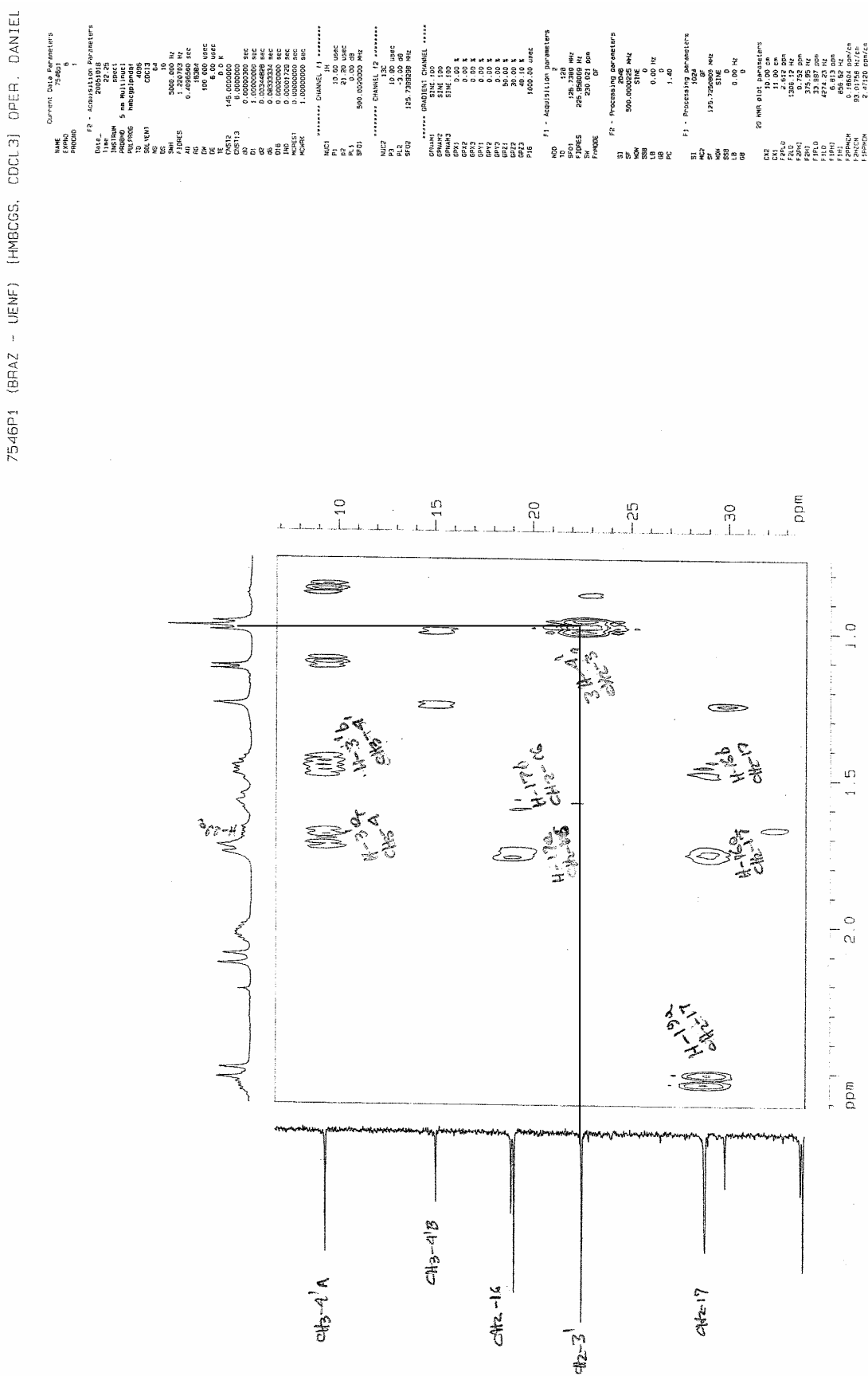
**Especro 101.** Ampliação do mapa de correlação heteronuclear HMBC em CDCl<sub>3</sub> da mistura dos alcaloides spruceanumina A e spruceanumina B.



**Espectro 102.** Ampliação do mapa de correlação heteronuclear HMBC em CDCl<sub>3</sub> da mistura dos alcaloides spruceanumina A e spruceanumina B.



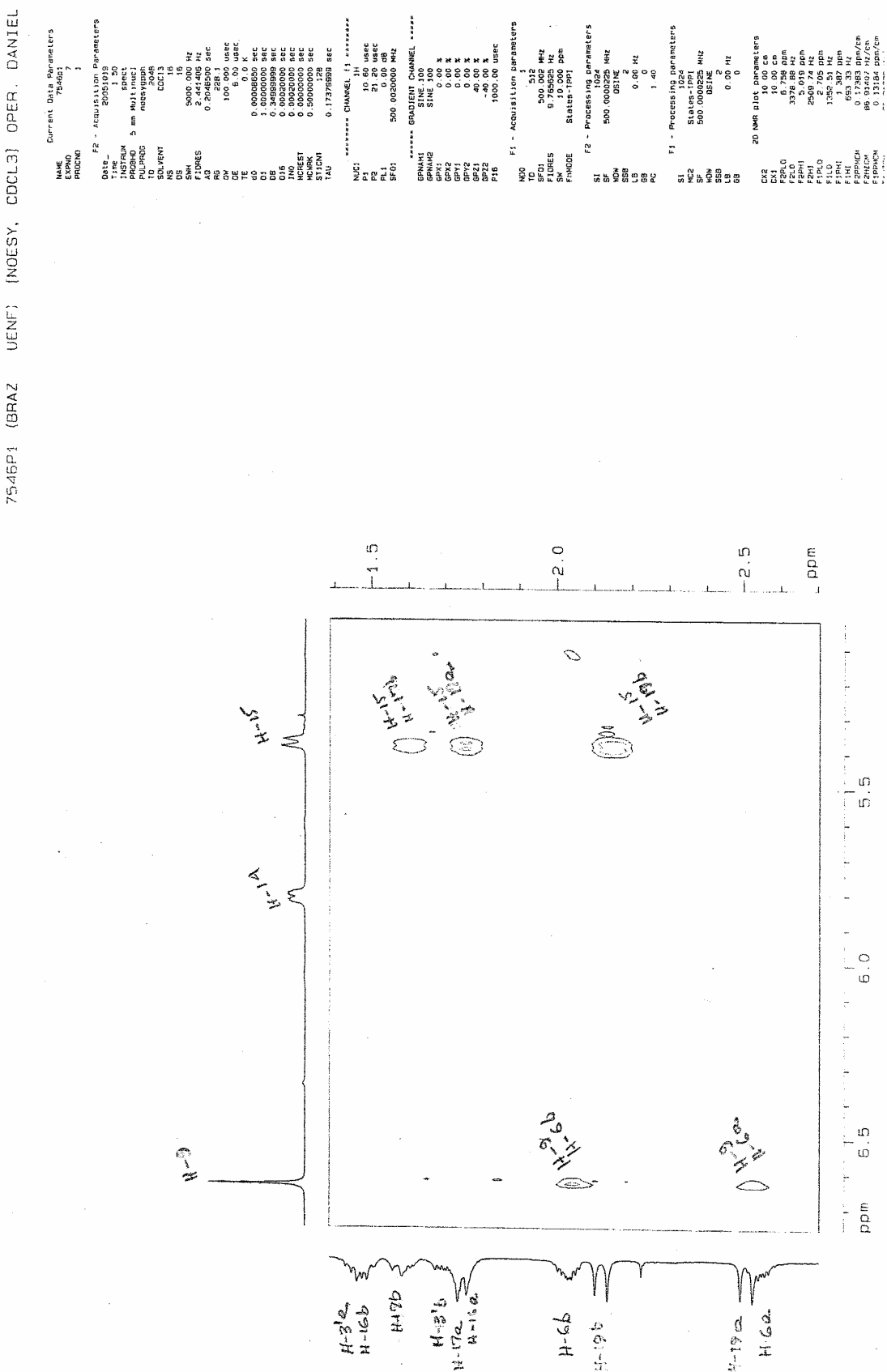
**Espectro 103.** Ampliação do mapa de correlação heteronuclear HMBC em CDCl<sub>3</sub> da mistura dos alcaloides spruceanumina A e spruceanumina B.



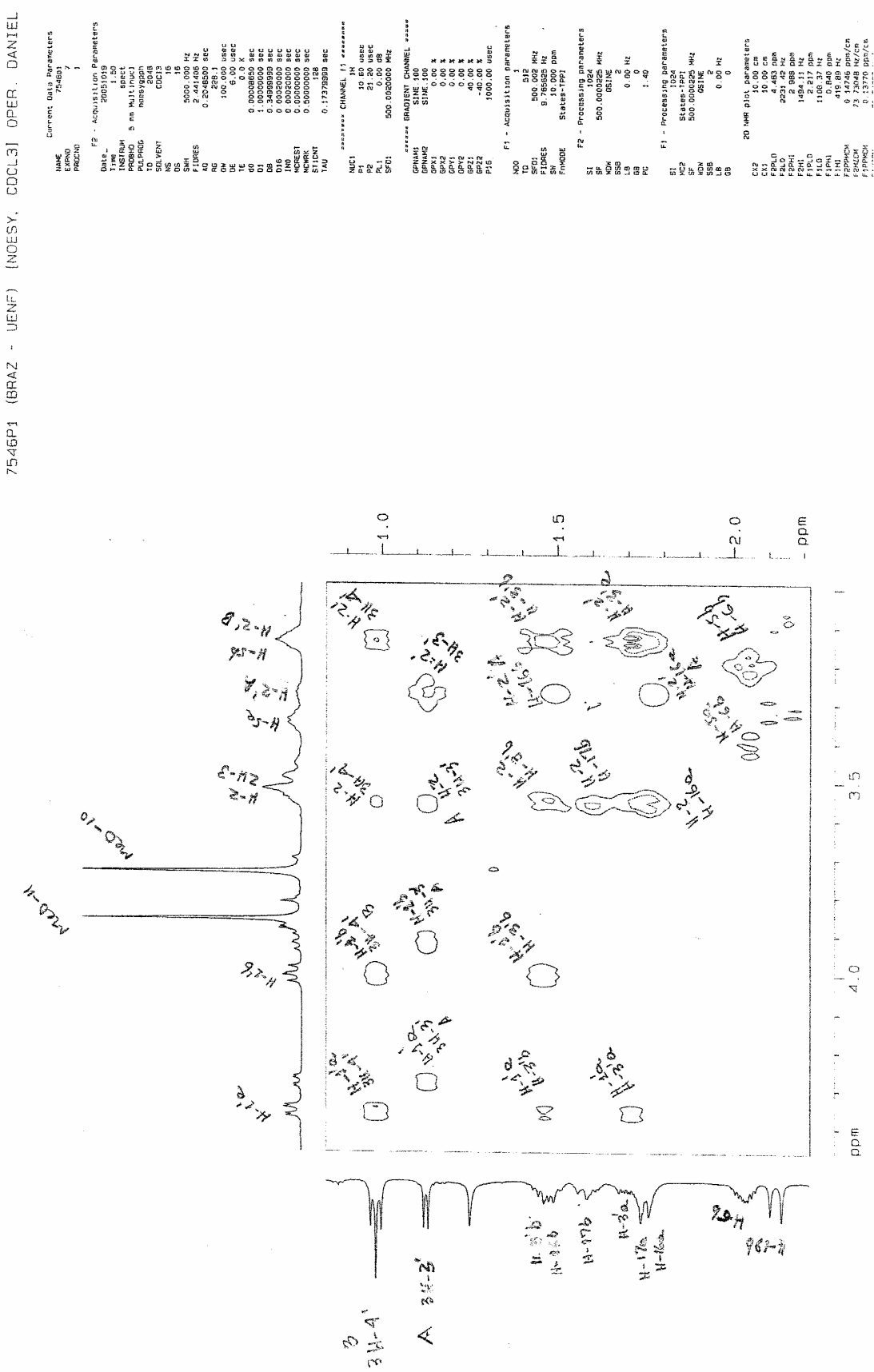
**Especro 104.** Ampliação do mapa de correlação heteronuclear HMBC em CDCl<sub>3</sub> da mistura dos alcaloides spruceanumina A e spruceanumina B.



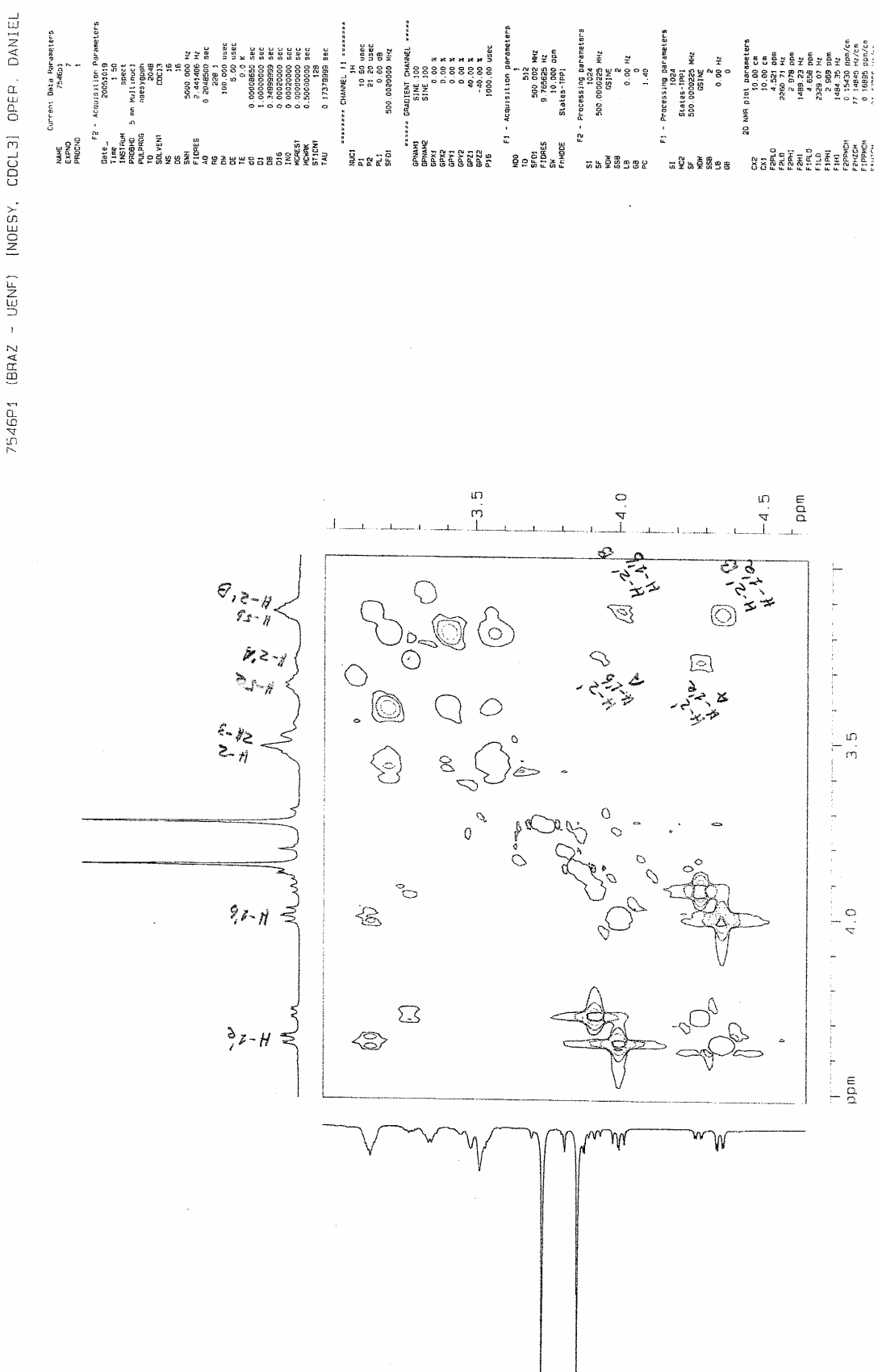
**Especro 105.** Mapa de correlação homonuclear  $^1\text{H}$ - $^1\text{H}$ -NOESY em  $\text{CDCl}_3$  da mistura dos alcalóides spruceanumina A e spruceanumina B.



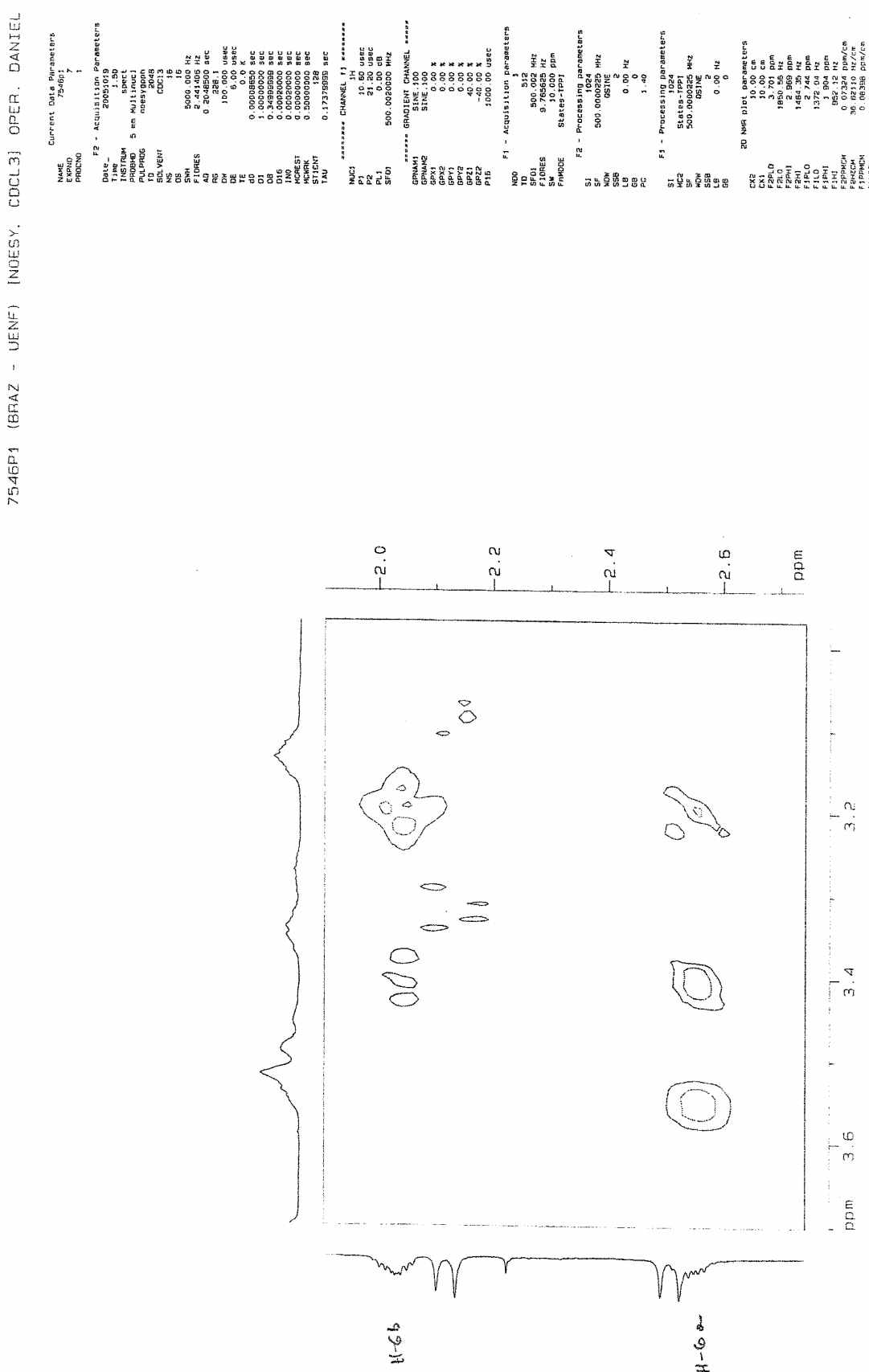
**Especro 106.** Ampliação do mapa de correlação homonuclear <sup>1</sup>H-<sup>1</sup>H NOESY em CDCl<sub>3</sub> da mistura dos alcaloides spruceanumina A e spruceanumina B.



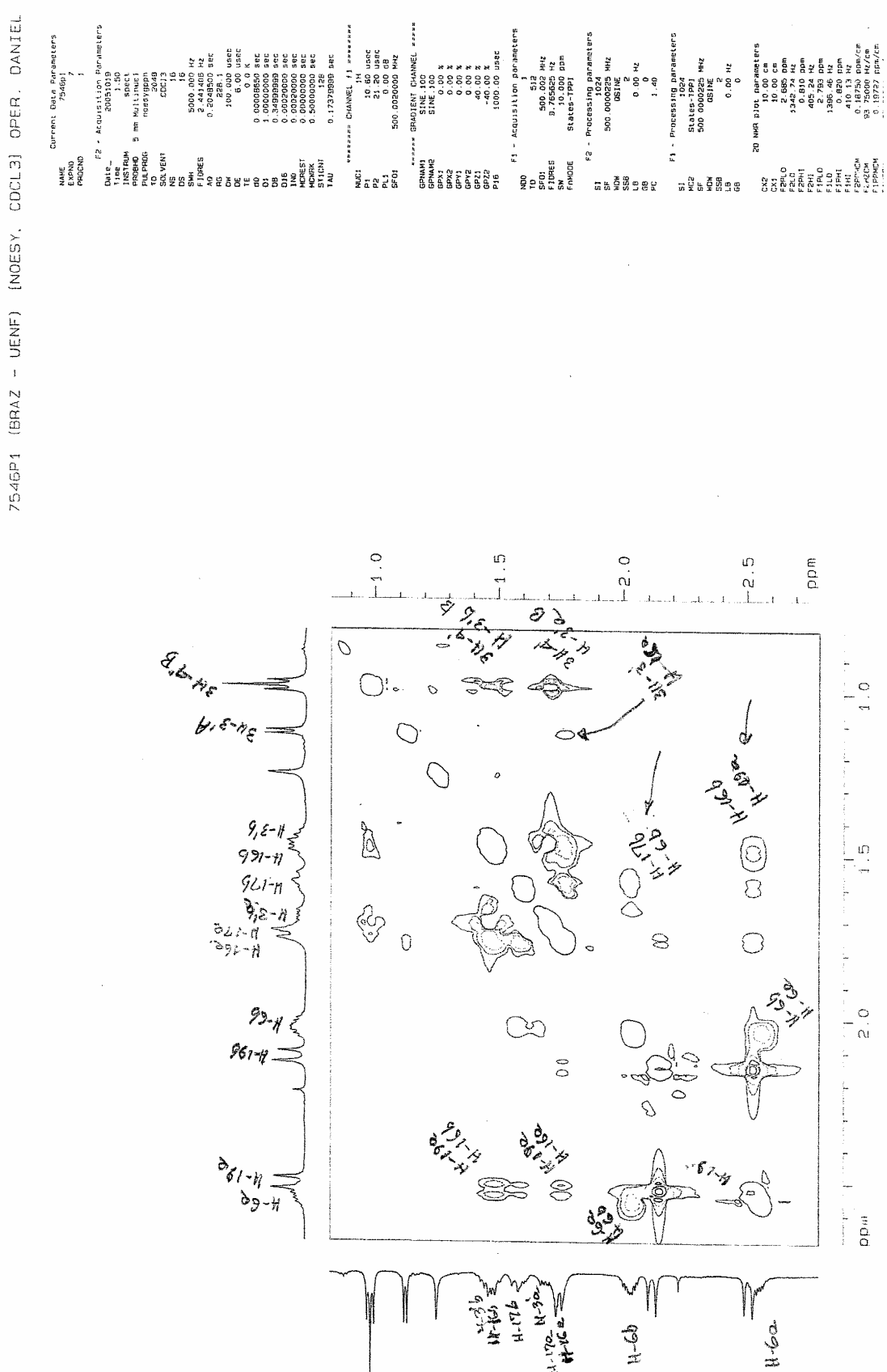
**Especro 107.** Ampliação do mapa de correlação homonuclear  $^1\text{H}$ - $^1\text{H}$ -NOESY em  $\text{CDCl}_3$  da mistura dos alcaloides spruceanumina A e spruceanumina B.



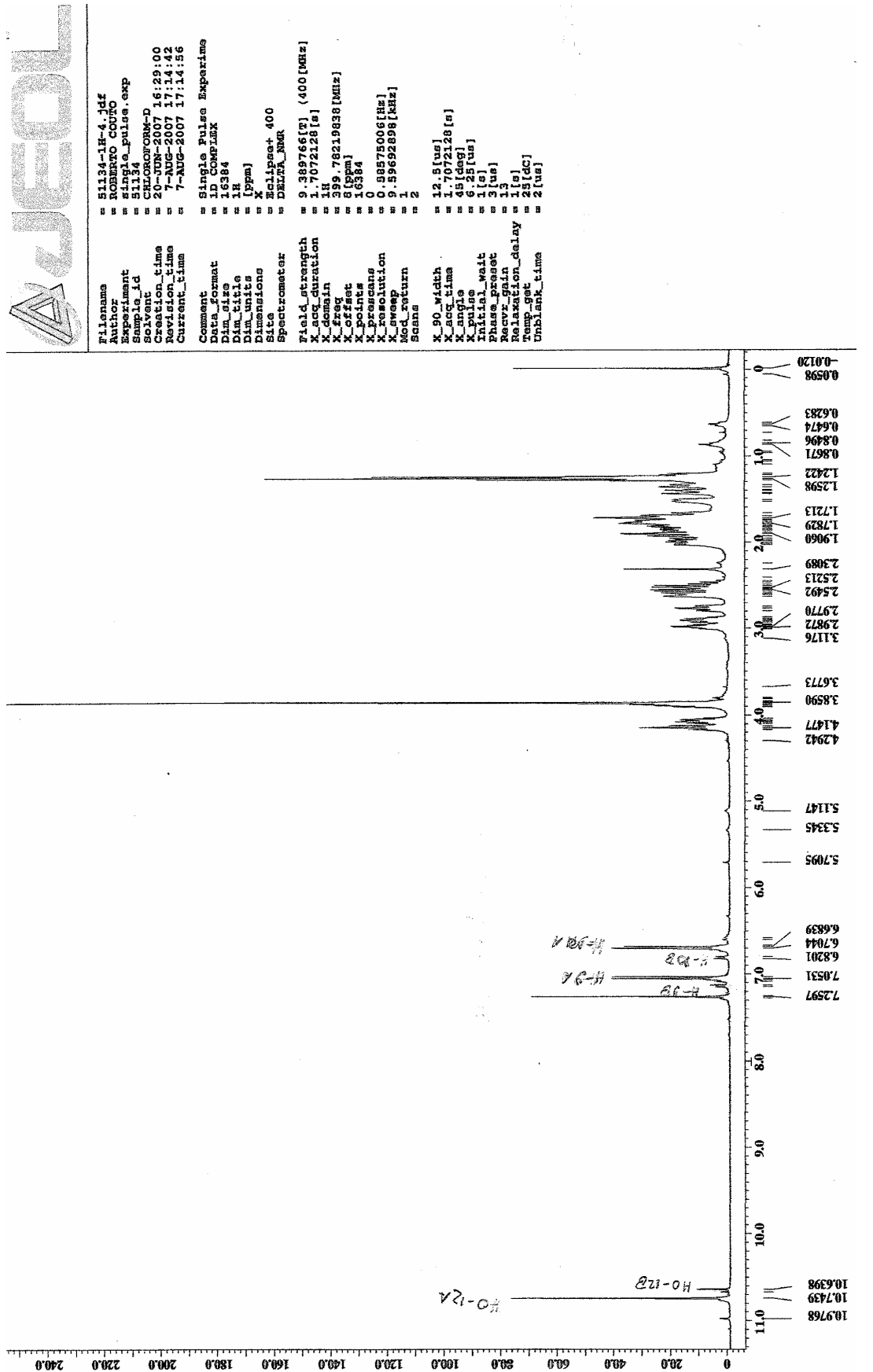
**Especro 108.** Ampliação do mapa de correlação homonuclear <sup>1</sup>H-<sup>1</sup>H-NOESY em CDCl<sub>3</sub> da mistura dos alcaloides spruceanumina A e spruceanumina B.

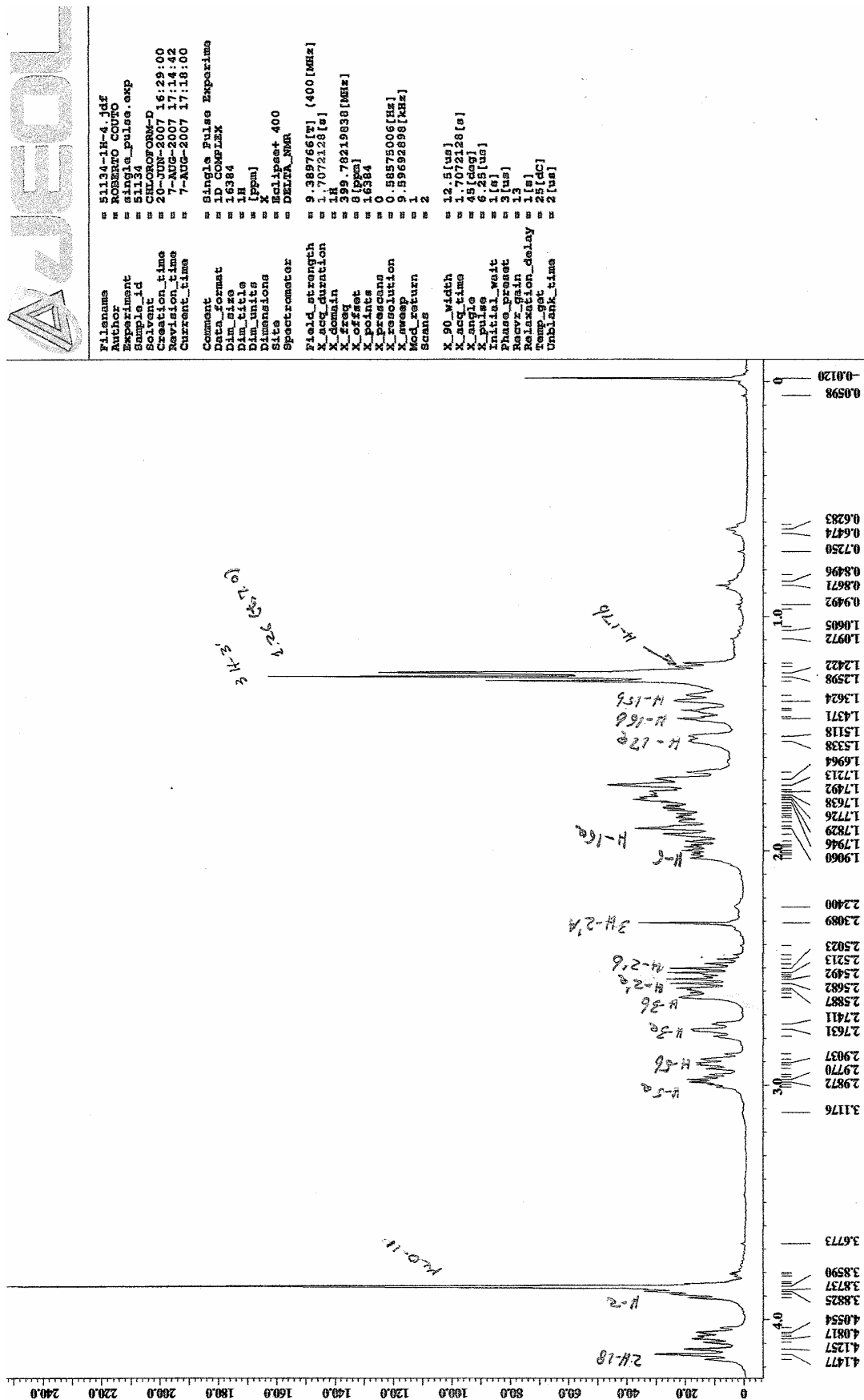


**Especro 109.** Ampliação do mapa de correlação homonuclear <sup>1</sup>H-<sup>1</sup>H-NOESY em CDCl<sub>3</sub> da mistura dos alcaloides spruceanumina A e spruceanumina B.

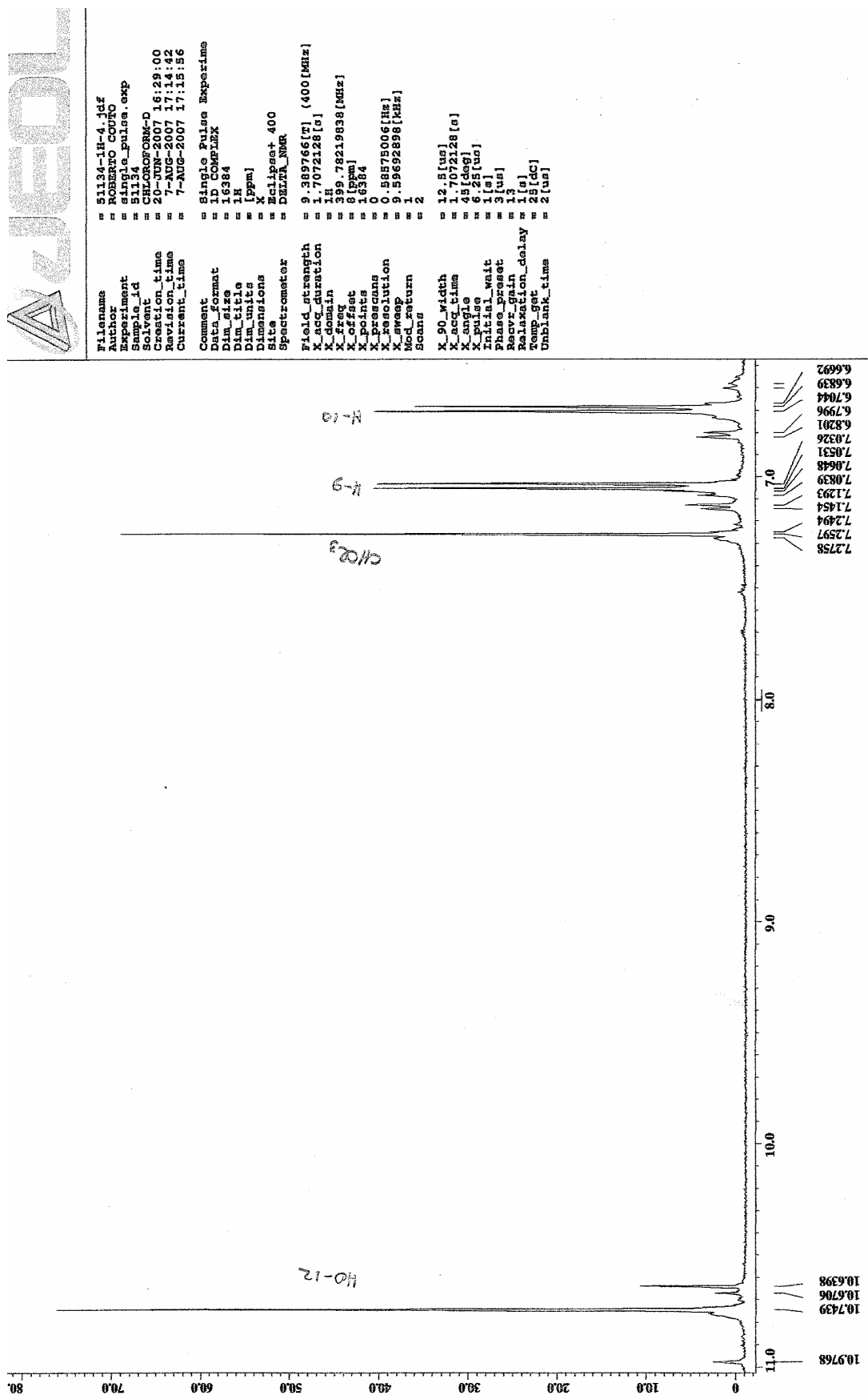


**Espectro 110.** Ampliação do mapa de correlação homonuclear <sup>1</sup>H-<sup>1</sup>H-NOESY em CDCl<sub>3</sub> da mistura dos alcaloides spruceanumina A e spruceanumina B.

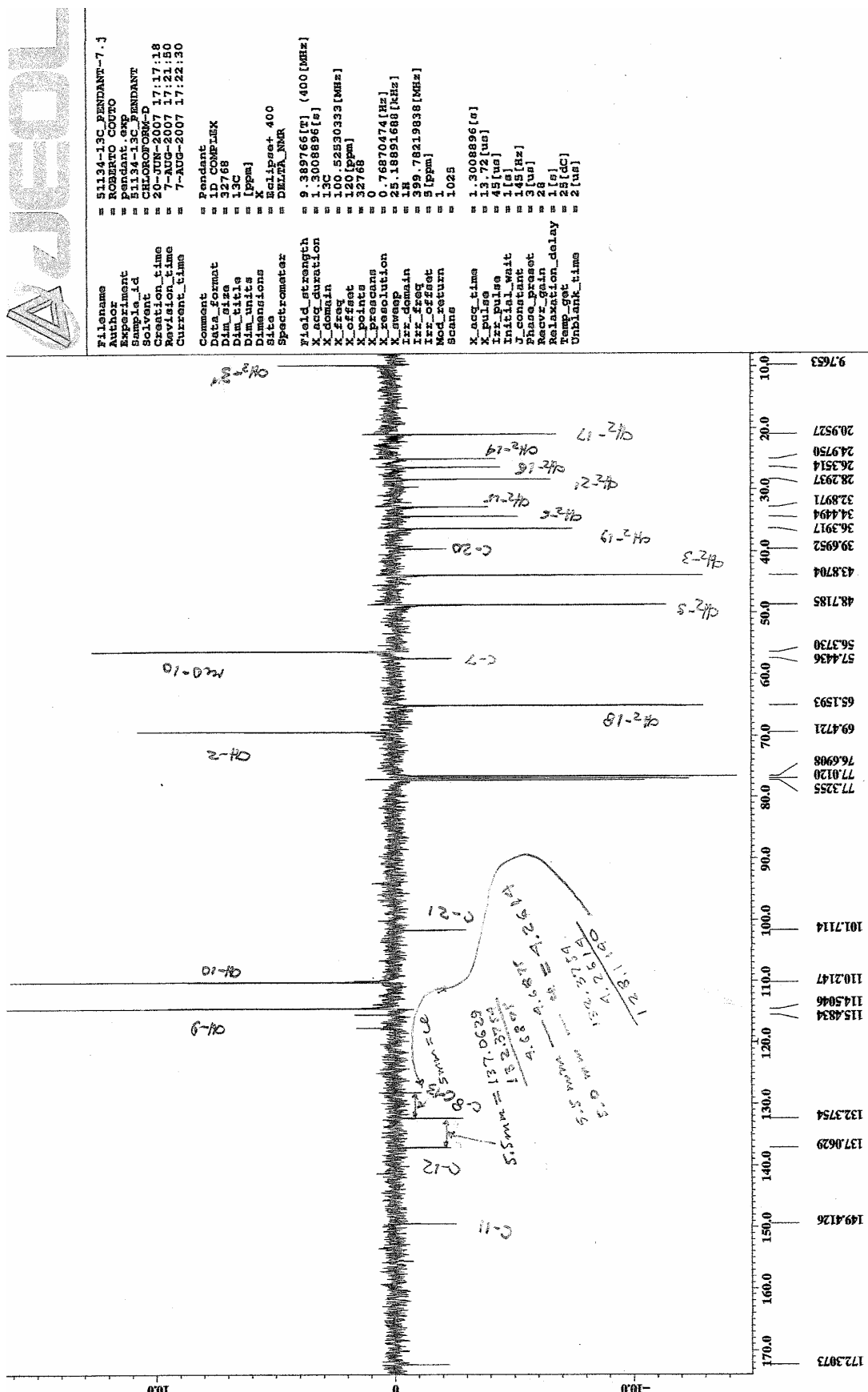


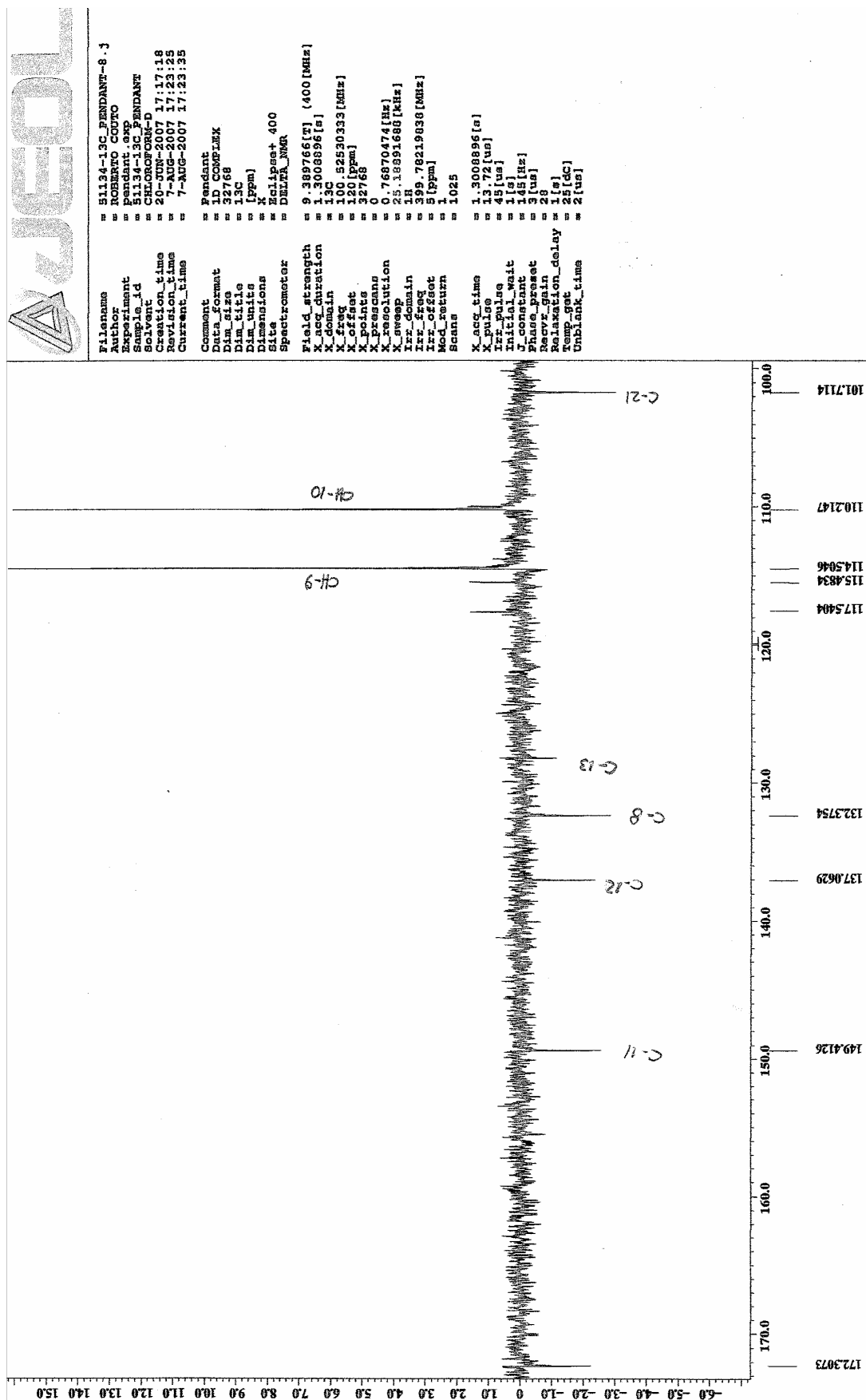


**Espectro 112.** Ampliação da região  $\delta_{\text{H}}$  0,1-4,2 do espectro de RMN  $^1\text{H}$  (400 MHz) em  $\text{CDCl}_3$  da mistura dos alcaloides (-)-aspidolimidina e (-)-fendlerina.

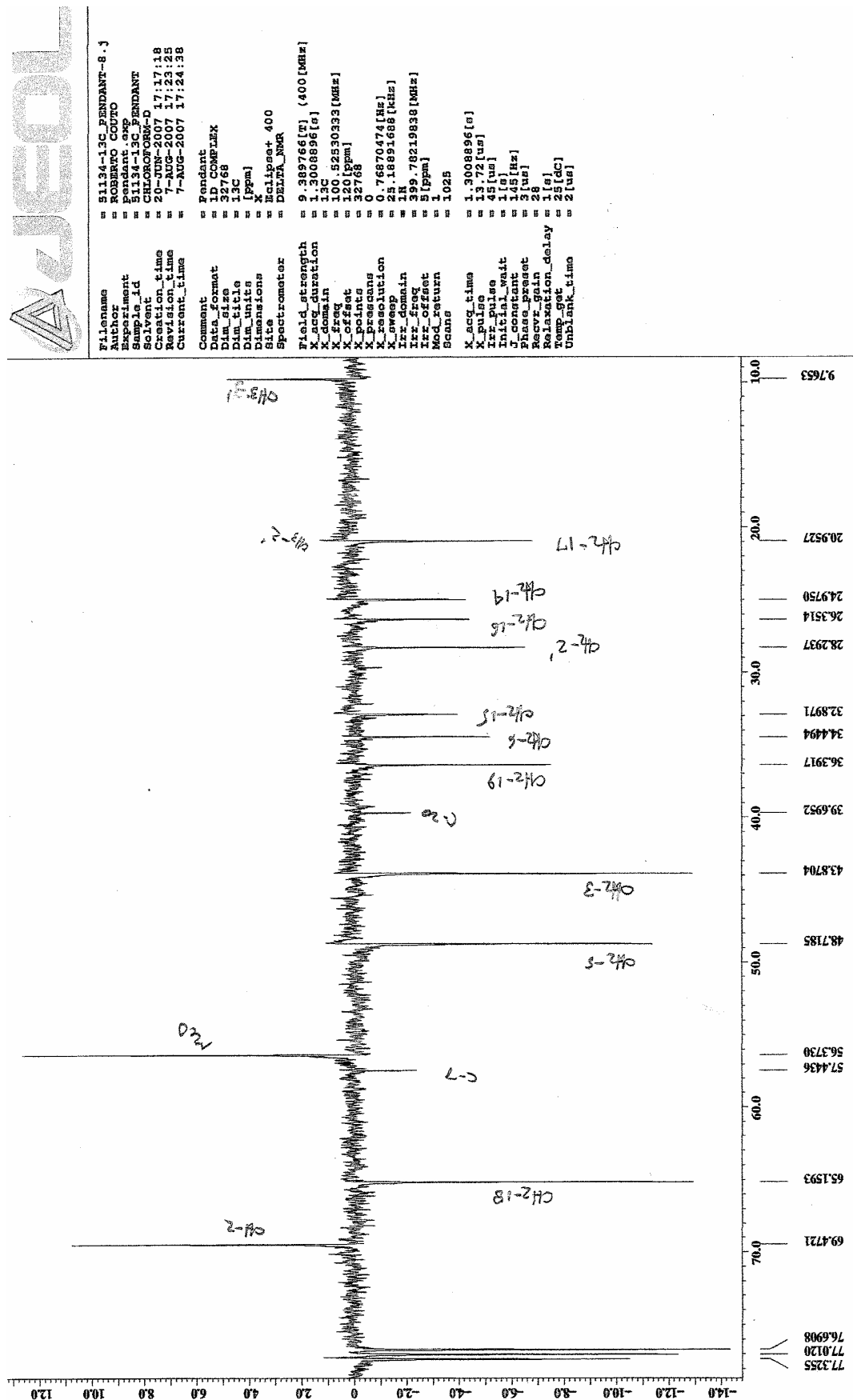


**Espectro 113.** Ampliação da região  $\delta_{\text{H}}$  6,6-10,9 do espectro de RMN  $^1\text{H}$  (400 MHz) em  $\text{CDCl}_3$  da mistura dos alcaloides (-)-aspidolimidina e (-)-fandlerina.

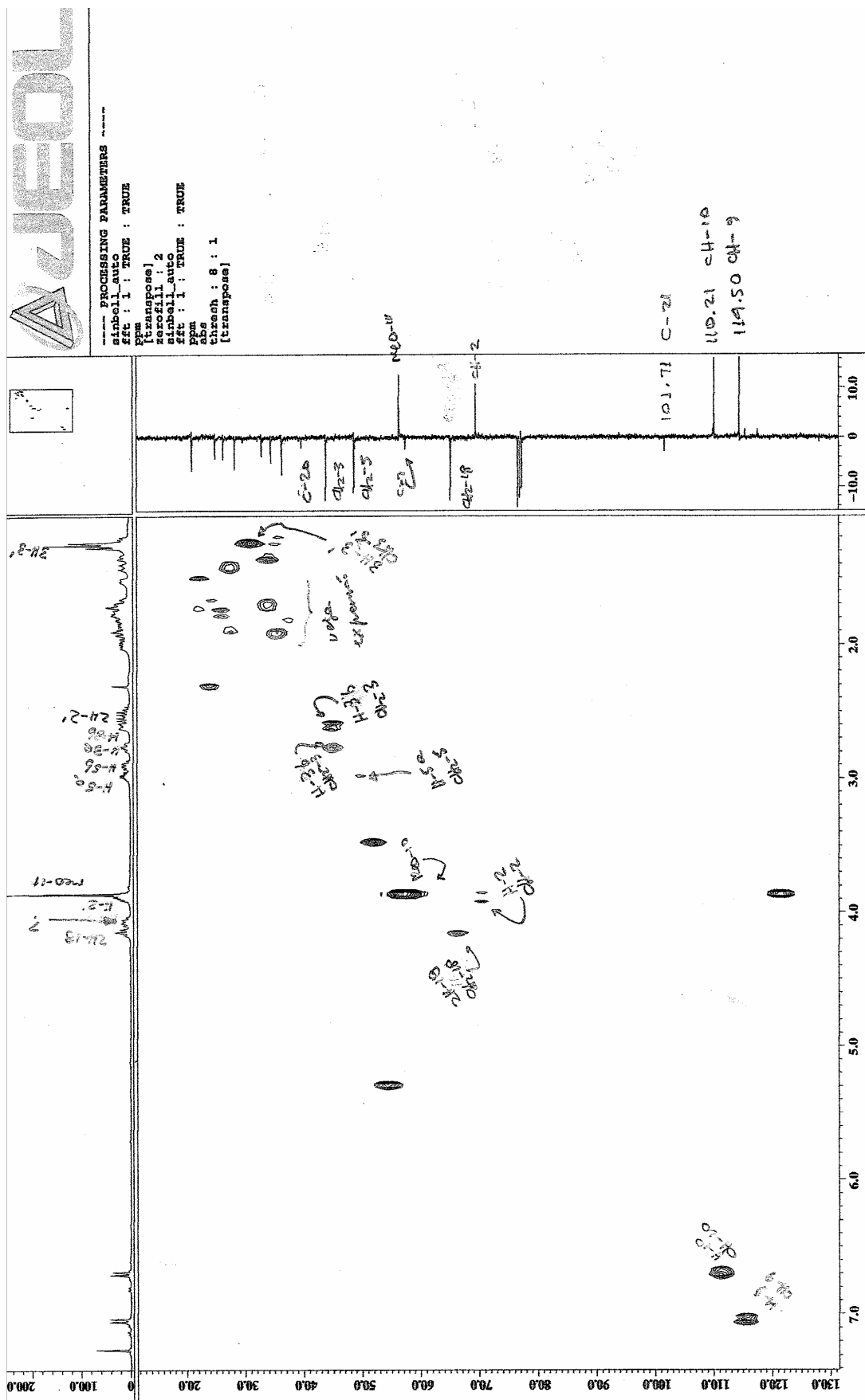




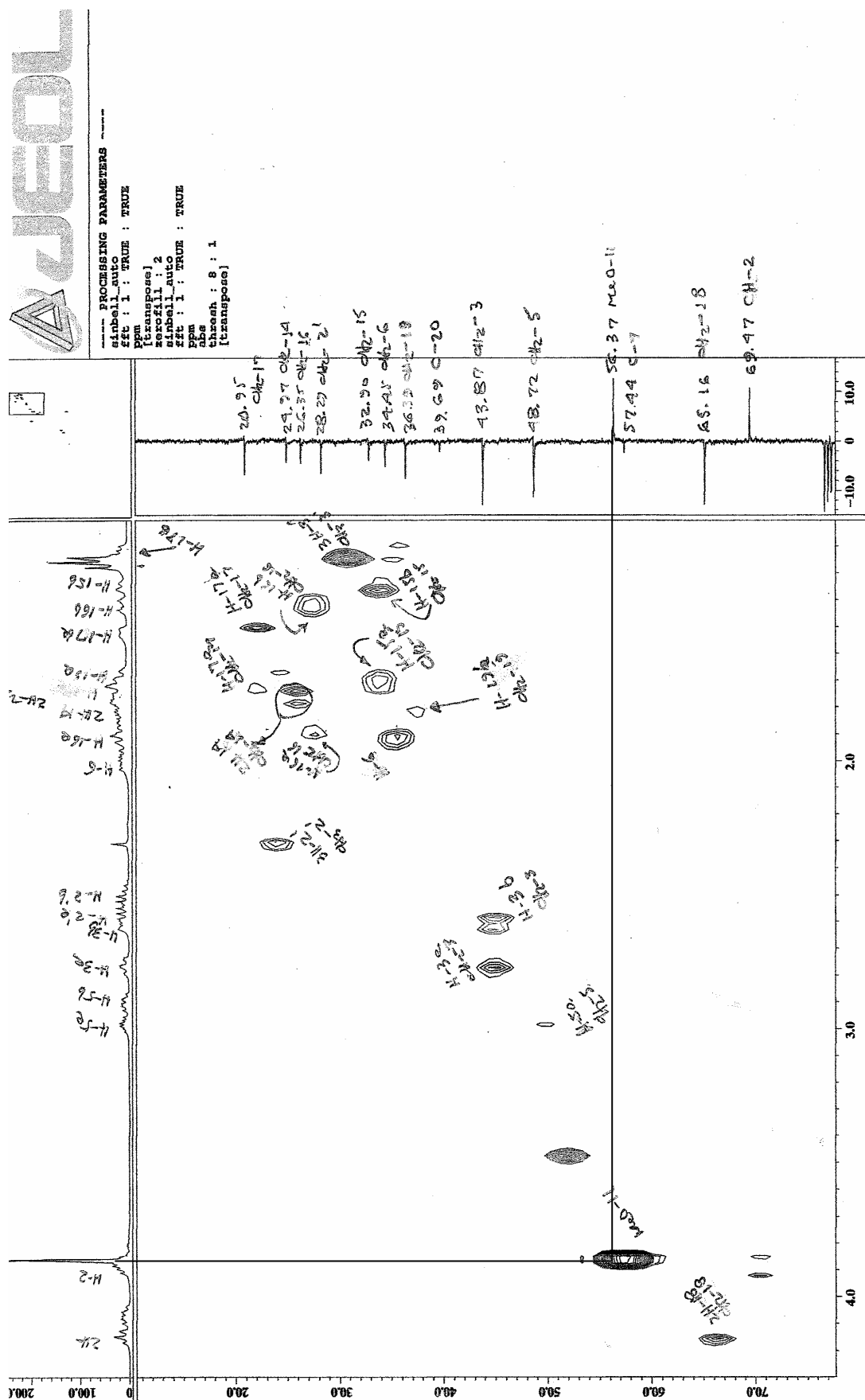
**Espectro 115.** Ampliação da região  $\delta_c$  100-172 do espectro de RMN  $^{13}\text{C}$  (100 MHz-PENDANTE) em  $\text{CDCl}_3$  da mistura dos alcaloides (-)-aspidolimidina e (-)-fendlerina.

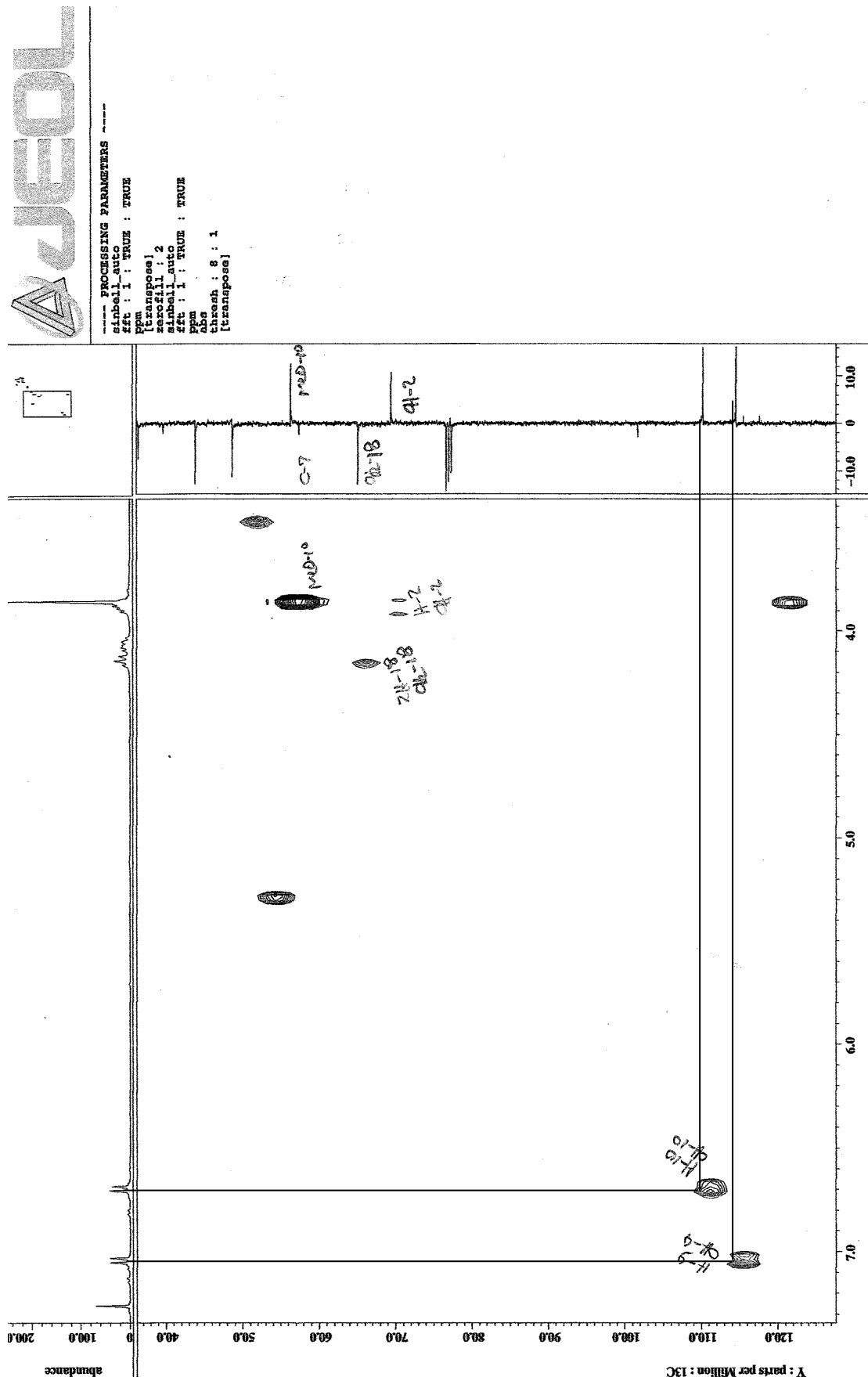


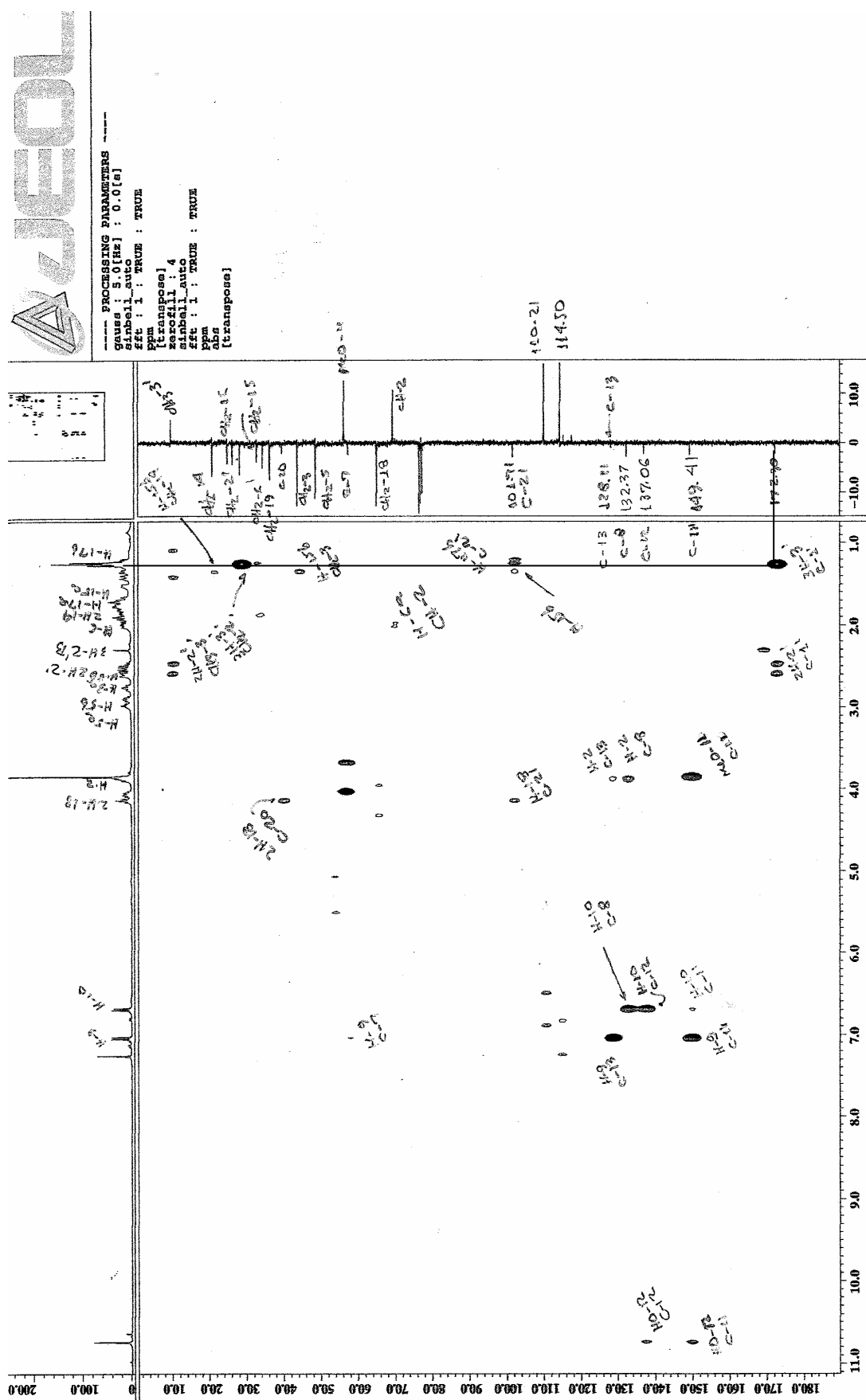
**Espectro 116.** Ampliação da região  $\delta_c$  10-77 do espectro de RMN  $^{13}\text{C}$  (100 MHz-PENDANTE) em  $\text{CDCl}_3$  da mistura dos alcaloides (-)-aspidolimidina e (-)-fendlerina.



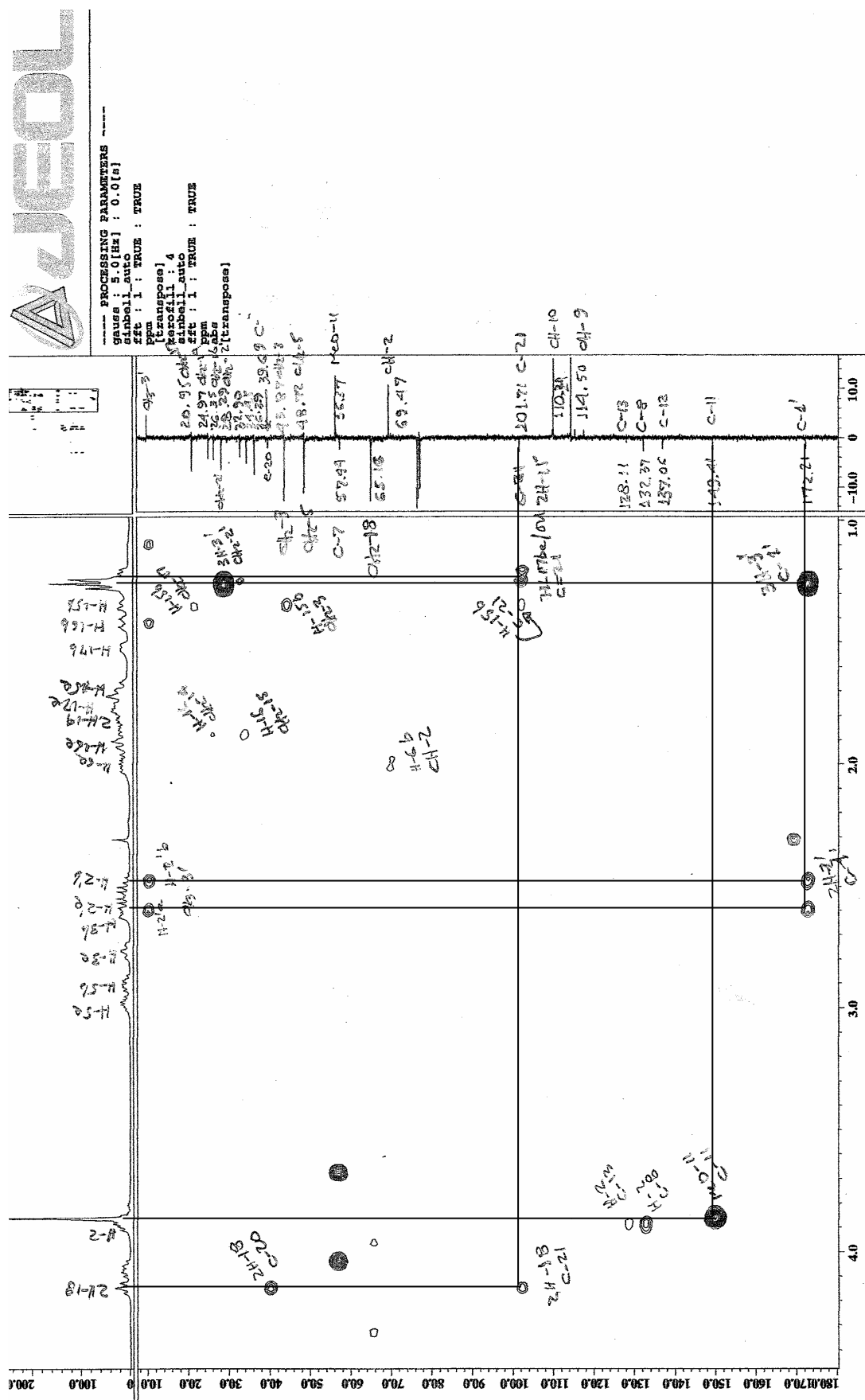
**Espectro 117.** Mapa de correlação heteronuclear HMQC em  $\text{CDCl}_3$  da mistura dos alcaloides (-)-aspicolidimídia e (-)-fendlerina.



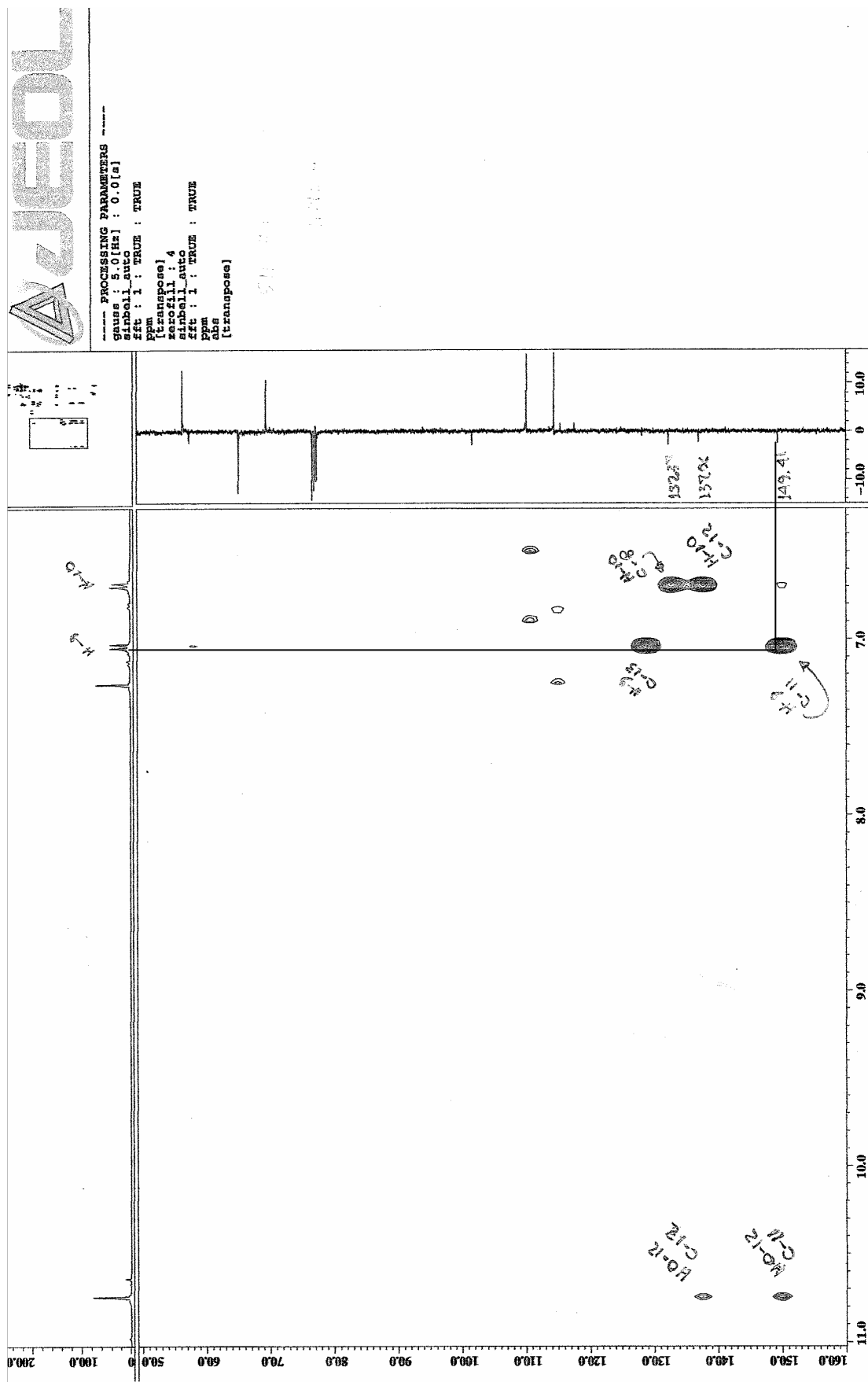




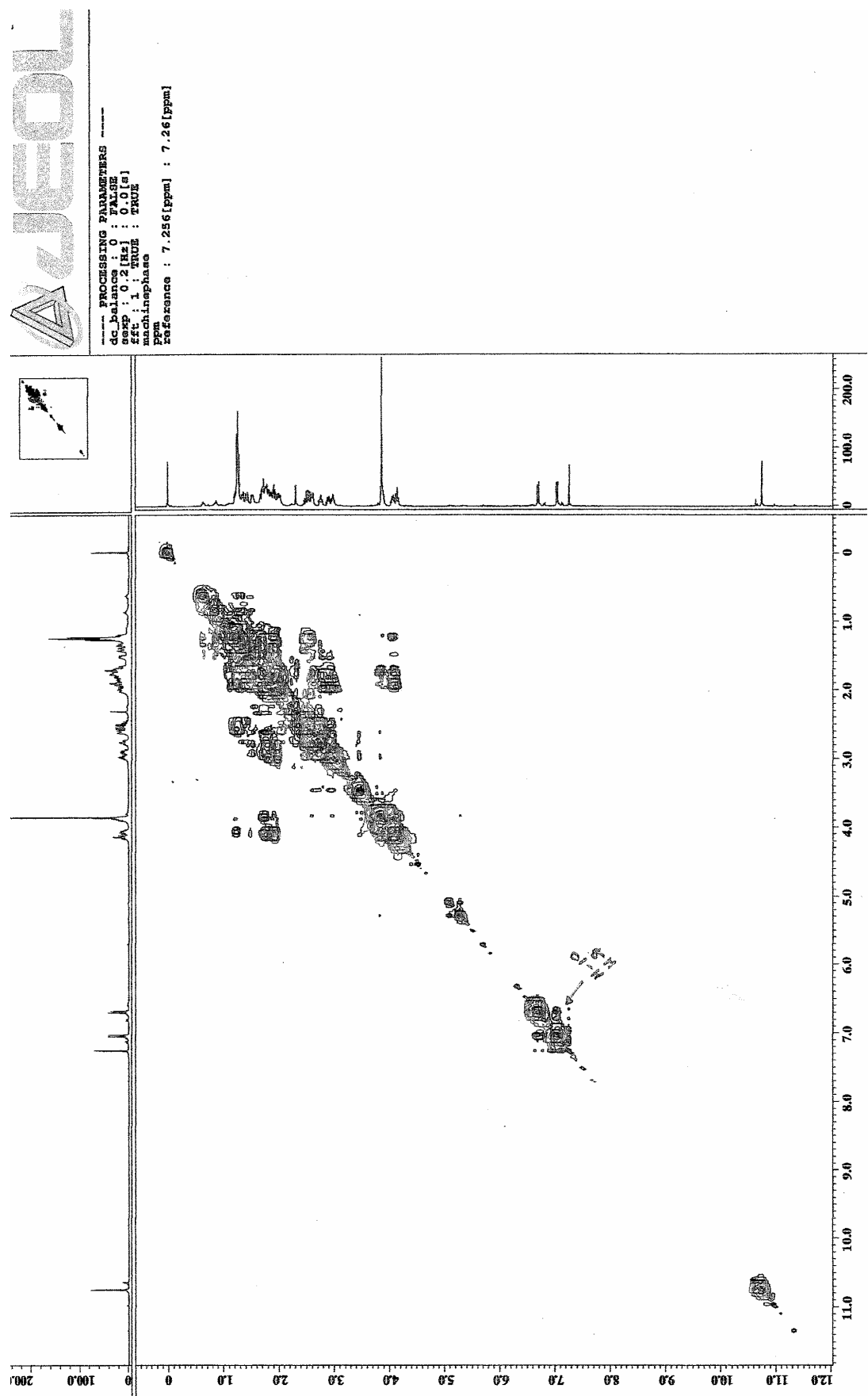
**Espectro 120.** Mapa de correlação heteronuclear HMBC em  $\text{CDCl}_3$  da mistura dos alcaloides (*-*)-aspicolidimida e (*-*)-fendllerina.



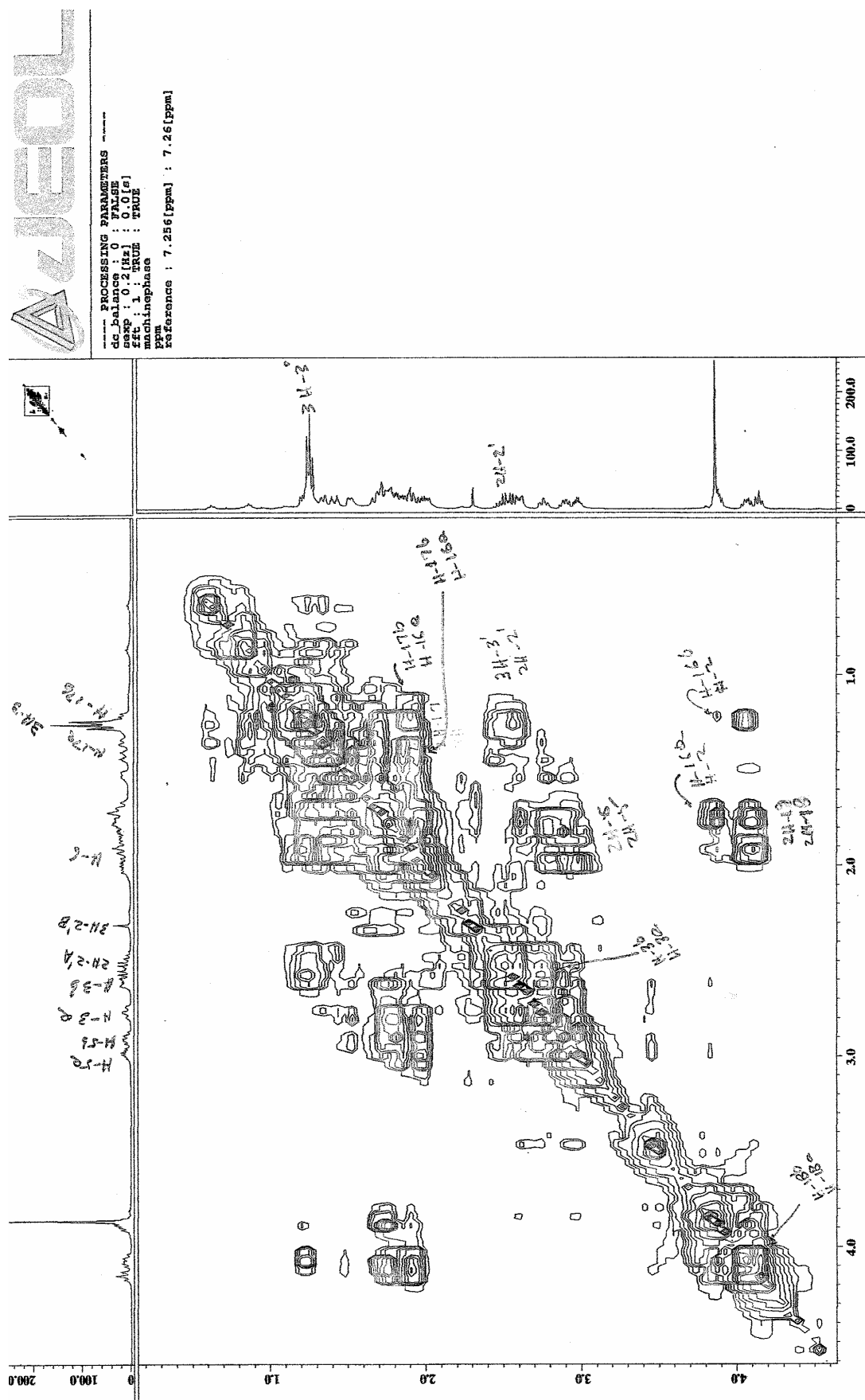
**Espectro 121.** Ampliação do mapa de correlação heteronuclear HMBC em  $\text{CDCl}_3$  da mistura dos alcalóides (-)-aspidolimidina e (-)-fandlerina.



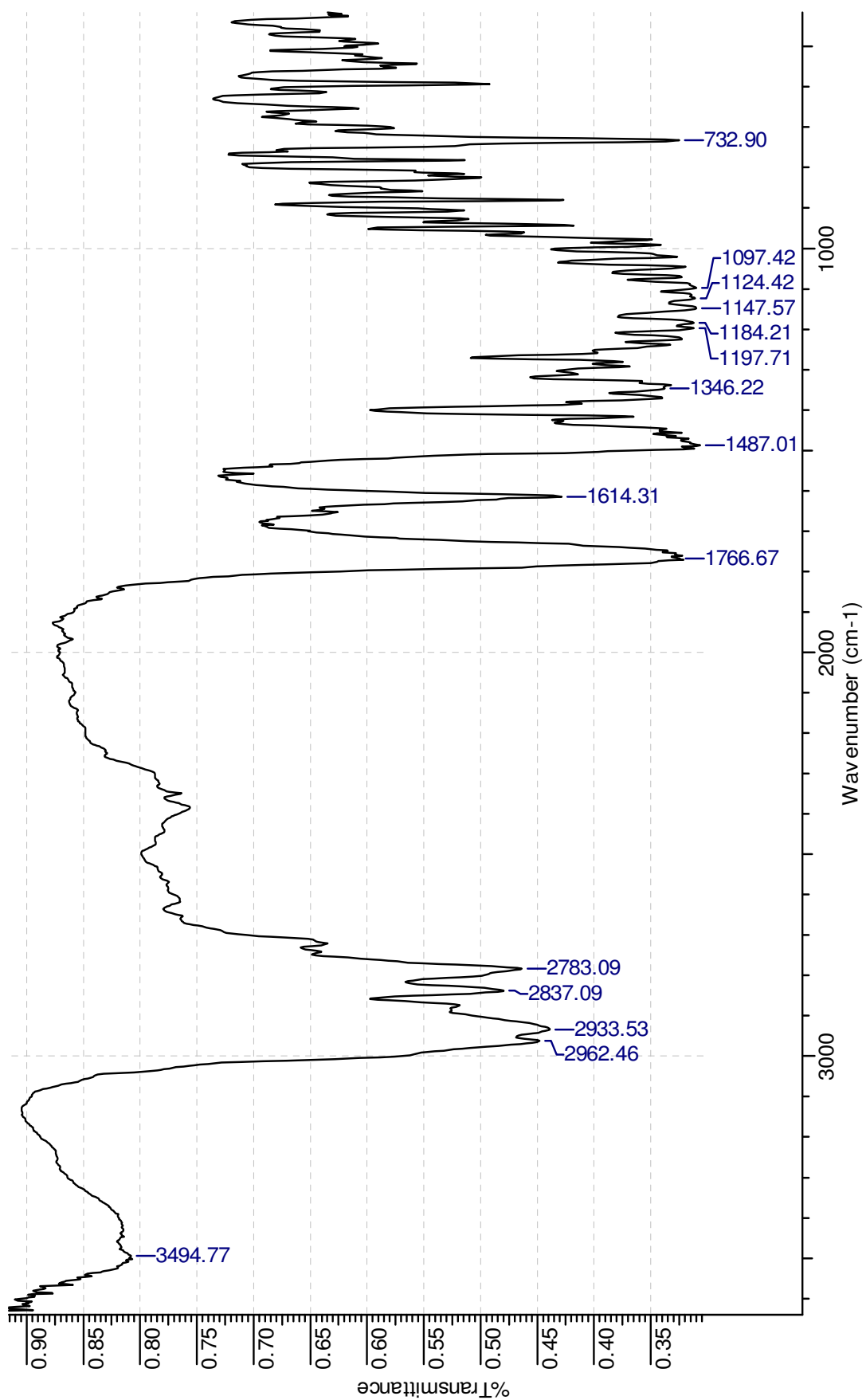
**Espectro 122.** Ampliação do mapa de correlação heteronuclear HMBC em  $\text{CDCl}_3$  da mistura dos alcalóides (-)-aspidolimídina e (-)-fendlerina.



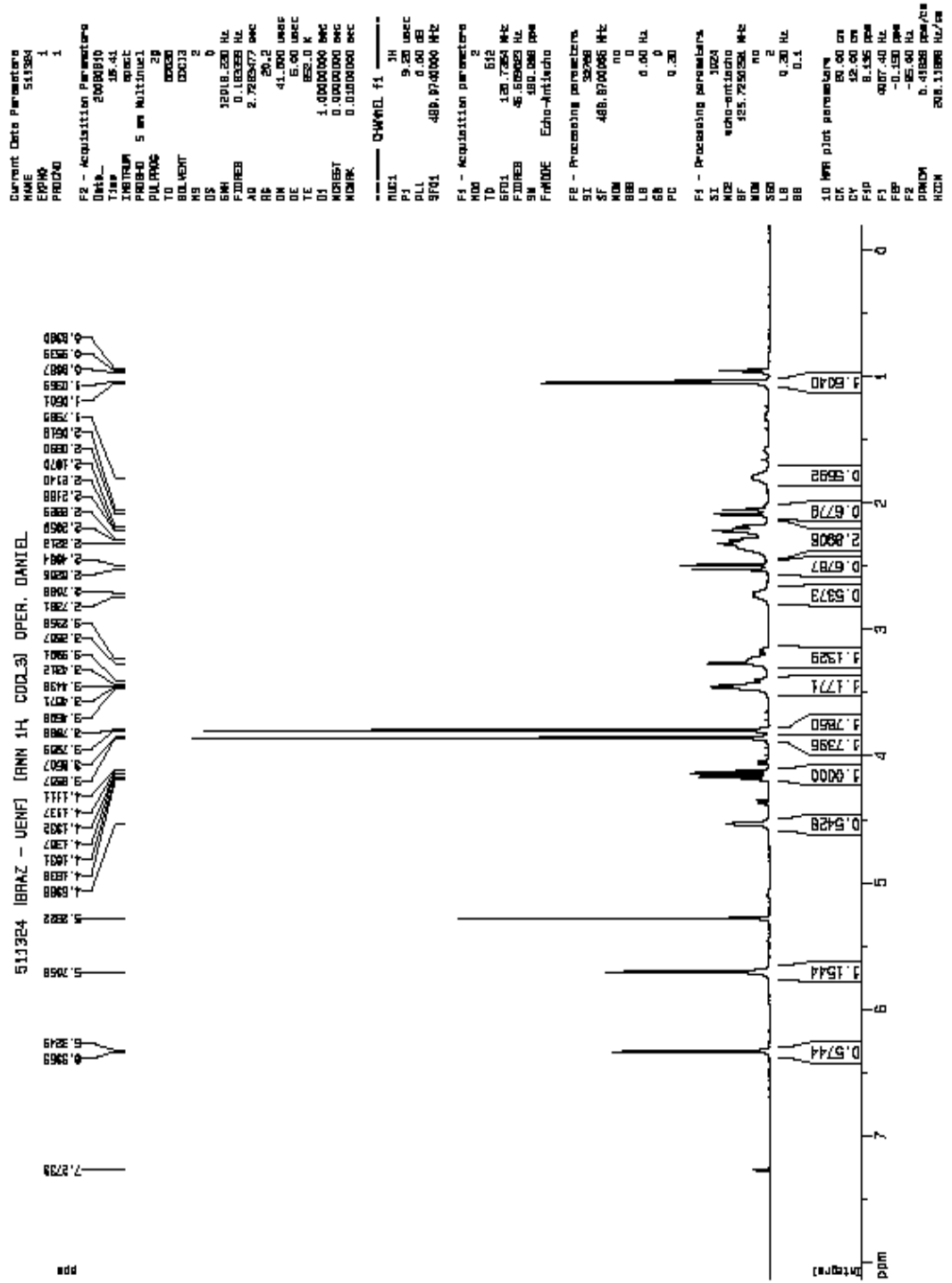
**Espectro 123.** Mapa de correlação homonuclear  $^1\text{H}$ - $^1\text{H}$ -COSY em  $\text{CDCl}_3$  da mistura dos alcaloides ( $-$ )-aspidolimidina e ( $-$ )-fendlerina.



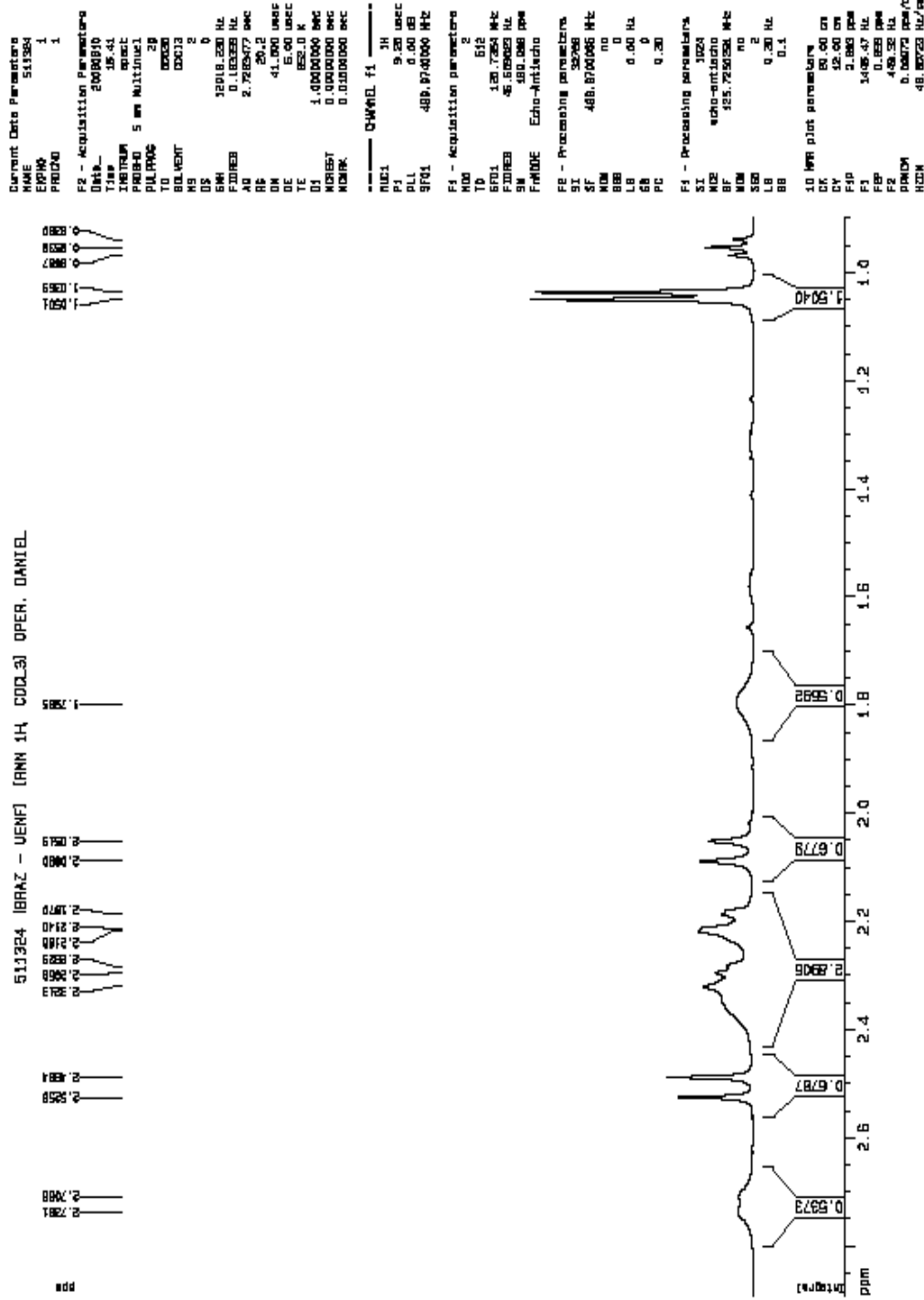
**Espectro 124.** Ampliação do mapa de correlação homonuclear  $^1\text{H}$ - $^1\text{H}$ -COSY em  $\text{CDCl}_3$  da mistura dos alcaloides (-)-aspidolimidina e (-)-fendlerina.



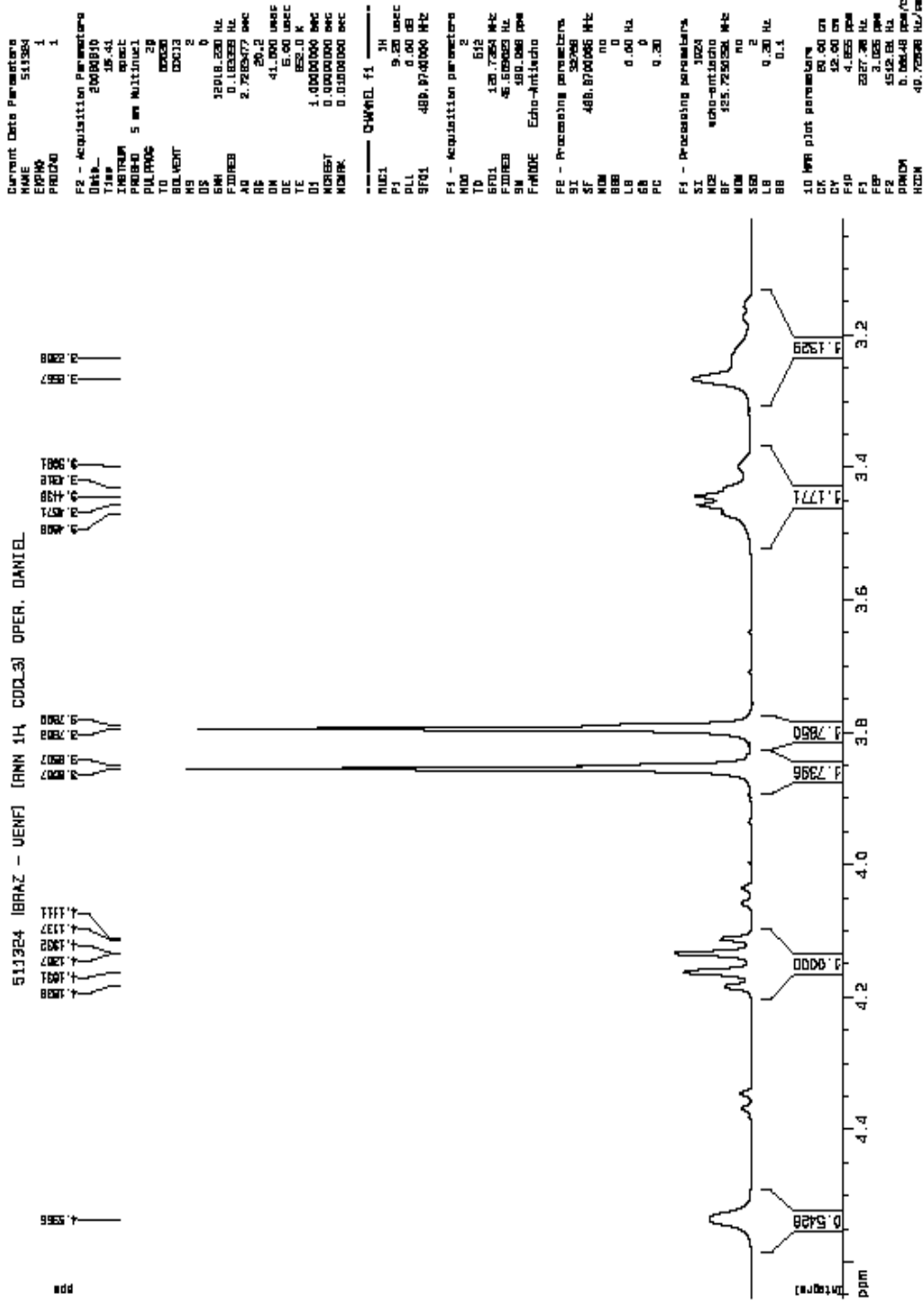
**Espectro 125.** Espectro de infravermelho da mistura dos alcalóides (-)-obscurinervidina e (-)-obscurinervina.



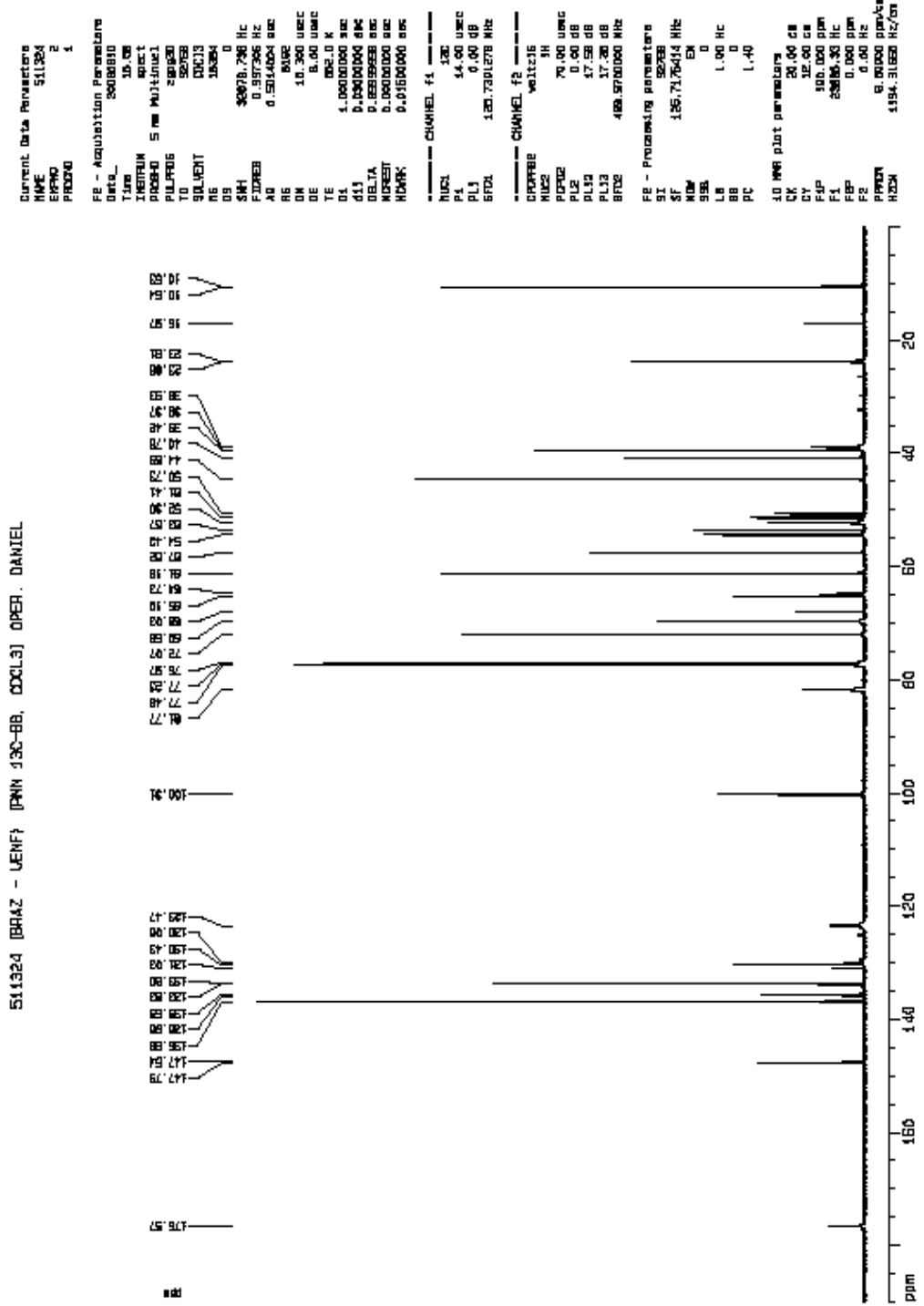
**Espectro 126.** Espectro de RMN <sup>1</sup>H (500 MHz) em CDCl<sub>3</sub> da mistura dos alcaloides (-)-obscurinervidina e (-)-obscurinervina.



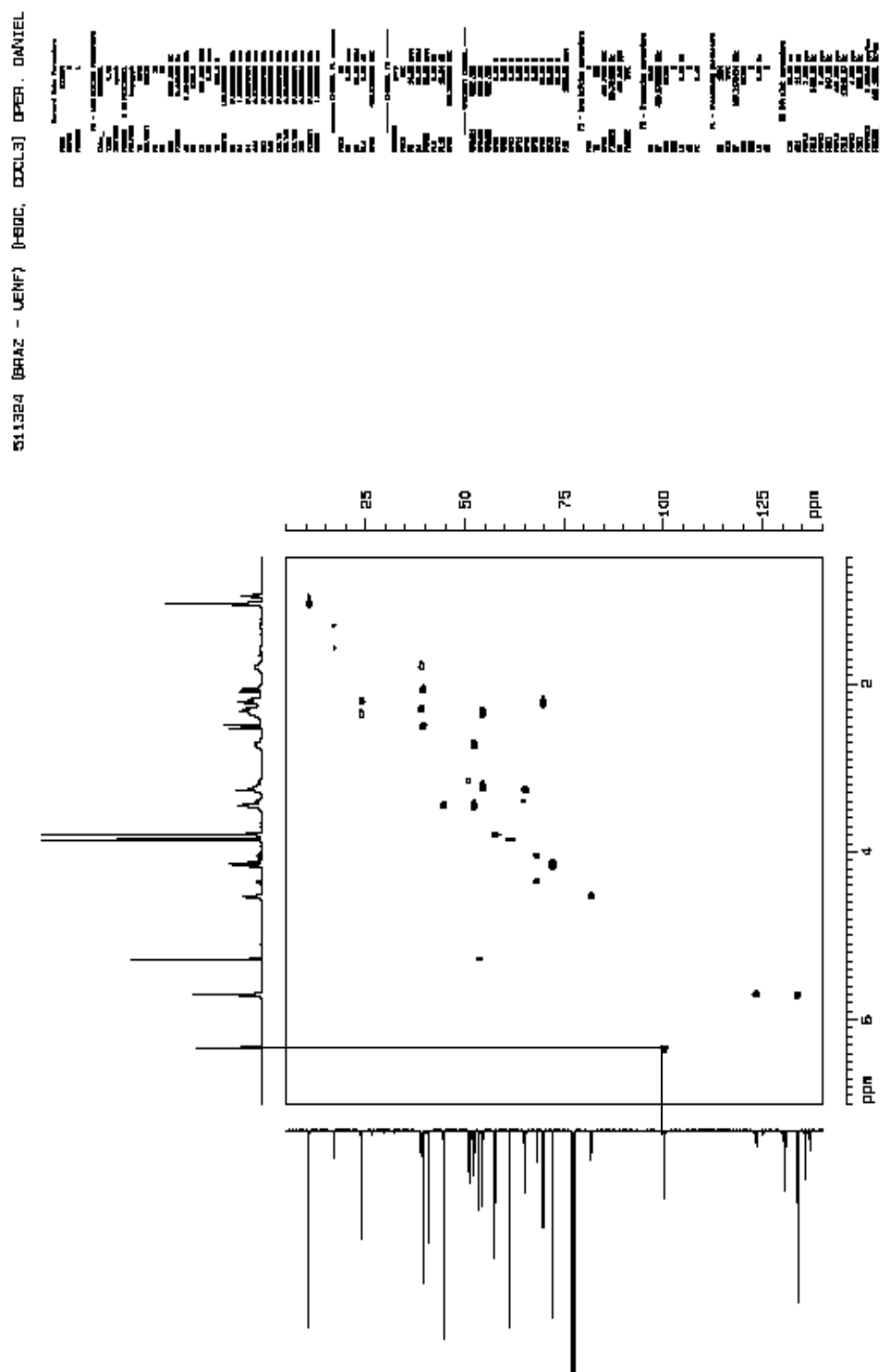
**Espectro 127.** Ampliação da região  $\delta_{\text{H}}$  0,8-2,7 do espectro de RMN  $^1\text{H}$  (500 MHz) em CDCl<sub>3</sub> da mistura dos alcaloides (-)-obscurinervidina e (-)-obscurinervina.



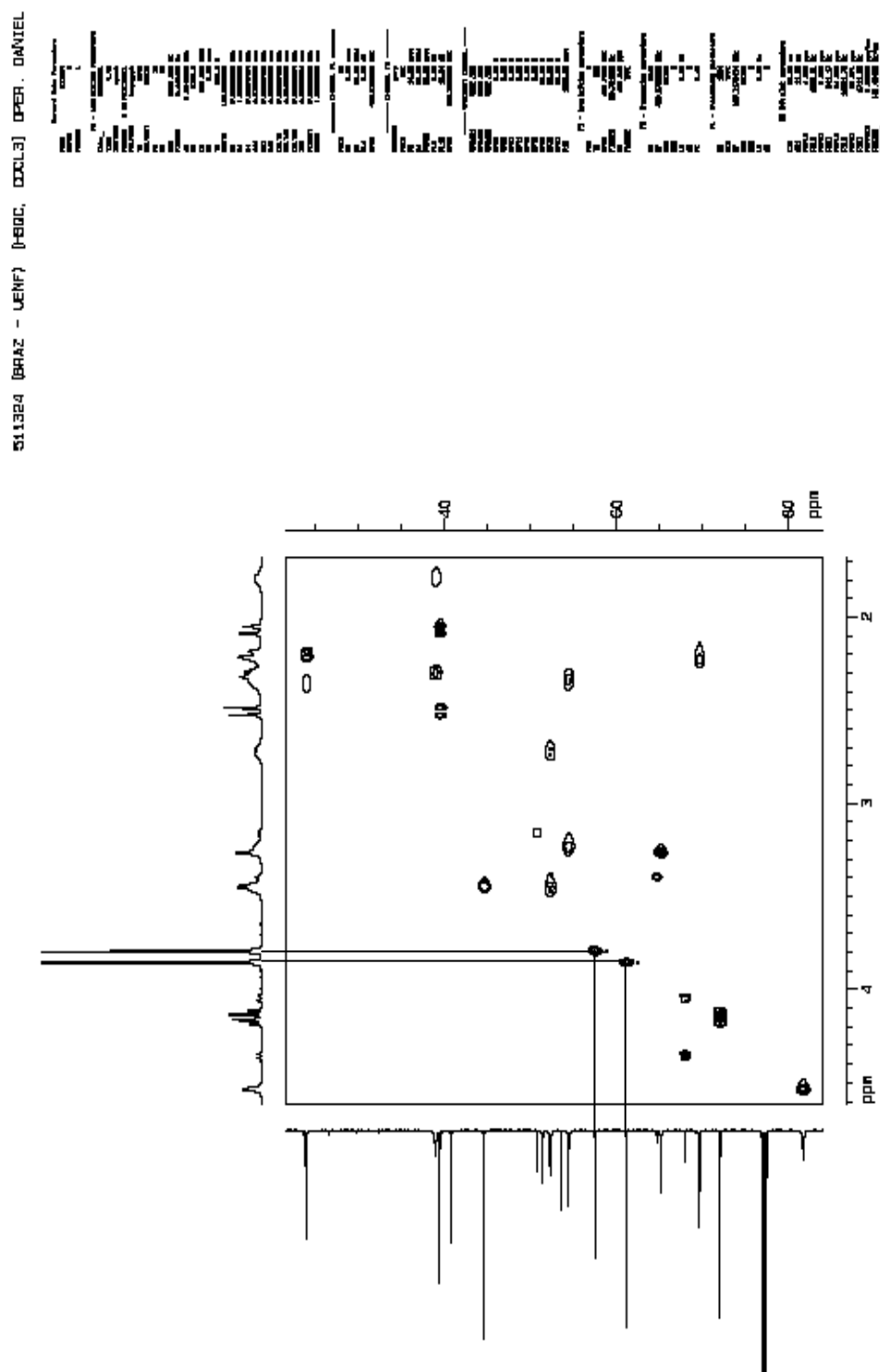
**Espectro 128.** Ampliação da região  $\delta_{\text{H}}$  3,2-4,5 do espectro de RMN  $^1\text{H}$  (500 MHz) em CDCl<sub>3</sub> da mistura dos alcalóides (-)-obscurinervidina e (-)-obscurinervina.



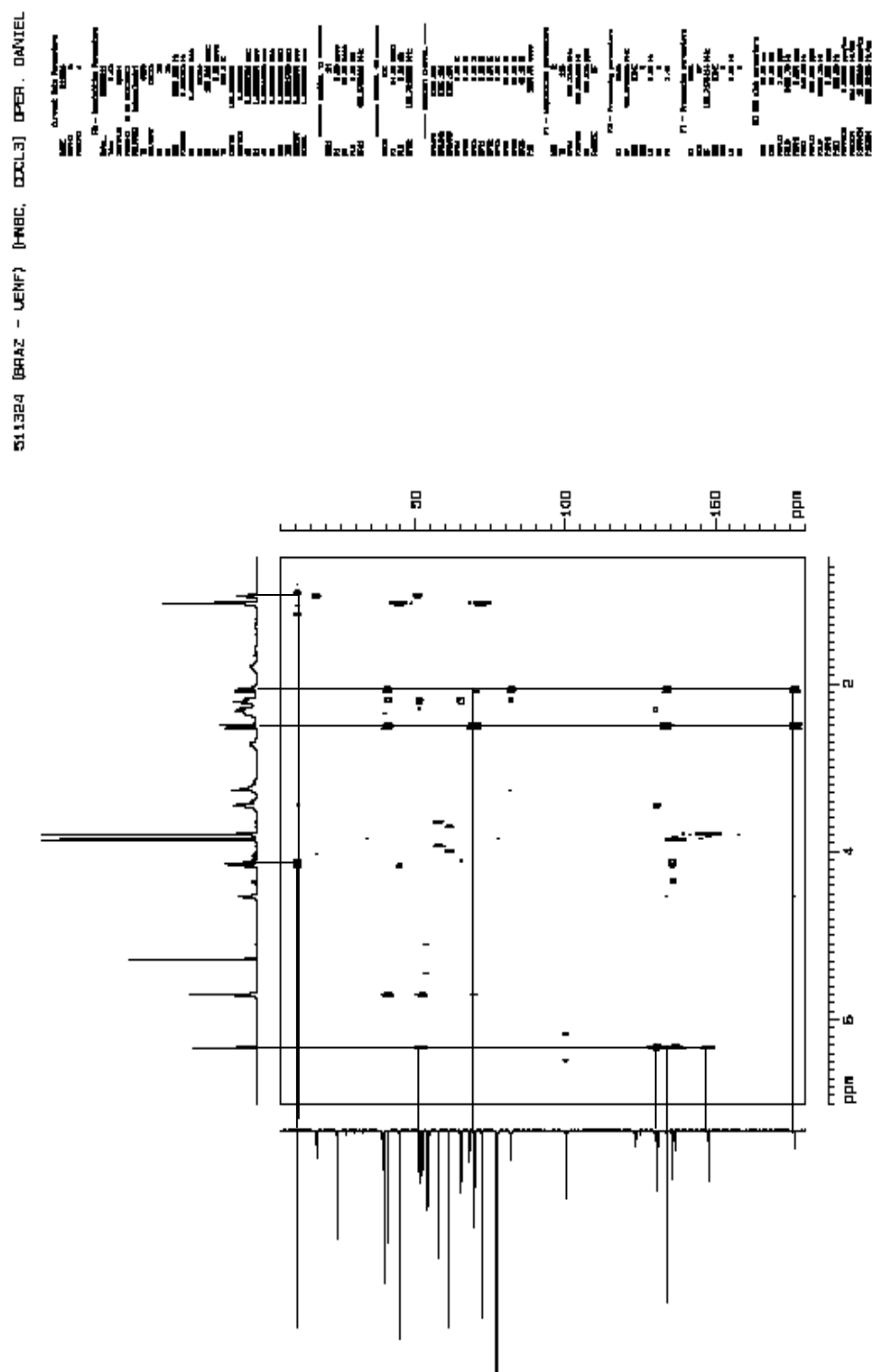
**Espectro 129.** Espectro de RMN de <sup>13</sup>C (125 MHz) em CDCl<sub>3</sub> da mistura dos alcalóides (-)-obscurinervina e (-)-obscurinervina.



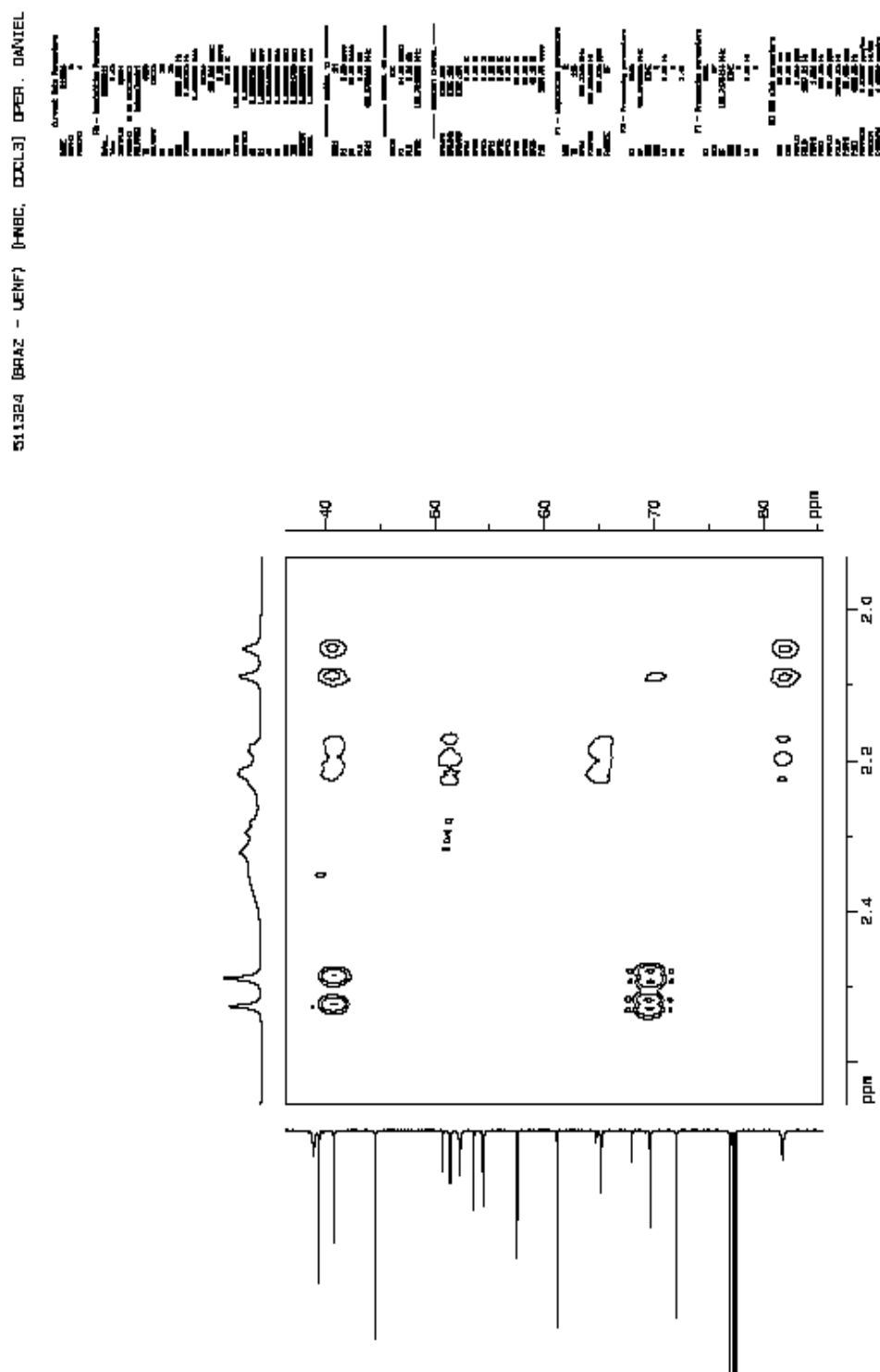
**Espectro 130.** Mapa de correlação heteronuclear HSQC em  $\text{CDCl}_3$  da mistura dos alcalóides (-)-obscurinervidina e (-)-obscurinervina.



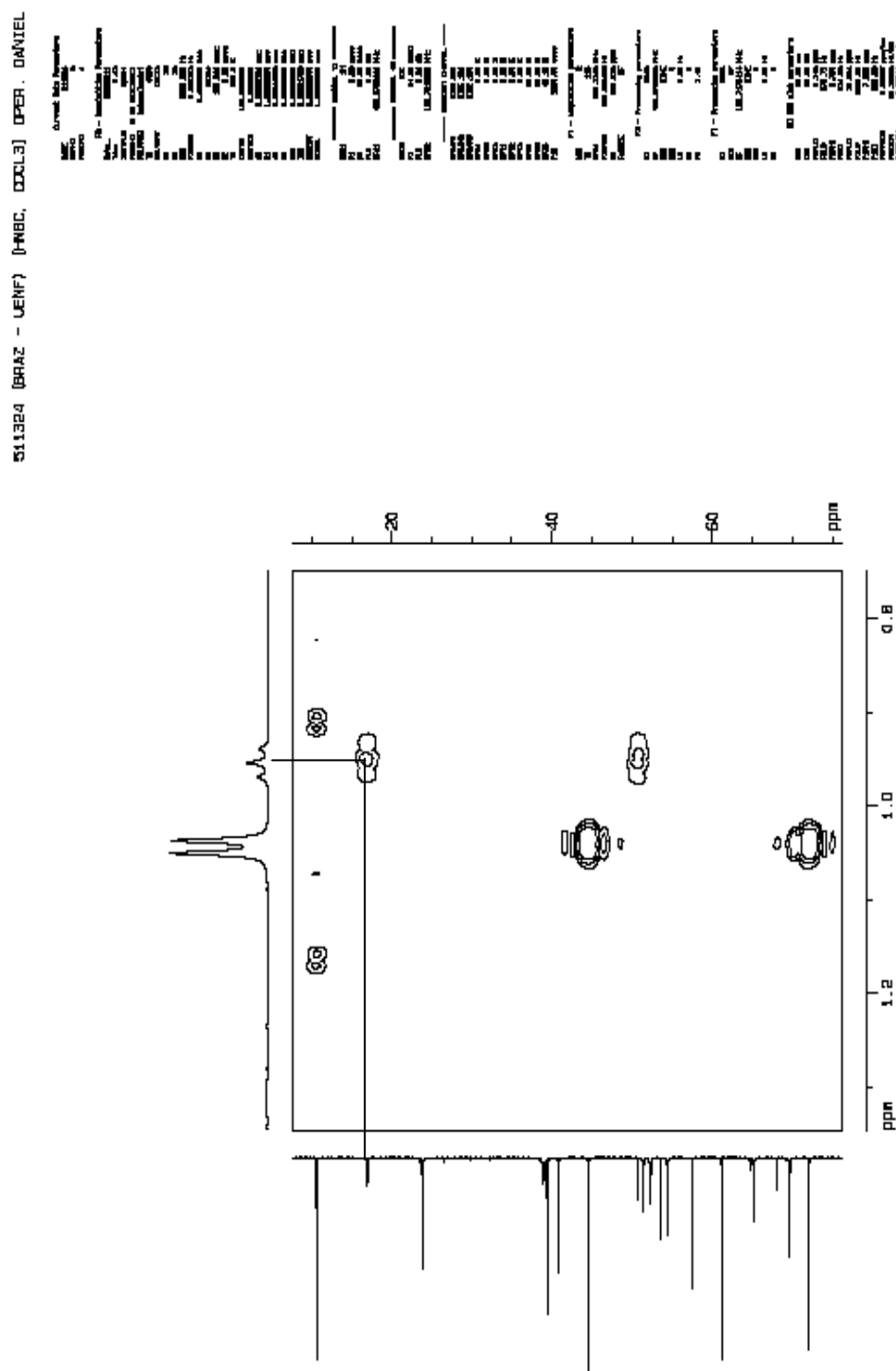
**Espectro 131.** Ampliação do mapa de correlação heteronuclear HSQC em  $\text{CDCl}_3$  da mistura dos alcalóides (*-*)-obscurinervidina e (*-*)-obscurinervina.



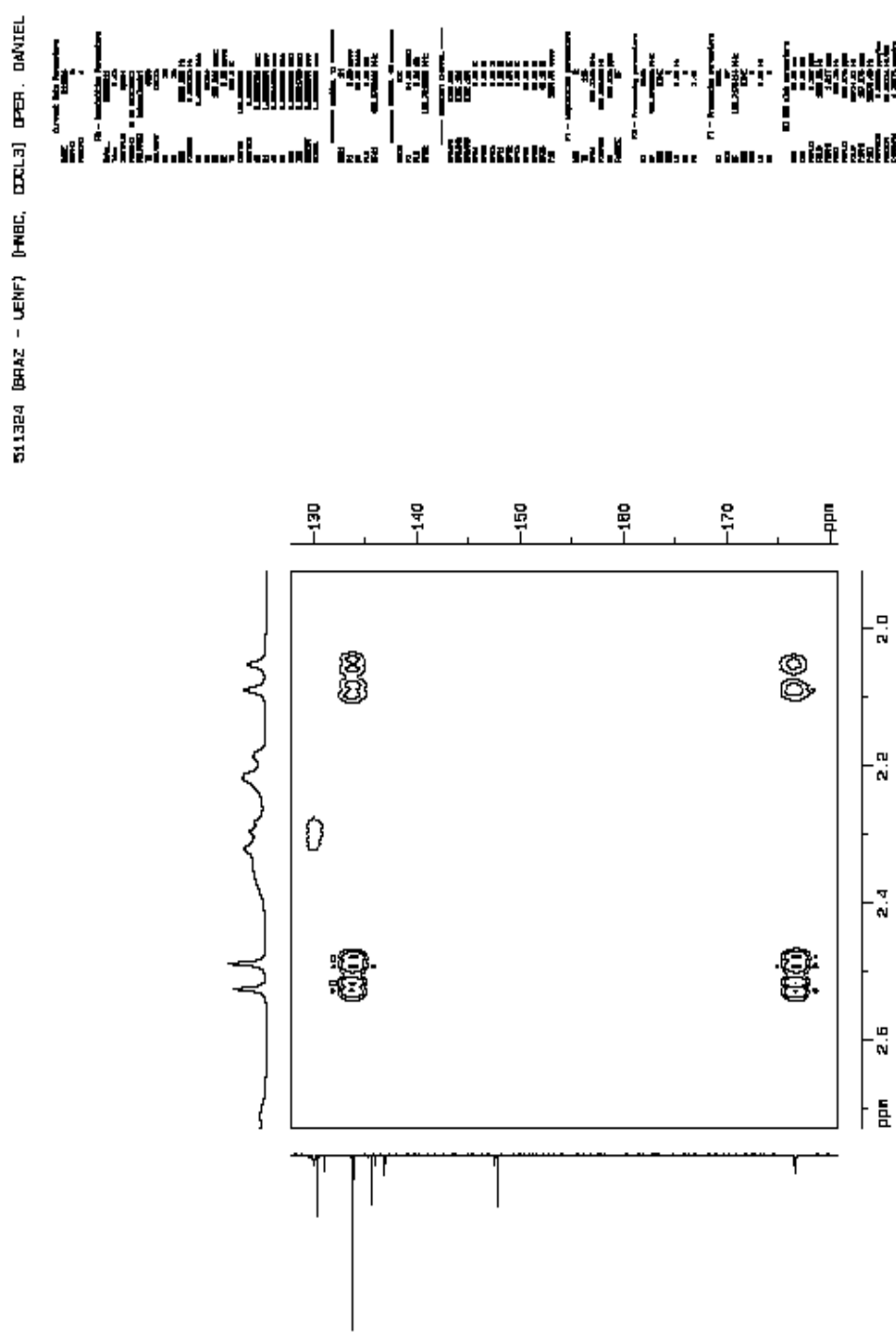
**Espectro 132.** Mapa de correlação heteronuclear HMBC em  $\text{CDCl}_3$  da mistura dos alcalóides (-)-obscurinervidina e (-)-obscurinervina.



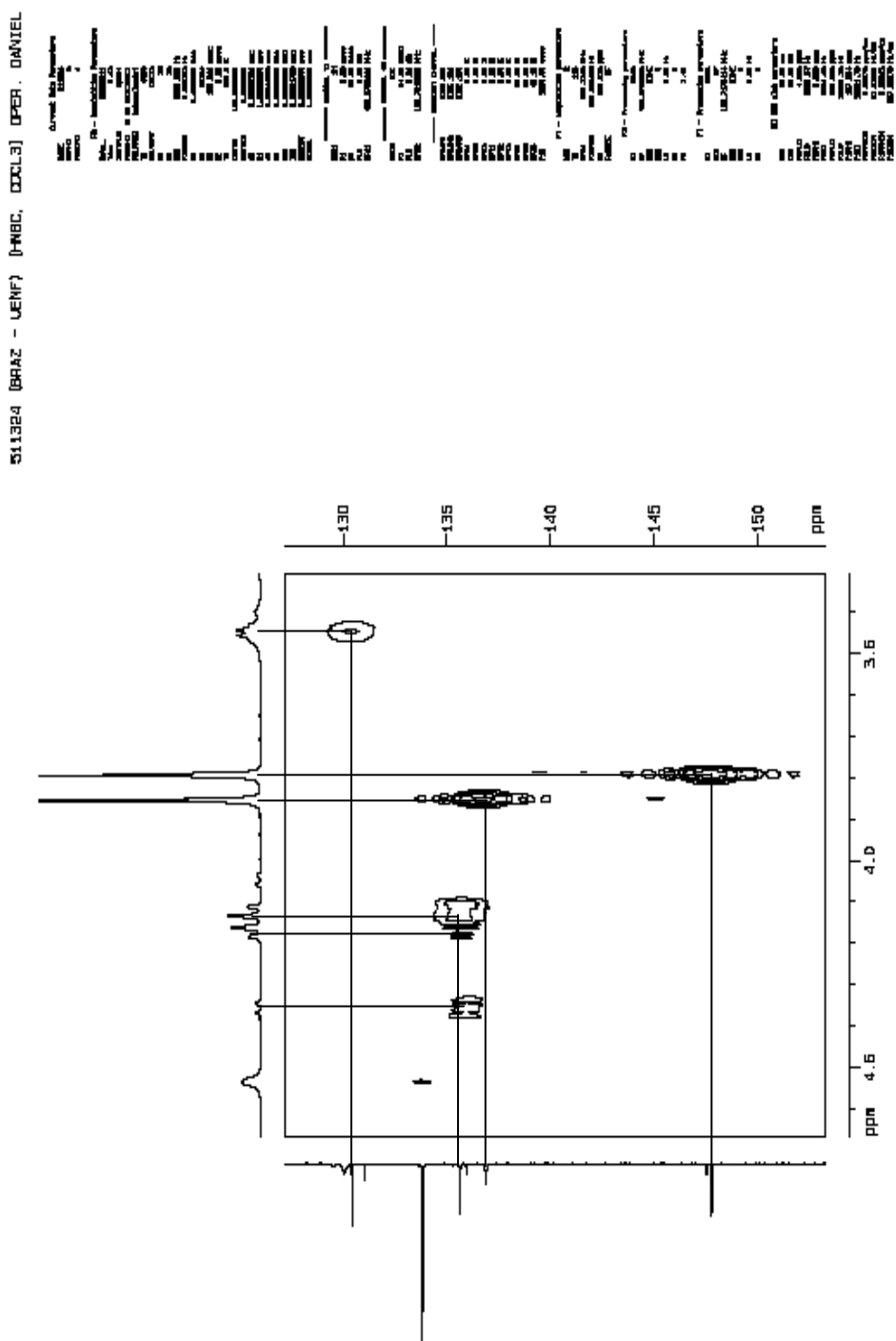
**Espectro 133.** Ampliação do mapa de correlação heteronuclear HMBC em CDCl<sub>3</sub> da mistura dos alcalóides (-)-obscurinervidina e (-)-obscurinervina.



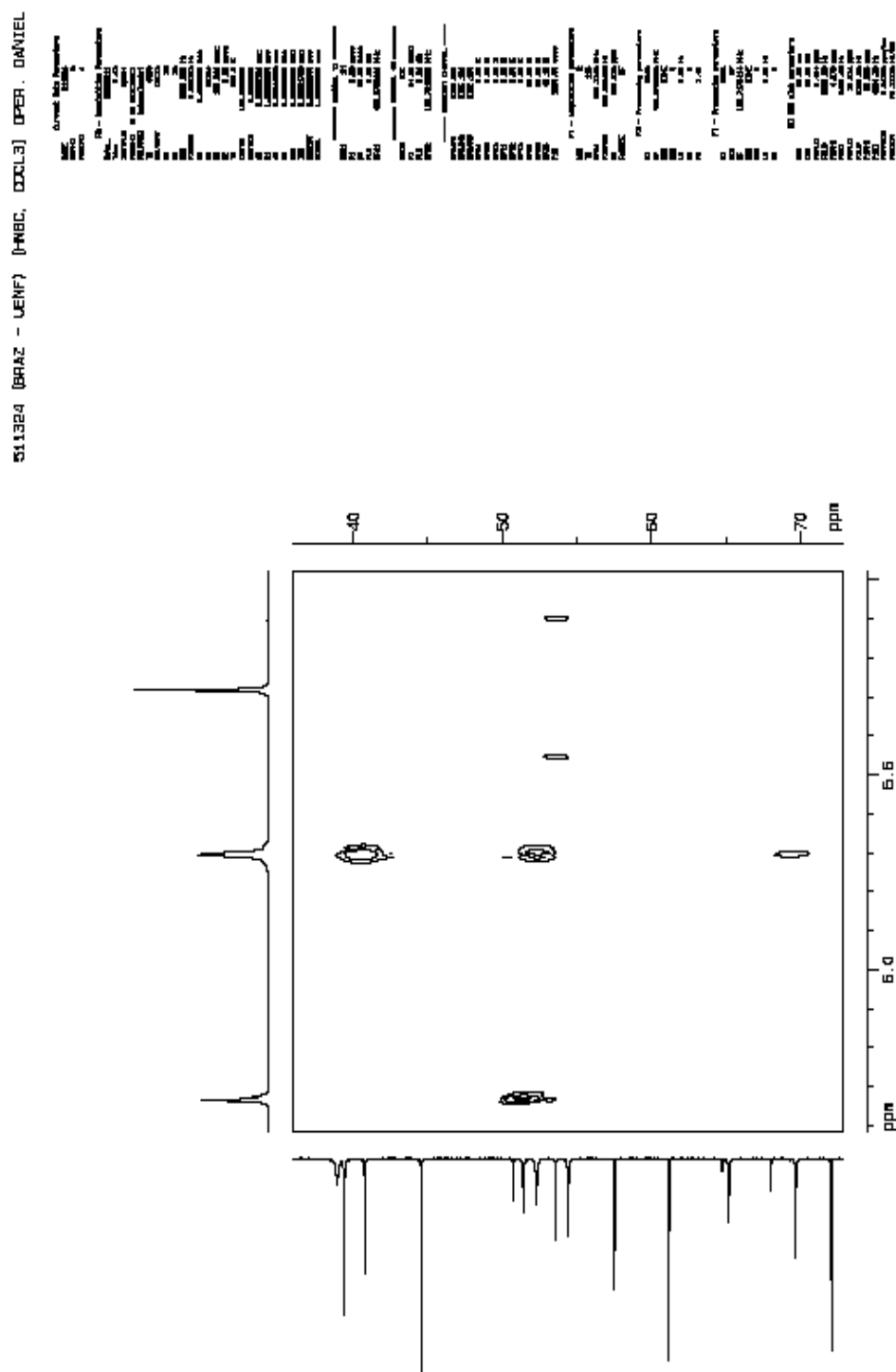
**Especro 134.** Ampliação do mapa de correlação heteronuclear HMBC em CDCl<sub>3</sub> da mistura dos alcaloides (-)-obscurinervidina e (-)-obscurinervina.



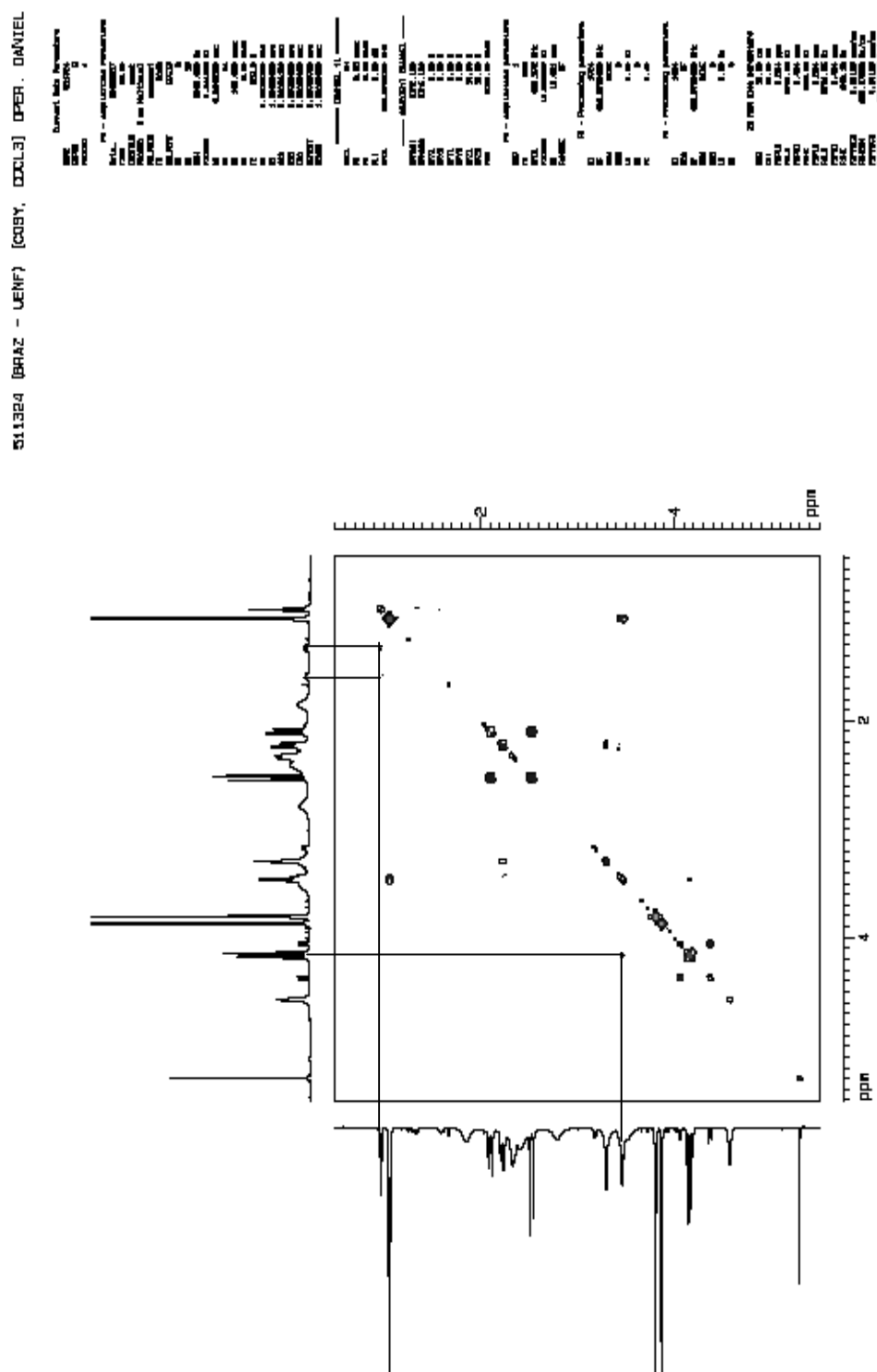
**Espectro 135.** Ampliação do mapa de correlação heteronuclear HMBC em CDCl<sub>3</sub> da mistura dos alcalóides (-)-obscurinervidina e (-)-obscurinervina.



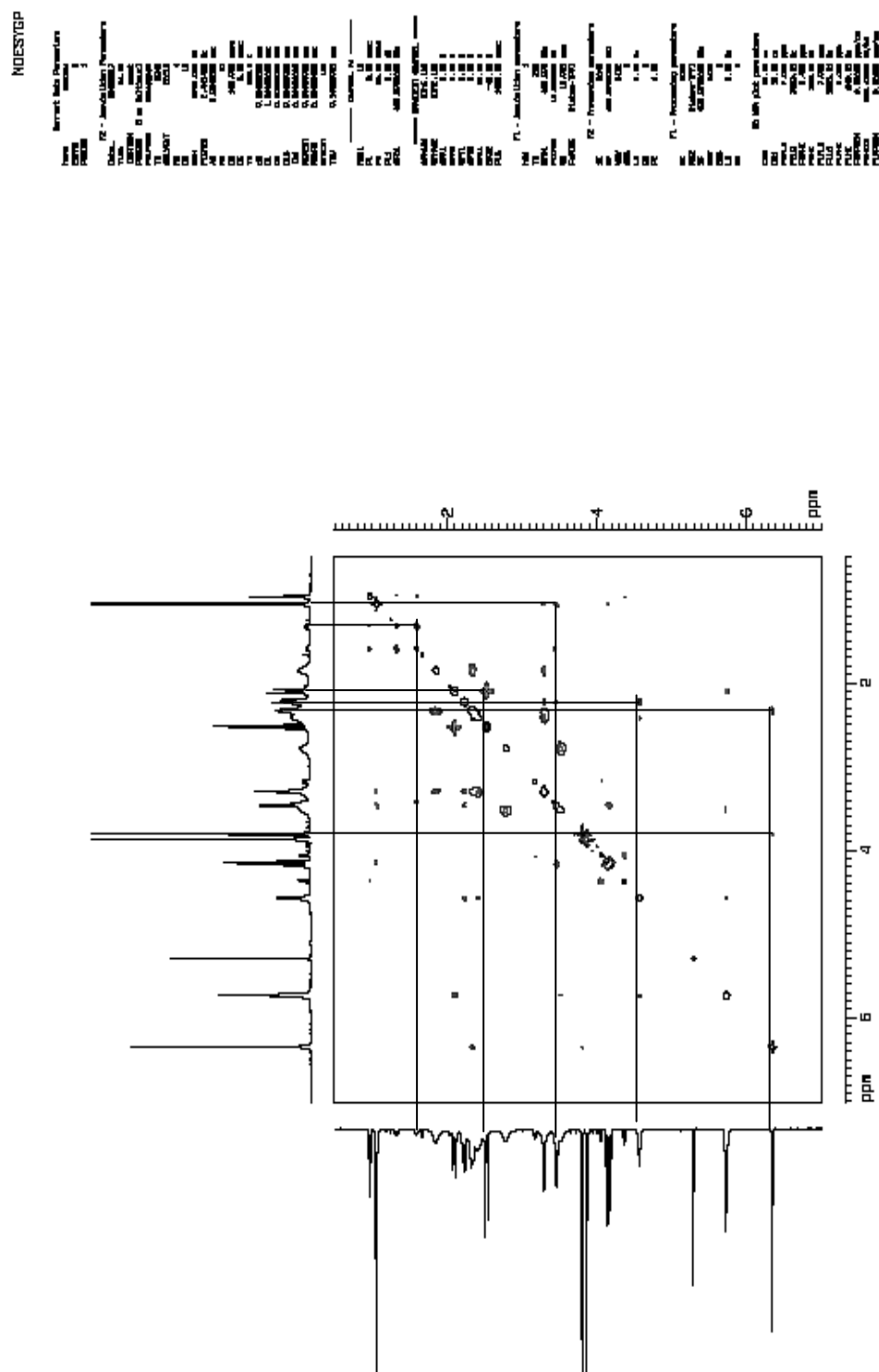
**Espectro 136.** Ampliação do mapa de correlação heteronuclear HMBC em  $\text{CDCl}_3$  da mistura dos alcalóides (-)-obscurinervidina e (-)-obscurinervina.



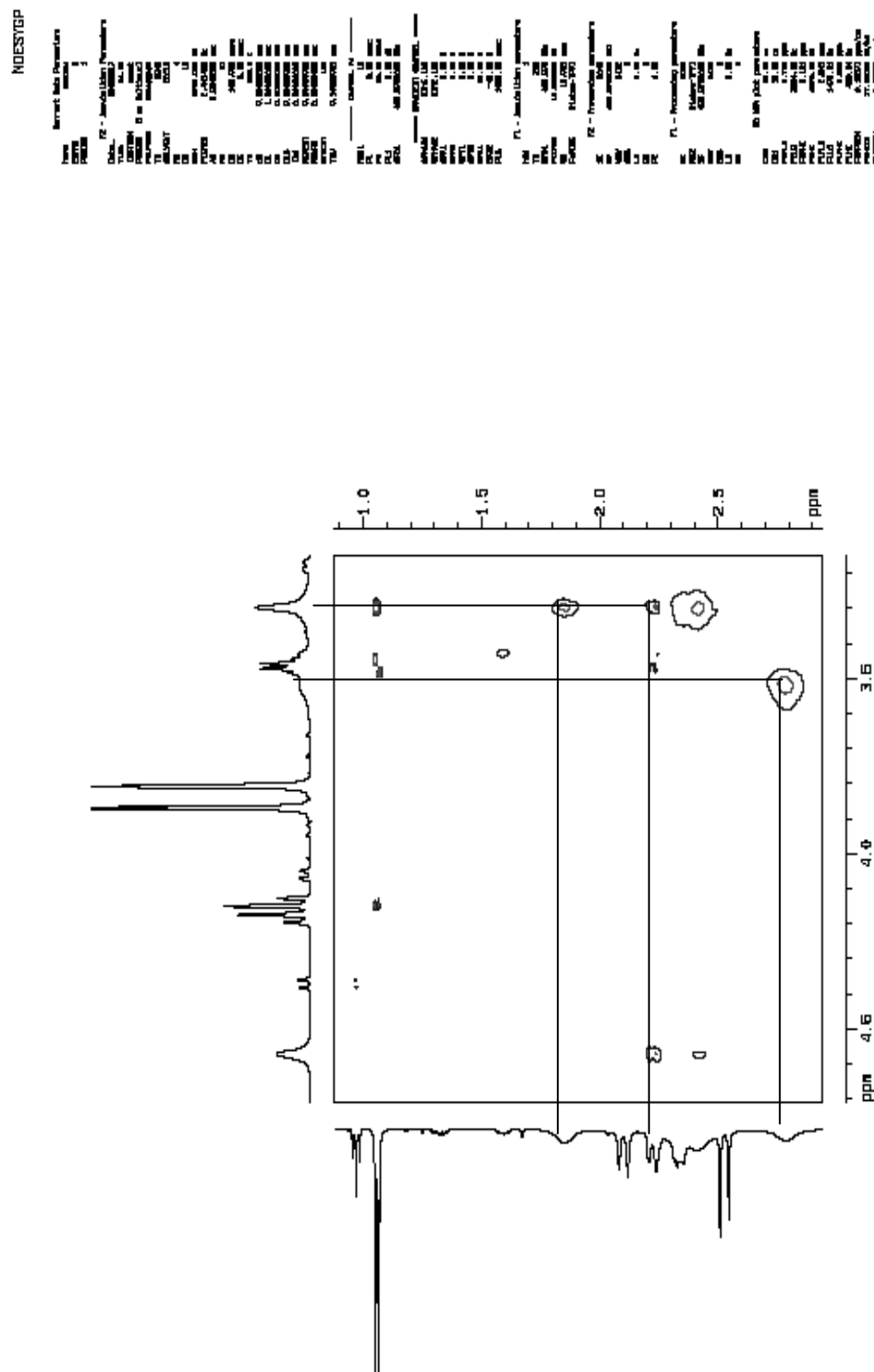
**Espectro 137.** Ampliação do mapa de correlação heteronuclear HMBC em  $\text{CDCl}_3$  da mistura dos alcalóides (-)-obscurinervidina e (-)-obscurinervina.



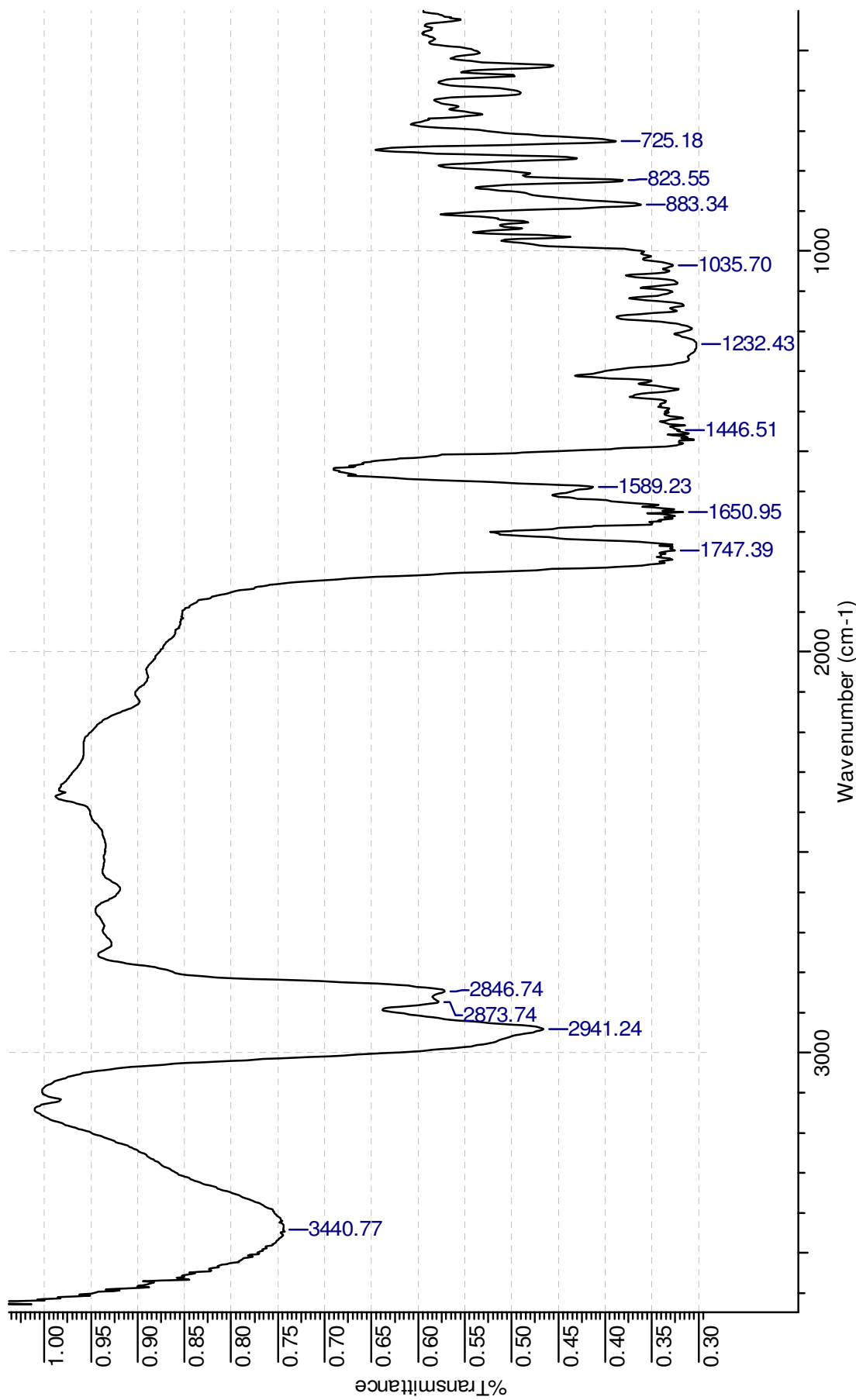
**Espectro 138.** Mapa de correlação homonuclear  $^1\text{H}$ - $^1\text{H}$ -COSY em  $\text{CDCl}_3$  da mistura dos alcaloides (-)-obscurinvidina e (-)-obscurinervina.



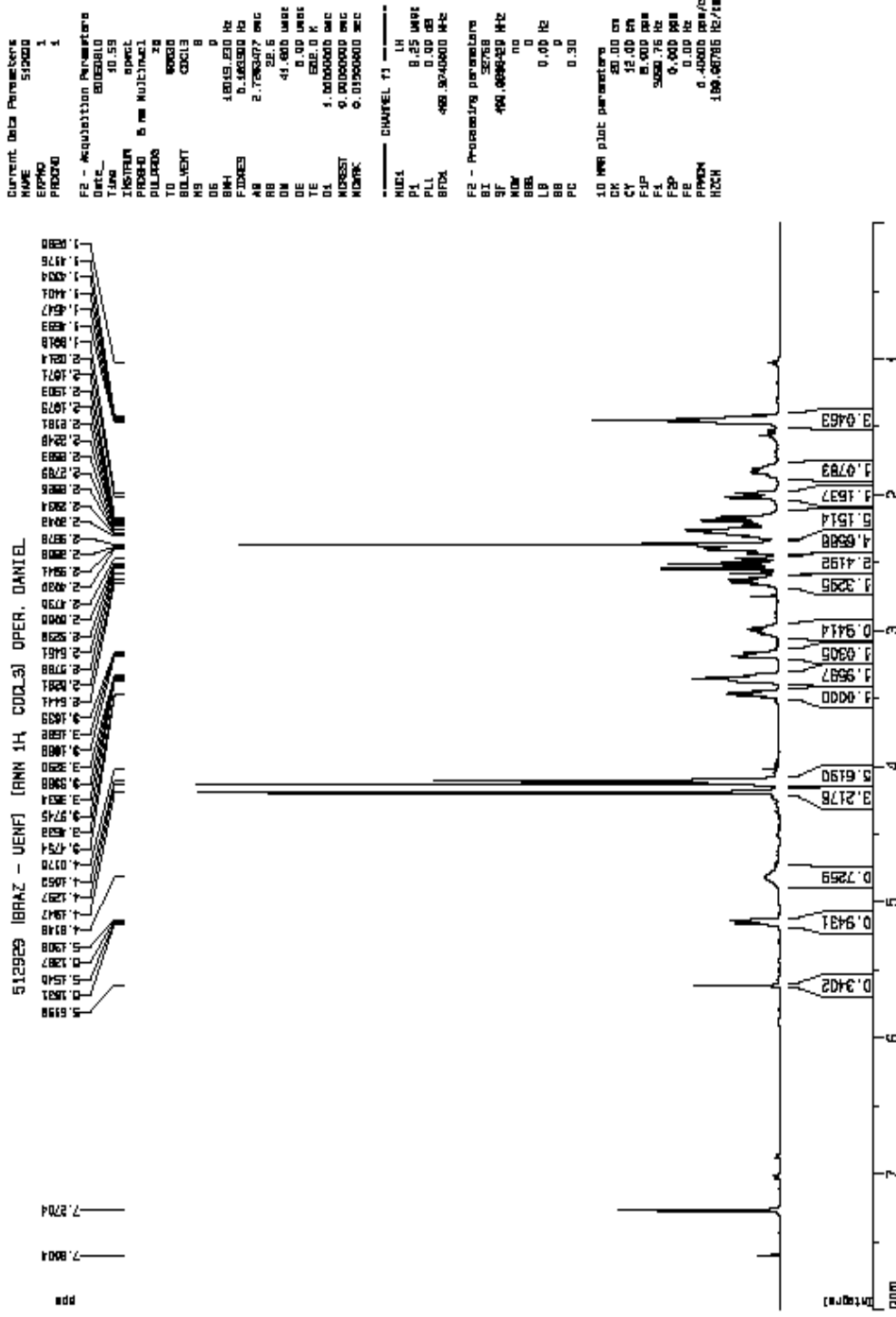
**Espectro 139.** Mapa de correlação homonuclear  $^1\text{H}$ - $^1\text{H}$ -NOESY em  $\text{CDCl}_3$  da mistura dos alcalóides ( $-$ )-obscurinervidina e ( $-$ )-obscurinervina.



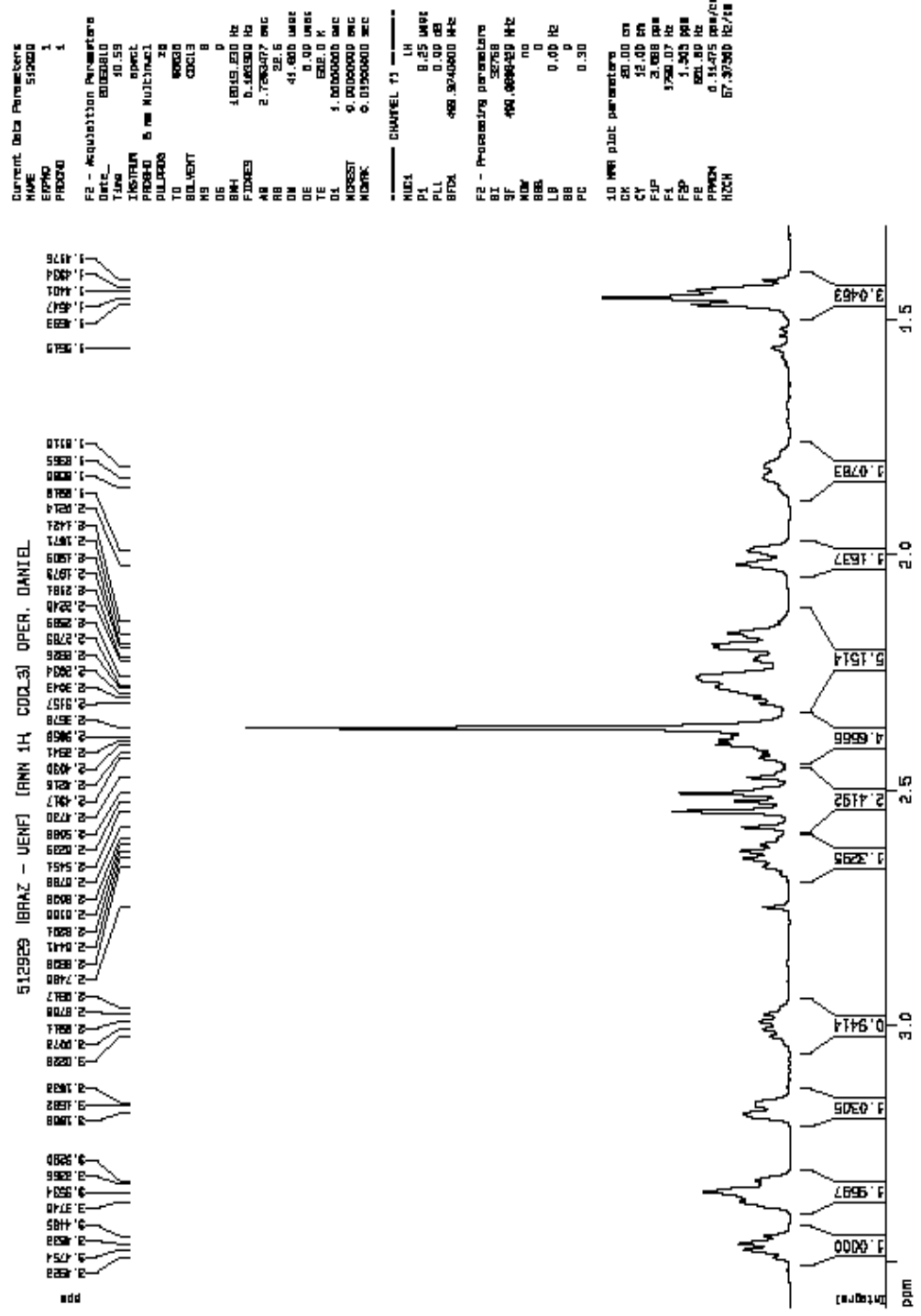
**Espectro 140.** Ampliação do mapa de correlação homonuclear  $^1\text{H}$ - $^1\text{H}$ -NOESY em  $\text{CDCl}_3$  da mistura dos alcaloides (-)-obscurinervidina e (-)-obscurinervina.



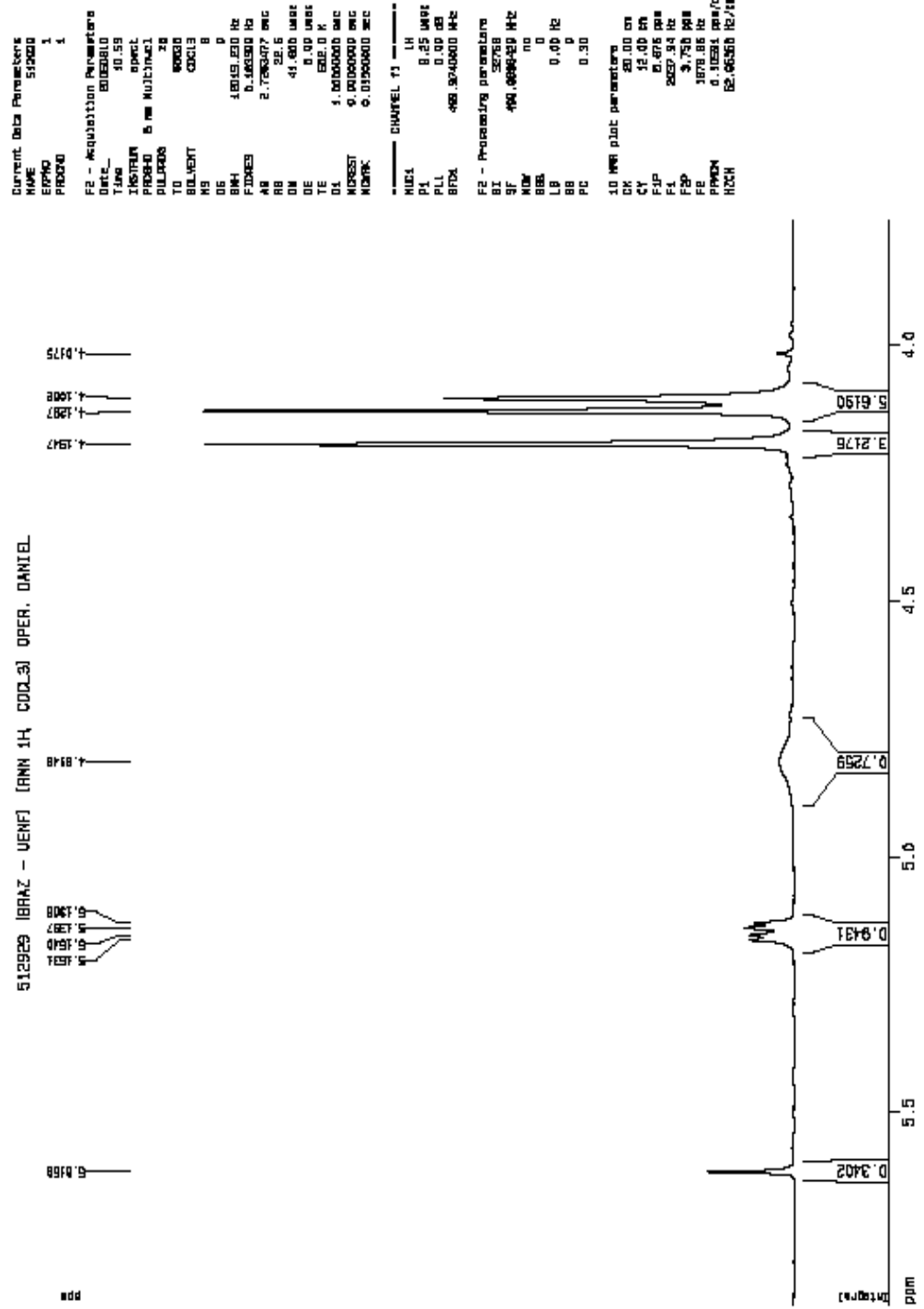
**Especro 141.** Espectro de infravermelho da mistura dos alcaloides spruceanumina C e spruceanumina D.



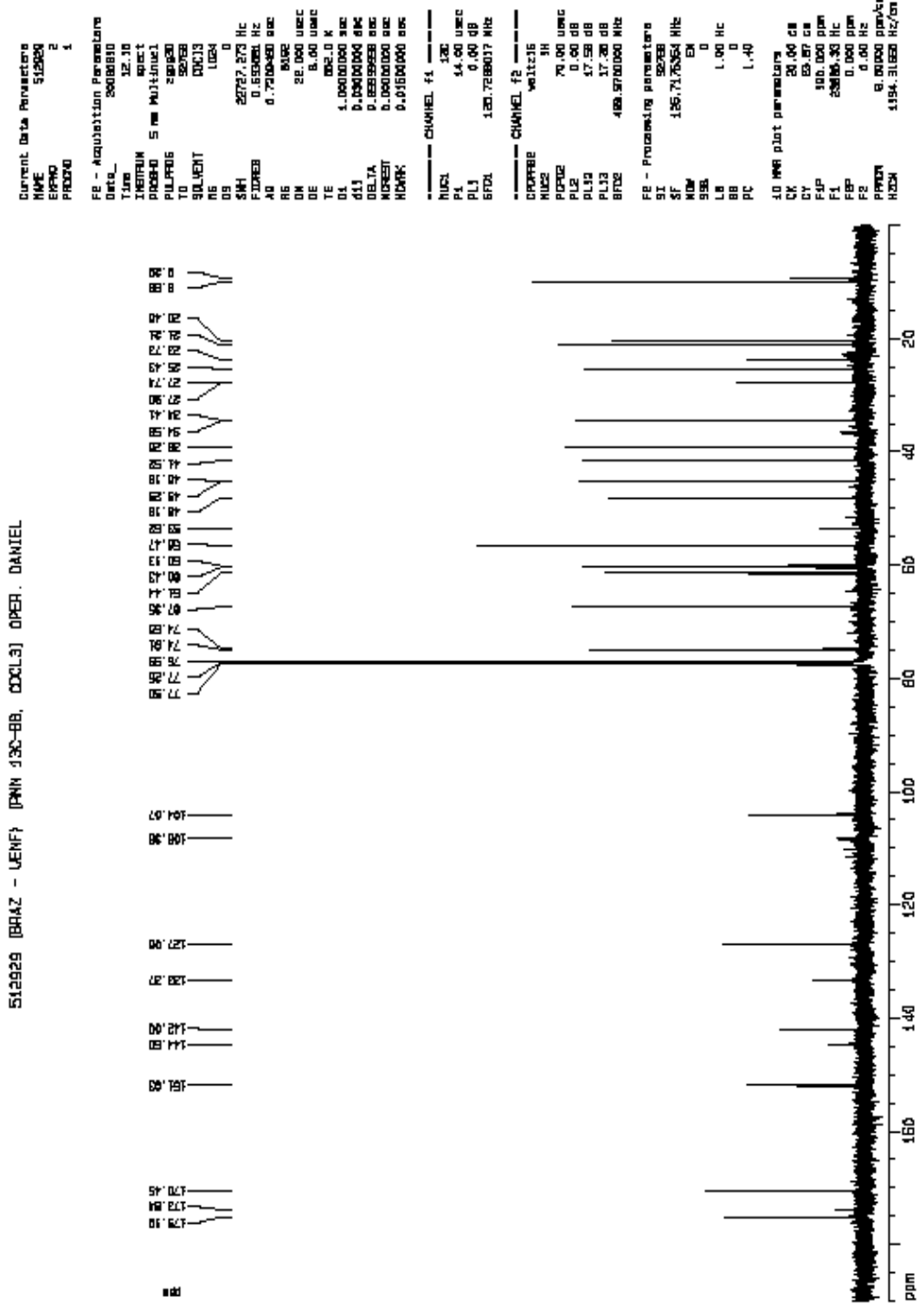
**Espectro 142.** Espectro de RMN <sup>1</sup>H (500 MHz) em CDCl<sub>3</sub> da mistura dos alcalóides spruceanumina C e spruceanumina D.



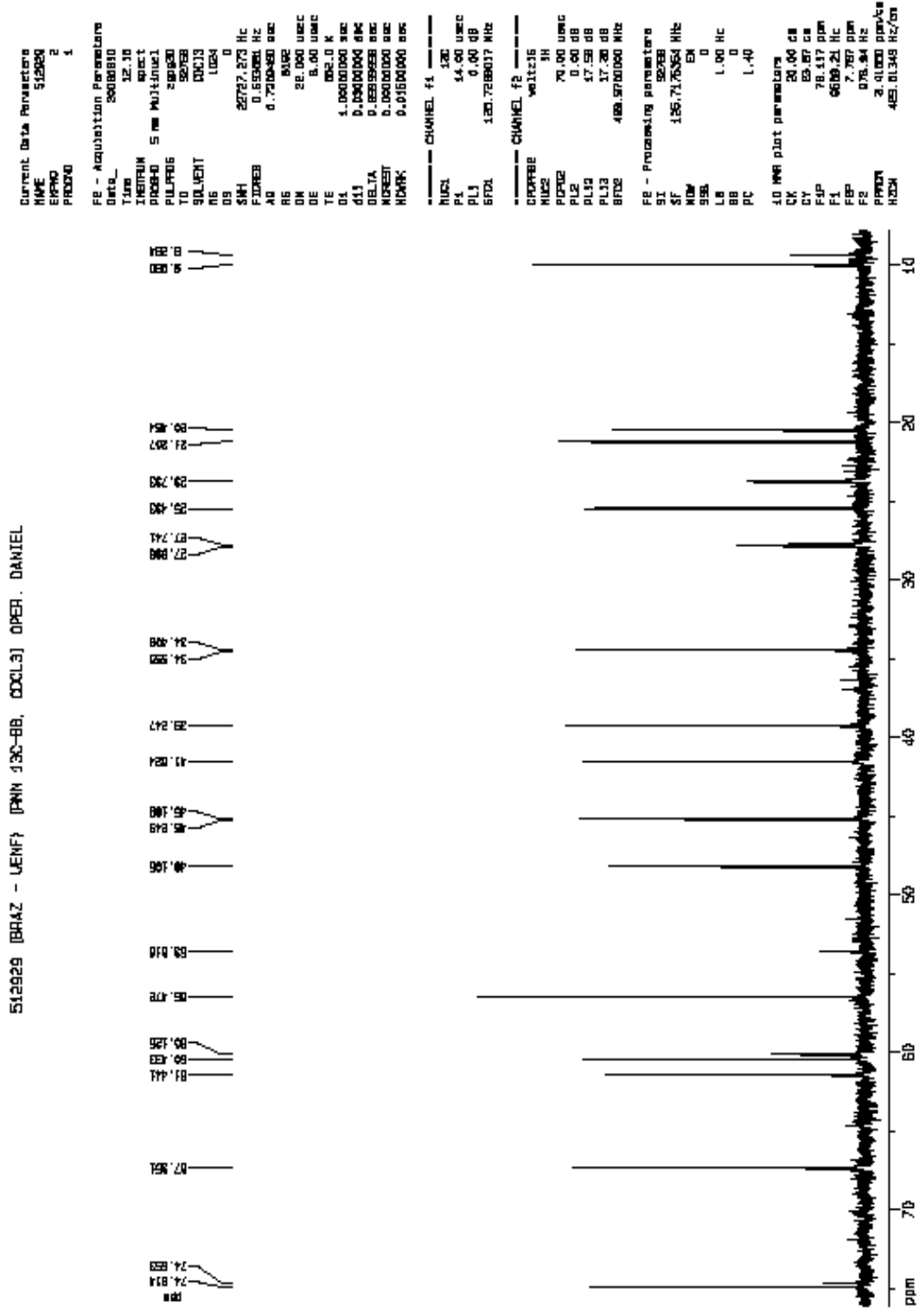
**Espectro 143.** Ampliação da região  $\delta_H$  1,4-3,5 do espectro de RMN  $^1H$  (500 MHz) em  $CDCl_3$  da mistura dos alcalóides spruceanumina C e spruceanumina D.



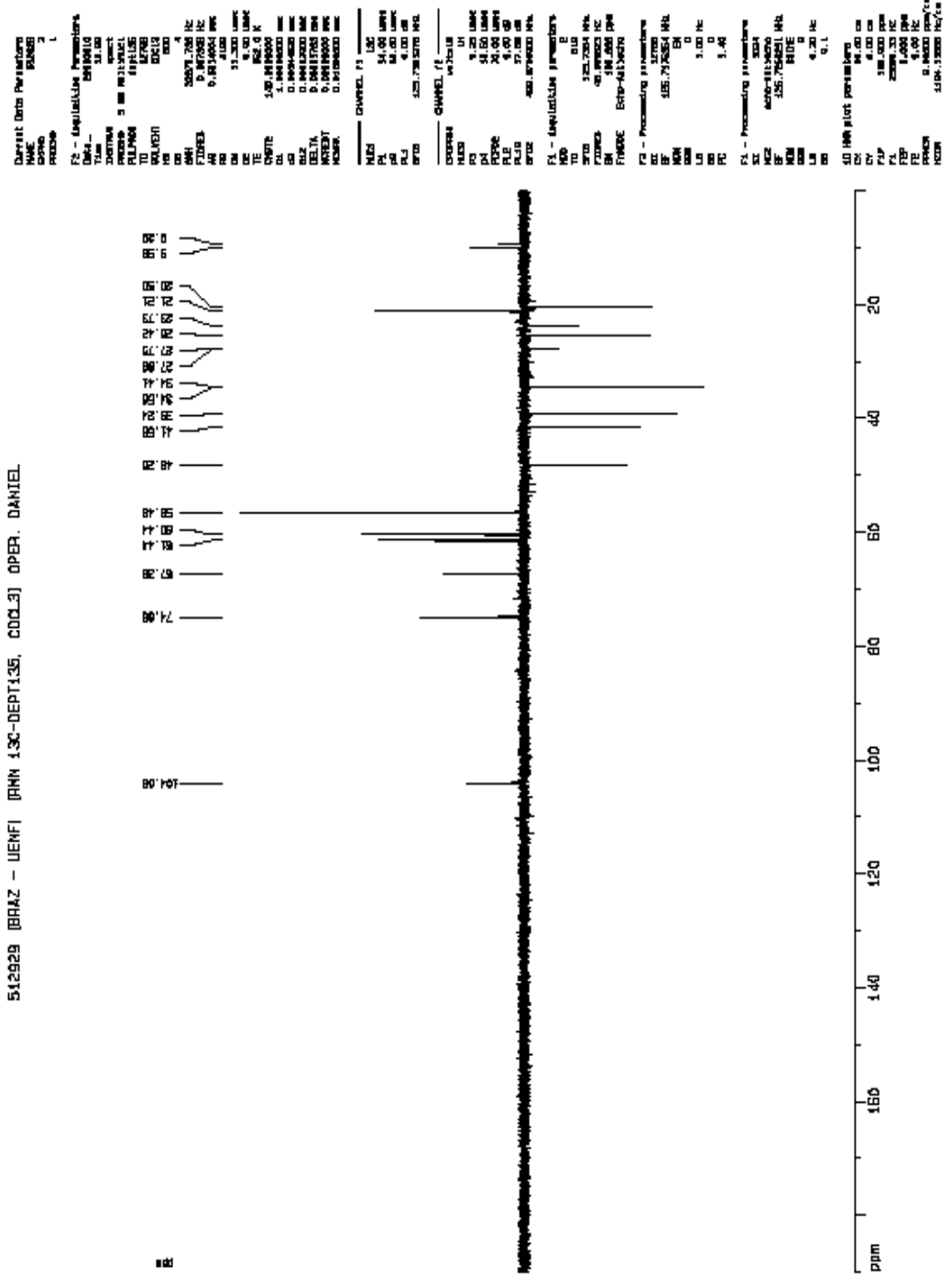
**Especro 144.** Ampliação da região  $\delta_H$  4,0-5,7 do espectro de RMN  $^1H$  (500 MHz) em  $CDCl_3$  da mistura dos alcaloides spruceanumina C e spruceanumina D.



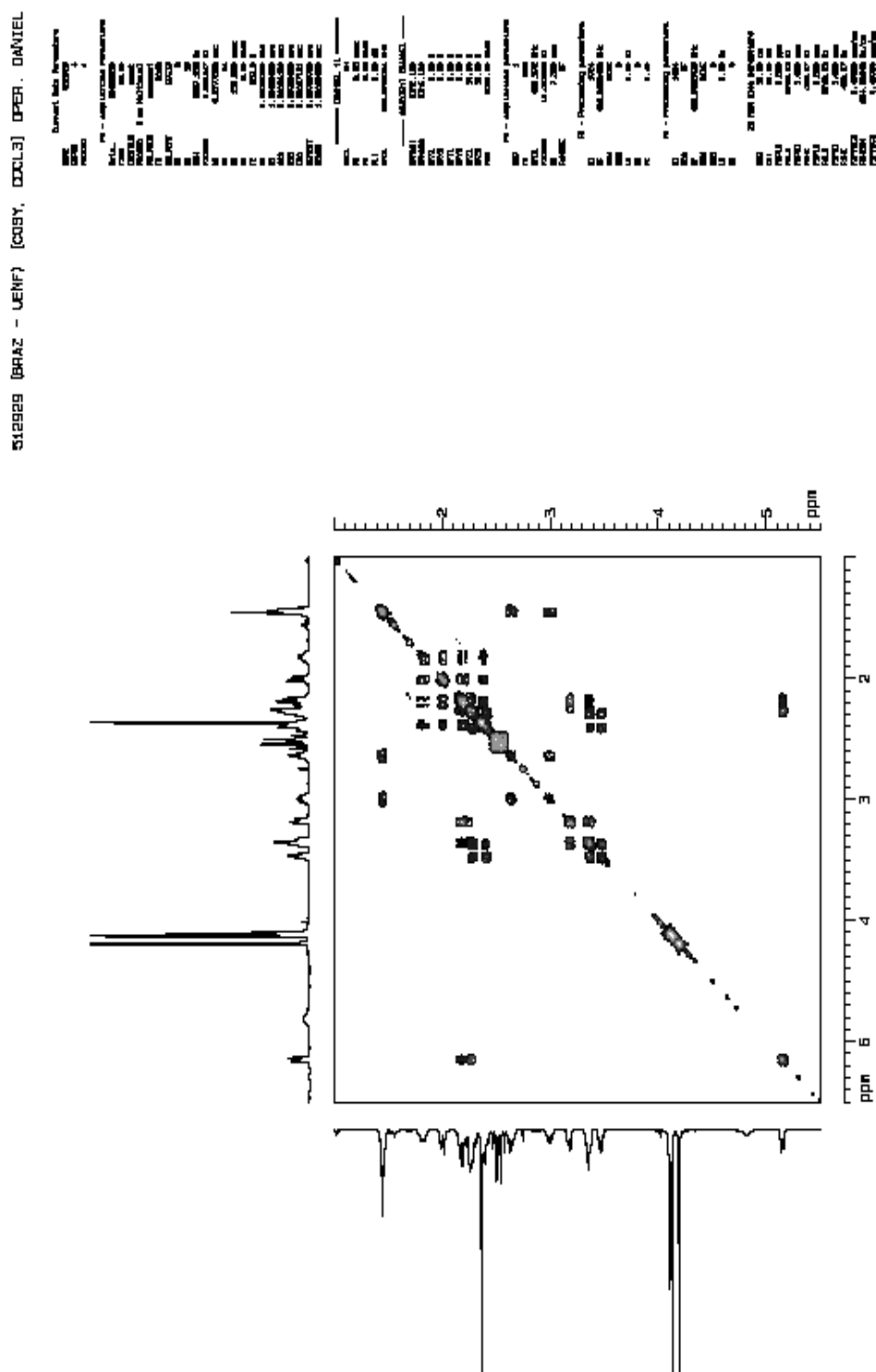
**Espectro 145.** Espectro de RMN <sup>13</sup>C (125 MHz) em CDCl<sub>3</sub> da mistura dos alcaloides spruceanumina C e spruceanumina D.



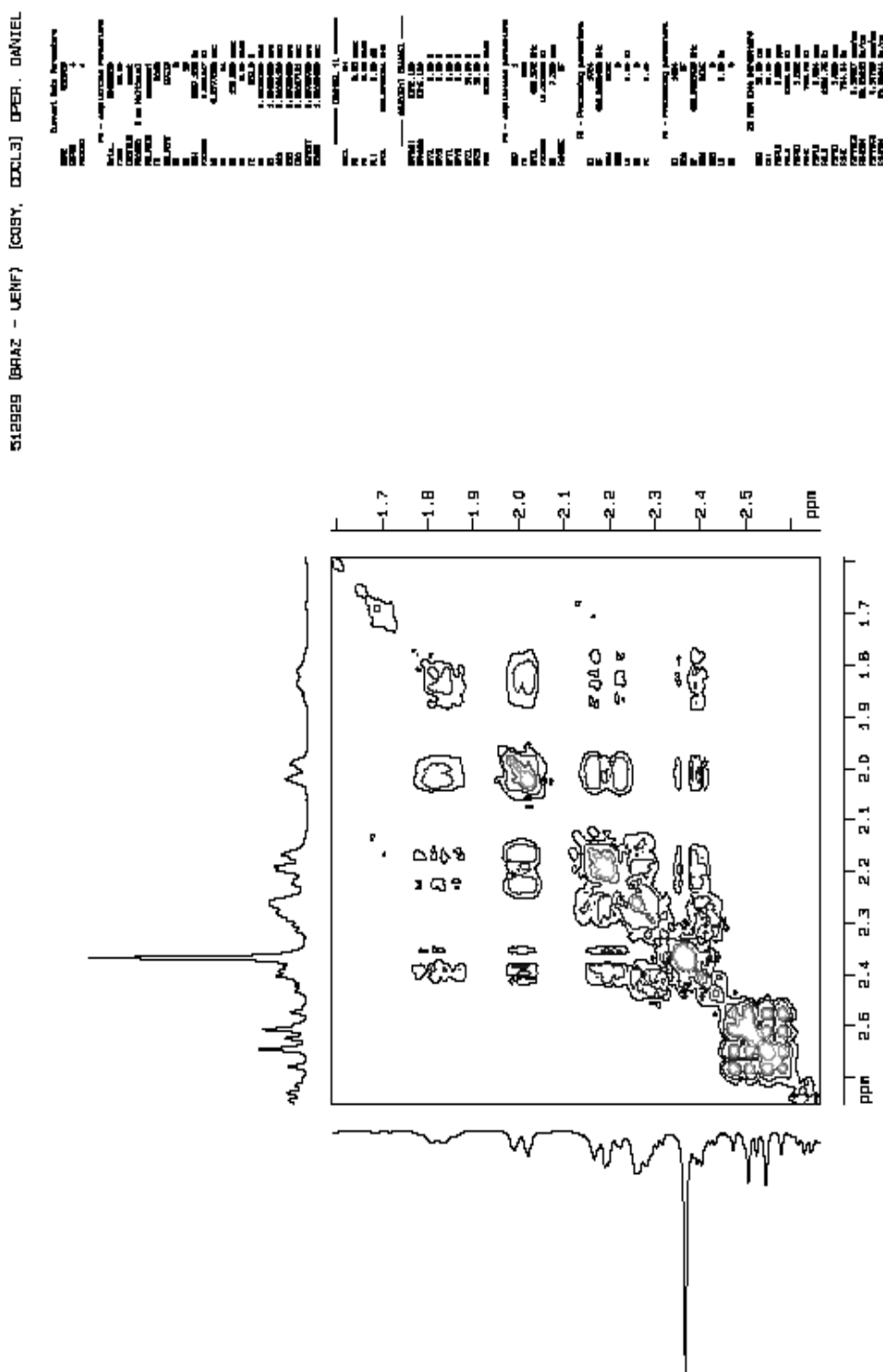
**Espectro 146.** Ampliação da região δC 0,8-74 do espectro de RMN <sup>13</sup>C (125 MHz) em CDCl<sub>3</sub> da mistura dos alcaloides spruceanumina C e spruceanumina D.



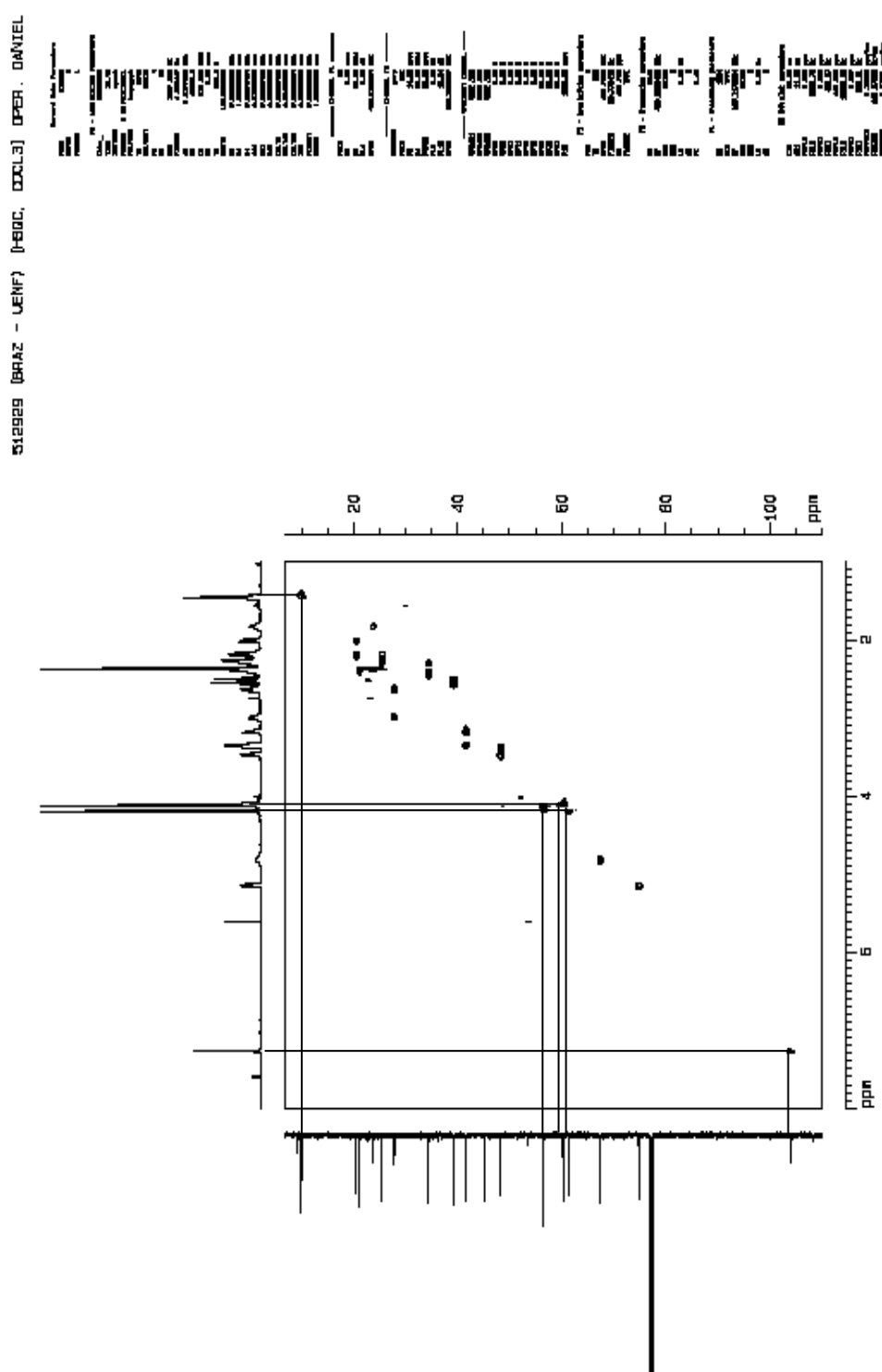
**Especro 147.** Espectro de RMN  $^{13}\text{C}$  (125 MHz-DEPT-135) em  $\text{CDCl}_3$  da mistura dos alcaloides spruceanumina C e spruceanumina D.



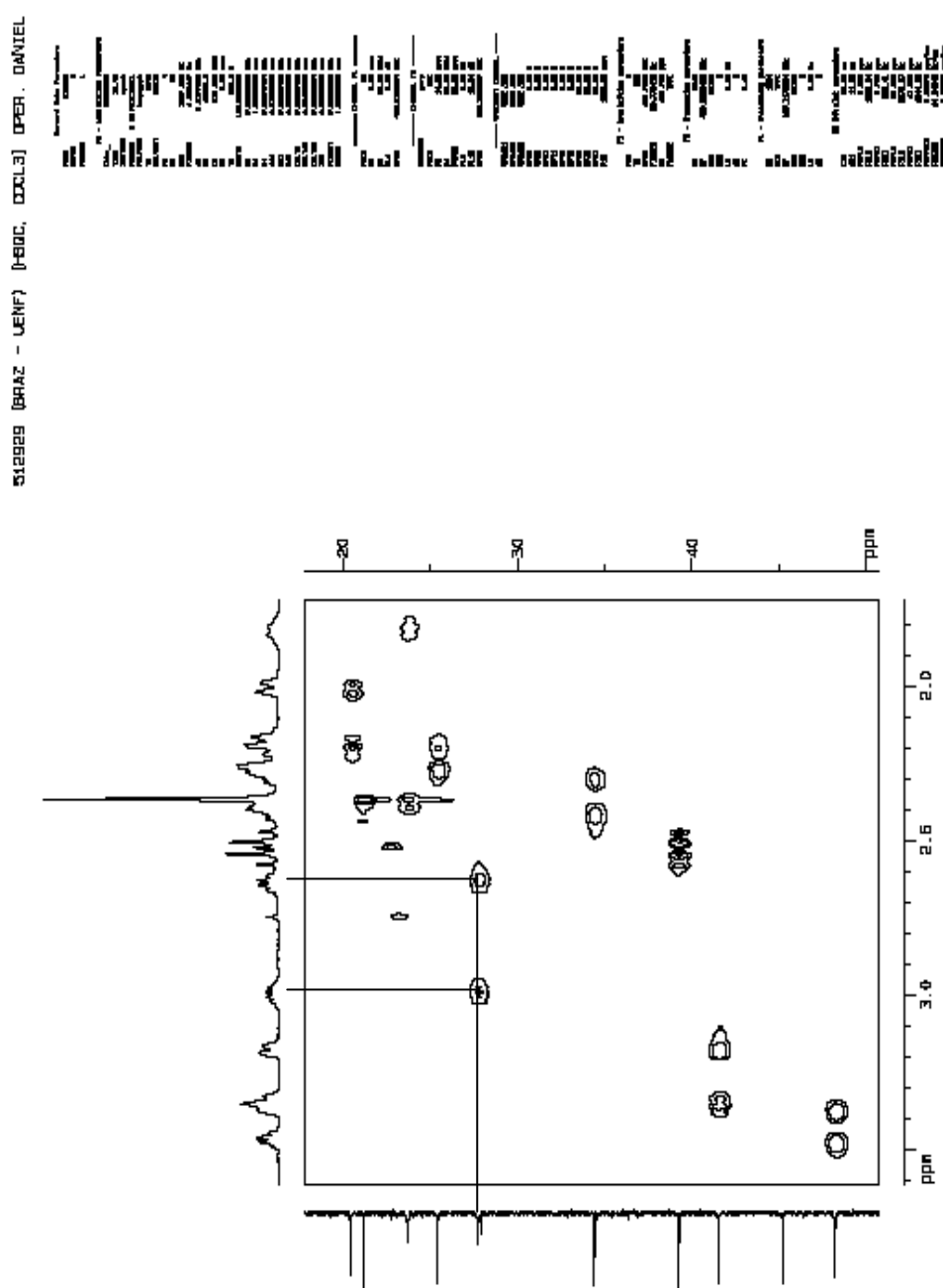
**Espectro 148.** Mapa de correlação homonuclear  $^1\text{H}$ - $^1\text{H}$ -COSY em  $\text{CDCl}_3$  da mistura dos alcalóides spruceanumina C e spruceanumina D.



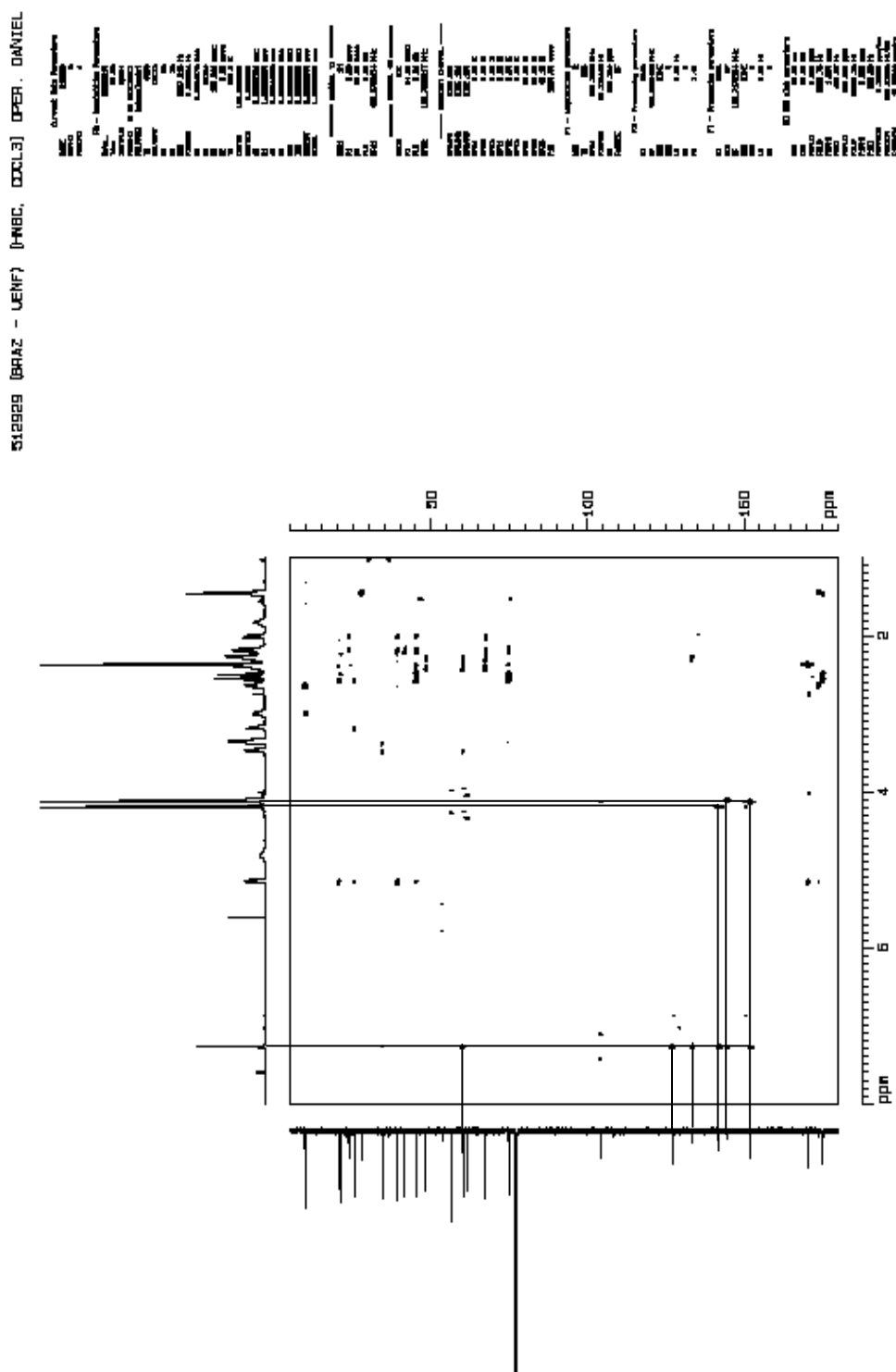
**Espectro 149.** Ampliação do mapa de correlação homonuclear 1H-1H-COSY em CDCl<sub>3</sub> da mistura dos alcalóides spruceanumina C e spruceanumina D.



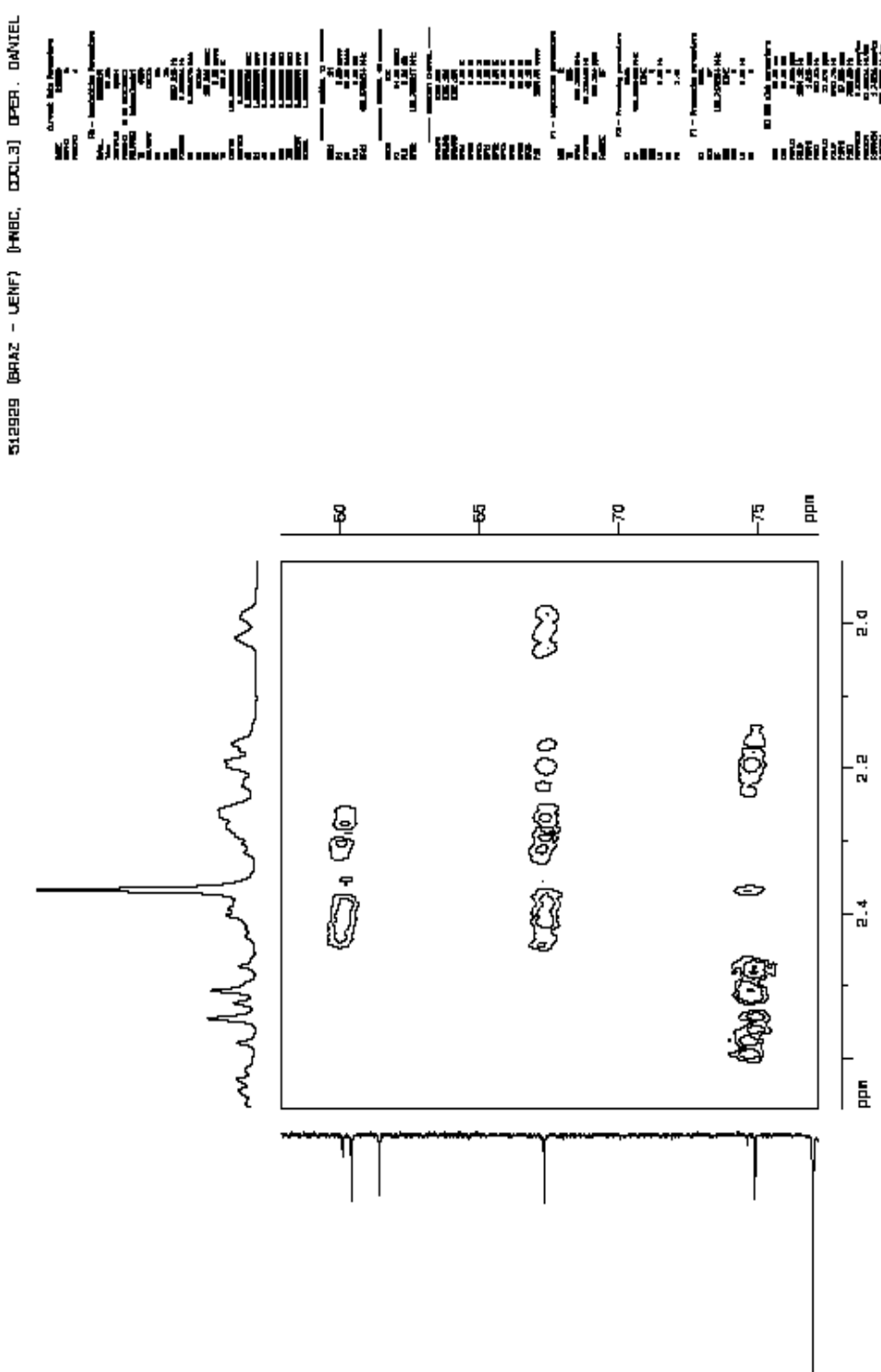
**Espectro 150.** Mapa de correlação heteronuclear HSQC em CDCl<sub>3</sub> da mistura dos alcalóides spruceanumina C e spruceanumina D.



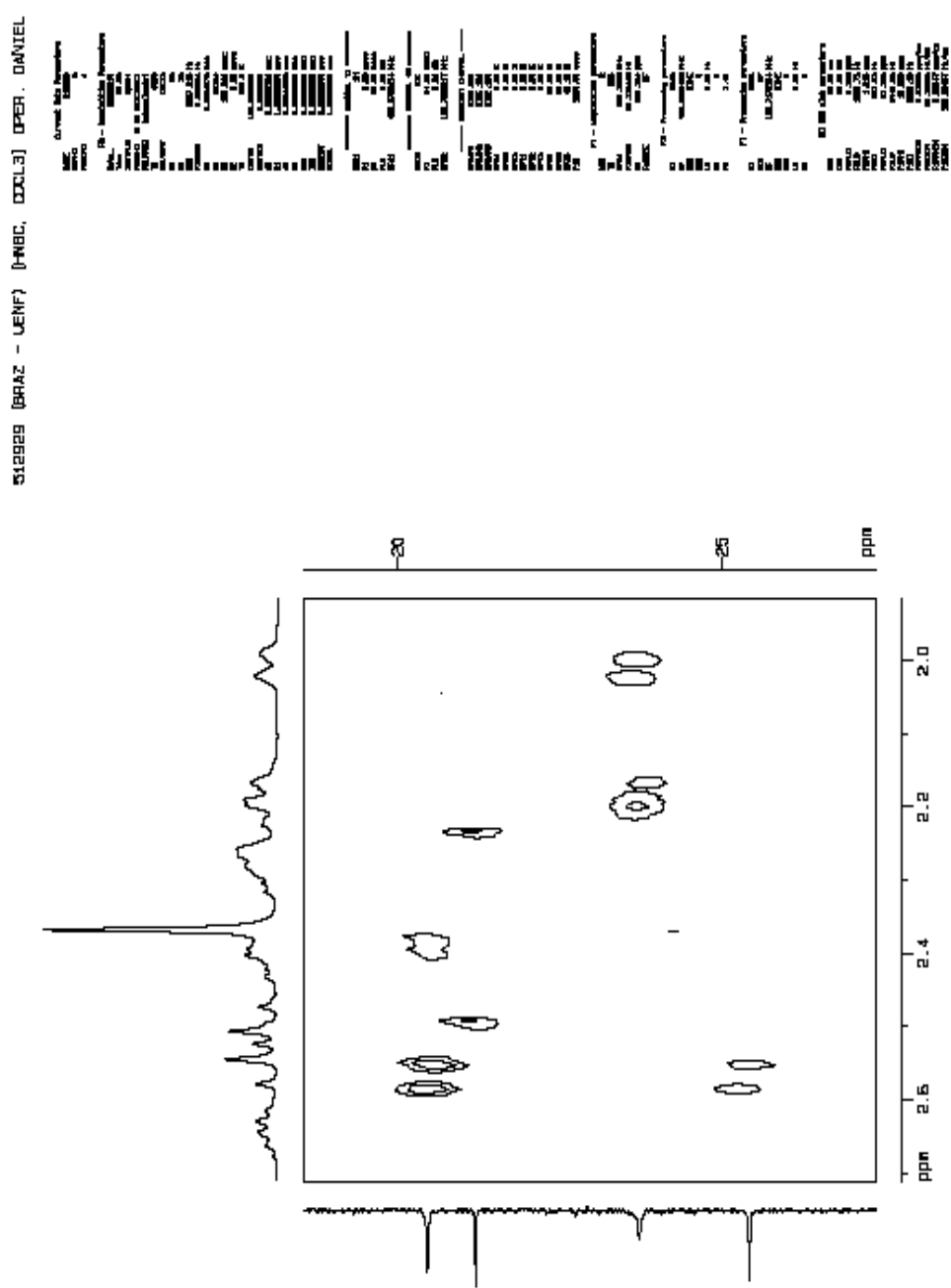
**Espectro 151.** Ampliação do mapa de correlação heteronuclear HSQC em  $\text{CDCl}_3$  da mistura dos alcalóides spruceanumina C e spruceanumina D.



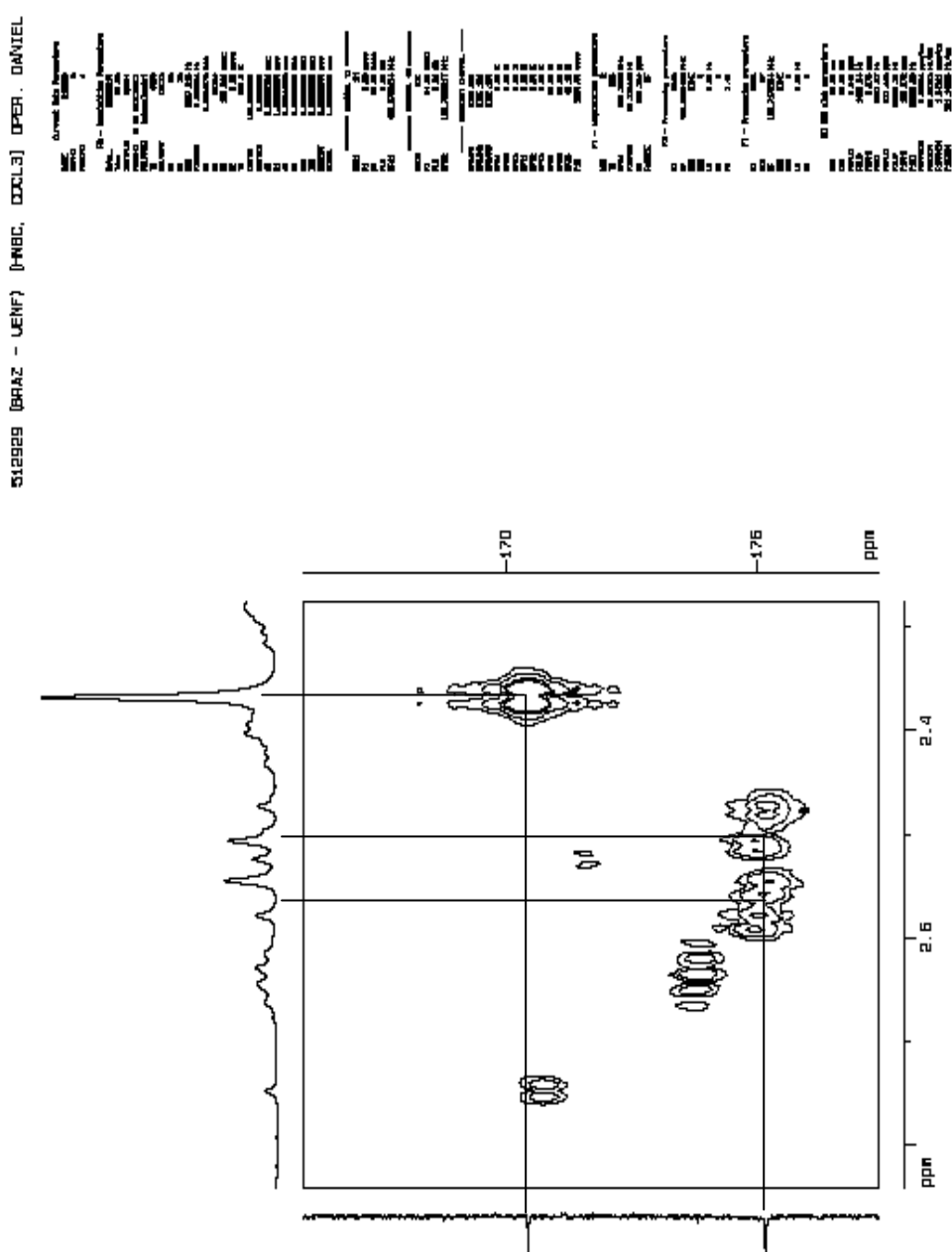
**Espectro 152.** Mapa de correlação heteronuclear HMBC em CDCl<sub>3</sub> da mistura dos alcaloides spruceanumina C e spruceanumina D.



**Espectro 153.** Ampliação do mapa de correlação heteronuclear HMBC em  $\text{CDCl}_3$  da mistura dos alcaloides spruceanumina C e spruceanumina D.



**Especro 154.** Ampliação do mapa de correlação heteronuclear HMBC em CDCl<sub>3</sub> da mistura dos alcalóides spruceanumina C e spruceanumina D.



**Espectro 155.** Ampliação do mapa de correlação heteronuclear HMBC em  $\text{CDCl}_3$  da mistura dos alcalóides spruceanumina C e spruceanumina D.